

Э. А. АРИПОВ, Б. Н. НУРЫЕВ, М. А. АРАЗМУРАДОВ

ХИМИЧЕСКАЯ МЕЛИОРАЦИЯ ПОДВИЖНЫХ ПЕСКОВ



АКАДЕМИЧ НАУК ТУРКМЕНСКОЙ ССР
Ордена Трудового Красного Знамени Институт пустынь
Научный совет по проблеме пустынь

З. А. АРИПОВ, Б. Н. НУРЫЕВ, М. А. АРАЗМУРАДОВ

ХИМИЧЕСКАЯ МЕЛИОРАЦИЯ
ПОДВИЖНЫХ ПЕСКОВ

Под редакцией
К. С. Ахмедбека, А. П. Иванова



АШХАБАД-ЫЛЫМ · 1983

Рецензенты Л. Г. Добрин, Д. А. Акыев

А81 Арипов Э. А., Нурыев Б. Н., М. А. Аразмурадов
Химическая мелиорация подвижных песков
Под ред. К. С. Ахмедова, А. П. Иванова. — Ашхабад, 1983. — 264 с.

2 р. 35 к.

Приведены результаты исследований влияния химических фиксаторов на песчаные и глинистые частицы. Описаны основные процессы, протекающие при создании поверхностной корки на песке, а также технология нанесения фиксаторов в полевых условиях при закреплении подвижных песков. Систематизированы данные по практическому использованию химических фиксаторов в СССР и за рубежом.

Для работников научно-исследовательских и проектных институтов, занимающихся вопросами выпуска химических мелиорантов для закрепления почв, грунтов и подвижных песков.

ББК 40.3

А 3802020000—057 26—82
М561(14)—83

© Издательство «Ашхабад», 1983 г.

ОТ АВТОРОВ

В Институте химии АН УзССР ведутся научно-исследовательские работы по синтезу, изучению и применению в различных отраслях народного хозяйства водорастворимых полиэлектролитов, низко- и высокомолекулярных поверхностно-активных веществ анионного, катионного и неионогенного типов. Им разработаны научные основы регулирования свойств дисперсных систем, в том числе возможности перевода свободнодисперсных систем песка в связнодисперсные.

Ордена Трудового Красного Знамени Институт пустынь АН ТССР в течение ряда лет проводят мероприятия по закреплению подвижных песков, применения химических отходов промышленности или препараты, сильно меняющие свойства дисперсных систем при малых дозах. Эти институты совместно изучают закрепление барханных песков с помощью химических веществ. Цель монографии — обобщение теоретических и экспериментальных работ, выполненных в 1965—1980 гг. В полевых опытах активно участвовали Агролесомелиоративные опытные станции Института пустынь, предприятие Небигдагэлектросеть райуправления Небигдагэнерго и Ашхабадэлектрофикация Туркменской ССР.

В работе могли быть допущены некоторые неточности, поэтому все замечания и пожелания авторами будут приняты с благодарностью. Они надеются также, что книга послужит импульсом для дальнейшего развития исследовательских работ в области химической мелиорации подвижных песков.

ВВЕДЕНИЕ

Мелиорация — латинское слово melioratio, означающее улучшение. Химическая мелиорация подвижных песков — это закрепление подвижных песков с помощью дешевых, доступных, транспортабельных, нетоксичных, легких в обработке химических веществ. Их находят, в первую очередь, среди отходов химических, нефтеперерабатывающих и других отраслей промышленности. Доля специально выпущенных препаратов, используемых в настоящее время для закрепления песков, очень небольшая.

Способы химической мелиорации подвижных песков по влиянию на окружающую среду можно разбить на две большие группы. К первой группе относят мероприятия, обеспечивающие «смерть» закрепление песков, вследствие чего подавляется все живое, ко второй — способы закрепления в сочетании с фитомелиорацией, что обеспечивает ускорение почвообразовательных процессов, и, следовательно, и освоение пустынь для сельскохозяйственных нужд.

Закрепление подвижных песков с целью усиления почвообразовательных процессов в песках и защита инженерных сооружений от песчаных заносов и выдувания — часть проблемы охраны окружающей среды. В условиях социалистического общества, высшая цель которого — максимальное удовлетворение всенародно-распространенных материальных и культурных потребностей всех членов общества, создаются объективные предпосылки для охраны и рациональному использованию природных ресурсов.

Охране и рациональному использованию подлежат все природные богатства: вода, почва, флора, фауна, воздух, руды, газ, нефть, то есть все компоненты природы, без которых не может жить человек. Отсюда необходимость комплексного подхода к проектированию и планированию разнообразных мероприятий по охране и рациональному использованию природных ресурсов.

Советский Союз — первая в мире страна, где охрана природы стала государственной политикой. Такая политика предначертана В. И. Лениным, приступившим к реализации идей по охране при-

роды с первых дней существования Советской власти. Декретом о земле природные богатства были объявлены всемирными достояниями.

Задачи охраны и рационального использования природных ресурсов нашей страны отражены в Программе КПСС, в ряде специальных постановлений партии и правительства. В докладе «Пятьдесят лет великих побед социализма» подчеркивается, что «...бурный рост науки и техники делает особенно актуальной вечную проблему отношений между человеком и природой» [1].

В Постановлении Верховного Совета ССР, принятом на 4-й сессии 25 сентября 1972 г., указано, что охрана природы и рациональное использование природных ресурсов в условиях быстрого развития промышленности, транспорта и сельского хозяйства, развертывания научно-технической революции, роста разносторонних материальных и культурных потребностей советского народа становятся одной из важнейших общегосударственных задач, от решения которых зависит успешное выполнение народнохозяйственных планов, благосостояние пынущих и будущих поколений.

В общей проблеме охраны и преобразования природы важное значение имеет химическая мелиорация, направленная на закрепление подвижных песков. Она является частью общей мелиорации, представляющей систему организационно хозяйственных и технических мероприятий для коренного улучшения неблагоприятных природных условий мелиорируемых земель путем регулирования их водного, теплового и воздушного режимов для повышения плодородия почвы [2]. В программу мелиорации входят проведение работ по орошению осушенных земель, предупреждение эрозии и дефляции почв и песков, восстановление их плодородия, освоение и закрепление подвижных песков, рассеивание засоленных почв, известкование кислых почв, очистка полей от кустарников в камнях, срезка кочек и планировка поверхности, освоение крутых склонов и др.

Химическая мелиорация подвижных песков относится к пустынеделию — науке о пустынях, призванной исследовать закономерности природных процессов аридной зоны, целенаправленно влиять, а со временем и управлять этими закономерностями [3]. Она изучает геоморфологию пустынь, генезис песков, земельно-водные и климатические ресурсы, растительность и пастбища, полезные ископаемые пустынь и их рациональное использование, фауну и флору, эколого-физиологические особенности организма в условиях пустыни, взаимоотношения человека и пустыни; разрабатывает пути освоения пустынь в природном, историко-географическом, экономико-географическом и социологическом аспектах.

Развитие пустынеделия как науки и применение основных ее

положений на практике позволяют рассчитывать на успешное решение вопросов охраны природы и улучшения экономической обстановки, мелиорации пустынных земель, используемых под выпас скота и орошаемое земледелие, ограждение промышленных объектов и поселений от непосредственного влияния пустыни (пески, песчаные заносы, высокие температуры и др.), охрану пустыни от нерациональной хозяйственной деятельности человека. Немаловажны и такие вопросы, как интенсификация всех отраслей хозяйства, различных в пустыне, повышение экологической эффективности промышленного и сельскохозяйственного производства. Эти проблемы неотъемлемы, связаны с созданием нормальных условий для населения, живущего в рабочем городе в аридной зоне.

Общий для этих проблем является комплексность анализа и учета природных условий во всем их многообразии в целях рационального использования природных ресурсов пустынь, прогноза и регулирования ее природными процессами.

Химическая мелиорация песков—одна из форм проявленной традиционной проблемы прикладной химии—регулирование структуры почвы, закрепление грунтов, получение материалов с заданными структурными характеристиками и прочностными свойствами.

Теоретической основой химической мелиорации песков является наука о коллоидах (коллоидная химия), свойствах гетерогенных связыводисперсных систем и протекающих в них процессах [4]. Физико-химическая механика—наука о влиянии поверхностных явлений на сопротивление деформации и разрушение дисперсных структур и материалов [5, 6]. Ученые о дисперсных системах, поверхностных силах, свойствах поверхностных плёнок и процессах диспергирования, агрегации, дезагрегации, структурообразования послужили физико-химической основой перевода связыводисперсной системы песка, в которой частицы дисперсной фазы не связаны друг с другом и способны перемещаться, то есть обладают текучестью, распылением, флюидизацией и др., в связыводисперсную, в которой частицы твердой фазы связаны друг с другом за счет межмолекулярных сил, образуя своеобразные пространственные каркасные сетки (структуры). Следовательно, перевод связыводисперсной системы песков в связыводисперсную основывается на регулировании межмолекулярных сил взаимодействия между частицами твердой фазы, для чего в связыводисперсные системы вводятся вещества, существенным образом влияющие на проявление сил притяжения и отталкивания между частицами твердой фазы в гетерогенной связыводисперсной системе. Ими могут быть самые разнообразные вещества, способные вступать во взаимодействие с поверхностью частиц песка, модифицирующие действие на природу поверхности, усиливающие интенсивность контактных взаимодействий между час-

тицами связыводисперсной системы, или заполняющие поры песка и адгезионно удерживающие частицы песка в едином структуренном состоянии. К таким веществам в настоящее время относятся битумы, масла, смолы, полизэлектролиты и другие, с помощью которых получают устойчивые к ветровой эрозии песчаные корки для закрепления подвижных песков и для защиты от песчаных заносов в выдающие инженерных сооружений, теми строительства которых бурно увеличивается в связи с освоением пустынных территорий СССР.

Получение связыводисперсной системы (структурьи) песка с заданными свойствами основывается на регулировании интенсивности и глубины взаимодействия химического мелиоранта (закрепителя) с частицами песка. Исследовательские работы в области химической мелиорации подвижных песков можно рассматривать в следующей последовательности.

Изучение химии поверхности в пористости песка, а также глины, которые могут быть аналогами при химическом закреплении песка. Следует отметить, что исследования в этой области находятся в начальной стадии. К настоящему времени достигнуты определенные успехи по разработке условий изменения химии поверхности и пористой структуры глины (природных минеральных сорбентов). Подобные исследования с подвижными песками практически не проводились.

Поиски новых веществ, обладающих свойствами химических мелиорантов. В последние времена усилились работы по синтезу низко- и высокомолекулярных поверхностно активных веществ, называемых природу поверхности, на которой осуществляется контактное взаимодействие между частицами песка в процессе образования связыводисперсной системы. В Ташкенте создан Центр по получению, изучению и применению поверхности-активных веществ. Полиминеральность песков, наличие в них наряду с кремнеземом полутонких окислов делают их важным источником химических минералов. В связи с этим следует вспомнить предложенный В. А. Каргиным химический способ укрепления песчаных грунтов, примененный при строительстве первой очереди Московского метрополитена, при закреплении фундамента зданий и строительстве Асуанской плотины [7]. Метод основан на создании на поверхности частиц песка коллоидного раствора и его коагуляции, что обеспечивает образование прочной коагуляционно-кристаллизационной структуры.

Исследование процессов, протекающих в растворах химических закрепителей, и состояние растворенного вещества в растворе. Отмечаются закономерности изменения структурно-кINETических единиц (ионы, молекулы, их ассоциаты, надмолекулярные структуры) от таких факторов, как изменение содержания растворенного вещества

в растворах, внешней температуры, концентрации солей, кислот, оснований, присутствующих в растворе. Разрабатываются способы регулирования свойств растворов одиннадцати фиксаторов песка с помощью других.

Установление механизма взаимодействия структурно-кинетических единиц химического мелиоранта с частицами свободнодисперсной системы (песок, глина, почва). Достигнутые успехи важны не только для определения направленности взаимодействия в изучаемых системах, но и выбора путей направленного синтеза новых химических веществ-закрепителей. Решение практических задач, связанных с составлением рецептур по приготовлению смесей (расторворов) фиксаторов, с разработкой технологических приемов по напышению их на поверхность подвижных песков, транспортировке и хранению химических мелиорантов.

Наблюдение за изменениями физических, химических, механических и других свойств поверхностной корки, созданной на песке. Наблюдения предусматривают влаго-, воздухо- и массообмен через эту корку, а также изменения механического состава песка, если химическая мелиорация осуществлена в сочетании с фитомелиорацией. В настоящее время некоторые предложения и рекомендации уже внедрены и приносят определенные эквивалентные эффекты, а другие находятся на стадии опытной проверки. Теоретические успехи в области химической мелиорации свидетельствуют об огромных потенциальных возможностях коренного улучшения и увеличения числа практических рекомендаций.

В проблеме химической мелиорации песка необходимо сочетать исследования, направленные на решение самых близких, так и более отдаленных задач. Это предложение предельно ясно сформулировано М. В. Кездышем [8]: «Мы достигли почти всестороннего признания того, что наука — не отщепленное позиционное направление, она существует не для самой себя, а для практики, для улучшения жизни человека. Но при этом возникает определенная опасность. Иногда требуется, чтобы при планировании научно-исследовательской работы всегда был виден ее непосредственный и совершенно конкретный практический результат, что исследование имеет смысл только тогда, когда заранее решительно все запланировано — от теории до практики. Но это неправильно, это привело бы к узкому практицизму и к потере перспективы в исследованиях, без которых невозможен научный прогресс. Мы должны знать о природе, о ее сущности немного больше, чем можем в данный момент использовать».

Дальнейшую разработку теоретических основ химической мелиорации подвижных песков необходимо сочетать с решением конкретных вопросов закрепления подвижных песков с целью освоения

пустынь и защиты инженерных сооружений и поселений. При этом надо помнить слова К. Маркса о том, что «...даже целое общество, нация и даже все одновременно существующие общества, взятые вместе, не есть собственники земли. Они лишь ее владельцы, использующие ее, и как *boni patres familias* (добрые отцы семейства) они должны оставить ее улучшенной последующим поколениям» [9]. Правда, «улучшение» связано с огромной затратой сил и средств. Но оно будет ненапрасным. Ф. Энгельс писал, что «...урожайность земли может быть бесконечно понижена приложением капитала, труда и науки» [10].

ГЛАВА I

ХИМИЯ ПОВЕРХНОСТИ И ПОРISTОСТЬ ПЕСКА

Основой химической мелиорации подвижных песков является взаимодействие между песком и химическим мелиорантом, протекающее на молекулярном, а при благоприятных условиях и на ионном уровнях. Возможность благоприятного исхода способа химической мелиорации определяется не только свойствами химических препаратов, используемых для закрепления подвижных песков, но также данными о химии поверхности и пористости песка с веществами, которыми необходимо покрыть поверхность его зерен. Под пористостью песка следует подразумевать пространство между контактирующими частицами (вторичной пористостью), преиспогенная при этом первичной (из-за низкого ее значения), обусловленной особенностями кристаллических структур минералов, входящих в его состав. Чтобы установить эти важные для химической мелиорации свойства, определяют химический и гранулометрический составы песка, устанавливают валовое содержание и состав присутствующих в нем солей, изучают морфологию его частиц. Важно при этом изучение растворимости песка в жидкях фиксирующих растворах и в воде. Применение инфракрасной, ультрафиолетовой, ядерно-магнитной и электропарамагнитной спектроскопий позволяет получить более точные сведения о химии поверхности частиц песка.

С развитием техники вакуума появилась возможность экспериментального изучения (электронная микроскопия, электронография, сорбционные установки и др.) морфологии и геометрии поверхности твердого тела, определения числа активных на нем центров и других свойств, без которых нельзя оценить качества материалов.

10

Большие успехи достигнуты в области изучения химии поверхности пористых материалов, таких, как полупроводники и различные окислы. Успешно исследуется химия поверхности силика-, алюмо-, алюмосиликатов, синтетических алюмосиликатов (катализаторов, цеолитов) [11—15]. Увеличивается поток информации по изучению химии поверхности природных минеральных сорбентов (бентонитовые, полигорскитовые, каолинитовые, опоковидные глины, цеолиты, диатомиты и др.), почвенных дисперсий и других [16—20], являющихся продуктами выветривания горных пород и геологических образований природных тел. Результаты исследований помогут решить вопрос о химии поверхности песков, изучение которых, по-видимому, только начинается. Интерес к этой проблеме не только с точки зрения химического закрепления, но и использования песка в народном хозяйстве, в частности для получения на его основе материалов с заданными параметрами.

Происхождение и распространение песков

Принято считать, что песок — геологическое образование, продукт разрушения горных пород в процессе выветривания, а также результат переотложения продуктов выветривания под влиянием факторов денудации [21]. К геологическим образованиям и продуктам выветривания относятся почвы, глины и другие подобные песку свободнодисперсные системы, однако песок отличается в основном размерами частиц (2—0,15 мм [21], 3—0,05 мм [22]). Песок по размерам зерен занимает среднее положение между крупными обломочными породами (щебень, гравий, галька) и мелкими (пыль, глинистые частицы).

По генетическому типу пески делятся на элювиальные, делювиальные, флювиогляциальные, ледниковые, эоловые и морские [21]. Мощность залегания песков, форма частиц, вид и содержание в них примесей зависят от условий формирования. Так, современный рельеф Каракумов складывался в течение длительного времени в условиях сухого континентального климата [23]. В процессе денудации, транспортировки и аккумуляции четвертичных, преимущественно песчаных отложений, главную роль играли первоначально аллювиальные процессы, а коренная переработка рельефа равнины создавалась эоловыми процессами.

Для Заунгусских Каракумов продуктами золовой переработки служили плиоценовые аллювиальные осадки хвальинской трансгрессии, для низовьев Мургаба и Теджена — дельтовые отложения этих рек и т. д. От подстилающих первичных песков золовые отличаются большей окатанностью и полировкой зерен, увеличением в составе более устойчивых минералов, уменьшением количества слюд, карбонатов и пылеватых фракций, что объясняется длительной переработкой ветром песчаного материала. По мере зарастания перевеземых песков растительностью содержание пылеватых фракций постепенно увеличивается. На фоне перевозания рыхлого аллювия исключением является Северо-Западный Туркменистан (Заунгусский складчатый район), где золовые пески образовались за счет выветривания и перевозки разнообразных плотных коренных пород от миоцена, вплоть до морских песчаников и глинистых сланцев.

В СССР пески занимают 300 млн. га, или около 14% территории (от берегов Каспийского моря на западе до предгорий Джунгарского Ала-Тая, Тянь-Шаня и Памиро-Алая на востоке и юго-востоке). В Туркменистане пески составляют около 40 млн. га (85%), в Узбекистане — около 30 млн. га (70%); значительные площади песков на территории Казахстана [24].

Подвижные пески в песчаных пустынях Туркменистана занимают огромную территорию между Каспийским морем и Балханами. На востоке — в зоне Амудары, а в Центральных и Заунгусских Каракумах — участками по 5—10 км².

Общая площадь барханных песков по республике 13235,7 км², из них на западе — 3341,7, а с учетом развеиваемых солончаков — 4300 км², в районе среднего течения Амудары — 8157,7 км², на севере республики — 650, а в Центральных и Заунгусских Каракумах — 128 км² [25]. Приведенные данные по некоторым физическим свойствам и составу солей относятся к образцам песков, взятых в исследуемых районах.

Минералогический состав песков

Изучение минералогического состава песков показало их полиминеральность (табл. 1, 2) с незначительным различием в соответствии с условиями генезиса [26—28].

Таблица 1

Минералогический состав песков некоторых районов Туркменистана, %

Место взятия образца	Легкая фракция	Тяжелая фракция									
		каолинит и гидрокаолинит	гидрослюд и гидрофиллит	гидрооксиды и гидроалюминиевые соединения							
Южная часть в 20 км к западу от пос. Газы	52,3	39,0	0,9	7,8	39,5	22,7	17,3	4,3	1,1	0,2	—
Южная часть в 30 км западнее пос. Учары,	53,4	38,5	—	7,4	41,1	20,4	17,4	6,8	0,91	2,1	—
Неслоновая песчаник, восточная часть в 30 км к югу от пос. Дарьяновский	54,7	38,5	0,9	5,8	30,4	24,1	24,9	4,7	1,3	0,9	—
Древнеаллювиальный песок со склона заросшей Три-ан	60,3	32,0	1,5	6,2	42,1	16,7	10,2	11,8	0,91	1,5	1,3
Древнеаллювиальное, южная часть у пос. Дар-наза	—	—	—	—	—	—	—	—	—	—	—
Серые пески (Каракумская зона), Топчай	61,8	10,1	—	28,1	4,3	—	2,9	—	0,4	—	—
Сажеслереский аллювиальный песок, Альчины Амудары и Туркмены	68,7	6,4	—	20,9	2,3	3,7	11,7	—	—	4,1	—
Эоловые пески, Оговесточный Каракумы, Ренек	73,4	5,3	—	21,3	4,9	3,8	6,4	—	—	0,8	—
Эоловый песок, приводораздельный Амудары, Бештак	73,6	20,6	—	—	—	—	—	—	—	—	—

Минерологический состав никеля, где проведена химическая магниторамка, %

Место взятия образца	Фракция	Легкая фракция								
		Кварц	Биотит амфибол	Однокомпонентный глиноzemистый никелевый минерал	Однокомпонентный никелевый минерал	Неспец. никелевый минерал	Гидраты никеля			
Котурдепе	2,01	37,88	52,234,4	6,2	7,1	1	4,3	9,0	0,2	0,5
Вынка	3,26	96,74	53,928,6	7,9	6,3	1	12,1	[3,]	0,7	Не опр.
Часак	1,67	98,33	50,137,2	Не опр.	2,3	0,7	0,2	1,8	0,6	2,0
Окарем	3,09	95,91	68,025,0	*	6,7	0,3	1,2	0,2	8,2	0,7
Булдымы	5,07	94,83	51,736,2	7,1	4,9	+	0,2	10,8	11,0	0,4
Юго-Запад	2,05	97,85	49,732,6	9,9	7,7	Не опр.	0,2	8,5	7,3	0,5
Котурдепе	1,94	98,16	54,235,4	5,9	4,4	*	Сделано	10,9	16,5	Сделано
Барзакельмес	3,65	96,05	50,338,2	6,4	5,0	*	0,4	4,4	9,0	Не опр.
Акжолта	3,4	96,8	52,034,6	7,1	5,9	*	0,8	5,1	10,2	Сделано
Айнау (золотые)	2,22	97,78	52,035,8	6,2	5,3	0,6	0,5	5,5	5,1	*
Джебел (золотые)	6,3	93,87	[52,0]29,4	10,1	8,1	*	+	6,3	8,2	0,9
Камышлыджа										0,5

Приложение табл. 2

Место взятия образца	Фракция	Легкая фракция								
		Кварц	Биотит амфибол	Однокомпонентный глиноzemистый никелевый минерал	Однокомпонентный никелевый минерал	Неспец. никелевый минерал	Гидраты никеля			
Котурдепе	3,3	39,6	21,2	1,7	1,2	0,2	Сделано	0,9	2,2	Не опр.
Вынка	2,7	31,2	24,4	1,5	3,2	2,2	0,7	0,5	2,0	Не опр.
Часак	*	0,4	12,0	2,2	0,2	+	0,6	0,2	0,8	74,0
Окарем	1,4	34,8	9,8	1,2	4,0	2,6	0,2	0,5	1,9	0,0
Булдымы	2,9	30,2	22,4	1,8	1,4	Не опр.	1,6	0,4	2,1	0,2
Юго-Запад	1,3	35,2	18,0	2,8	1,1	*	1,3	0,2	1,3	3,0
Котурдепе	1,1	32,0	21,4	2,5	1,1	*	1,7	0,6	0,3	3,6
Барзакельмес	2,3	36,4	23,8	0,8	1,9	1,3	0,6	0,2	0,6	2,5
Акжолта	2,6	33,3	24,6	1,9	1,7	4,3	0,8	7	0,2	1,9
Айнау (золотые)	1,4	39,0	20,8	1,0	2,4	2,1	0,5	0,2	0,9	2,6
Джебел (золотые)	1,9	34,4	23,6	2,4	0,5	2,9	1,2	Не опр.	1,7	3,9
Камышлыджа										0,2

А. Т. Левадиук и В. П. Чередниченко [27], сопоставив минеральный состав отложений Заунгусских Каракумов, Южных Каракумов и присарыкамышских песков, пришли к выводу о значительном их сходстве. Различаются они лишь по количеству минералов тяжелой фракции. Состав песков Низменных Каракумов, а также Западного Туркменистана также однороден. Для легкой фракции характерно обилие кварца, непрозрачных зерен и полевых шпатов. Состав тяжелой фракции (1,5—4%) отличается большой пестротой, преобладанием рудных минералов и роговой обманки. В значительно меньшем количестве содержатся диопсид, гранат, эпидот и др.

По составу минералов пески подразделяются на мономинеральные (например, кварцевые), биминеральные (полевошпатово-кварцевые, глауконито-кварцевые и т. п.), триминеральные (глауконитово-полевошпатово-кварцевые), полиминеральные (кварцево-полиминеральные, полевошпатово-полиминеральные) и т. п. [29].

Различают однородный (гомогенный) или разнородный (полигенный) песок. Во всех случаях сумма основных минералов составляет не менее 80% [30]. Эоловые пески Туркменистана обогащены стойкими от выветривания минералами — кварцем, гранатом, силиманитом, магнетитом; обеднены легко истирающимися компонентами — гипсом, кальцитом, роговой обманкой, эпидотом, термолитом, ставролитом; почти неадено лишенны минералов, легко разрушающихся и выдуваемых ветром; содержание выветриваемых полупрозрачных зерен повышенное. Количество минералов в эоловых песках всегда меньше, чем в аллювиальных.

Изменение минерального состава песков также влияет на их окраску. Желтый цвет песка обусловлен хорошей отсортированностью при незначительном содержании пылеватых частиц, более богатым содержанием хорошо окатанных частиц и зерен кварца с оксидезионными блестящими поверхностями [31]. Значительное количество выветренных полевых шпатов, почти полное отсутствие слюд, а у единичных мелких листочков правильная, округлая форма, повышенное содержание тяжелой фракции — характерные черты эоловых песков Каракумов. Для них также характерно появление на светлых зернах тонкого слоя окиси железа, благодаря чему пески из серо-стальных становятся грязно-желтыми.

Это особенно заметно в песках Юго-Западного Туркменистана в районе поселка Окarem.

В зависимости от содержания составных частей пески делят на три группы: главная составная часть, определяющая основной характер породы; примеси, хорошо заметная под микроскопом (1—10%); редкие минералы, содержащиеся в ничтожном количестве, но важные для выяснения генетических, стратиграфических и других свойств [32].

По преобладанию того или иного минерала пески делят на кварцевые, полевошпатовые, слюдистые, роговообманковые, известковые, гипсовые, гранатовые, магнетитовые и др. Если преобладают два или три минерала (например, кварц и полевой шпат или кварц, полевой шпат и слюда), то пески называют кварцево-полевошпатовыми или кварцево-полевошпатово-слюдистыми [21].

Главной составной частью песков является кварц, значительно реже — полевой шпат, глауконит, еще реже слюда. Примеси в песках обычно являются глауконитом, полевым шпатом, слюдой, хлоритом, кальцитом, доломитом, фосфоритом, магнетитом и другие минералы, а также обломки различных горных пород, сохранившиеся от выветривания. Редкие минералы в песчаных грунтах представлены чаще всего гранатом, эпидотом, турмалином, магнетитом, агитом, оливином, рутилом, цирконом и др.

По удельному весу пески разделяются на легкие и тяжелые, хотя строгого критерия для этого нет [33]. Многие авторы к легким минералам относят те, удельный вес которых меньше 2,80. Таковыми являются кварц, полевой шпат, минералы глини и др. К тяжелым относят минералы с удельным весом, превышающим 2,80. Чаще всего они представлены примесями и редкими минералами: агитом, роговой обманкой, доломитом, турмалином, диопсидом, топазом, оливином, корундом, мусковитом, эпидотом, гранатом, железистыми минералами, рутилом, ставролитом и др.

Структура минералов, их кристаллические мотивы, кристаллохимические формулы нами не рассмотрены. В процессе работы, в частности при описании механизма взаимодействия химических модификаторов с мономинеральными системами при исследовании комплекса свойств глин и глинистых образований, мы пользовались всеми необходимыми параметрами кристаллических структур кварца и других минералов. Нами использова-

ны руководства по минералогии [34], свойствам минералов [34–39], их поверхности [11, 14–19, 40] и пористой структуры [40–44].

Химический состав песка

Изучение химического состава песков необходимо для правильного представления о количественном распределении химически активных окислов, с которыми вступают во взаимодействие химические мелиоранты.

Химические элементы, участвующие в построении песков [21], находятся в различных химических соединениях, представленных в виде отдельных минералов. Наибольшее распространение имеют окислы и соли. Среди окислов преобладает (97–99%) двуокись кремния SiO_2 , которая может находиться в свободном и связанном состояниях. В свободном состоянии она представлена в виде кварца, в связанном — в составе силикатов, алюмосиликатов и других соединений. Чрезвычайно инертное и малоактивное в химическом отношении соединение SiO_2 придает пескам свойства, которым обладает само.

В составе песков встречаются также водные и безводные окисли железа: лимонит ($2\text{Fe}_2\text{O}_3 \cdot 3\text{H}_2\text{O}$), гематит (Fe_2O_3) и магнетит (Fe_3O_4). Содержание их в песчаных грунтах колеблется обычно в пределах или единицах процентов, доходя иногда до 2% и более. Такие случаи редки и объясняются наличием большого количества в песках стойких минералов (лимонит, магнетит и др.). Из окислов, встречающихся в составе песков в чистом виде, отметим окись алюминия (Al_2O_3), окись титана (TiO_2) и двуокись олова (SnO_2). Окись алюминия известна под названием корунда, окись титана — рутида, двуокись олова — оловянного камня или кассiterита. В песках встречаются они очень редко, составляя вместе с рудными и другими минералами тяжелую фракцию.

В строении минералов песка участвуют силикаты и карбонаты. Силикаты — соли различных кремниевых кислот, которые делятся на простые (ортоп. и метасиликаты) и сложные (алюмосиликаты). Из простых отметим $(\text{Mg}, \text{Fe})_2\text{SiO}_4$ — оливин, $\text{Ca}(\text{Mg}, \text{Fe})\text{Al}_2[\text{SiAl}]_2\text{O}_6$ — авгит, $\text{Ca}_2\text{Na}(\text{Mg}, \text{Fe}, \text{Al}_3)\text{Si}_4[\text{OH}]_2$ — роговая обманка и $(\text{Ca}, \text{Mg})\text{Si}_2\text{O}_6$ — диопсид. Эти соединения присутствуют обычно в песках в нераз-

ложившемся виде. Содержание их зависит от степени обогащения песков тем или иным минералом. В рогово-обманковых песках содержание $\text{Ca}_2\text{Na}(\text{Mg}, \text{Fe}, \text{Al}_3)(\text{SiAl})_2\text{O}_1[\text{OH}]_2$ может достигать десятка процентов.

По участию в химико-минералогическом составе песков простые силикаты уступают алюмосиликатам, например полевые шпаты. После кремнезема полевые шпаты занимают первое место в составе песков. Они представляют сложные алюмокремниевые соли щелочных и щелочно-земельных металлов ($\text{K}, \text{Na}, \text{Ca}$). Наиболее известны соединения $\text{K}[\text{AlSi}_3\text{O}_8]$ (ортоклааз, или микроклин), $\text{Na}[\text{AlSi}_3\text{O}_8]$ (альбит), $\text{Ca}[\text{AlSi}_3\text{O}_8]$ (апортит), $\text{Na}[\text{AlSi}_3\text{O}_8]$ (нефелин) и др. К той же группе алюмосиликатов относятся и фольшпатиты. В отличие от полевых шпатов фольшпатиты более бедны кремниевой кислотой. Это лейцит (KAISi_3O_8) и нефелин ($\text{Na}[\text{AlSi}_3\text{O}_4]$). Встречаются слюды (мусковит и биотит), хлориты и карагонит. Все эти соединения — водные алюмосиликаты. Следует сказать и о солях угольной кислоты (карбонатах), из которых важными являются кальцит и доломит.

Пески различных районов Туркменистана заметно отличаются (табл. 3, 4). Содержание кремнезема (SiO_2) меняется от 42,89% (Дарджаум, 15 км к северу от Котурдепе) до 78,31% (золотые пески Барсакельмес). Особенно сильно они различаются по количеству глинозема (Al_2O_3) — от 0,37 (золотые пески в 50 км к северу от Ашхабада) до 14,59% (Котурдепе). Содержание полупористых окислов железа увеличивается от 0,81 (золотые пески вблизи пос. Вышка) до 4,37% (в 50 км к северу от Ашхабада). Количество окиси кальция в золотых песках Барсакельмес достигает 2,87%, а в котурдепинских песках — 15,41%. Повышенное содержание окиси кальция в золотых песках Котурдепе связано со значительным присутствием кальциевых алюмосиликатов. Содержание натрия в сильнозасоленных неперевеянных песках и на солончаках (древнеаллювиальные пески в 8 км к северу от ст. Бами Ашхабадской ж. д.) в несколько раз больше (9,25%), чем в перевеянных песках (золотые пески в 15 км к югу от Котурдепе).

Солевой состав песков

Анализ водных вытяжек для Кызылкумов и Заунгузских Каракумов показал, что пески этих районов пустыни являются незасоленными (табл. 5, 6). Легкораствори-

Таблица 3

Результаты химического анализа песков

Место взятия образца	Химический состав, %											
	SiO ₂	Al ₂ O ₃	Fe ₂ O ₃	CaO	MgO	MnO	K ₂ O	Na ₂ O	CO ₂	P ₂ O ₅	Лигногрунтовый штейник	
Золотой песок в районе Ашхабада около Ашхабада в 50 км к северу от Ашхабада	5,6770,0	9,951,15,0,63	6,56	1,21	0,050,35	—	1,90	2,17	1,10	0,10,0,36	[45]	
Золотой песок в 50 км к северу от Ашхабада	—	68,30	0,374,37	—	7,55	0,47	—	12,85	—	4,03	—	[46]
Древнекалыклинский золотой песок в 6 км к северу от ст. Бами Ашхабадской ж. д. на шире с глу- бины 50 см	0,91	60,49	6,562,52	—	7,60	1,13	—	—	0,09	2,25	0,06	[47]
Древнекалыклинский золотой песок (каракумский серый песок) (каракумский грунт) с глубиной 110–116 см, Низменные Каракумы	—	64,56	12,113,45	—	8,41	2,0	—	—	—	—	—	[48]
Золотой желтый песок. Низменные Каракумы	—	70,24	10,9	3,03	—	3,78	1,48	—	—	—	—	[48]
Золотой песок в проселках Даргакумы, 15 км от Кетурдепе	15,82	42,89	14,50	2,85,1,55	15,41	2,90	0,09	0,62	2,85	1,29	0,45	0,04,0,31
Золотой песок из Бартаколь-меса	5,94	78,31	4,08	0,720,43	2,87	0,61	0,07	0,02	1,22	1,89	3,56	0,060,0,35
Золотой песок около поселка Котргепе	5,40	75,19	3,17	1,12,0,25	5,47	0,9	0,020	0,01	1,20	1,80	3,20	0,050,0,76
Золотой песок у поселка Виль-ха	5,90	75,08	0,90	0,81,1,27	8,28	1,75	0,050	0,014	0,98	1,46	3,30	0,010,0,67
Золотой песок у поселка «Восточная», 20 км от Ашхабада	5,90	71,63	2,75	1,270,28	6,20	0,60	0,020	0,016	1,80	1,76	4,96	0,060,0,06
Там же												

Таблица 4
Баловой химический состав (%) песков Кызылкумов и Заунгусских Каракумов в районах газопровода Бухара–Урал и Средняя Азия–Центр [49]

Номер образца	Место взятия образца	Кызылкумы								
		ГППП	SiO ₂	Fe ₂ O ₃	Al ₂ O ₃	CaO	MgO	SiO ₃	P ₂ O ₅	K ₂ O
Профиль 1	Профиль 1	12,81	93,00	0,39	1,851,0	0,200	0,030	0,0120	0,330,0,01	0,01
	—	2,44	92,68	1,19	1,871,01	1,21	1,19	0,05	0,350,0,01	0,01
	—	2,90	90,60	1,35	1,851,05	1,20	0,30	0,0140	0,340,0,02	0,01
—	—	2,94	86,68	0,19	4,20	1,14	0,30	0,20	0,010,0,01	0,01
	3	2,61	86,56	0,335	3,500,01	0,70	0,200	0,0280	0,320,0,01	0,010
	—	3,70	92,21	1,19	0,45	1,46	0,400	0,140	0,0190	0,290,0,020
Заунгусские Каракумы										
Опытный участок с посевами	Опытный	5,98	77,50	1,764	44,5,94	2,500,03	0,03	0,05	0,510,0,020	0,010
	—	5,95	78,96	1,98	2,703	18,5,090,03	0,03	0,05	0,490,0,010	0,014
	—	4,76	32,81	0,80	1,906,0	70,200,0,10	0,05	0,05	0,459,0,020	0,010
Профиль I	—	3,80	90,48	0,39	1,821,01	0,040,0,09	0,03	0,03	0,418,0,010	0,014
	—	2,28	93,00	0,80	1,900,05	0,50,0,03	0,03	0,03	0,300,0,010	0,010
	—	2,49	92,05	1,19,1	1,91,5,51	1,46,0,90,0,03	0,01	0,01	0,370,0,020	0,01
—	2	2,99	87,80	0,80	3,903,10,0	50,0,07	0,05	0,350,0,01	0,01	0,01
	—	2,59	81,43	1,78	8,04,3,051	50,0,24	0,07	0,07	0,460,0,01	0,01
	3	2,90	91,80	0,80	1,25	1,70,0,9,0,02	0,05	0,05	0,340,0,01	0,01

Примечание. Н, P₂O₅, K₂O определяли по Мещерякову.

ые соли (Cl^- и SO_4^{2-}) в них обнаружены в очень малых количествах — 0,001–0,076%; общая щелочность не превышает 0,03–0,04%. Содержание гумуса незначительно, но превышает 0,05% [49].

Аналогичные результаты получены по водным вытяжкам приозисных песков среднего течения Амудары, на основании которых автор [50] относит их к пезаслонским или слабозасоленным с очень малым содержанием питательных веществ.

Изучая оазисные пески Туркменистана, А. Г. Бабаев [51] показал, что барханно-буристые пески в большинстве случаев слабозасоленные. Плотного остатка в водной вытяжке — 0,1–0,3%, хлор-ион — 0,008%. В некоторых случаях содержание водорасторвимых солей ниже 50 см возрастает до 0,98%, при хлор-ионе — 0,05 и сульфат-ионе — 0,52%. Такие горизонты имеют среднее засоление. Содержание катионов незначительно: Ca^{2+} — 0,01 и Mg^{2+} 0,003%. Карбонатность барханно-буристых пес-

Таблица 6

Химический состав водных вытяжек (%) на 100 г абсолютно сухого песка) для Кызылкумов и Заунгуских Каракумов

Место взятия образца	Гигроскопич. влага	Состав водной вытяжки					
		HCO ₃ ⁻	CO ₃ ²⁻	Cl ⁻	SO ₄ ²⁻	Ca ²⁺ + Mg ²⁺	Na ⁺ + K ⁺
Кызылкумы							
Профиль 1	0,19	0,034	—	0,003	0,010	0,013	0,005
	0,28	0,024	—	0,002	0,019	0,012	0,005
Профиль 2	0,43	0,032	—	0,002	0,036	0,011	0,005
	0,66	0,024	—	0,002	0,028	0,014	0,001
Профиль 3	0,39	0,034	—	0,003	0,005	0,011	0,005
	0,21	0,033	—	0,002	0,026	0,013	0,010
Заунгуские Каракумы							
Опытный участок с посевами	0,22	0,017	—	0,002	0,019	0,011	0,005
	—	0,027	—	0,002	0,024	0,013	0,005
	—	0,024	—	0,004	0,013	0,005	0,005
	—	0,022	—	0,011	0,068	0,024	0,025
	—	0,024	—	0,002	0,027	0,013	0,007
	0,01	0,029	—	0,012	0,066	0,025	0,021
Опытный участок с посевами	0,28	0,034	—	0,004	0,076	0,014	0,041
	0,25	0,024	—	0,003	0,019	0,013	0,005
	0,28	0,024	—	0,003	0,015	0,011	0,005
	0,11	0,040	—	0,002	0,033	0,019	0,003
	0,11	0,032	—	0,002	0,028	0,014	0,004
	0,33	0,022	—	0,002	0,028	0,014	0,004
	0,10	0,036	—	0,001	0,025	0,016	0,003

ков колеблется — 5—7,5% (табл. 7). Содержание гумуса — 0,10—0,17%, общего азота — 0,01—0,0014%, фосфора подвижного — 7—14 мг/кг почвы. Относительно высокое содержание гумуса и фосфора соответствует горизонту, залегающему на глубине 65—112 см.

Плотный остаток для песков Западного Туркменистана (район Котурдепе) не превышает 0,89%, ионов хлора — 0,150, ионов сульфата — 0,556, гумуса — 1,14%. Тип засоления сульфатно-хлоридный. В районе Джебела плотный остаток не превышает 0,24%, ионов хлора — 0,057, ионов сульфата — 0,115% (табл. 8).

Мощность песка, см	Плотный остаток	HCO ₃ ⁻	SO ₄ ²⁻	Cl ⁻	Ca ²⁺	Mg ²⁺	Na ⁺ + K ⁺	Гумус
--------------------	-----------------	-------------------------------	-------------------------------	-----------------	------------------	------------------	----------------------------------	-------

Район Котурдепе. Опора ЛЭП-193

0—5	0,77	0,016	0,437	0,090	0,095	0,072	0,006	1,14
5—25	0,48	0,017	0,462	0,030	0,073	0,066	0,018	0,87
25—50	0,65	0,018	0,404	0,038	0,084	0,058	0,012	0,70
50—75	0,56	0,015	0,353	0,023	0,059	0,049	0,011	0,79
75—100	0,89	0,015	0,556	0,030	0,106	0,062	0,063	0,78
100—125	0,84	0,016	0,541	0,045	0,084	0,072	0,038	0,82
125—150	0,50	0,018	0,225	0,097	0,026	0,052	0,039	0,98

Склон межбарханной формы (контроль)

0—5	0,60	0,021	0,317	0,083	0,066	0,059	0,010	0,99
5—25	0,50	0,021	0,270	0,038	0,059	0,041	0,013	0,83
25—50	0,61	0,027	0,368	0,015	0,068	0,047	0,012	0,86
50—75	0,66	0,020	0,407	0,030	0,077	0,056	0,009	1,00
75—100	0,64	0,017	0,392	0,038	0,070	0,060	0,014	0,96
100—125	0,58	0,017	0,178	0,150	0,026	0,027	0,105	0,73
125—150	0,40	0,027	0,168	0,075	0,020	0,028	0,058	0,74

Район Джебела. Опора ЛЭП

0—5	0,13	0,045	0,025	0,016	0,013	0,010	0,006	не опр.
5—25	0,15	0,029	0,037	0,013	0,010	0,008	0,021	•
25—50	0,12	0,040	0,022	0,019	0,010	0,010	0,009	•
50—75	0,20	0,038	0,068	0,026	0,005	0,012	0,034	•
75—100	0,11	0,040	0,014	0,019	0,006	0,008	0,012	•
100—125	0,24	0,050	0,082	0,029	0,010	0,010	0,048	•
125—150	0,22	0,057	0,082	0,019	0,010	0,008	0,013	•

Склон бархана (контроль)

0—5	0,31	0,028	0,115	0,057	0,013	0,013	0,062	•
5—25	0,20	0,054	0,066	0,019	0,013	0,010	0,031	•
25—50	0,15	0,044	0,037	0,019	0,013	0,008	0,017	•
50—75	0,21	0,049	0,071	0,025	0,016	0,012	0,028	•
75—100	0,15	0,049	0,033	0,025	0,016	0,013	0,006	•
100—125	0,19	0,043	0,066	0,019	0,019	0,006	0,027	•
125—150	0,19	0,044	0,062	0,025	0,016	0,015	0,015	•

Таблица 7

Место взятия образца	Глубина см	Химический состав (%) водных вытяжек барханно-бурых песков [61]									
		SiO ₂	Al ₂ O ₃	FeO	TiO ₂	CaO	MgO	Na ₂ O	Cl ⁻	HCO ₃ ⁻	K ⁺ +Na ⁺
Пески в 2–3 км северо-западнее станции Гарыбата											
0–41	4,00	5,50	0,14	0,01	14,0	0,105	Her	0,015	0,029	0,012	0,003
41–90	5,29	6,03	0,16	0,02	7,5	0,985	*	0,012	0,032	0,523	0,123
90–160	1,76	7,48	—	—	0,132	0,013	Her	0,008	0,038	0,010	0,005
160–195	2,94	6,91	—	—	0,131	0,014	Her	0,014	0,033	0,328	0,129
Аллювиальные пески											
Эоловые пески											
0–5	0,82	5,41	0,15	0,011	12,5	0,498	Her	0,038	0,018	0,034	0,010
5–12	3,53	5,96	0,10	0,010	11,5	0,106	Her	0,031	0,018	0,036	0,002
12–19	5,37	5,37	0,17	0,014	14,0	0,110	Her	0,033	0,008	0,035	0,017
19–26	5,78	—	—	—	—	—	—	—	—	—	0,008
Сложные аллювиальные отложения											
112–150	1,85	—	—	—	0,134	Her	0,016	0,048	0,024	0,014	0,002
150–200	5,78	—	—	—	0,427	Her	0,031	0,112	0,090	0,015	0,006
Поступающие атмосферные осадки											
0–40	0,60	0,40	0,05	0,005	11,5	1,549	Her	0,009	0,229	0,757	Не определен
40–67	0,68	0,78	0,029	0,029	14,4	1,618	Her	0,010	0,013	0,155	0,009
67–145	*	9,18	—	—	—	—	—	—	—	—	—
— ЗМ же, в понижении											
0–40	0,60	0,40	0,05	0,005	11,5	1,549	Her	0,009	0,229	0,757	Не определен
40–67	0,68	0,78	0,029	0,029	14,4	1,618	Her	0,010	0,013	0,155	0,009
67–145	*	9,18	—	—	—	—	—	—	—	—	—

Эоловые пески в районах Гограньдага, Камышлыджа, Барсакельмес и Котурдепе отличаются по степени и типу засоленности. Количество легкорасторвимых солей Cl⁻ в хлоридно-слабозасоленных эоловых песках Гограньдага 0,05%, а в сульфатно-хлоридных среднезасоленных песках Котурдепе увеличивается до 2,68%. В зависимости от типа засоленности количество Ca²⁺ меняется от 0,006 до 0,316% [52].

Тип засоленности зависит также от глубины, с которой взят образец. Например, на глубине 1,3 м сульфатно-хлоридные среднезасоленные пески, а к 3 м переходят в хлоридно-сульфатные сильнозасоленные, на глубине 5 м — опять сульфатно-хлоридные среднезасоленные.

Гранулометрия песка

Характерная особенность песков Туркменистана в том, что они сложены частицами неширокого диапазона крупности.

Они довольно хорошо отсортированы и состоят в основном из частиц мелких фракций независимо от их генезиса, района и глубины отбора образцов (табл. 9–12) [28, 45, 52–56]. Степень отсортированности перевеянных песков зависит от минералогического и механического состава исходного материала, длительности времени перевеяния. В перевеянных песках по сравнению с материнскими резко сокращается содержание пылеватых и глинистых частиц.

Образцы отбирались из всех разновидностей песков (около оснований опор ЛЭП), перемешанных с помощью техники и перевеянных ветром. Однако независимо от этого механический состав песков существенно не меняется. Почти во всех случаях содержание пылеватых частиц на поверхности несколько меньше, чем на глубине 50–70 см. Выноса этих частиц с поверхности не наблюдается, что объясняется непрерывным пополнением их за счет перетирания крупных частиц.

Пески северной части Западно-Туркменской низменности неодинаковы по составу. Здесь встречаются хорошо отсортированные, содержащие более 80% частиц 0,25–0,1 мм, и слабо отсортированные, в составе которых резко уменьшается содержание мелкозернистой фракции 0,25–0,1 мм и заметно возрастает количество частиц менее 0,1 и более 1 мм. Различная обогащен-

Таблица 8

Номер скважины и образца	Глубина, м	Сухой остаток	Анионы, %				Анионы, %				Сумма солей
			CO ₃ ²⁻	HCO ₃ ⁻	Cl ⁻	SO ₄ ²⁻	Ca ²⁺	Mg ²⁺	Na ⁺ + K ⁺ по разн.		
Эоловый песок											
Скв. 16	1,0	Отсутст.	0,004	0,05	сл.	0,003	0,008	0,015	0,081		
Скв. 42	1,0	0,304	Отс.	0,004	0,18	сл.	0,014	0,006	0,091	0,285	
Скв. 46.	0,8	1,968	-	0,008	0,61	0,663	0,194	0,02	0,455	1,448	
Барсакельмес											
Вершина бархана, обр. 7		Отс.	0,020	0,04	Сл.	0,002	0,08	20,02	0,09		
Подножье бархана, обр. 8		-	0,018	0,04	Сл.	0,002	0,002	0,025	0,087		
Котурдепе											
Скв. 1	1,3	4,00	0,014	0,06	1,40	1,126	0,156	0,120	1,074	3,950	
	3,0	3,772	Сл.	0,014	1,19	1,248	0,168	0,122	0,950	3,692	
	5,0	7,682	0,004	0,016	2,66	2,07	0,316	0,110	1,268	7,681	
Камышлыцка											
Скв. 6, обр. 7	0,7	-	0,002	0,032	0,01	Сл.	0,089	0,004	0,004	0,006	
Скв. 2, обр. 7	0,9	1,428	-	0,010	0,15	0,833	0,292	0,008	0,009	1,421	
Скв. 10, обр. 10	2,0	0,408	-	0,012	0,020	0,242	0,074	0,03	0,023	0,392	
Скв. 11, обр. 11	1,7	0,800	-	0,012	0,01	0,537	0,146	0,012	0,03	0,773	
Скв. 3, обр. 5	2,8	1,274	Отс.	0,018	0,020	0,899	0,284	0,004	0,004	1,268	
Скв. 5, обр. 7	3,0	0,642	-	0,016	0,170	0,227	0,028	0,004	0,012	0,531	
Скв. 1, обр. 2	5,6	1,568	-	0,014	0,04	0,965	0,252	0,004	0,008	1,550	

ность песков крупными и пылеватыми частицами, как и степень их отсортированности, в равной мере зависят от длительности золовой переработки состава исходных масс и удаленности источников их питания [55].

Гранулометрический состав очень чувствителен к воздействию ветра [57, 58]. При перевозании улучшается сортировка песков, выносятся пылеватые частицы, концентрируются крупные зерна и происходит изменение состава песков.

Западного Туркменистана [52]

Анионы, мг-экв.				Катионы, мг-экв				Тип засоления
CO ₃ ²⁻	HCO ₃ ⁻	Cl ⁻	SO ₄ ²⁻	Сумма	Ca ²⁺	Mg ²⁺	Na ⁺ + K ⁺	
Участок компрессорной станции								
Отс. 0,06	1,4	Сл.	1,46	0,3	0,5	0,66	1,46	Хлорид-слабозасол.
0,06	5,1	Сл.	5,16	0,7	0,5	3,96	5,16	Хлорид-слабозасол.
0,06	17,2	13,813	1,07	9,7	1,6	19,77	31,07	Хлорид-сульф. среднезасол.
Участок компрессорной станции								
Отс. 0,32	1,1	Сл.	1,42	0,1	0,2	1,12	1,42	Хлорид-слабозасол.
0,30	1,1	Сл.	1,40	0,1	0,2	1,10	1,40	Хлорид-слабозасол.
Участок компрессорной станции								
0,46	0,98	39,	23,44	64,38	7,8	9,9	46,68	64,38
0,22	33,6	25,98	9,80	8,4	10,1	41,3	59,80	Сульф.-хлорид. среднезасол.
0,14	0,26	75,1	48,00	23,52	15,8	9,1	98,62	123,52
Участок компрессорной станции								
0,060	0,52	0,3	Сл.	0,88	0,4	0,3	0,18	0,88 Хлорид засол.
-	0,16	1,2	17,36	21,71	14,6	2,5	4,61	21,71
-	0,02	0,60	5,04	5,84	3,7	0,5	1,64	5,84
-	0,20	0,30	11,18	11,68	7,9	1,0	1,08	11,68
-	0,30	0,60	18,10	19,0	14,2	3,1	1,7	19,0
-	0,26	1,8	4,73	9,79	1,4	0,3	8,09	9,79
-	0,22	1,1	20,1	91,42	12,6	0,9	6,92	21,42

Частицы крупнее 0,25 мм в северной части Западно-Туркменской низменности всегда концентрируются вблизи источников питания [55]. Составлена схема распространения частиц крупнее 0,25 мм в золовых песках. На них выделяются отдельные участки с разным содержанием этих частиц. В некоторых местах их количество достигает 60%, а местами не превышает 1%.

Количественное распределение песчаных частиц в базисных песках имеет другую картину [51]. Здесь пес-

Таблица 10

Гранулометрический состав (%) песков Западного Туркменистана
[28, 52]

Генетический тип и номер образца	Глубина, м	Фракция, мм								
		гравий			песок					
богато	1—0,5	0,5—0,25	0,25—0,10	0,10—0,01	менее 0,01	богато	1—0,5	0,5—0,25	0,25—0,10	0,10—0,05
Низменные Каракумы, золотой песок, Репетек	—	—	3,7	96,2	0,1	—	[53]			
Древнисалловианский серый песок, Репетек	—	8,5	14,8	70,3	6,5	—	[54]			
Западные Каракумы, золотой песок к северу от жд ст. Айдан, № 481	—	—	0,3	95,2	3,1	1,0	[55]			
Зунгурзуские Каракумы, Древнезолотой песок со склона засошной гряды, восточная часть в 30 км к югу от Даргамата, № 1.	—	3,35	20,9	53,6	19,8	2,1	[26]			
Северо-восточная часть в 20 км к югу от Хазараспа, № 4	—	0,1	0,7	80,3	10,8	0,1	Там же			
Западная часть у возвышенности Ишек-Анкремекъар	0,7	0,2	11,2	85,9	2,7	0,2	Там же			
Южная часть у пос. Даргана, № 15.	—	—	18,0	76,3	5,3	0,4	[26]			
Прикаспийские Каракумы										
Золотой песок, № 263	—	—	0,1	93,2	5,9	0,5	[55]			
Новоактасийские морские пески, № 239	0,3	0,2	0,1	84,3	12,5	2,6	Там же			
Золотой песок, № 146	—	—	1,0	97,0	1,6	0,4	Там же			
Древние морские пески Дарджакум	0,2	7,3	17,1	72,8	1,6	0,6	Там же			
Залив Кара-Богаз-Гол. Морской золотой песок, № 30	—	0,4	1,5	73,4	21,2	1,8	[56]			
Морской песок № 22 (материковых пород)	0,2	0,2	4,4	60,3	8,1	19,2	Там же			
Золотой песок, западная часть у пос. Котурдепе	—	0,3	37,5	57,5	3,1	3,4	[45]			
Золотой песок пос. Аннау	—	3,2	66,6	6,0	0,5	3,7	Там же			

Таблица 11

Механический состав барханных песков (Мургабский оазис) [51]

Глубина, см	Содержание фракций (%) диаметром, мм						Физическая глина 0,01 мм	
	1—0,25	0,25—0,1	0,1—0,05	0,05—0,01	0,01—0,005	0,005—0,001		
Золотые пески								
0—23	0,63	45,20	44,20	2,20	1,10	1,00	5,60	7,70
23—87	0,30	38,20	50,20	4,40	0,60	0,50	5,90	7,00
87—135	32,30	32,70	24,50	4,30	0,40	2,20	3,60	6,20
135—160	0,40	37,20	51,20	4,20	0,40	0,70	5,90	7,00
Аллювиальные пески								
0—16	0,01	26,50	66,49	1,20	1,00	0,80	4,00	5,80
107—175	0,04	28,80	59,76	3,80	2,20	0,50	4,90	7,60

Таблица 12

Механический состав (%) рыхлых песков опытного участка опоры ЛЭП в районе Котурдепе и Джебела [28, 45]

Мощность песка, см	Механический состав, мм						физ. гран.
	более 0,25	0,25—0,05	0,05—0,01	0,01—0,005	0,005—0,001	менее 0,001	
0—5	—	96,30	0,03	0,10	0,67	3,67	4,44
5—25	—	95,61	0,73	0,03	0,53	3,10	3,66
25—50	—	95,80	0,10	0,27	0,13	3,00	4,00
50—75	—	95,63	0,03	0,07	0,50	3,77	4,34
75—100	—	95,59	0,07	0,27	0,07	4,00	4,34
100—125	—	96,13	0,17	0,13	0,60	2,97	3,70
125—150	—	96,24	0,50	0,10	0,03	3,13	3,25

Район Котурдепе, ЛЭП № 193

0—5	—	96,30	0,03	0,10	0,67	3,67	4,44
5—25	—	95,61	0,73	0,03	0,53	3,10	3,66
25—50	—	95,80	0,10	0,27	0,13	3,00	4,00
50—75	—	95,63	0,03	0,07	0,50	3,77	4,34
75—100	—	95,59	0,07	0,27	0,07	4,00	4,34
100—125	—	96,13	0,17	0,13	0,60	2,97	3,70
125—150	—	96,24	0,50	0,10	0,03	3,13	3,25

Склон межбарханной формы (контроль)

0—5	—	95,77	0,43	0,07	0,90	2,73	3,70
5—25	—	95,97	0,03	0,20	0,57	3,23	4,00
25—50	—	95,86	0,27	0,07	0,63	3,17	3,67
50—75	—	94,29	0,17	0,20	0,27	3,07	3,54
75—100	—	95,63	0,50	0,40	0,27	3,20	3,87
100—125	—	95,83	0,20	0,53	0,07	3,37	3,97
125—150	—	94,57	0,80	0,13	0,23	3,87	4,63

Район Джебела. Опора ЛЭП

0—5	1,06	93,05	1,76	0,06	0,87	3,20	4,13
5—25	3,97	87,98	1,67	1,17	1,44	3,77	6,38
25—50	4,44	90,81	2,26	0,16	0,26	2,07	2,49
50—75	3,72	36,38	2,07	0,30	1,50	3,03	4,83
75—100	4,42	90,01	1,60	0,36	0,44	3,17	3,97
100—125	3,42	91,33	1,20	0,14	0,68	3,27	4,05
125—150	5,15	87,05	1,10	1,37	1,93	3,40	6,70

Склон бархана (контроль)

0—5	9,43	74,03	7,37	3,27	3,00	2,90	9,17
5—25	19,25	75,62	2,20	1,00	0,70	1,23	2,93
25—50	8,08	68,29	0,33	0,40	1,27	1,63	3,30
50—75	6,40	90,17	0,76	0,84	0,06	1,77	2,67
75—100	5,31	60,00	1,76	1,63	0,10	1,00	2,93
100—125	3,57	91,30	1,10	0,10	1,36	2,57	4,03

ки мелкозернистые с преобладанием фракции 0,25—0,05 мм—88—89 %. Содержание крупного песка (1—0,25 мм) незначительно — 0,3—0,6 %, пылеватых фракций (0,05—0,001 мм) также незначительно — 4—6 %, физической глины — 6,2—7,7 % (табл. 10). Количество глининистой фракции в золовых песках Западного Туркменистана (районы Джебела и Котурдепе) — 3,26—6,38 % (табл. 11).

Применение седиментометрического метода анализа песка позволяет определить размеры наиболее вероятных частиц и их процентное содержание в водных дисперсиях песка и является дополнением к механическому анализу, осуществляющемуся сухим способом. Один из авторов данной работы [28], применив весы Фигуровского [59] и методику расчета [60], установил размеры наиболее вероятных частиц для песка котурдепинского района — 4 мк (рис. 1), на основе которого методом пластифицирования [67] приготовлена 2%-ная водная суспензия.

О характере поверхности зёрен песка

Характер поверхности песчаных частиц, их цвет и форма зерен во многом предопределяют скорость взаимодействия между песком и фиксатором.

Песчаные частицы делят на группы в соответствии со степенью их окатанности [21]. При этом выделяют окатанные зерна — форма близка к шарообразной; полуккатанные — с более волнистыми очертаниями; полуугловатые — с неправильными очертаниями, углы и острые грани притуплены; угловатые острые ребра и угловатые очертания. Различают еще координированные (как бы «изведененные») и регенерированные зерна, которые образуются в результате нарастания на песчинках одно-

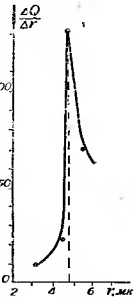


Рис. 1. Кривые распределения частиц по радиусам 2%-ной суспензии песка.

именного материала (на кварцевых песчанках — кварца, на известняках — карбоната кальция и т. д.), восстанавливая при этом их первоначальную форму. Степень окатанности песчаных частиц зависит от размера, минералогического состава, характера и условий переноса, а также расстояния и длительности переноса и увеличивается с возрастанием крупности песчинок.

Форма песчинок в значительной степени зависит от свойств минерала и прежде всего от совершенства его спайности [82]. Минералы, не обладающие спайностью, образуют более совершенные округлые зерна, в то время как минералы со спайностью, раскалывающиеся по ее плоскостям, дают более угловатые формы. Лучше других округлены песчинки кварца, кремнезема, но никогда не встречаются окатанные зерна слюды, легко раскалывающейся по спайности на чешуйки. Вопрос о полированности поверхности песка является дискуссионным. Если полированная поверхность, по У. Х. Твенхфельду [63], характерна для обломков, подвергающихся действию воды, а матовые поверхности только золотым песчинкам, то, по П. И. Фадееву [21], полированная поверхность свойственна золотым песчинкам, а матовая — песчинкам, обработанным водой.

В. П. Батурий [64] отмечает, что матовая и блестящая поверхность встречаются у песчинок независимо от размера. Любая из них может, в свою очередь, быть гладкой и неровной, подразделяясь на штрихованную, мелкоячменчатую, крупноячменчатую. Ямчатые поверхности свойственны обычно зернам, подвергшимся действию ветра или растворения.

Поверхность песчинок нередко покрыта тонкой оболочкой, состоящей из другого вещества, отличного от вещества самих песчинок. Оболочка на поверхности песчинок [21] возникает за счет электростатического притяжения поверхности песчинок, растворимых в воде солей полуторных окислов и кремнезема, а также за счет адсорбции проникающих в толщу песка коллоидных растворов и суспензий; при этом немаловажна ортокинетическая коагуляция. Различием этих процессов определяется тип оболочки.

В некоторых случаях оболочку предлагают делить на глинистый, железистый и смешанный типы [21]. Представляет интерес классификация оболочек, в основе которой лежит представление о веществе оболочки как

о сложном комплексе различных минеральных и органических соединений [65].

I тип — глинистый. Вещество оболочек близко к обычным глинам, присутствие таких оболочек на песчинках сообщает последним способность адсорбировать катионы. С поверхностью кварцевых зерен оболочка связана через обменившийся Са. Вытеснение Са вызывает отделение оболочек и «раздевание» песчинок. Цветной песок обесцвечивается, давая окрашенные суспензии.

II тип — железистый. Оболочка представляет коллоидный комплекс, подавляющая часть которого необратимо связана с гидроокислом железа. Вещество оболочек растворимо в минеральных и органических кислотах.

III тип — переходный между I и II. Вещество оболочек с высоким отношением $\frac{SiO_2}{R^2O_3}$.

IV тип — оболочки смешанного типа.

Каждый тип отражает особенности условий генезиса и парагенезиса песчаных отложений. Присутствием глинистых, железистых и других веществ в поверхностном слое, по-видимому, и объясняется гидрофильность поверхности песка, которая, по данным [28], на один порядок меньше гидрофильности бентонитовых глин и составляет около 5 дж/г. Вещества, находящиеся на поверхностном слое песчинок, являются неактивными, а избыточная свободная энергия системы понижена за счет адсорбции веществ из окружающей среды. Вследствие этого сила контактного взаимодействия между песчинками минимальна, и при действии даже незначительных внешних сил пески приходят в движение.

О движении песка

Песок — это система, состоящая из двух фаз, — газообразной и твердой, поэтому он относится к сыпучим телам. Песок представляет свободнодисперсионную систему, в которой содержание твердой фазы достаточно высоко, но из-за низкой величины силы сцепления в местах контакта частицы песка способны перемещаться под действием внешних сил, например, под действием ветра. При этом наблюдается флюидизация песка, то есть его течение, распыление. Эти процессы рассмотрены Н. А. Фуксом [66].

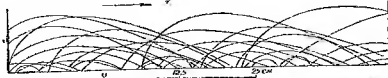


Рис. 2. Траектории прыгающих песчинок.

Частицы, лежащие на поверхности слоя, состоящего из тех же частиц, движутся тремя способами: перекатываются по поверхности; отрываются от поверхности и сейчас же падают обратно («прыжок»); переходят в состояние аэрозоля, то есть в виде аэродисперсионной системы с газовой (воздушной) дисперсионной средой.

При определенной скорости воздуха (ветра) частицы, выступающие из слоя песка, начинают перекатываться. Эти песчинки, попав в небольшие углубления, останавливаются. С увеличением силы ветра некоторое число песчинок снова начинает перекатываться, а затем останавливается и т. д. Движущиеся таким образом песчинки, сталкиваясь с другими, более крупными частицами, выступающими над поверхностью, отскакивают. При критической скорости ветра большая часть песчинок начинает передвигаться «пробежками» (рис. 2).

Если частицы выпадают из потока воздуха, двигающегося ламинарно у самой поверхности, то их подхватывают турбулентные вертикальные пульсирующие потоки воздуха. Песчинки иногда отскакивают от поверхности рикошетом, повторяя прыжок, иногда падают, зарываясь в песок, и передают свой импульс другим песчинкам, которые начинают перекатываться или отскакивать. Таким образом, процесс переноса и движения песка имеет характер «цепной» реакции. Раз начавшись, движение распространяется на большие расстояния. Начинается этот процесс на небольших возвышениях под действием ветра и случайных причин. А. П. Ивановым рассмотрены траектории перекатывания в зависимости от форм зерен песка, значения начальной скорости движения частиц от их оперечника, закономерности проявления упругих свойств при ударах частиц и их вращение в потоке [67]. Им найдено аналитическое выражение за-

висимости количества переносимого песка от скорости ветра. В основу берется импульсная теория отрыва и переноса песчаных частиц воздушным потоком (табл. 13).

Таблица 13

Значения скорости ветра, при которых начинается передвижение песков различной крупности [21]

Радиус песчинок, мм	0,087—0,12	0,12—0,25	0,25—0,5	0,5—1,0
Критическая скорость ветра, м/с				
для песка с 2%-ной влажностью	6,0	7,5	9,5	12,0
для сухого песка	3,8	4,8	6,0	9,0

Чем меньше размер частиц песка, тем меньше сила ветра, вызывающая их движение. Небольшое увлажнение требует увеличения силы ветра в 1,5 раза. Для песчинки с радиусом больше 50 мкм критическая скорость «течения» по поверхности песка пропорциональна квадратному корню из радиуса песчинок [66]. Для песчинок с радиусом меньше 50 мкм критическая скорость возрастает при переходе к более мелким частицам благодаря молекулярным силам, действующим между частицами [4, 66].

Ветры называются активными, если они приводят в движение мелкозернистый песок с размером частиц 0,25—0,10 мм [29]. Скорость таких ветров у поверхности песка близка к 3,5—4,0 м/с, что соответствует скорости ветра 5—6 м/с (по шкале Бофорта) на флагере высотой 10 м.

Пористость песка

Для порошкообразных материалов, к которым относятся почвы, глины, природные цеолиты, синтетические алюмосиликаты, песок и многие другие, различают первичную и вторичную пористость.

Первичная пористая структура порошков обусловлена особенностями кристаллических структур минералов, из

Таблица 14

Пористость песков различного происхождения

Тип песка. Глубина горизонта, см					
	Удельный вес, г/см ³	Объемный вес, г/см ³	Пористость, %	Суммарный объем пор, см ³ /г	
1	2	3	4	5	
Эоловый песок Западного Туркменистана, район Котурдепе					
0—5	2,71	1,41	47,93	0,340	
5—25	2,70	1,54	42,96	0,279	
25—50	2,73	1,56	42,65	0,275	
50—75	2,80	1,50	46,42	0,309	
75—100	2,78	1,45	47,84	0,312	
100—125	2,75	1,28	53,45	0,415	
125—150	2,53	1,46	42,29	0,289	
0—150	2,71	1,45	46,49	0,320	
Район Джебела					
0—5	2,73	1,64	39,92	0,243	
5—25	2,71	1,58	41,69	0,273	
25—50	2,58	1,56	39,87	0,254	
50—75	2,68	1,63	39,40	0,242	
75—100	2,63	1,61	39,01	0,250	
100—125	2,79	1,59	43,01	0,270	
125—150	2,78	1,56	43,88	0,282	
0—150	2,70	1,58	41,48	0,262	
Район Барсакельмес (пир Келкор)					
3—25	2,49	1,44	42,16	0,293	
25—50	2,45	1,40	42,15	0,306	
50—100	2,40	1,48	38,33	0,259	
100—150	2,41	1,53	36,51	0,261	
Среднеибахранные пески					
3—25	2,30	1,44	37,39	0,260	
25—50	2,30	1,44	37,39	0,260	
50—100	2,20	1,44	37,39	0,260	
100—150	2,20	1,44	37,39	0,260	
Крупноибахранные пески					
3—25	2,30	1,44	37,39	0,260	
25—50	2,30	1,44	37,39	0,260	
50—100	2,30	1,44	37,39	0,260	
100—150	2,30	1,44	37,39	0,260	
Эоловые пески Юго-Западного Туркменистана, район Камышлыджа	2,65	1,39	47,54	0,350	

которых состоит данный материал. Например, глина, содержащая монтмориллонит, обладает расширяющейся кристаллической структурой в процессе поглощения воды. Вторичная пористая структура возникает благодаря зарядам между контактирующимися частицами. В [68] рассмотрен механизм формирования первичных и вторичных структур природных минеральных сорбентов.

Формирование первичной структуры природных минеральных сорбентов протекает по строгим законам кристаллохимии. Возникновение вторичной структуры обусловливается кристаллохимическими особенностями и формой кристаллов глинистых минералов, из которых состоят природные глинистые материалы (сорбенты), силами взаимодействия между элементами вторичных структур (кристаллокомплексами, частицами, агрегатами), силой тяжести, действием воды, обменных ионов, низко- и высокомолекулярных электролитов. Влияние каждого из этих факторов на процесс формирования вторичных структур различно.

Первичная пористая структура песка определяется особенностями кристаллических структур минералов, из которых состоят вещества в поверхностном слое песка. Исходя из того, что составляющие поверхности слой вещества практически не набухают в воде, можно предебречь величину первичной пористости песка.

Вторичная пористость — пространство между контактирующими частицами, которое сильно зависит от характера сложения и размера песчаных зерен; значение суммарного объема пор в песке, заполненных воздухом, будем называть пористостью песка, хотя эта величина в случае почвы называется порозностью [22]. Для ее определения необходимо знать величину объемного веса, под которым подразумевается отношение веса песка в известном объеме к весу воды в том же объеме и удельного веса, называемого отношением веса твердой фазы в определенном объеме к весу воды в том же объеме (при температуре 4°). На основании экспериментальных данных удельного ($\alpha^2/\text{см}^3$) и объемного ($\alpha^3/\text{см}^3$) веса песка рассчитывают значения пористости (n) по

$$n = \frac{\alpha - \sigma}{\alpha} \cdot 100\% \text{ и величину суммарного объема пор } (V_e)$$

по $V_e = \frac{1}{\alpha} - \frac{1}{\sigma} \text{ см}^3$. Значение удельного веса для боль-

(Продолж. табл. 14)

1	2	3	4	5
Речной песок (р. Москва) [21]	2,16	1,72	35,33	0,206
Золотой песок (Западный Казахстан) [21]	2,71	1,71	36,90	0,215
Морской песок Черного моря [21] (Азовское море) [21]	2,63	—	—	—
Крупнозернистый золотой песок из Репетека 1—0,5 мм [29]	2,65	1,75	33,95	0,194
Среднезернистый 0,5—0,25 мм [29]	2,65	1,74	34,33	0,197
Мелкозернистый 0,25—0,1 мм [29]	2,65	1,68	36,60	0,218
Тонкозернистый 0,1—0,05 мм [29]	2,65	1,60	39,62	0,248

шинства песков, близких к мономинеральным, равно 2,60 [69]. Удельный вес песков, в которых содержатся водорасторвимые соли или органические вещества, значительно колеблется [21] (табл. 14).

Объемный вес песка зависит от минералогического состава, природы присутствующих в песке веществ, формы и характера сложения зерен песка и т. д. Объемный вес песка (см. табл. 14) всегда меньше удельного, так как объемный вес в противоположность удельному учитывает находящийся в пробе воздух.

Величина суммарного объема пор колеблется в пределах 0,194—0,350 см³/г. Другими словами, пространство (объем) одного грамма песка, заполненного воздухом, меняется от 0,19 до 0,35 см³.

Величина этого объема (табл. 14) колеблется от 50 до 75% в зависимости от генезиса, вида песка, его минералогического состава, вида присутствующих в нем веществ и т. д. П. М. Фадеев [21] проанализировал влияние некоторых факторов на пористость песка. Отметим основные из них.

Размеры зерна. Зависимость пористости песков от размера частиц достаточно хорошо выявлена в работах многих авторов [70—73] (табл. 15).

Пористость кварца и ортоклаза увеличивается с уменьшением диаметра частиц в рыхлом и уплотненном состояниях, а пористость слюды, наоборот, уменьшается, что связано с пластинчатым ее строением.

Следует отметить, что закономерность в изменении пористости у естественных песков выдерживается лишь

у песков более или менее однородных. В песках неоднородных эта закономерность часто нарушается: пористость значительно уменьшается, когда мелкие частицы, располагаясь в промежутках между крупными, уменьшают объем свободного пространства.

Таблица 15

Зависимость пористости песков (%) от их состояния и размера песчаных частиц

Диаметр фракции, мм	Кварц		Ортоклаз		Слюда (мусковит)	
	Состояние					
	рыхлое	уплотненное	рыхлое	уплотненное	рыхлое	уплотненное
2—1,0	47,63	37,80	47,5	45,46	87,0	80,46
1—0,5	47,10	40,61	51,98	47,88	85,18	75,20
0,5—0,25	46,98	41,09	54,76	49,18	83,71	72,16
0,25—0,10	52,47	44,82	58,46	51,62	82,74	66,30
0,10—0,06	34,60	45,31	61,22	52,72	82,98	68,98
0,06—0,01	55,99	45,68	62,53	—	—	65,33

Форма зерен. Форма песчаных зерен никогда не бывает идеально сферической и изменяется в широких пределах в зависимости от минералогического состава, характера и условий переноса, дальности и продолжительности переноса и других факторов. Поэтому в естественных песках неправильность формы зерен вызывает при прочих равных условиях значительные колебания пористости. В уплотненном состоянии пористость песка независимо от размера зерен имеет примерно постоянную величину — 34% [70].

Расположение зерен. Величина пористости песка также во многом зависит от расположения зерен. Так, пористость рыхлого песка 47,64%, уплотненного — 25,95% [21]. В лабораторных условиях любое расположение песчаных зерен окажется уплотненным, следовательно и величина пористости соответствует его уплотненному состоянию. Чем сильнее уплотнен песок, тем меньше его пористость (табл. 16) [21].

Уменьшение пористости песков при уплотнении под действием давления происходит за счет перераспределения и более тесного расположения песчаных зерен. На

Таблица 16

Величина пористости песка в зависимости от его уплотнения

Размер зерен, мм	Начальная пористость, %	Пористость (%) при давлении, кг/см ²					Удельный вес, г/см ³
		51	103	154	205	256	
0,500	41,1	39,2	38,9	38,4	37,9	36,1	2,027
0,208	50,8	44,4	42,8	41,4	40,0	38,9	2,089
0,175	48,1	44,9	44,3	43,4	42,9	42,5	2,063
0,147	48,1	44,8	44,2	43,8	43,1	43,0	2,067
0,104	51,5	48,0	46,5	45,8	45,4	44,6	2,067
0,088	52,1	47,1	45,8	45,6	45,2	44,5	2,067
0,074	54,6	48,2	47,3	47,0	46,0	45,9	2,570

первоначальную пористость песков, отложенных в естественных условиях, влияют различные факторы: уплотнения в процессе отложения и под давлением выщележащих пород; продолжительность уплотнения; влажности песка, его генезис и последующие геологические процессы. Пористость заросших илаковой дерниной песков больше пористости оголенных, перевеваемых песков' (см. табл. 14), что связано с присутствием в них агрегатов, образованных из более мелких частиц, склеенных органическими веществами растений и их отмерших остатков.

ГЛАВА II

ХИМИЧЕСКИЕ МЕЛИОРАНТЫ ПОДВИЖНЫХ ПЕСКОВ

Классификация химических мелиорантов

Химические мелиоранты — вещества, применяемые для закрепления подвижных песков. В настоящее время сще нет их единой классификации. В ее основу следует положить их происхождение, принадлежность к определенным классам соединений и др. Но действие мелиорантов зависит от химических свойств, строения молекул, молекулярного веса, вида и количества функциональных групп, их расположения в цепи макромолекул, степени ионизации функциональных групп, ассоциированности растворенных частиц в растворе, надмолекулярных структур и др.

Классификация по происхождению. Применяемые в настоящее время химические мелиоранты относятся к продуктам, являющимся отходами производства, хотя среди веществ, используемых в качестве мелиорантов, есть и продукты, выпускаемые промышленностью.

Классификация по типу соединений. Химические мелиоранты можно разделить на две большие категории — неорганические и органические вещества. Встречаются мелиоранты, относящиеся к неорганическим и органическим веществам. Например, стабилизированные водорастворимыми полизелектролитами суспензии глини, обработанные полизелектролитами, которые относят к классу высокодисперсных систем.

Классификация по растворимости. По этому признаку их можно разделить на несколько групп. Химические мелиоранты, растворимы в воде. Их водные растворы в зависимости от содержания растворенного вещества приобретают свойства истинных или коллоидных растворов. Например, растворы полизелектролитов, которые при низкой концентрации являются истинными растворами, а при высоких — коллоидными. Эти растворы термодинамически устойчивы и обладают способностью не расслаиваться не только за период их использования, но и за более длительный срок.

Химические мелиоранты, совершенно нерастворимые в воде, их смеси с водой термодинамически неустойчивы. Препараты, обладающие способностью растворяться в воде неполностью. Смеси таких веществ с водой при надлежащей степени дисперсности и обработке их добавками могут быть устойчивыми, нерасслаивающимися.

Вещества, растворимые в щелочных растворах (углеводородные реагенты).

Мелиоранты, растворимые в органических жидкостях (битум, нефть).

Классификация по величине молекулярной массы. Химические мелиоранты сильно отличаются по молекулярной массе. Следует классифициро-

вать их как вещества с низким (например, соли) или высоким (полиэлектролиты) молекулярным весом. Есть препараты, занимающие промежуточное положение между низкомолекулярными веществами и полимерами. По существующей классификации в полимерной химии [74], их можно было бы назвать олигомерами, или полионемерами. Но такая классификация неприемлема из-за того, что не для всех препаратов, применяемых в качестве закрепителей песка, могут быть определены их молекулярные массы.

Классификация по химическому составу и строению молекул. По этим признакам мелиоранты можно разделить на низкомолекулярные неорганические соединения (соли); высокомолекулярные неорганические соединения (глины); высокомолекулярные органические соединения с цепеобразной формой макромолекулы (полиэлектролиты, эфиры целлюлозы и т. д.); высокомолекулярные органические соединения с глябулярной формой макромолекул (вещества на основе лигносульфонатов и др.).

Классификация по типу связи между частицами твердой фазы. Связи между песчаными частицами зависят от химической природы мелиоранта и могут быть подразделены на следующие типы.

Жесткий тип связи, когда песчаные частицы лишены возможности взаимного перемещения. Под воздействием внешней нагрузки такой тип связи нарушается и не восстанавливается после снятия внешней нагрузки (фиксация песка цементом, жидким стеклом, а также обжиг и спекание песка) или восстанавливается, но частично, при определенных благоприятных условиях (фиксация песка водными растворами поликарбоната или структурообразователя К-4, К-6 и др.).

Пластичный тип связи, когда песчаные частицы имеют возможность перемещаться без нарушения связей и легко восстанавливают нарушенные связи, если имеется возможность контакта разделившихся мест (мелиорация песка смесями сырой нефти с нефтепродуктами, сланцевой смолой и другими минеральными маслами).

Эластичный тип связи, когда песчаные частицы имеют ограниченную возможность перемещения. Такой тип связи под воздействием внешней нагрузки (в пределах

упругой деформации материала мелиорантов) обычно не нарушается, а все покрытие деформируется и частично принимает первоначальную форму после снятия внешней нагрузки (мелиорация песка латексом) [67].

Классификация по типу образовавшейся структуры на поверхности песка. В дисперсиях песка с применением химических мелиорантов возникают кристаллизационная (при использовании вяжущих материалов), коагуляционная (глинистые суспензии без и с применением полимеров), переходящая в конденсационную (при подсушивании, уплотнении), конденсационная или конденсационно-кристаллизационная (битумы в зависимости от температуры) структуры. Эта классификация мало применима из-за трудности определения вида образовавшейся в процессе мелиорации подвижных песков структуры.

Классификация по происхождению является, по-видимому, более эффективной. Каждый препарат определяется значением своей молекулярной массы, растворимостью в каком-либо растворителе, агрегатным состоянием и т. д. По происхождению химические мелиоранты по аналогии классификации, принятой для волокнистых материалов, могут быть разделены на природные, искусственные и синтетические [75].

Природные химические мелиоранты — это такие материалы, которые без каких-либо серьезных химических воздействий на них обладают способностью закреплять подвижные пески (например, нефтяные смолы). Если природные материалы сами не обладают способностью связывать частицы свободнодисперсных систем песка (например, целлюлоза, уголь), а продукты их химической обработки являются прекрасными закрепителями (например, карбоксиметилцеллюлоза, жидкое стекло и др.), то их следует называть искусственными. Химические мелиоранты, приготовленные путем синтеза из мономеров, или полученные на основе синтетических полимеров, являются синтетическими. К ним относятся водорастворимые полимеры, поверхностью-активные вещества и др.

Предложенные варианты классификации мелиорантов не являются окончательными. Дальнейшие исследования в этом направлении помогут выбрать тот вариант классификации, который наилучшим образом отвечает поставленным задачам.

Природные мелиоранты песков

Природные мелиоранты — это такие природные химические соединения, которые в естественном виде обладают способностью переводить свободнодисперсную систему песка в связнодисперсионную, после чего песок теряет своюственную ему флюидизацию.

Вода

Мелиорация подвижных песков водой — это смачивание поверхности зерен песка. При слипании таких частиц они взаимоудерживаются капиллярными силами, возникающими между контактирующими песчинками (капиллярная теория структурообразования в почвах) [22, 76]. При заполнении пор водой в местах соприкосновения — «контактах» частиц — возникают мениски, имеющие волнутую форму. Под волнутой поверхностью давление жидкости понижается [77], и частицы песка могут в определенных условиях испытывать избыток внешнего давления, которое сжимает и удерживает их.

Вода является уникальным растворителем. Многие методы закрепления песков, связанные с использованием химических мелиорантов, за исключением закрепителей из нефти, основываются на использовании воды в значительном количестве в качестве растворителя или в качестве дисперсионной среды. Рассмотрим более подробно вопросы структуры воды, строения, а также свойства, с которыми связана ее растворяющая способность и предопределющие в конечном итоге свойства водных дисперсий химических мелиорантов.

Атом кислорода, находящийся в вершине угла пelineйной молекулы $\text{H}-\text{O}-\text{H}$ и определяющий ее геометрию, кроме $2S$ -электронов, не способных к образованию связи, имеет еще три $2P$ -орбиты, из которых одна — P_{σ_x} — уже занята парой электронов с противоположными спинами, в то время как P_{σ_y} и P_{σ_z} — орбиты, составляющие друг с другом прямые углы, которые могут принимать участие в образовании σ-связей [78]. Таким образом, атом кислорода в молекуле воды, имея на внешних $2S$, $2P_x$, $2P_y$ и $2P_z$ орбитах 6 электронов, обладает двумя орбитами, занятymi спаренными электронами и двумя связывающими орбитами. В зависимости от степени гибридизации этих орбит взаимное расположение связывающих

орбиталей может меняться, образуя углы 90— 180° [79]. Уже первые рентгеноструктурные исследования [80] показали, что в жидкой и кристаллической фазах молекулам воды свойственна приблизительно тетраэдрическая координация [81], сохраняющаяся при высоких температурах (например, при 473К) [82, 83], и дополнительно подтвержденная расчетами молекулярных орбит [84].

Два ядра водорода и одно ядро кислорода, из которых состоит молекула воды, окружены десятью электронами. Два электрона движутся вблизи атома кислорода, а остальные восемь — по четырем вытянутым орбиталям. Оси двух из этих орбиталей направлены вдоль связей $\text{O}-\text{H}$, а двух других, электроны которых не участвуют в образовании химических связей, лежат приблизительно в плоскости, идущей через ядро кислорода и перпендикулярной плоскости HON . Электроны движутся в пределах орбиталей попарно. С протонами H^+ , находящимися внутри двух орбиталей, связаны два полюса положительных электрических зарядов молекулы воды. Электроны, расположенные в двух других орбиталах, образуют так называемые неподеленные пары. Они определяют сравнительно большую величину электронной плотности в периферической части молекулы, противоположной той ее части, в которой расположены протоны. К этим электронам приворачиваются два полюса отрицательных зарядов молекулы воды [85].

Помещение зарядов, равных сумме зарядов электронов, находящихся на каждой орбите, в центр тяжести этих орбит, привело к появлению точечной модели молекулы воды, хорошо описывающей геометрию и дипольный момент и носящей название точечной модели Данкена-Попла [84]. По этой модели угол между орбитальми спаренных электронов равен $120,2^\circ$, угол между связывающими орбитальми — $104,5^\circ$, а угол между связывающей орбитой и орбитой неподеленной пары электронов — $107,8^\circ$. Расстояние от ядра атома кислорода до центров спаренных и связывающих орбиталей и до протонов соответственно равны 0,0367, 0,0583 и 0,0963 нм.

В газообразном состоянии молекулы воды представляют собой диполи ($\mu=1,78 \text{ Д}$), в которых протоны находятся на расстоянии 0,0958 нм от ядра атома кислорода, а угол между направлениями связей кислород — водород составляет $104^\circ 22'$. Жидкая вода обладает высо-

кой теплоемкостью, температурами затвердения и испарения, критической температурой, диэлектрической постоянной и характеризуется многочисленными аномальными свойствами [86, 87].

Вода относится к числу соединений, наиболее подходящих для образования водородной связи между ее молекулами [88]. Наличие в молекулах воды неподеленных электронных пар играет важную роль в образовании водородных связей; за счет этих пар в каждой молекуле воды могут возникнуть два центра для образования межмолекулярных водородных связей. Считается установленной донорная способность OH-групп молекул воды. В этом случае OH-группа с неподеленной парой электронов молекулы воды служит акцептором протонов [89]. Еще две связи обеспечивают два водородных атома. Таким образом, одна молекула воды в состоянии образовать четыре водородные связи и тем самым является основой для тетраэдрического каркаса молекул. Водородные мостики при этом отступают от линейных на $0-7^\circ$, а энергия водородной связи в димере молекул воды составляет $19,75-29,25 \text{ кДж/моль}$. Равновесное расстояние между атомами кислорода двух молекул воды димера равно $0,273-0,300 \text{ нм}$. По мере увеличения числа молекул, входящих в комплексы, расстояние между молекулами сокращается на $0,01-0,04 \text{ нм}$, а длина H-связей увеличивается до $0,090 \text{ нм}$. Угол между OH-связями уменьшается до 100° , а между неподеленными парами—до 116° . Дипольный момент воды при этом остается практически постоянным — $1,82-2,19 \text{ Д}$ [90, 91].

Водородные связи в воде неаддитивны. Возникновение на атомах кислорода (при образовании подобных связей) протонодонорных и протоноакцепторных молекул соответственно отрицательных и положительных зарядов приводит к тому, что тримеры более устойчивы, чем димеры, а циклические комплексы (кроме димеров) устойчивее цепочечных. При ассоциации трех молекул и более проявляется тенденция к тетраэдрической координации [92].

Изучая молекулярные пучки водных димеров методом электрической резонансной спектроскопии установлено, что димерный агрегат является «транс-линейным» комплексом, в котором имеются линейная и тетраэдрически ориентированная водородные связи [91].

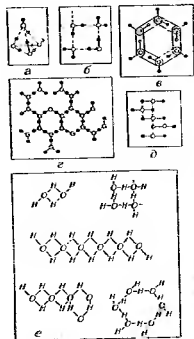
Исследованиями межмолекулярного взаимодействия

Рис. 3. Предполагаемые типы структур воды:
а — тетраэдрический, $m=4$; $\mu=72$ (Боландер Р. В., Касснер Дж. А. Цуле Дж. Г.); б — кольцевая тетramerы, $m=4$, $\mu=72$ (Беллин Л. Дж., Осборн А. К., Линнинкотт Е. Р., Бэлди А. Р.); в — гексагональная, $m=6$, $\mu=108$ (Линнинкотт Е. Р., Штромберг Р. Р., Грант Б. Т., Кессак Г. А.); г — разветвленная полимерная пена (те же, что и в «в»); д — ассоциация возбужденных молекул H_2O (Гурьев Ю. А.); е — межмолекулярные агрегаты в жидкой воде (Аддис М.).

(методом ЯМР) молекулярного рассеяния света установлено, что в жидкой воде очень сильны близкодействующие и дальнодействующие силы взаимодействия [93, 94]. Процесс сильного межмолекулярного взаимодействия в воде достигает 500 К , а дальнодействие межмолекулярного взаимодействия определяется большой анизотропией поляризуемостью молекул H_2O в жидкой воде [94].

Итак, межмолекулярные взаимодействия в воде определяются водородными связями, что приводит к возникновению различных структур воды (под структурой понимается близкая упорядоченность ее молекул), [88, 95-98] (рис. 3).

Первые представления о структуре воды, основанные на количественной интерпретации рентгенографических исследований, сформулированы Д. Ж. Берналом и Р. Фаулером [80]. По их представлениям, в воде могут осуществляться три основных способа взаимного расположения молекул. При низких температурах преоблада-



ет наиболее ажурная структура типа лед-тридинит (вода I). Основной является тетраэдрическая типа кварца (вода II), переходящая при температурах, близких к кристаллической, к простой симметрической упаковке (вода III). В обычных условиях наблюдается равновесие всех трех структур. С ростом температуры равновесие смещается вправо, в сторону увеличения воды III.

Присутствие в воде ажурных структур с большим числом пустот объясняется взаимодействием ее молекул вследствие направленных водородных связей. Эластичность водородных связей реализует разнообразные структуры, примером которых могут служить различные модификации кристаллического льда (тридинития, кварцевая и плотно упакованная структуры).

Иногда молекулы воды располагаются в пространстве таким образом, что образуется наибольшее количество водородных связей [79, 99–103]. Наибольшее число H-связей между молекулами воды наблюдается у льда. При плавлении его часть водородных связей разрывается и некоторые из молекул попадают в октаэдрические пустоты, в результате чего упаковка молекул становится более плотной и удельный объем уменьшается. Повышение температуры сопровождается увеличением количества разорванных водородных связей и заполненных пустот, уменьшением степени агрегации и размеров областей, в которых сохраняется ближний порядок.

Другую модель воды предложил Л. Полинг [104], считавший кварцеподобную структуру менее стабильной из-за сильного изгиба водородных связей. Он предположил, что вода имеет клатратную структуру типа газовых гидратов, в которых центральными молекулами окружена каркасом из молекул воды, образующих пятиугольные додекаэдры. Такая система обладает наименьшим процентом неразорванных связей и, следовательно, более устойчива.

Структуры типа льдоподобного и клатратного каркасов энергетически близки, однако предпочтителен первый тип [79, 105]. Не исключена возможность перехода льдоподобного каркаса (в интервале температур воды 30–60°) в додекаэдрические структуры клатратного типа. Модели О. Я. Самойлова и Л. Полинга представляют «классические» структуры: молекулы укладываются в единый каркас с частично заполненными пустотами. При надлежащем подборе параметров эти модели позволяют получить хорошее согласие с наблюдаемыми свойствами воды [86].

Двухструктурные модели основаны на гипотезе о существовании в жидкой воде по крайней мере двух структур ближайшего окружения, отличающихся типами упаковок, присущими каждой из этих существующих структур, природой теплового движения и взаимодействием молекул в них, например, модель Бернала и Фаулера. Впервые двухструктурная модель использована В. Рентгеном [106] для объяснения аномалии плотности воды.

Образование надмолекулярных структур в жидкой воде объясняется как результат кооперативных эффектов, вызывающих одновременное усиление или ослабление H-связей для соседствующих групп молекул воды [107]. Следовательно, в воде имеются микрочастки, различающиеся между собой энергией связи молекул, и способные к периодическим (за 10^{-10} – 10^{-11} с) структурным перестройкам. Двухструктурная модель, введенная Н. С. Франком, позволяет рассматривать воду как идеальную смесь микрочастиков с различной надмолекулярной структурой. Во многих работах [80, 83, 99, 107–109] применена двухструктурная модель в описании термодинамических свойств воды. В частности некоторые авторы [83] считают, что вода является смесью двух находящихся в равновесии структур: рыхлой, типа льда (плотность $\rho_1 = 0,87 \text{ г}/\text{см}^3$), и более компактной ($\rho_2 = 1,32 \text{ г}/\text{см}^3$), с частично разорванными водородными связями. В. М. Вдовенко и др. [110] в своих исследованиях использовали двухструктурную модель воды при описании термодинамики этой модели. По их мнению, структура воды состоит из льдоподобного каркаса, в который вкраплены участки с разупорядоченной структурой, где большая часть водородных связей порвана и координационное число увеличено. Такие участки возникают вследствие кооперативных эффектов [107, 111]. Степень разрушения участков льдоподобной структуры снижается при повышении температуры.

По последнего времени не существовало прямых экспериментальных данных, допускавших возможность однозначной интерпретации выбора модели, наиболее приближающейся к действительности. Однако отдельные авторы [108, 112] показали, что диэлектрическая релаксация жидкой воды на высоких частотах дает представление о существовании в жидкой воде двух времен релаксации, отличающихся друг от друга примерно в 2 раза.

ва. Они считают, что эти результаты являются прямым экспериментальным подтверждением двухструктурной модели, приписывая два времени релаксации процессам переориентации молекул воды, по-разному связанных в каждой из существующих структур. В некоторых случаях [113] при объяснении аномального поведения воды допускалось наличие в ней ассоциатов в виде димеров, тримеров, но никаких предположений о существовании упорядоченных надмолекулярных структур высказано не было. Позднее гипотезу развили А. Эйкен [114], который считал возможным присутствие в воде льдоподобных блоков, состоящих из восьми молекул H_2O . Распадом этих блоков и их существованием с ассоциатами меньших размеров $(H_2O)_4$ и $(H_2O)_2$, а также с мономерными молекулами он объяснил аномалию теплового расширения воды.

Г. Немети и Х. Шерага [109, 115] предположили, что вода состоит из сице более крупных ассоциатов «полимеризованной» воды, плавающих среди несвязанных водородными мостиками (но взаимодействующих за счет электростатических и ван-дер-ваальсовых сил) молекул. Ассоциатам приписывали льдоподобную структуру ($\rho_1=0,92 \text{ г}/\text{см}^3$) и время жизни порядка $10^{-10}-10^{-11} \text{ с}$. Плотность разупорядоченной структуры (ρ_2) воды принималась $1,12 \text{ г}/\text{см}^3$, что соответствует упаковке с координационным числом 8. Отличительной чертой модели является различие энергии связи молекул в центре и на поверхности ассоциатов.

В последнее время развитие представлений о двухструктурной модели жидкой воды идет по пути дальнейшей детализации энергетического состояния ее молекул. Так, Ю. П. Сырников [116] сделал расчеты для модели, учитывающей три возможных энергетических состояния молекул, что позволило объяснить аномалию теплоемкости воды. Расчеты скжимаемости воды привели В. Ю. Гурякова [102] к новой флюктуационной модели с пространственным разделением участков каркаса, занятых гидрофобными и гидрофильными (смешенными) полостными молекулами. Доля гидрофобных молекул (слабо связанных водородной связью с каркасом) по расчетам невелика, в то время как смешенными молекулами (прочно связанными с молекулами каркаса) заполнено более половины пустот, что позволяет отождествить та-

кую структуру с плотноупакованной, разупорядоченной.

На основе двухструктурной модели можно объяснить аномалию вязкости и диэлектрической релаксации, температурные зависимости теплопроводности, теплоемкости и поверхностного натяжения воды, получить правильную оценку энергии активации самодиффузии. Особая роль отводится расположенным в пустотах каркаса слабосвязанным молекулам воды, ответственным за ее аномальное поведение [86, 93, 111, 117].

Квантохимические представления о природе водородной связи привели к качественно новой модели структуры воды [118]. Автор с принципиально новыми позициями рассматривает природу межмолекулярных связей в жидкостях вообще и в воде в частности. Основываясь на квантовохимических представлениях, он приходит к выводу о существенно ином механизме водородных связей, чем это предполагается всеми существующими теориями, и, соответственно, об ином характере ассоциаций молекул воды.

По мнению М. Адженго, вода представляет не что иное, как смесь различных типов колцевых агрегатов, образованных несколькими устойчивыми молекулами с помощью водородных мостиков. На каждый протон водородного мостика равнозначно лождствуют соединяющие им молекулы. В колыце водородных мостиков пельзя разорвать даже один из них, не затрагивая состояния других, то есть состояние каждого мостика зависит от смещения электрических зарядов в соседних молекулах, которое происходит одновременно вдоль колыца. Такое положение названо «коллективной связью», подразумевающей, что все водородные мостики колцевых агрегатов скоррелированы друг с другом. Коллективной связью можно объединить любое число молекул — от 2 до бесконечности. Кольцо замыкается чередующимися одинарными и двойными связями, которые в состоянии обменяться положениями.

Рассмотрев с этих позиций структуру воды, М. Адженго пришел к выводу, что каждая молекула воды, обладая четырьмя тетраэдрическими электронными орбиталиами (двумя валентными и двумя неподеленными), может участвовать не более чем в 2 коллоктивных связях. Поэтому в структуре воды должны возникать не сложные трехмерные каркасы, а линейные цепи, состоящие

из любого количества молекул воды, которые образуют серию независимых колец. Для воды он рассматривает 5 возможных конфигураций таких колцевых структур. Простейшим является димер со структурой, подобной структуре диборана (B_2H_6). Можно получить кольцо из 3—6 молекул, причем 6-членное кольцо рассматривается как наиболее близкое к структуре льда.

В воде в один и тот же момент присутствуют все возможные типы агрегатов молекул, причем равновесие между ними будет зависеть от термодинамического состояния системы. При тепловых движениях агрегаты, сталкиваясь между собой, теряют часть своих молекул и преобразуются в другие типы. Однако общее число водородных мостиков при неизменных величинах температуры и давления остается постоянным.

Правильность выдвигаемых М. Аджено концепций нуждается в экспериментальном подтверждении, но предлагаемый автором новый тип коллективной связи из кольца коррелированных водородных мостиков позволяет в первом приближении качественно оценить целый ряд явлений, связанных со специфическими свойствами воды.

Как указывает М. А. Блох [119], одним из главных выводов при рассмотрении модели М. Аджено является вывод об анизотропности структуры жидкой воды. Однако ни одна из имеющихся моделей жидкой воды не дает строго научного объяснения ее анизотропности, поскольку все они исходят из трехмерности липодобных каркасов жидкой воды. Лишь модель М. Аджено, предлагающая двухмерный характер молекулярных агрегатов, в состоянии теоретически обосновать существование такой анизотропии [120]. Поскольку могут существовать линейные цепи молекулярных колец, становится очевидной возможность их ориентированного расположения под влиянием того или иного внешнего поля, например, слабые магнитные поля воздействуют на воду в том же направлении, что и понижение температуры [121]. Под влиянием названных факторов усиливается степень ориентированности молекул воды и пропорционально этому повышается взаимодействие между ними [122].

В работах [97, 123] сделана попытка классифицировать структурные модели воды. Так, в [123] выделены структурно-однородная модель Попла с тетраэдрически связанными молекулами воды; двухструктурные модели с тетраэдрически связанными и мономерными

молекулами воды; двухструктурные модели с тетраэдрически и нететраэдрически связанными молекулами воды; модели смесей с межкими ассоциатами нететраэдрически связанных молекул воды; структурно-однородная модель М. Аджено с нететраэдрически связанными молекулами воды. Наиболее вероятной моделью, позволяющей объяснить аномальные свойства воды, по-видимому, является модель О. Я. Самойлова [79], представляющая структуру льда, размытую и искаженную тепловым движением (S^{min} -структура [101]), полости которой частично заполнены молекулами воды (h^{max} -структура [101]), обладающими трансляционным движением.

Итак, в воде имеются различающиеся по составу и строению ассоциаты, степень упорядоченности которых является фракцией температуры: при постоянной температуре они в динамическом равновесии между собой и с молекулами воды. С повышением температуры водородные связи в структурной воде разрываются с увеличением относительной доли h -структур в результате частичного разрушения липодобного каркаса (в S -структуре должна разрушаться часть H -связей). Это положение согласуется с тем, что с температурой либрационные колебания воды (v_L) практически постоянны, а трансляционные колебания воды (v_T) убывают, при температуре 323 К и выше практически исчезают [124]. Изменение относительного количества водородных связей воды с температурой, составленной на основании данных [115], приведено на рис. 4. Значения температуры, при которых имеются изломы, совпадают с величиной температуры при изломах графической зависимости логарифма свойства воды от обратной величины температуры. Экстремумы, перегибы и резкие изломы замечены в плотности, теплоемкости, диэлектрической постоянной, вязкости, самодiffузии, протонной магнитной релаксации, теплопроводности, магнитной восприимчивости, поверхностном напряжении (обзор в [125]).

Установлено, что поляризумость молекул воды испытывает резкие изменения при 309 и 333 К. У. Дрост Хансен [125] выделил [126] четыре характерные температуры — 288, 303, 318, и 333 К, при которых происходят резкие изменения свойства воды, получившие название «структурные температуры воды». Они обус-

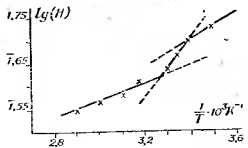


Рис. 4. Зависимость логарифма интенсивности водородных связей $lg(H)$ в воде от величины обратной абсолютной температуры $10^3/T$

ловлены коллективным переходом одной структурной модели в другую, менее упорядоченную, в результате чего увеличивается, как уже отмечалось, доля h -структур воды.

Равновесие между различными структурами воды нарушается и при введении в воду чужих молекул. Нарушение синхронизации взаимодействия одинаковых молекул происходит при существовании меньших значениях концентрации растворенного вещества. В воде область концентраций установления контакта растворенная молекула — растворенная молекула и область концентраций, определяющих нарушение синхронизации молекулярных колебаний H_2O , не совпадают друг с другом, в то время как в неполярных растворителях, в которые введены испаряющие молекулы, нарушение дисперсионного взаимодействия растворителя растворенными молекулами и установление дисперсионного взаимодействия растворенных молекул между собой через растворитель осуществляется приблизительно при одинаких тех же концентрациях растворенных молекул. Поэтому в водных растворах неэлектролитов имеется область концентраций растворенного вещества, в которой велики флуктуации плотности и склонности растворителя — воды. В [93] отмечается, что нарушение самосогласованной структуры однородной жидкой воды введением чужих молекул уже при очень малых концентрациях ($\sim 10^{-3}$) приводит к изменению характера межмолекулярного взаимодействия в воде. Последнее обстоятельство лежит

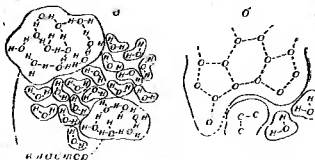


Рис. 5 Схематическое изображение Немети и Шеррага модели чистой (а) и содержащей углеводород (б) воды.

в основе теории гидрофобного взаимодействия, сущность которого заключается во взаимодействии частиц растворенных веществ между собой даже при очень низких концентрациях, когда вероятность столкновения их в водной среде доведена до минимума. Направляющей силой этого процесса является «стремление» воды избавиться от иноидных тел [109, 115, 127], то есть увеличение энтропии воды в результате перестройки надмолекулярных структур воды с образованием более рыхлой упаковки (плотность растворителя снижается) (рис. 5). Теория гидрофобных взаимодействий и возможность их регулирования подробно освещены в работах [127—130].

Несколько забегая вперед укажем, что регулирование гидрофобного взаимодействия в водных растворах химических мелиорантов очень важно для снижения расхода мелиоранта, не снижая при этом его эффективности.

Итак, вода — продукт соединения водорода и кислорода; такая вода (назовем ее идеально чистой) представляет бесцветную (в тонком слое) или голубовато-зеленую (в толстом слое) прозрачную жидкость, не имеющую ни запаха, ни вкуса. Поскольку и кислород, и водород имеют по несколько изотопов, то природная вода является смесь различных видов молекул состава: $H_2^{16}O$, $H_2^{17}O$, $H^{16}DO$, $H^{18}DO$, $D_2^{16}O$, $D_2^{17}O$, $D_2^{18}O$. Вода, отвечающая формулам $D_2^{16}O$, $D_2^{17}O$, $D_2^{18}O$, называется тяжелой, а вода, в состав которой входит три-

той, называется сверхтяжелой — T_2O . Таким образом, вода — это смесь девяти различных видов молекул, в зависимости от количественного соотношения которых все свойства ее, особенно плотность, не являются строго постоянными. Ниже в качестве примера приведены значения плотности воды [131], взятые из различных источников.

Вода	Плотность при 4°
слеговая	0,9999977
дождевая	0,9999990
речная	1,0
океанская	1,0000015
извлеченная из живого организма	1,0000012
извлеченная из растительного организма	1,0000017
кристаллизационная вода минералов	1,0000024

Вода — реакционно-способное вещество. Она взаимодействует почти со всеми имеющимися в природе и созданными человеком веществами. Этим и обусловлено, что вода является универсальным растворителем. В ней растворяются и газы, и соли, и окислы, и белки, и т. п. Общезвестно, что в природе идеально чистая вода не встречается. Даже атмосферные осадки содержат, как отмечено в [132], до 100 мг/л примесей.

Вода в природе в той или иной степени минерализована. Первосточником солей в природных водах являются вещества, образующиеся при химическом выветривании изверженных пород, и вещества, выделяющиеся на протяжении всей истории земли из ее недр [133]. От разнообразия состава этих веществ и условий, в которых происходило их взаимодействие, зависит степень минерализации воды.

По степени минерализации и с учетом классификации [132] вода делится на маломинерализованную (до 200 мг/л солей), среднеминерализованную (200—500 мг/л), повышенной минерализации (500—1000 мг/л) и воду высокой минерализации (свыше 1000 мг/л). Содержание солей в морской воде — в среднем 35 г/л. Содержание солей в речной воде изменяется в течение года. Природные воды содержат коллоидные, мелкодисперсные и грубодисперсные примеси. Имеются гумусовые

вещества (до 150 мг/л), микроорганизмы, простейшие организмы, водоросли, растворенные газы — кислород, двуокись углерода и т. д. Все это указывает на то, что при использовании природных, в частности морских [134] вод, в качестве растворителя при приготовлении водных дисперсий химических закрепителей, необходимо учитывать возможное влияние солей и других присутствующих в ней веществ на свойства реагента, с помощью которого осуществляется химическая мелиорация подвижных песков.

Нефть

Нефть — горючее ископаемое, представляющее смесь углеводородов с сернистыми, азотистыми, кислородными, органическими и другими соединениями. Содержание углерода в нефтях колеблется в пределах 82—87%, водорода — 11—14%, серы — 0,1—5%. Содержание азота и кислорода у большинства нефтей, как правило, не превышает десятых долей процента [135, 136]. Наличие полярных молекул в нефти, по-видимому, способствует появлению и усилению адгезионных взаимодействий между нефтью и песком, а ее высокая вязкость, обусловленная сильными молекулярными взаимодействиями между составляющими веществами, благоприятствует заполнению пор песка и замедлению течения ее в толще песка. Все это говорит о том, что нефть можно использовать для закрепления подвижных песков. Следует отметить, что в СССР и за рубежом сырья нефти как готовый к употреблению природный продукт нашла широкое применение при закреплении песков. Для этой цели в основном используются высокосмолистные нефти. Так, в Ливии закрепление песков нефтью и нефтепродуктами осуществляется с 1961 г. Сначала производится посадка саженцев белой акации и эвкалипта, затем песчаная поверхность вокруг них обрабатывается нефтью с целью защиты саженцев от выдувания. Покрытие сохраняется, как минимум, в течение одного года. Оно не препятствует проникновению атмосферных осадков и задерживает испарение [137].

В Западной Сахаре песчаные дюны закрепляют сырой нефтью, расход которой составляет 2,5 т на 1 га. Испытания показали, что такое покрытие не разрушается силой ветра в 30 м/с [138].

В Западной Австралии прибрежные дюны также застремляются нефтью с одновременным посевом злаковых культур [139].

В 1971 г. в Астраханской области и Ставропольском крае были осуществлены мелиоративные работы на площади около 59 га с использованием арланской нефти и посадкой песколовых культур. Нефть наносили на поверхность песка при температуре воздуха от +2 до +45°. На третий год после нанесения нефти почти вся поверхность участка была покрыта хорошо прижившимися кустарником, в результате чего движение песка было приостановлено [140]. В начале 60-х годов производственные организации нефтепромыслов Небит-Дага по рекомендации Института пустынь АН ТССР произвели работы по закреплению подвижных песков с помощью нефти на линиях электропередачи и линиях связи. Закреплялись опоры высоковольтных линий Джебель—Котурдас—Барсакльмес. Радиус закрепленной площади вокруг опоры составлял 6—9 м [141], норма расхода нефти — 3 л/м², сроки сохранности покрытия — 10—15 лет.

Нефть Мангышлакская, тяжелая и высокосмолистая, использована для закрепления песков на 1,3 км трассы испытательного Узени—Гурьев. Перед нанесением нефти были посажены черенки различных кустарников.

Лучше всего прижился канцым. Вся закрепленная песчаная поверхность покрылась дикорастущими травами (самосев) [142].

Б и т у м

Битум как твердое или жидкое органическое вещество и продукт его переработки растворяется в органических растворителях — спирто-бензольной смеси, хлороформе, сероуглероде и др.

Состоит из углеводородов и их кислородных, азотистых и сернистых производных. Различают природные и искусственные битумы. Природные битумы — это составные части каустобиолитов (сланцевые, угольные, торфяные и нефтяные). Искусственные битумы получают в результате переработки нефти и каменного угля. Битумы состоят из масел, смол, асфальтенов, карбондов и карбенов. Искусственные битумы от природных отличаются большим содержанием масел и меньшим содержанием асфальтенов [143].

Нефтяная промышленность вырабатывает широкий ассортимент битумов. Сырьем для этого служат нефтяные остатки, получаемые при перегонке смолистых нефтей, а также экстракты, получаемые в процессе очистки масел и содержащие большое количество смолистых веществ [144].

Для химической мелиорации подвижных песков представляют интерес жидкие битумы, применяемые в дорожном строительстве в холодном виде. Вследствие частичного испарения, окисления и адсорбции каменными материалами жидкие битумы увеличивают свою вязкость, что ведет к увеличению прочностных свойств дорожных покрытий [145]. Практика показывает, что при правильном подборе растворителя твердые битумы могут с успехом применяться для закрепления подвижных песков [28, 146]. Слижение расхода битума как связывающего агента песка в процессе образования связнодисперской системы может быть достигнуто путем улучшения адгезионных взаимодействий между зернами песка и битумом. В связи с этим представляет интерес работа [147], в которой достигнуто значительное увеличение адгезии битума к поверхности кварцевых частиц песка путем добавления в битум изначательного количества катионных поверхностно-активных веществ (1-этидиамины, диэтилтриамины).

Иногда для мелиорации подвижных песков битум применяется в виде водной эмульсии. При этом используется способность битума к самоэмульгированию [1148] с добавкой едкого натра и сульфит-бардяного концентриата — продукта бумажно-целлюлозной промышленности.

Закрепление песков (грунта) битумной эмульсией возможно горячим и холодным способами. Горячая битумная эмульсия применяется для водонепроницаемости трещиноватым городам, а холодная — для нагнетания в поры песка, в результате из свободнодисперсного состояния он переходит в связнодисперсное [21, 145, 146 149—151].

Битумная эмульсия применялась для борьбы с эрозией почв в США, в штате Огайо, Мичиган, Массачусетс, и для укрепления песчаного земляного полотна железных и автомобильных дорог, в ФРГ и ГДР — для закрепления песков, в Иране — вокруг различных объектов и т. д. [152, 153]. В 30-х годах сотрудники Приаральской опытной станции и Агрофизического научно-исследовательского института

довательского института (г. Ленинград) использовали битумную эмульсию как фиксатор в Юго-Восточных Каракумах на Репетекской песчано-пустынной станции [154, 155].

В результате последующих исследований (1951—1953 гг.) на каракумских (в районе ж.-д. станции Джебел, Репетек) и нижнеднепровских песках (Лешинские пески) было выявлено, что битумизация возможна по всей поверхности песка, независимо от рельефа. Битумная корка не препятствует проникновению атмосферных осадков, выравнивает температурный режим песка под коркой, предотвращает процессы дефляции, уменьшает испарение влаги [155—159], повышает процент всхожести семян и улучшает приживаемость пустынных растений [157].

В 70-х годах в Ташкентском институте инженеров железнодорожного транспорта (ТашИИТ) сконструирован специальный поливочный поезд [160], на платформах которого смонтированы агрегаты, позволяющие готовить битумную эмульсию и распылять ее вдоль полотна железной дороги на расстояние до 75 м. Выносные шланги позволяли расширять обрабатываемую полосу в каждую сторону до 200 м. Состав эмульсии: битум марки ЕИ-IV—50%, эмульгатор ОП-7—4,5, каустическая сода — 0,3, вода — 45,2%. Перед нанесением на песок эмульсия разбавлялась водой в соотношении 1:7.

Закрепление песков с помощью такого поезда проводилось на железной дороге Макат—Актау, где норма расхода битума составляла 100—150 г/м² воды — 2—3 л/м² [161]. При указанных дозах толщина корки достигала 30 мм и выдерживала нагрузку на продавливание 3—5 кг/см². В летнее время днем температура под коркой на глубине 8 см была на 8—12° ниже, чем на незакрепленном песке. В дальнейшем производственные опыты проводились на железнодорожных линиях Макат—Мангышлак—Узенбай, Бейнай—Кунград и Гурьев—Астрахань [161—163], в которых использовалась битумная эмульсия 18—23%-ной концентрации с расходом 2—3 л/м². Такая доза приемлема при закреплении отдельных песков на расстоянии до 200 м от железнодорожного пути. При строительстве автомобильной дороги Алма-Ата—Копчай, Чарджоу—Мары и железной дороги в Гурьевской области для закрепления придорожных песков использована битумная эмульсия

по рецепту ТашИИТ и получены надежные результаты.

Анализ отечественных и зарубежных исследований по битумизации песчаных грунтов показал целесообразность применения битума в практике закрепления подвижных песков в сочетании с приемами фитомелиорации. Содержание парафиновых веществ в битумах должно быть минимальным, так как они затрудняют получение нерасслаивающихся эмульсий. Содержание воды в битуме не допускается. Вода, применяемая для приготовления эмульсии, не должна содержать солей и щелочей.

Готовую битумную эмульсию разбавляют водой до нужной консистенции. Хорошо приготовленная эмульсия проникает в песок на глубину 5—7 м. Расход битума составляет 1 т/га площади [159]. После испарения воды частицы битума скрепляются песчинками, образуя на поверхности песка твердую корку. Срок службы такой корки в полевых условиях — 2—3 года, достаточных для прорастания семян и укрепления корневой системы пустынных растений.

Мазут

Мазут — жидккий продукт, остаток после отгонки из нефти топливных фракций (бензина, керосина, лигроина, дизельного топлива), сырье для производства масел, топочных мазутов и битума. Путем крекинга и коксования значительная часть мазута перерабатывается на легкие топлива и смазочные масла. Мазут применяется в качестве топлива для паровых котлов, промышленных печей различного назначения и газовых турбин [164].

Смесь мазута с нефтью рекомендована для закрепления подвижных песков [25, 165]. Для защиты Небитдагского йодного завода от песчаных заносов была использована смесь из 70% нефти и 30% мазута с расходом 4—5 л/м² [166]. Хорошие результаты дают смеси, приготовленные по следующим рецептам: нефть (50—60%)—мазут топочный (30—40%)—битум дорожный (5—10%); нефть (50—70%) — мазут (30—50%); нефть (80—90%) — битум (10—20%); нефть (90%) — мазут (8%) — битум (2%).

Во всех смесях мазут является пластификатором, придавая смесям текучесть, а нефть — растворителем и разбавителем.

Отработанные минеральные масла

Минеральные масла получают из нефти, используя дистилляты вакуумной перегонки мазутов и тяжелые остатки от перегонки [135, 164, 167]. Товарный ассортимент насчитывает более 130 наименований различных масел, изменяющихся при эксплуатации физико-химические свойства. Степень и характер изменений, происходящих в маслах, зависят от условий их работы. Например, для моторных масел — это термическое разложение, полимеризация и разбавление топливом; для индустриальных — засорение механическими примесями; для электроизоляционных — накопление продуктов окисления и т. д. Такие масла подвергают регенерации, то есть восстановлению эксплуатационных свойств с целью повторного их использования [168, 169]. Отработанные масла, непригодные для дальнейшей регенерации, могут быть использованы для закрепления подвижных песков с добавкой к ним высокосмолистых веществ (мазута и битума).

По данным Туркменглавнефтесбыта, в республике в течение года собирается значительное количество отработанных, не пригодных к регенерации масел. Как отмечено в [170], регулируя соотношение битума и отработанного масла, можно приготовить гомогенную смесь такой консистенции, которая позволит получить связно-дисперсионную систему песка [171], то есть противозернистую корку.

Глины

Возможность использования глины для мелиорации песков обусловлена их высокой дисперсностью; увеличение глинистой фракции в песках при надлежащей влажности делает их неподвижными.

Глина — горная порода, состоящая из различных выскокодисперсных минеральных частиц. По генетическому происхождению глины подразделяются на осадочные, вулканогенные и вулканогенно-осадочные породы. Свойства глины обусловлены входящими в их состав глинистыми и неглинистыми минералами, органическими веществами, количеством и свойством обменных ионов, солями, распределением компонентов породы по гранулометрическому составу, формой частиц и их пространственным расположением. Благодаря сво-

им разнообразным свойствам глины широко применяются в различных отраслях промышленности и народного хозяйства [34, 36, 172, 173]. Они состоят в основном из глинистых минералов, по которым определяется их принадлежность к определенным классам [174]. Специалисты, изучающие физико-химические и коллоидные свойства глины, пользуются главным образом классификацией Р. Грина [36], который выделил аморфные и кристаллические фазы. Аморфная фаза состоит из геля, оксидов кремния, алюминия и других веществ.

Кристаллическая фаза представляет алюмосиликаты либо со слоинными решетками, либо с решетками, состоящими из питец кремний-алюминиевых тетраэдротов, образующих гексагены, соединенные с алюмокислородными октаэдрами. Различная совокупность слоев, сложенных из структуры элементов, обуславливает образование минералов с различной кристаллической структурой. Двухслойный тип кристаллической решетки (1:1), состоящий из пакетов, содержащих слой кремний-алюминиевых тетраэдротов и слой алюмокислородных октаэдров, характерен для глинистых минералов каолинитовой группы (каолинит, галлуазит и т. д.). К трехслойному типу решетки (2:1), образованному двумя слоями кремний-алюминиевых тетраэдротов и расположенным между ними слоем алюмокислородных октаэдров, относятся монтмориллонитовые (монтмориллонит, вермикулит, саконит, контроинит и т. п.) и иллитовые (иллит и т. п.) группы.

Глины в природе сложены несколькими глинистыми минералами. Ассоциация их может состоять из отдельных минералов, благодаря которым возникает механическая смесь, где каждый кристалл сложен одинаковыми слоями, либо из смешанослойных структур, в которых отдельные кристаллы состоят из элементарных слоев двух или более типов. Смешанослойные системы могут образоваться благодаря структурному подобию глинистых минералов, а также в результате изменения степени гидратации отдельных минералов, частичного замещения одного межслоевого катиона другими, неполного формирования органопроизводных глин.

Запасы глин в Средней Азии очень большие. Некоторые из них, представляющие особый интерес, детально изучаются, определяются рациональные области их применения, разрабатываются научные основы направлению-

го изменения химии поверхности их частиц и пористой структуры [16, 175—179]. В Туркменистане за последние годы открыто немало месторождений глин, в частности Огланлинское месторождение бентонитовых глин [180], имеющее всесоюзное значение [181].

Встречаются глины юрского отложения, представленные континентальными, морскими и лагунными образованиями (Туаркыр, Большой Балхан, Куттантан и др.) [182], меловых (Центральная часть Каракумов) [183] и палеогеновых отложений (Заунгусские, Низменные и Юго-Восточные Каракумы, Красноводский полуостров, Прикарабагазы, Гуардак, вдоль Амударьи, Каипланкыр, Сарыкамыш и др.) [184]. Кроме того, во всех районах республики поверхность горизонты тяжеловодов содержат значительный процент глины [185].

Глины Туркменистана изучаются в связи с выяснением их роли в формировании нефтегазопосыщенных отложений, исследуются закономерности образования ассоциаций глинистых минералов морских осадков, а также их антифильтрационные и отбелывающие свойства. Комплекс исследований включает определение минералогического, гранулометрического, химического и солевого составов глин и глинистых отложений, а также их пригодности для производства керамита и приготовления глинистых растворов. Наряду с этим изучаются адсорбционные, каталитические и другие физико-химические свойства местных глин [186]. В отдельных работах [28, 45, 187] указывается на применение глин некоторых месторождений Туркменистана для закрепления подвижных песков. Установлено, что успешная мелиорация песков зависит от гидрофильтрации, структурно-сорбционных и других свойств применяемых глин. Сведения о минералогических и коллоидно-химических свойствах глин Туркменистана, используемых для закрепления песков, отсутствуют. В связи с этим нами исследованы свойства глин Аннауского, Барсакельмесского, Вышкянского и Огланлинского (трепеловидной) месторождений. В изученных пробах глин обнаружены гидрослюды, кальцит, сульфаты и др.

Отмеченный на кривых ДТА первый эндотермический эффект с максимумом 110—160° обусловлен поглощением тепла при удалении адсорбированной воды без разрушения кристаллической решетки. Вторая эндотермическая остановка наблюдается вблизи 570° и связана

с поглощением тепла при дегидратации каолина. Третий, еще менее выраженный, эндотермический эффект с максимумом 725—920° соответствует затрате энергии на разрушение карбонатов кальция.

Таблица 17

Удельный вес и пористость глин некоторых месторождений Туркменистана

Место отбора образцов	Удельный вес (г/см ³) по				Порозность, %	Пористость, %	Суммарный объем пор, см ³ /г
	песку	воде	бензину	рутину			
Котурдепе	1,72	2,76	3,25	1,39	33,0	57,2	0,41
Барсакельмес	1,70	2,86	3,37	1,35	41,0	59,8	0,44
Вышка	1,82	2,98	2,97	1,58	39,0	46,8	0,30
Огланлы	—	—	3,24	1,58	—	64,3	0,55
Аннау	1,67	2,68	—	—	36,7	44,4	0,27

Анализ термограмм образцов глин и их сравнение с эталонными позволили установить преобладающий минерал в глинах монтмориллонит-гидрослюда типа смешинослойных образований, что характерно для эоценовых глин [178].

Потери в весе при прокаливании глин свидетельствуют о значительной связи глины с водой. Количество адсорбированной и конституционной воды больше в глинах монтмориллонитового состава (глины Огланлы). При температурах первого эндозеффекта выделяется 7—10% воды, а во втором — 2—10%. Суммарное значение ППП для глин Котурдепе, Барсакельмес, Вышка и Огланлы составляет соответственно 12,89; 11,10; 11,1 и 13,96%.

В табл. 18 приведен валовый химический состав исследованных образцов глины. Величина емкости поглощения глин Котурдепе, Барсакельмес, Вышка и Аннау составляет соответственно * 8,68; 10,70; 13,29 и 10,58 мг-экв/100

В составе поглощенных оснований преобладают щелочно-земельные катионы по сравнению со щелочными, причем катионов магния в глинах больше, чем катионов кальция.

Таблица 18

Результаты химического анализа глин Туркменистана, %

Химический состав	Месторождение			
	Барсакельмес	Котурдене	Вышка	Айнау
SiO ₂	48,0	46,35	47,20	45,98
Al ₂ O ₃	8,70	7,17	5,02	12,10
Fe ₂ O ₃	2,69	3,96	1,89	2,35
FeO	1,59	1,69	2,83	1,93
CaO	6,52	11,89	12,96	9,40
MgO	3,02	3,50	3,97	4,23
MnO	0,07	0,04	0,06	0,10
TiO ₂	0,08	0,20	0,56	0,44
K ₂ O	1,98	1,78	1,69	1,70
Na ₂ O	2,75	2,09	2,12	2,26
CO ₂	7,65	7,00	5,94	6,92
P ₂ O ₅	0,03	0,06	0,05	0,09
S общ	0,46	0,89	0,86	0,11
ДПНН	15,80	12,65	13,20	12,35
SiO ₂ /R ₂ O ₃	7,82	8,28	11,81	54,28
Сумма	99,4	100,0	99,96	99,96

Из данных табл. 19 видно, что в солевом составе карбонаты отсутствуют, но есть бикарбонаты, сульфаты и преобладают хлориды. Водная вытяжка всегда щелочная ($pH > 7$). Содержание гумуса в глинах Барсакельмес, Котурдене, Вышке и Айнау составляет 1,09, 1,09, 0,67 и 1,29%, а общего азота в пересчете на NO_3 —0,036; 0,031; 0,018 и 0,04% соответственно. Содержание P_2O_5 в них — 66,0; 68,0 и 69,7 мг/кг.

Ниже приведены значения удельного веса проб по воздуху (V), воде (γ), бензолу (d) и ртутi (σ); пористость $P = \frac{V - V_e}{V} \cdot 100$, пористость $P = \frac{d - \sigma}{d} \cdot 100$ и

$$\text{суммарный объем пор } V_e = \frac{1}{\gamma} - \frac{1}{d}.$$

Кривые, описывающие кинетику поглощения воды глинами, получены с помощью торзионных весов. В начале процесса поглощение очень быстрое — кривые «Поглощение — время» ($H - t$) круто поднимаются вверх, за-

Таблица 19
Результаты химического анализа водных вытяжекнекоторых глин Туркменистана, %
мг·экв.

Химический состав	Месторождение			
	Котурдене	Барсакельмес	Вышка	Огланлы
Сухой остаток, %	4,460	0,989	2,203	6,676
CO ₃ ²⁻	Нет	Нет	Нет	Нет
HCO ₃ ¹⁻	0,014 0,72	0,022 0,36	0,034 0,56	0,063 1,04
Cl ⁻	2,100 60,00	0,210 6,0	1,330 38,0	2,380 68,0
SO ₄ ²⁻	0,189 4,62	0,019 0,39	0,113 2,37	1,335 32,58
Ca ²⁺	0,800 40,0	0,020 1,0	0,030 3,0	0,400 28,0
Mg ²⁺	0,072 6,0	0,036 3,0	0,250 28,0	0,232 21,0
Na ⁺ + K ⁺	0,674 23,34	0,033 2,75	0,205 8,43	1,325 57,62
Сумма солей, %	3,897	0,361	1,989	5,795

тем поглощении замедляется и по мере насыщения проб жидкостью кривые становятся параллельными оси абсцисс — оси времени (рис. 6).

Такая же закономерность установлена и при изучении кинетики поглощения воды растворов или электролитов исходными или обработанными полимерами ПВС, ПАА, К-4 образцами почвы, бентонита, глауконита [188, 189]. Отличие в значениях n_1 и n_2 , определяемых из уравнения $IgH = IgK + nlg t$ [176] для быстрой (начальной) и медленной (конечной) части кривых $H - t$, то есть коэффициентов, характеризующих интенсивность протекающих процессов.

В первый момент контакта проб с водой происходит смачивание и капиллярное насыщение образца. Этот процесс протекает интенсивно, ему соответствует начальный участок кривой $H - t$ с n_1 , затем начинается процесс набухания — увеличение объема образца в во-

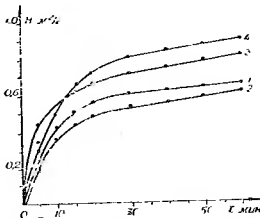


Рис. 6. Кинетика поглощения воды глинами Котурдепе (1), Барсакельмес (2), Вышки (3) и Огланлы (4).

донасыщенном состоянии в результате проникновения воды в межпластостное пространство кристаллической решетки глинистых минералов [16, 34, 188, 190]. Этому медленно протекающему процессу соответствует конечный участок кривых H — t .

Из-за отсутствия в пробах глинистого минерала с расширяющейся решеткой (монтмориллонит) процесс заканчивается быстро, в течение 1 ч. Сопоставление этих величин с P , R глин показало, что с пористостью глины n_2 имеет прямую, а n_1 — обратную зависимость; те образцы, для которых характерна меньшая пористость, быстро капиллярно насыщаются — n_1 для них самая высокая. С ростом пористости замедляется не только капиллярное насыщение, но и полное, в результате n_2 уменьшается. Следовательно, n_2 связано с пористостью образца, хотя в [191] утверждается, что значение n_2 коррелирует с гидрофильностью и пористостью образцов, а связано с величиной их набухания. По-видимому, и в нашем случае это высказывание имеет место для проб глин, у которых содержание глинистых минералов монтмориллонитовой группы наибольшее (кривые 3 и 4, рис. 6).

Приготовленные методом пластифицирования суспензии глин в большинстве случаев ближе к полидисперсным — кривая распределения радиусов уже и выше её максимума (рис. 7). Размеры наиболее вероятнейших частиц для глин Котурдепе, Барсакельмес, Вышки и Огланлы — соответственно 3,4, 3,2; 4,0 и 4,8 мк.

Из рис. 7 видно, что размер частиц суспензии трепеловидной глины Огланлы на 20% больше, чем размер частиц суспензии песка. Как известно, глина обладает большей пористостью, чем песок [28].

Если учитывать влияние солей на формирование вторичных агрегатов в глинах по описанному в [68] способу, то соли, имеющиеся, например, в глине Котурдепе, оказывают пептизирующее действие, а в глине Вышки, наоборот, коагулирующее, так как размер частиц суспензии последней глины на 15% больше, чем размер частиц глины из Котурдепе, а сухой остаток в два раза больше в глинах Котурдепе.

Пептизация частиц глин Котурдепе под влиянием присутствующих солей в процессе приготовления водной суспензии способствовала увеличению объема осадка 16%-ной суспензии на 130%, в то время как эта величина для глин Барсакельмес, Вышки, Огланлы — соответственно 70; 70 и 68%. Увеличение объема осадка 16%-ной суспензии — 65, 41, 41 и 27%. Отношение величин объемов осадка суспензий в воде и бензоле, которое рассматривают как меру гидрофильности, изменяется — 2,1, 1,7 и 2,5.

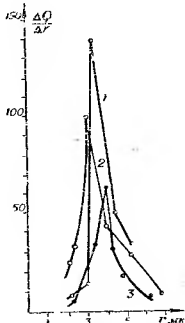


Рис. 7. Кривые распределения частиц по радиусам 2%-ной суспензии глины Котурдепе (1), Барсакельмес (2), Вышки (3).

Значения теплоты смачивания водой проб, предварительно отвакуумированных до остаточных давлений 10^{-6} мм рт. ст. при $160-170^\circ$, несколько выше, чем температура I эндозефекта на кривых ДТА. Исследованные пробы гидрофильтры, так как значения теплового эффекта смачивания пород на 1 г связанный воды $\frac{Q}{A} \cdot 100$

близки к данным [16, 177, 178, 192, 193] для гидрофильтров образцов. Ниже приведены характеристики изученных глин по теплотам смачивания водой (табл. 20).

Таблица 20

Теплота смачивания (по воде), удельная поверхность и связанный вода изученных глин Туркменистана

Место взятия образца	Теплота смачивания, Q , дж/г	Удельная поверхность, M^2/g	Связанная вода, % (At)	$0,24 \cdot Q \cdot 100 / A$
Котурдепе	23,45	202	7,25	77,4
Барсакельмес	17,6	151	5,42	77,6
Вышки	21,82	188	6,74	77,4
Огланлы	59,9	516	18,5	77,4

Удельная поверхность частиц проб, рассчитанная по теплотам смачивания, и количество связанный воды (A) для проб находятся в корреляции с их дисперсностью, установленной методом седиментометрии.

Изотермы адсорбции паров воды на глинах, снятые на высоковакуумной установке с нагреванием при $170-171^\circ$ [194], имеют S-образную форму с сорбционным гистерезисом, простирающимся до очень малых значений P/P_s (рис. 8) [195]. Наличие гистерезисной петли связано с необратимостью процесса адсорбции [196]. Согласно классификации А. В. Киселева [197], эти изотермы следует отнести к четвертому типу, который является характерным для изотерм сорбции паров воды природными минеральными сорбентами [16, 17, 177, 178, 192, 198].

Необратимость сорбции паров воды на изученных образцах обусловлена, по-видимому, хемосорбцией молекул воды. Это обосновывается простираением области необратимости до очень малых давлений, что характер-

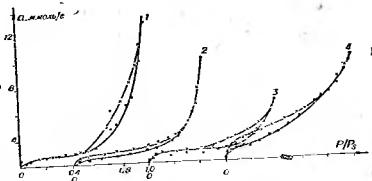


Рис. 8. Изотермы адсорбции паров на глинах Котурдепе (1), Барсакельмес (2), Вышки (3) и Огланлы (4).

но для многих природных минеральных сорбентов [16, 17, 192, 198, 199]; началом капиллярной конденсации при относительно низких значениях P/P_s , когда заполняются поры с радиусом, меньшим, чем радиус пор, в которых, согласно [200, 201], происходит капиллярная конденсация. При высоких значениях P/P_s адсорбционные и десорбционные кривые для исследованных проб совпадают, что свидетельствует о полной смачиваемости проб водой.

Величина предельной сорбции колеблется от 9,4 до 22,4 ммоль/г; емкость монослоя a_m изменяется от 0,76 до 1,28 ммоль/г; удельная поверхность, рассчитанная по $S=a_m N_{\text{Av}}$ — от 48 до 81 m^2/g (табл. 21). Этим объясняется, что внутренняя поверхность проб тем сильнее развита, чем меньше содержание соли в ней (глины Огланлы); развитая внешняя поверхность у глин Вышки обусловлена коагулирующим действием соли. Следовательно, внешняя удельная поверхность глин тем больше, чем больше у нее степень естественной склерогенности. Для проб с максимальным содержанием первичных частиц, наоборот, развита внутренняя поверхность, что подтверждается величиной пор и кривыми распределения их по эффективным радиусам.

Сопоставление результатов, полученных для глин Туркменистана по поглотительной способности, с данными по свойствам для щелочных (монтмориллонитовых) и щелочно-земельных (монтмориллонит-гидрослюдистых)

Таблица 21

Структурно-сорбционные характеристики изученных глин Туркменистана

Характеристика	Месторождение			
	Котурдепе	Барсакельмес	Выныка	Огланлы
a_{P_s} , моль/г	1,12	0,97	0,76	1,28
S_s , м ² /г	71	61	48	81
a_g , моль/г	22,4	16,2	9,4	15,6
V_d , см ³ /г	0,39	0,25	0,15	0,24
$r_{\text{эф}}$, нм	8,2	6,1	4,7	4,4
Адсорбция, моль/г при P/P_s				
- 0,1	0,8	0,6	1,0	1,6
- 0,4	1,6	1,4	1,2	3,8
- 0,9	11,0	6,0	4,8	11,6

тых) глин Узбекистана [16, 177], показало много общего в их свойствах, обусловленных, по-видимому, сложностью условий формирования месторождений глины в этих регионах с резко континентальным климатом. Эта общность позволяет предопределять возможные области применения глин Туркменистана.

Изучение пластической прочности концентрированных суспензий глин показывает, что структурообразование в водных суспензиях глин в сильной степени зависит от концентрации твердой фазы. Так, при увеличении содержания твердой фазы на 10% (50–60%) прочность структуры увеличивается почти в 15–20 раз, а при последующем увеличении еще на 10% (60–70%) прочность структуры увеличивается почти в 40 раз (рис. 9). Структурообразование в суспензии барсакельмесской глины протекает более полно, чем в суспензии анинауской глины. Это объясняется различием в их дисперсности и составе обменного комплекса. Глина барсакельмесского месторождения содержит больше иона натрия (см. табл. 19), чем глина анинауского месторождения. Ион натрия в поглощающем комплексе способствует самопроизвольному диспергированию с образованием большого числа коагуляционных центров.

Определение пластичности по Ф. Д. Овчаренко [192] показывает, что константа n в уравнении Ф. Д. Овча-

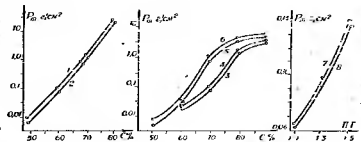


Рис. 9. Изменение предельного напряжения сдвига барсакельмесской (1) и анинауской (2) глины; котурдепинского (3) и анинауского (4) песка; смеси котурдепинского песка с барсакельмесской глиной при 1:1 (5) и анинауского песка с анинауской глиной при 1:1 (6); от концентрации твердой фазы и 60%-ной суспензии смеси котурдепинского песка с барсакельмесской (7) и анинауской глиной (8) от соотношения песка и глины.

ренко для глин анинауского и барсакельмесского месторождений равна соответственно 0,54 и 0,71.

Если принять за основу $n=0,35$ для пластичной глины, например, Жабельского (Украина) монтмориллонита [192], то глины Туркменистана обладают меньшей пластичностью. Пластичность анинауской глины больше барсакельмесской, что обусловлено различным солевым составом. Работы по изучению структурно-механических свойств глинистых пород юга Туркменистана позволили выявить влияние присутствующих в глинах солей на прочностные характеристики концентрированных суспензий этих глин. Приемлемость выбранной методики исследования для этой цели показана на примере поверхностных и глубинных глин месторождений Западного Туркменистана [202].

Повышенное содержание песка в глине приводит к ослаблению пластической прочности концентрированной суспензии глин. Заметнее P_m увеличивается при 60%-ной суспензии, а при 80%-ной P_m снижается, что не отмечено для смеси глин с водой. При изменении соотношения смеси песок+глина от 1:1 до 1:5 P_m пасты увеличивается в 3 раза. Значение P_m для 70%-ной суспензии анинауского песка равно 0,1 г/см², для глин этого же месторождения – 3,6, а величина пластической прочности смеси глины с песком при соотношении 1:1–1,9 г/см² [45]. Разумеется, чем пластичнее глина, тем больше и

величина пластической прочности суспензии песка с глиной.

Таким образом, комплексный метод анализа выявил ценные физико-химические свойства глины юга Туркменистана, а также установил некоторые особенности, отличные от аналогичных им пород других регионов Советского Союза. Полученные результаты не только решают проблему использования глины при мелиорации подвижных песков, но и предопределяют возможность их использования в качестве адсорбента при очистке технических вязких продуктов, а также для приготовления глинистых растворов и т. д.

Водные суспензии изученных глин, в которых преобладают пепебахающие глинистые минералы, из-за полиминеральности и засоленности являются неустойчивыми. Для приготовления буровых растворов и мелиорации подвижных песков требуются устойчивые, перекрывающиеся глинистые суспензии. В настоящее время разрабатываются научные основы направленного регулирования устойчивости водных суспензий глины, отличающихся кристаллической структурой, путем воздействия на них внешних сил (ультразвук, гидротермальная обработка и др.) и солей низко- и высокомолекулярных поверхности-активных веществ [171, 192, 203–212].

Изучение механизма взаимодействия глин Туркменистана с полиэлектролитами серии К и ПАА [16, 213–217] позволило разработать рецептуру по приготовлению глино-полимерных суспензий, обладающих достаточной устойчивостью на период их использования, и успешно осуществить мелиоративные работы в полевых условиях [171, 187, 218].

Искусственные химические мелиоранты подвижных песков

К искусственным химическим мелиорантам относят водорастворимые эфиры целлюлозы, сульфит-спиртовую барду, химические вещества на основе гуминовых кислот, сланцевые смолы, латексы, жидкое стекло и другие, полученные путем химической обработки природного сырья, в естественном виде не используемые в качестве химического мелиоранта при переводе свободнодисперсной системы песка в связнодисперсную.

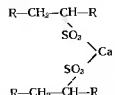
Сульфит-спиртовая барда и продукты ее конденсации

(ССБ, КССБ, ХССБ, ФХЛС)

Сульфит-спиртовая барда (ССБ) — отход производства спирта на базе сульфитных щелоков, являющихся отходами целлюлозного и гидролизного производства.

Сульфит-целлюлозный экстракт — СЦЭ (щелок) — образуется при варке древесины в растворе бисульфитатного кальция со свободной серной кислотой. Основные составные части древесины, кроме целлюлозы, переходят в раствор (щелок), который нейтрализуется известком. Нейтрализованный и сконцентрированный щелок, содержащий лигносульфоновые кислоты разной степени сульфирования и полимеризации, а также сахар, называется сульфит-целлюлозным экстрактом, или линейным концентратом. После сбрасывания сахаров сульфитного щелока и отгонки спирта остается сульфитно-спиртовая барда.

По Е. А. Сапотинскому [219], после сульфитной варки целлюлозы получаются лигносульфиновые кислоты, связанные между собой через сульфогруппы двухвалентным атомом кальция по схеме:



Лигносульфиты являются основным действующим агентом СЦЭ и ССБ. ССБ хорошо растворяется в воде, а песчаная корка на ее основе пробивается всходами растений-псаммофитов. Количество ССБ, получаемое в СССР, — около 16 млн. м³ в год (ГОСТ 81/857). Возможность использования ССБ в качестве химического мелиоранта при получении связнодисперской системы песка проверена нами в лабораторных и полевых условиях.

В настоящее время на базе ССБ выпускаются КССБ, ХССБ, ФХЛС.

КССБ — конденсированная сульфит-спиртовая барда, полученная конденсацией лигно-

сульфатов [220]. Для проведения реакции в емкость, снабженную мешалкой и подогревом, загружают 1100 л ССБ, 192 л формалина, 48 л фенола, 72 л концентрированной серной кислоты и около 1 м³ воды. Смесь нагревают и перемешивают в течение нескольких часов, затем нейтрализуют щелочью до pH 7–8 и разбавляют водой до 4 м³. Готовая КССБ содержит 18–20% сухих веществ, вязкость ее около 100 СПЗ, удельный вес 1,12 г/см³.

ХССБ — хлорированная сульфит-спиртовая барда. При окислении ССБ хлором укрепляются молекулы лигносульфонатового комплекса, образуя соляную кислоту, которая затем нейтрализуется щелочью до pH 7–8. ХССБ может быть изготовлена в виде порошка, легко растворимого в воде [221].

ФХЛС — лигносульфонаты хрома и железа — получают путем обработки сульфит-спиртовой барды сернокислыми солями трехвалентных хрома и железа. Для этого концентрацию ССБ повышают до 50%, добавляя 7–10% Cr₂(SO₄)₃ и 1,5–2,0% Fe₂(SO₄)₃.

Этот препарат интересен наличием катионов, которые могут быть заменены на катионы калия или другие элементы, способные образовать питательные вещества, что повышает их ценность при сочетании химической мелиорации с фитомелиорацией.

Сульфат целлюлозы (СЦ)

Сульфат целлюлозы получают путем этерификации целлюлозы, представляющей естественный полимер с высокой степенью полимеризации, серной кислоты, или серного ангидрида хлорсульфоновой кислотой [222, 223] с последующей пейтравлизацией кислого сернокислого эфира едким натром. Следовательно, СЦ — натриевая соль кислого сернокислого эфира целлюлозы, который должен иметь степень замещения в пределах 50–70, содержание Na₂SO₄ не более 45%.

Сырьем для получения СЦ могут служить хлопковое волокно, гузапая, солома и др. По методу З. А. Роговина и Д. Л. Милюса [224], Э. А. Ариповым и С. Алимовой выделен сульфат целлюлозы из хлопкового волокна. Полученный продукт обладал растворимостью в воде [225].

Карбоксиметилцеллюлоза (КМЦ) и продукты ее модификации (КМЦ-5, КМЦ-7, КМЦ-8, ССР-КМЦ).

Карбоксиметилцеллюлозу получают путем взаимодействия щелочной целлюлозы с натриевой солью монohлорусской кислоты.



Параллельно протекает реакция омыления натриевой соли монohлорусской кислоты щелочью: CH₂ClCOONa + NaOH → CH₂OHCOONa + NaCl.

Формулу КМЦ иногда выражают в виде R(OCH₂COONa)_x, где R — антидроидглюкозидное звено в молекуле целлюлозы; x — степень замещения, то есть натрий карбоксиметильных групп, приходящихся на одно звено антидроглокозы.

Из приведенных формул видно, что КМЦ — простой эфир целлюлозы и гликоловой кислоты. При карбоксиметилировании реакционная способность гидроксильных групп элементарного звена целлюлозы находится в соотношении C₂:C₃:C₆ = 2:1:2.5. Даже небольшое количество карбоксильных групп в целлюлозе повышает ее водорасторимость и способность вступать в разнообразные реакции, особенно с эпоксидосоединениями [226]. Разработку методов получения КМЦ в ССР осуществляли К. Ф. Жигач с сотрудниками [227]. Известны традиционный, в одном аппарате, супензионный и непрерывный способы промышленного получения КМЦ.

По традиционному способу вискозную целлюлозу в виде листов замачивают в течение 1–1,5 ч в щелочном растворе, содержащем 225–235 г/л NaOH при 18–20°, затем отжимают от избытка щелочи до 2,6–2,8-кратного веса и измельчают. Реакционная смесь состоит из 30–32% алкалицеллюлозы, 15–16% NaOH и 52–55% воды. При температуре 15–25° в нее вводят твердый моноглутарат натрия, после чего смесь перемешивают в течение 2,5 ч при температуре 40–45°, затем пересыпают во вращающийся барабан, где в течение 6 ч продолжается реакция этерификации.

При традиционном способе получения КМЦ недостаточно эффективно используется этерифицирующий

реагент, что повышает стоимость КМЦ. Более перспективны в этом отношении суспензионный и особенно непрерывный методы получения КМЦ.

КМЦ—белая или желтовато-волокнистая (ватообразная) масса влажностью 11—12%. С химической точки зрения, КМЦ характеризуется степенью этерификации (СЭ), степенью замещения (СЗ) и степенью полимеризации (СП). СЭ влияет на растворимость КМЦ в воде. Чем больше значение СЭ, тем лучше растворяется КМЦ. Хорошо растворимыми являются препараты, у которых СЭ>40.

Сырьем для производства КМЦ является целлюлоза, полученная из древесины. Промышленную КМЦ можно производить из делнита, для снятия которого с семян хлопчатника уже внедрены в хлопкоочистительную промышленность семяоголительные машины [228]. Из богаты (отход сахарного тростника) изготавливают высококачественную целлюлозу, из которой можно получать КМЦ с высокими показателями [229]. КМЦ отличается способностью соединяться с некоторыми химическими реагентами. Исходя из этого, на основе КМЦ получены продукты модификации — КМЦ-5, КМЦ-7, СФ-КМЦ, КМЦ-8 [230—234].

КМЦ-5 — цианатилированная карбоксиметилцеллюлоза — получена омылением сополимеров КМЦ и нитрила акриловой кислоты в растворах щелочного натра (NaOH , $\text{K}_2\text{S}_2\text{O}_8$) при 90—95° в течение 2 ч при соотношении реагентов 1:2. КМЦ-5 — пастообразная масса кремового цвета с запахом аммиака. Хорошо растворима в воде: содержание полимера в пасте 5% по действующему началу. СФ-КМЦ — сульфометилированная фенолькарбоксиметилцеллюлоза — может быть синтезирована: 23 г расплавленного фенола растворяют в 40%-ном растворе NaOH (20 мл) с добавлением 10%-ного раствора NaHSO_3 ; температуру полученного раствора постепенно повышают до 90°, поддерживая в течение 1 ч.

КМЦ-7 получена на основании мочевины, формальдегида и карбоксиметилцеллюлозы; КМЦ-8 — синтезирована на основе КМЦ и малевинового ангидрида. Модифицированные производные КМЦ осаждали этиловым спиртом. Полученные препараты хорошо растворяются в воде.

КМЦ способна к ионообменным реакциям, действие которых заключается главным образом в обмене ионов

карбоксилатных групп макромолекул целлюлозы с ионами металлов среды, окружающей КМЦ. Это свойство очень важно при использовании КМЦ или продуктов ее модификации для мелиорации подвижных песков. В результате обмена ионов натрия КМЦ на поглощенные песком катионы поливалентных металлов образуются нерастворимые соли КМЦ, которые могут играть роль мостики при контактных взаимодействиях (сплеления) зерен песка друг с другом.

Химические мелиоранты на основе гуминовых кислот (УЦР, ТЦР, ГН, Сунак)

Гуминовые кислоты извлекают из природного сырья выщелачиванием. Так, разработана технология торфяно-щелочного реагента (ТЦР) из торфа, учитывающая при этом состав и влажность исходного сырья [235]. УЦР — углеводородный реагент, являющийся продуктом взаимодействия расчетного количества бурого угля и щелочи. Качество УЦР зависит от содержания гуминовых и других (например, желатинозных) веществ, а его действие — от гумусовых веществ в угле [236]. Отмечено, что с увеличением содержания гуминовых веществ вязкость системы глина — УЦР сначала снижается, а затем повышается [205]. Последнее небезразлично при проведении работ по закреплению барханных песков в сочетании с фитомелиорацией. Гумусовые вещества в этой смеси являются связующими для песка и источником питания для растений.

Содержание гуминовых кислот в УЦР и ТЦР зависит от исходного содержания их в угле, торфе и условий приготовления щелочных реагентов: количества и тонкости помола исходного сырья, количества щелочи, времени проведения выщелачивания и температуры. Угли Средней Азии отличаются низким содержанием гуминовых кислот [237]. Разработаны окислительные и восстановительные способы деструкции углей, вследствие чего не только увеличивается выход гуминовых веществ, но и облегчается процесс их получения [237—240]. На основе гуминовых кислот и акрилонитрила проведены реакции полимеризации с последующим омылением их щелочным натром, в результате получены водорастворимый препарат ГУ [241]. Спектроскопическими исследованиями установлено, что в их инфракрасных спектрах наряду с полосами поглощения, характерными для кислородсодержащего конденсированного ароматическо-

то ядра, имеются полосы поглощения с максимумом на частотах, соответствующих тем или иным видам колебаний гидроксильных, амидных, карбоксильных и других групп. Причем интенсивность полосы поглощения тем меньше, чем больше время омыления. Группа OH при частотах 3115 см⁻¹ интерпретируется как гидроксил, осуществляющий межмолекулярную связь между карбоксильами, полоса при частотах 2395 см⁻¹ относится к димерам кислот. На основании полос поглощения при частотах 1643, 1544, 1380 см⁻¹ сделано предложение о наличии вторичного амида в препаратах [242].

Из гуминовых кислот бурых углей, выделенных окислением, получены аммониевые, нитро- и сульфометильные и их производные. В результате реакции полимеризации с нитрилом акриловой кислоты с последующим омылением получены водорастворимые полимеры под названием Сунак, Сунак-1, Сунак-2, Сунак-3 [243]. Данные, полученные термографическим и термогравиметрическим методами исследования препаратов, полученных на основе гуминовых кислот, свидетельствуют о их большой термической устойчивости. Результаты исследования могут быть интерпретированы как устойчивость их в аридных условиях (табл. 22).

Таблица 22

Термическая устойчивость образцов некоторых полимеров

Образец	Температура экзотермической реакции, °C	Энергия активации, дж/моль	Потери веса, %
Гуминовые кислоты	478	496,6	60
Гуматы аммония	470	541,8	58
Нитропроизводные гуминовых кислот	380	901,4	58
Сульфометильные производные гуминовых кислот	476	481,1	58
Полиэлектролиты на их основе с акрилонитрилом			
Сунак	752	1894,0	65
Сунак-1	637	1766,4	60
Сунак-2	645	1653,2	60
Сунак-3	646	1724,4	63

Сунак получают по методу, описанному в работе [244]. В круглодонную четырехгорловую колбу емкостью 500 мл, снабженную обратным холодильником, термометром, мешалкой и капельной воронкой, загружают 6 г гуминовых кислот, 120 мл воды, в которой растворяют 0,04 г гидроксида железа (моногидрата) и 1,4 мл концентрированной серной кислоты. После включения мешалки вводят 12 г акрилонитрила. Через 1 мин добавляют 130 мл воды, в которой растворяют 2 мл 30%-ной перекиси водорода. Колбу с реакционной смесью погружают в водяную баню и нагревают до 78°. После окончания реакции (1 ч) продукт полимеризации медленно омыливают 40%-ным едким натром (22 мл) при температуре 95–97° в течение 1 ч.

Полученные полимеры ЛПС-1 и Сунак представляют пастрообразную массу темно-коричневого цвета, хорошо растворимую в воде. Физико-химические свойства полимеров ЛПС-1 и Сунак изучали ИК-спектроскопическим, вискозиметрическим, потенциометрическим и химическим методами.

ИК-спектроскопическим и химическим методами анализа установлен функциональный состав полученных полимеров.

Выявлено, что в молекулах ЛПС-1 и Сунак содержатся реакционноспособные группы ОСН₃, OH, COCNa, CONH₂, а в молекулах ЛПС-1 — еще и NO₂-группа. Вискозиметрическим и потенциометрическим методами установлен их полиэлектролитный характер.

Химические мелиоранты на основе лигнина (ГН, ЛПС, Сунак)

В зависимости от сырья получают щелочной сульфатный лигнин — продукт от сульфатной варки целлюлозы; талловый лигнин — отход от производства таллового масла; шлам лигнин — отход от биохимической очистки сточных вод сульфатно-целлюлозного производства и т. д. Лигнин в естественном виде не является мелиоратором песка. Но в результате химической обработки в цепи макромолекул возникают активные функциональные группы по отношению к минералам, в результате лигнин приобретает способность растворяться в воде, то есть становится пригодным для мелиоративных работ на подвижных песках.

Например, использование продуктов обработки лигнина едким калием, едким натром и аммиаком для пескозадержания дало положительные результаты [245]. Установлено, что препараты на основе лигнина существенно не влияют на микробиологическую активность субстрата, на всхожесть и развитие растений (люцерна, житняк) [246, 247].

В работе [225] отмечено, что на основе гидролизного лигнина и акрилонитрила получены водорастворимые полимеры серии ГН. ИК-спектры этих препаратов отличаются от ГУ тем, что в них имеются полосы поглощения в области частот, характерные для нитрогруппы [242]. Препараты серии ГН и ГУ имеют в большом количестве кислотные группы (табл. 23).

Таблица 23

Элементарный и функциональный состав препарата

Наименование проб препарата	W^a	A^c	На органическую массу, %		Функциональные группы, мг/кгцеф				
	%	C ^b	H ^b	N ^b	S ^b	O ^b	сумма кислотных групп	—ОН —ОНильный	—COOH
Нижняя пачка угля Кызыл-Кия	4,4	9,4	63,5	5,3	0,46	—	—	5,9	—
Водорастворимые кислоты угля									
Кызыл-Кия	20,8	8,3	47,2	5,2	1,6	1,0	44,8	11,52	9,63
ГУ-а(1:1)	14,3	22,5	54,8	2,7	10,1	0,37	34,0	18,7	18,36
ГУ-а(1:1)	11,8	25,0	50,4	—	8,6	0,5	29,8	10,9	10,51
ГУ-К(1:1:5)	12,0	27,0	47,7	7,7	11,20	0,35	33,0	15,1	0,19
ГУ-К(1:1)	20,0	27,5	46,6	7,3	10,6	0,13	35,3	17,45	17,29
Лигнин	7,5	6,5	50,0	4,9	0,7	—	44,4	4,45	3,55
Нитролигнин	—	—	40,0	4,3	2,9	—	—	10,8	5,35
ГН-а(1:1:5)	4,45	15,0	43,5	6,2	8,1	—	41,2	18,7	16,36
ГН-а(1:1)	13,65	16,0	43,5	7,7	7,9	—	40,9	4,7	4,42
ГН-К(1:1:5)	11,7	17,4	44,8	0,6	7,7	10,9	—	34,4	8,4
ГН-К(1:1)	12,29	18,4	41,0	0,6	6,6	—	45,9	18,8	17,79
									1,01

Кислотные группы полимеров серии ГН, ГУ реагировоспособны по отношению к окисным пленкам на поверхности зерен песка, поэтому могут способствовать перевороту свободнодисперсной системы песка в связно-дисперсную. Нитролигнин гидролизных заводов служит

сырьем для получения препаратов, применяемых не только при бурении скважин, но и используются в качестве химических мелиорантов песка. Осуществляя реакцию полимеризации акрилонитрила в присутствии нитролигнина, и, взяв в качестве гидролизующего агента персульфат калия, Л. Е. Кузьева получила препарат ЛПС [248] и отнесла его к графит-сополимерам, получаемым по механизму радикальной привитой сополимеризации.

Кратко опишем методику получения этого препарата, заимствованную из [244]. В круглодонную трехгорловую колбу емкостью 300 мл, снабженную обратным ходильником и капельной воронкой, помещают 10 г нитролигнина и 160 мл дистиллированной воды. Через 5–10 мин интенсивного перемешивания добавляют 12 мл (10 г) акрилонитрила и 0,5 г персульфата калия ($\text{K}_2\text{S}_2\text{O}_8$). Колбу с реакционной смесью при интенсивном перемешивании нагревают в течение 1,5 ч на водяной бане (до температуры 95–98°), после чего продукт полимеризации омылиают 15 мл 40%-ного раствора едкого натра. Процесс омыления длится 1,5–2 ч и сопровождается бурным выделением аммиака.

Для сополимера ЛПС изучены функциональный состав и физико-химические свойства. Функциональный состав представлен группами $-\text{NO}_2$, $-\text{COOH}$, $-\text{OH}$ (фенольного и спиртового характера), $-\text{CONH}_2$ и $-(\text{CO})_2\text{NH}$. Молекулярная масса сополимера нитролигнина и нитрила акрилового кислоты составляет 250–280 тыс., величина энергии активации деструкции — 20,1 ккал/моль — позволяет отнести его к термостабильным полимерам, кроме того, он обладает ярко выраженным полизелектролитным характером.

Сульфированием нитролигнина солями серной кислоты (бисульфит или пиросульфит натрия и др.) в нейтральной среде получают сульфированный нитролигнин — сунил. Первая его промышленная партия выпущена в 1963 г. на Анидзянском гидролизном заводе I206I. Сунил представляет собой полимер, имеющий глобулярную форму и хорошо растворимый в воде. Среда нейтральная и удобна для работы.

Набухаемость глины в растворах сунила значительно ниже, чем в воде [249]. Это дает основание предположить, что сунил можно применять в качестве мелиоранта для песчаных грунтов, на поверхности ко-

торых часто имеется глинистая фракция, содержащая глинистые минералы с расширяющейся кристаллической решеткой.

Латексы синтетические

Синтетические латексы — водные дисперсии каучукоподобных сополимеров, получаемые эмульсионной полимеризацией или сополимеризацией. К латексам относят и дисперсии каучуков, получаемые поликонденсацией диспергированных в воде полимеров (бутылкаучука и т. д.), а также дисперсии пластических kleев, образующихся при эмульсионной и суспензионной полимеризации (например, дисперсии поливинилацетата) [250]. Обычно получают латексы, содержащие 20—35% каучука. Латексы с высоким содержанием полимера могут концентрироваться путем упаривания, сливкоотделения или другими методами. Вязкость 20—40% латексов мало отличается от вязкости воды. Вязкость латексов можно повысить введением казеинатов, поликарблатов, альгинатов, производных целлюлозы и других загустителей.

Латексы (синтетические и натуральные — млечный сок каучуконосных растений) — типичный пример коллоидного состояния полимеров, частицы которых, как правило, имеют сферическую форму диаметром 10^{-6} — 10^{-5} см [251]. Агрегативная устойчивость синтетических латексов обусловлена адсорбционным слоем поверхности-активного вещества (ПАВ) на поверхности частиц. Этот слой возникает в процессе эмульсионной полимеризации. Средство диффузных молекул ПАВ к полимерной поверхности латексных частиц велико.

К синтетическим латексам относят дивинилстирольные (продукт сополимеризации дивинила и стирола), дивинилнитрильные (продукты сополимеризации дивинила с акрилонитрилом), дивинилакрилатные и дивинилметакрилатные (сополимеры дивинила с мета- или остилметакрилатом), дивинилвинилипиридиновые и дивинилметилпиридиновые (сополимеры дивинила с небольшим количеством винилпиридинов) и т. д. Синтетические латексы с небольшими добавками широко применяют в различных отраслях промышленности.

В исследованиях нас интересовало использование латексов в качестве склеивающего агента при переводе свободнодисперсных систем песков и грунтов в связно-дисперсные. Так, Кулединская сельскохозяйственная

экспериментальная станция проводила обработку дефлируемых почв водным раствором латекса СКС-65 ГП; доза 75—150 кг/га предохраняет почву от дефляции в течение 3—4 месяцев. Латекс наносили на поверхность почвы в виде 2,5—5%-ного водного раствора. В результате уменьшался расход воды на испарение с поверхности обработанной почвы [252].

Для мелиорации подвижных песков рекомендуется водный раствор латекса с концентрацией 2—16% при расходе 2,5—3,0 л/м². Глубина проникновения раствора — 7—18 мм [253]. Рекомендована также смесь латекса с верстесным или вазелиновым маслом в соотношении 1:5—1:10. При расходе 100—150 кг/га такой смеси получается защитное покрытие, противостоящее действию ветра даже при скорости 20 м/с [254].

За рубежом практикуется закрепление песчаных дюн синтетическим каучуком (Израиль). Раствор готовится в виде эмульсии каучука, нефти и воды в соотношении 1:5:25. Расход каучука на 1 м² составляет 46—92 г. Рост растений из-под такой корки не отличается от контроля [225].

Смолы. Нэрозин

Вещества, выделяемые растениями при физиологическом обмене, а также при их хранении, относят к природным смолам. Синтетические смолы — это продукты поликонденсации фенолов с альдегидами (фенолоальдегидные); многоатомных спиртов с многоосновными кислотами (алкидные); аминами с формальдегидом (анилиноформальдегидные); желатина с формальдегидом (желатиноформальдегидные); мочевины с формальдегидом (мочевиноформальдегидные), фенола с формальдегидом (фенолоформальдегидные), а также полимеры, которые содержат в своей структуре фурановые циклы (фурановые), олигомеры и полимеры, содержащие в макромолекуле эпоксидные группы — оксирановый цикл (эпоксидные) и др. К смолам относят нефтяные — высокомолекулярные нефтегидроорганические компоненты нефти, гossипиоловые высоковязкие масла, получаемые при дистилляции жирных кислот, выделенных из семянок хлопкового масла, и т. д.

Использование смол для целей мелиорации песков является новой областью их применения. Так, алкиларomaticическая смола, получаемая из отходов нефти в

виде водной эмульсии концентрацией 20—80%, используется при закреплении подвижных песков. Расход смолы составляет 300 г/м². Прочность на продавление оструктуренной системы песка (корки) достигает 4 кг/см² [256].

Известно, что введение небольшого количества продукта гидролиза поликарбонитрила в фурфуроланиловую смолу резко повышает механическую прочность изделий из песка, хотя при этом несколько удлиняется время, по истечении которого связнодисперсная система песка приобретает максимальную прочность [257].

В дорожном строительстве госспиловая смола используется в качестве поверхностно-активной добавки с целью улучшения адгезии битумов к влажным минеральным материалам, что позволяет производить асфальтоукладочные работы в любую погоду [258]. Следовательно, добавление небольшого количества поверхностно-активных добавок к битумам способствует увеличению адгезии последних к песчаным частицам и позволяет проводить мелиоративные работы даже в увлажненные периоды года.

Среди смол, используемых для закрепления подвижных песков, особое место занимает сланцевая смола полуоксования (ССП, или нэрозин), получаемая на предприятиях сланцевохимической промышленности. Нэрозин представляет смесь средней и тяжелой фракций генераторного масла, полученную при термическом разложении горючих сланцев в мягком режиме.

Состав нэрозина сложный. Азотистые основания составляют 0,3%, карболовые кислоты — 0,3, фенолы — 21,4, кислые асфальты — 13,3, нейтральные масла, углеводороды и нитральные кислотные соединения — 64,0% [259]. Он представляет сложную смесь взаимообразующих, преимущественно кислородных производных различных классов углеводородов-кетонов, эфиров и алкил-фенолов. В меньшей мере представлены в нем углеводороды (от алифатических до ароматических включительно) и менее 1% азотных оснований и карбооновых кислот.

Техническая характеристика нэрозина следующая: удельный вес — 0,985—1,045; содержание воды — не больше 2,5%, влажность — 1,1%; температура вспышки — 113°; содержание золы — 0,2%. Вязкость зависит от температуры [260]. В качестве мелиоранта песка

нэрозин использован для создания связнодисперской структуры песка вдоль железной дороги Гурьев—Астрахань [261], на газопроводах Бухара—Урал, Средняя Азия—Центр [262], ослабленный опор линий электропередачи [263] и т. д.

Нэрозин относят к группам малотоксичных соединений [264]. Однако требуется большая осторожность при его применении. В условиях аридной зоны созданная структура песка быстро разрушается и не может самовосстанавливаться как при использовании нефтяных материалов в летний период [263—265].

Жидкое стекло, хлористый кальций и другие химические соединения

Реакционноспособные вещества, в присутствии которых образуются нерастворимые соединения на поверхности зерен песка или в его порах, применяются при закреплении подвижных песков. Способ, в котором для этой цели используется жидкое стекло, назван силикатизацией песчаных грунтов [266, 267]. Сущность этого способа состоит в том, что в песчаный грунт инъектором нагнетаются под давлением поочередно жидкое стекло и хлористый кальций. В результате протекающей между ними химической реакции выделяется студнеобразная масса кремниевой кислоты, которая, удерживаясь на поверхности песчаных зерен, связывает их в прочный монолитный массив. Впервые метод применен при строительстве первой очереди Московского метрополитена, затем при креплении ряда общественных зданий (Большой театр и музей Калинина в Москве, Оперный театр в Одессе). Метод применялся также при строительстве Ассуанской плотины [268].

Жидкое стекло — щелочной силикат непосредственно стехиометрического состава, выражается формулой $R_2O \cdot nSiO_2$, где R_2O — окись К или Na; n — количество SiO_2 .

Отношение SiO_2 называется силикатным модулем. При закреплении грунта важное значение имеет вязкость жидкого стекла.

Сочетание метода осаждения на поверхности зерен песка скрепляющего химического соединения с фитомелиорацией возможно тогда, когда под влиянием химических веществ образуется не монолитный массив, а структура (связнодисперсная система) песка с проч-

ностью, достаточной противостоять силе ветра в естественных условиях и не препятствующая росту пустынных растений. С этой целью нами в лабораторных, а затем в полевых условиях апробированы соли органических кислот, нерастворимые в воде. В результате установлена зависимость прочности созданной структуры от расхода реагентов, температуры и влажности воздуха. Оказалось, что структура тем прочнее, чем выше температура воздуха. Для этих опытов использованы морская вода и вода, содержащая ионы поливалентных металлов, а также мылонафт (технический продукт натриевой соли нефтяных кислот), получаемый при щелочной очистке керосиновых и газойлевых дистиллятов нефти.

Мылонафт — мазеобразный продукт от соломенно-желтого до темно-коричневого цвета, с приятным запахом, содержащий не менее 43% нафтенатов (в пересчете на кислоты), 9—15% неомыляемых веществ, 4—6% минеральных солей, а также воду.

Асидол-мылонафт, также содержащий свободные нафтеновые кислоты, получают обработкой мылонафта серной кислотой. Мылонафт и асидол-мылонафт применяют в качестве эмульгаторов, заменителей жиров в мылонаваренном производстве. Мылонафт иногда используется как моющее и дезинфицирующее средство [269].

Предложенный Е. С. Останиным [155] метод применения на песках окрестностей Кара-Богаз-Гола рапы (концентрированный раствор солей) для закрепления поверхности песков от раздувания не может быть использован при лесоводческом и растениеводческом освоении песков вследствие вредного воздействия вспомогательных солей на растения.

Синтетические мелиоранты подвижных песков

К синтетическим мелиорантам подвижных песков относят низко- и высокомолекулярные поверхностно-активные вещества анионного, неионогенного катионного типов. Эти вещества, растворясь в воде, понижают ее поверхностное натяжение и обладают способностью проводить электрический ток. Поэтому высокомолекулярные поверхностно-активные вещества относятся и к типу полизлектролитов.

К полизлектролитам относят такие полимеры, в молекулах которых имеются группы, обладающие кислот-

ными или основными свойствами: COONH_3 ; SO_2OH ; $\text{PO}(\text{OH})_3$; NH_2 ; NOH и др. В зависимости от характера группы полизлектролиты представляют сильные или слабые кислоты, основания или их соли.

Синтетические мелиоранты для песка можно получить из мономеров или путем переработки ряда технических продуктов, а также из природных и синтетических полимерных материалов.

Поверхностно-активные вещества

Поверхностно-активные вещества (ПАВ) можно применять при мелиорации подвижных песков как склеивающие агенты получения связнодисперсионной системы песка. Например, создание структуры песка на основе Э-1 [28] или в качестве добавок для повышения эффективности действия других мелиорантов (например, повышение адгезии битума к песчаным частицам) [147].

Молекулы поверхностно-активных веществ, способные адсорбироваться на поверхности раздела фаз, снижая избыток межфазной поверхностной энергии, являются дифильными и состоят из гидрофобной и гидрофильной частей. Гидрофобная часть всегда неполярна и состоит из алкильной или алкилариловой группы. Гидрофильная часть молекулы ПАВ полярна и вследствие дипольного взаимодействия с молекулами воды определяет растворимость ПАВ в чай. Гидрофильной частью являются карбоксильная, сульфатная, сульфонатная и другие группы, а также группы $-\text{CH}_2-\text{O}-\text{CH}_2-$ или группы, содержащие азот либо фосфор. В зависимости от заряда (это определяется природой и структурой гидрофильной части молекул) поверхностно-активные вещества делятся на анионогенные, катионогенные, амфолитные (амфотерные) и иононогенные [270—273]. Если органический ион заряжен отрицательно, то это анионогенное вещество, если положительно — катионогенное. Амфотерные ПАВ в кислом растворе проявляют катионогенные свойства, а в щелочном — анионогенные. Неионогенные ПАВ в воде не образуют типичных ионов. Препараторы по каждому из этих классов ПАВ, выпускаемые промышленностью в Советском Союзе и за рубежом, приведены в [130, 274].

Наиболее известные анионоактивные ПАВ — карбоновые кислоты (например, олеиновая кислота) и их производные (мыло, олеат натрия). Промышленное производство их по своему экономическому значению превосходит производство других анионоактивных ПАВ [275]. Алкиларилсульфонаты относятся к наиболее распространенным во всем мире анионоактивным ПАВ.

Анионоактивными ПАВ являются синтетические алкилсульфаты (обычно натриевые соли алкилсульфокислот, которые в США составляют 1/4 часть производства алкиларилсульфокислот), органические соединения, содержащие фосфор (например, фосфоаминовая кислота и ее соль), серу с тремя атомами кислорода (алкилсульфонаты) или с двумя атомами кислорода (сульфоаминовая кислота и другие аналогичные соединения). К алкилсульфонатам относится препарат «Прогресс»—натриевая соль синтетических сульфоспиртов, ДНС—дигидратированная сольmonoалкилсульфоянтарной кислоты, а также сульфонат, изготавляемый из керосина. Алкиларилсульфонатами являются сульфонол НП-1—додецилсульфонат на основе тетраметров пропилен с разветвленной боковой цепью, сульфонол НП-3—додецилбензосульфонат на основе альфаолефинов с прямой боковой цепью, хлорный сульфонол (керилбензосульфонат), смачиватель НБ—сульфированный продукт конденсации нафталина с бутыловым спиртом, диспергатор НФ—натриевая соль метиленбетанафталини сульфокислоты, препарат БМС-8—композиция из 22—25% сульфонола НП-1 или хлорного сульфонола, триполифосфата, метасиликата натрия, карбоксиметилцеллюлозы и алкилолимида, азотаты А и Б, дегтерент DC, некали и т. д. Сюда же относятся и препараты ГСК—На—натриевая соль алкиларилсульфокислот, получаемые сульфированием ароматических углеводородов газоконденсата серным ангидридом в токе воздуха [276]. Коммерческие названия анионных ПАВ и композиций из них весьма разнообразны: HDS, wO, E, хилолин OG, метаупон, фантарен, синтапол CP и т. д., дуплон 30 и 40, сульфоболен СК, вомуни MF, вотамол wS, молантик Р и многие другие.

Большинство катионоактивных ПАВ — четвертичные аммониевые или нечетвертичные (нитрильные, амины) основания. К катионным ПАВ, не содержащим азот, относят производные сульфония. Препараты, имеющие коммерческие названия—бетаноль, спигтегал 20, спигтегал

У-7, марвелан FT и SF, марвелан SFL, KX сиктомин KX, тетрамон С являются катионоактивными ПАВ и их композициями. В ССР из катионных ПАВ широко применяют алкоамоны ОС-2 и ОС-2Н (четвертичные соли диэтиламинометилдигликолевого эфира высших жирных кислот), выравнивателя АХ (четвертичная соль диэтиламинометилдигликолевого эфира алкилфенолбензосульфонаты), катомин А (триэтиламилобензиламмонийхлорид), катания А (параалкилбензилпиридиний хлорид с 16—18 атомами углерода в алкильной цепи), аркад S-50 и аркад T-50 (производные monoалкилтриметилчетвертичного аммония), S-производные на основе соевого масла и Т-производные на основе таллового масла, карбозолин О и С (четвертичная аммониевская соль 4-оксипент-2-гептадекилпиримидазолин), сульфамиды ОЭ-10, ОЭ-5 — оксиэтилированные сульфамиды, карбозол О (диметилолоксизтилтриазол), аламин О (смесь ди- и триметилстеариламида), препарат 101 (стеариламинометилпиридиний хлорид), АНП-2 (соляникислые первичные амины), препарат Э-1 (смесь алкилбензо-нафтил, аитрацил-пиридиний хлоридов) [277], также являющиеся катионоактивными ПАВ.

К амфолитным ПАВ относят вещества, в цепи молекул которых имеются функциональные группы, обладающие основными и кислотными свойствами. В кислой среде за счет высокой степени диссоциации аминогрупп амфотерные ПАВ проявляют катионоактивные свойства. В щелочной среде карбоксильные группы, имеющиеся в этих соединениях, наделяют их анионоактивными свойствами. Промышленность пока выпускает пробные партии амфолитных ПАВ, которые еще не получили широкого применения в народном хозяйстве.

Неноногенные ПАВ занимают второе место среди всех выпускаемых промышленностью и используемых в народном хозяйстве. Это связано со снижением стоимости их производства за последнее время из-за доступности сырья и возможности регулирования свойств и числа химически инертных гидрофильных групп, а также длины гидрофобной части молекул, что расширяет область применения этого класса ПАВ.

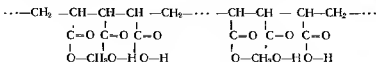
Производимые в ССР неноногенные ПАВ (ОИ 4, ОИ-7, ОП-10 и др.) являются продуктами взаимодействия алкилфенолов с окисью этилена [270, 273]. Препараты ОП обладают универсальным действием и представ-

ляют полиэтиленгликолевые эфиры изооктилфенола (содержащие различные количества оксиэтиленовых групп); нафтеноксы — смеси полиэтиленовых эфиров нафтеновых кислот; проксонолы и проксамины — блок сополимеры оксиэтилена и пропилена; синтанолы — оксиэтилированные спирты; стеарокс-б — полигликолевый эфир стеариевой кислоты; препарат ОС-20 — продукт реакции 20 молей окиси этилена и смеси жирных кислот; препарат ОФ — поликсиэтилированный фенол, содержащий 25—30 молей окиси этилена; препарат АРС-295 — блокполимер окиси этилена и пропилена на основе алкилрезорцинов; препарат ФПК-295 — блокполимер окиси этилена и пропилена на основе двухатомных фенолов; препарат НЛС-145 — алкилфенольный блок-полимер окиси этилена и пропилена.

К коммерческим импортным пеноогенным ПАВ относятся превоцел W-ОН-100; сапаль OF; превоцел W-OF-400; превоцел E-O (бутигаль О); лиссаноль Nv, конокс Ж-109, полиолфенол-этоксилат, бетроль ЕМИ, торгитрол-NРу, нонген EA-120 и EA-130, акропол НХ-100, вофалаповая соль ЕМ, словген SMK, марвалон, словавив SR-100, словасол — О и др.

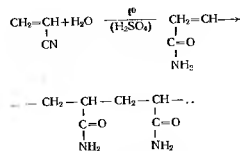
Полизелектролиты на основе мономеров

Опубликовано большое количество патентов с описанием методов получения водорастворимых полизелектролитов из мономеров. Последние должны иметь функциональные группы, обладающие большой гидрофильностью и способностью к полимеризации. В качестве таких мономеров сравнительно часто используют акрилонитрил, акриловую и метакриловую кислоты, фуран и др. [225, 226]. Синтез полизелектролитов осуществляется проведением реакции полимеризации одного мономера или сополимеризации (сополиконденсации) двух мономеров при различных их соотношениях. Так, американский препарат CRD-186, выпускаемый в виде белого порошка, представляет сополимер винилацетата и малепиновой кислоты [225]:



Кальциевая соль этого полимера носит название VAMA.

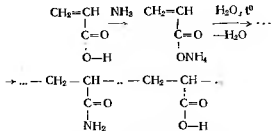
Продукты полимеризации амидных мономеров известны под названием поликариламидных полизелектролитов. Для их получения используют акриловую кислоту или ее производные. Последние можно получить непосредственно в реакционном сосуде, где осуществляется полимеризация. При этом может иметь место реакция полимеризации или сополиконденсации. М. Н. Савицкая [278] получила препарат ПАА из нитрила акриловой кислоты, заменив нитрильную группу на амидную с последующей полимеризацией в присутствии окислительно-восстановительной смеси по реакции



Очистка от серной кислоты продуктов реакции производится пропусканием аммиака или извести. В технике такой способ очистки носит название аммиачного или известкового [279]. В случае нейтрализации известью образуется известковый ПАА, представляющий собой сополимер акриламида ($-\text{CH}_2-\text{CH}_2-\text{CONH}_2$) и акрилата кальция ($-\text{CH}_2-\text{CH}_2-\text{COOCaOOC}-\text{CH}_2-\text{CH}_2-$)

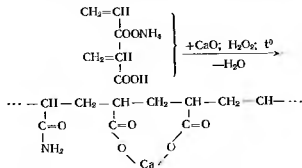
Известковый ПАА содержит обычно 5—9% полимера, не более 5% кальция и представляет собой густую массу. Содержание полимера в аммиачном ПАА составляет 4—6%, сульфата аммония — не более 13% [281]. Благодаря наличию карбоксильных групп в молекуле, ПАА является анионным полизелектролитом, диссоциирующим в водных растворах.

К. С. Ахмедов и К. В. Погорельский [280] на основе мономера акриловой кислоты и сухого аммиака получили аналогичный полимер, названный ими ПАЛ-1:



В результате реакции полимеризации, сопровождающейся выделением большого количества тепла, получается пористый продукт. Затвердевшая губчатая масса легко растирается в порошок. ИК-спектроскопическими исследованиями ПЛА-1 [281] выявлены характерные полосы поглощения карбонильной группы с частотой 1675 cm^{-1} и симметричных деформационных колебаний группы $-\text{NH}_3$ [282] с частотой 1520 cm^{-1} . На основании этих данных сделан вывод, что в цепи макромолекулы полимера присутствует функциональная группа CONH_3 , характерная для поликарбамидных препаратов [283]. При хранении ПЛА-1 или его водных растворов происходит гидролиз группы $-\text{CONH}_3$ с образованием COONH_4 [284].

Насыщением акриловой кислоты окисью кальция в сухом аммиаке в присутствии перекиси водорода получение полимера Ca — ПЛА [280, 285]. Реакция идет по схеме.



Ca—ПЛА — порошок белого цвета, хорошо растворимый в воде.

Анализ спектров поглощения инфракрасных лучей показывает, что для всех рассматриваемых полимеров

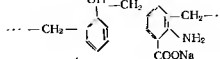
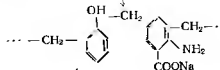
характерны свободные и связанные водородные связи гидроксильных групп в области частот 3200 – 3600 cm^{-1} , а также карбонильных групп в области частот 1600 – 1700 cm^{-1} . При замене в карбоксильной группе гидроксила на аминогруппу $(-\text{NH}_2)$ происходит смещение полосы поглощения карбонильной группы в сторону низкой частоты [225, 284].

Алкилариловые поливинилэлектролиты получаются сополиконденсацией антрациновой кислоты и сополимеризацией акриламида и акриловой кислоты [286].

Сополиконденсацию антрациновой кислоты и фенола с формальдегидом проводили стандартным способом синтеза фенольформальдегидных полимеров в присутствии кислых катализаторов. Исследовано влияние соотношений антрациновой кислоты и фенола на выход и физико-химические свойства полученных полимеров. При этом соотношение суммы антрациновой кислоты и фенола к формальдегиду составило 1:1. Выход полимера увеличивается по мере роста содержания фенола и достигает максимального значения при молярном соотношении его к антрациновой кислоте 2:1, и далее остается постоянной. Реакция идет через образование метильных соединений путем замещения атома водорода, находящегося в орто- или параположениях к амину в антрациновой кислоте и к гидроксилу в феноле и дальнейшей конденсации с образованием макромолекулярной цепи.

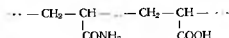
Полученные образцы очищали от возможных, не вступивших в реакцию сополиконденсации мономеров, путем подбора растворителя и осадителя. ИК-спектроскопические исследования показали наличие полос 3400–3200 и 1360 cm^{-1} , характерных для $-\text{OH}$ -группы, 2930, 1700 cm^{-1} — валентным и деформационным колебаниям $-\text{CH}_2$ и $-\text{CH}$ -групп, 1610–1600, 1175 cm^{-1} — колебаниям ароматического ядра, 1520, 1450 — деформационным колебаниям.

Элементарное звено поливинилэлектролита можно представить в виде

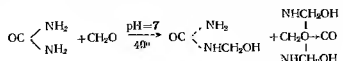


Сополимеризация акриламида и акриловой кислоты проведена в массе и водных растворах в присутствии инициаторов радикальной полимеризации. Сополимеризация мономеров в массе — реакция экзотермическая, сопровождается выделением углекислого газа и аммиака и всепищением массы, что, по-видимому, связано с омылением акриламида и циклизацией функциональных групп мономеров.

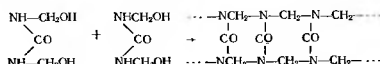
На ИК-спектрах сополимера акриламида с акриловой кислотой наблюдаются полосы поглощения при 3355—3420, 3215 cm^{-1} , характерные для амидных групп, 2950 cm^{-1} — валентным колебаниям — CH -групп, 1720, 1420, 1460 cm^{-1} — валентным и деформационным колебаниям — $\text{C}=\text{O}$ -групп в COOH , 1670, 1620 cm^{-1} — валентным колебаниям — $\text{C}=\text{O}$ -групп в амидных. По-видимому, продукт сополимеризации акриламида с акриловой кислотой в водном растворе является полимером, обладающим линейной структурой. Строение элементарного его звена можно представить в следующем виде



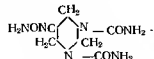
Мочевиноформальдегидные конденсаты. Как сообщается в некоторых источниках [287], МФ содержит определенный процент различной степени конденсации мочевины, формальдегида, фурфурола или аммиака.



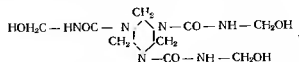
МФ-смолы под действием таких факторов, как старение pH или дисперсионная среда могут циклизоваться в виде трехмерной или сетчатой структуры с линейным размещением активных групп



В силу свойств первичных аминов циклизация протекает с образованием тримера, сходного с меламином

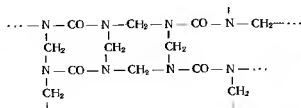


Боковые группы — CONH_2 ведут себя как амидные радикалы, образуя соединение



которое обладает повышенной реакционной способностью, в результате чего возможно образование межмолекулярной связи.

Можно допустить, что в предельно идеальной структуре основным звеном является остаток диметиленомочевины



Внутри сетки остается небольшое количество метиленовых радикалов, некоторые из них свободные. Эти радикалы оказывают влияние на стойкость препарата к воде и химическим реагентам, так как представлены гидрофильными и химически активными группами, богатыми водородными связями.

Изучаемые мочевиноформальдегидные конденсаты представлены марками МФ-17, МФФ и МФН-155, а также аминопластом. Эти смолы промышленного производства (модифицированные системы) представляют вязкие жидкости от молочно-белого до желтого цвета, с запахом формальдегида, хорошо растворимы в любых соотношениях: содержание сухих веществ 40—60%, азота — 30—50, свободного формальдегида — 2,5%, общего

азота в аминопласте с наполнителем — гидросульфита целлюлозы — 39,1%.

Полиэлектролиты на основе винилацетона, акриловой и метаакриловой кислот (при мольном соотношении 1:4) являются продуктами сополимеризации этих реагентов в присутствии инициаторов — перекиси водорода, персульфата калия с бисульфатом натрия и динитрилазоизомасляной кислоты [288]. В этих реакциях сополимеризация во всех случаях проводят при $67 \pm 1^\circ$ в течение 2 ч, затем растворяют сополимеры в воде постепенно добавляют однонормальный водный раствор едкого калия.

ИК-спектры полученных полиэлектролитов показывают, что полоса поглощения валентных колебаний гидроксильной группы присутствует в области 3450 см^{-1} , и к валентному колебанию СН-групп можно отнести полосу поглощения 2940 см^{-1} . Полосы вблизи 1410 , 1460 см^{-1} свидетельствуют о наличии в данном полиэлектролите СН₂-групп. В спектре имеется характерная полоса поглощения в области 1740 см^{-1} , свидетельствующая о наличии в сополимере карбонильной группы, и полоса поглощения карбоксильного иона в области 1580 см^{-1} .

Работа А. Асанова [289] посвящена получение сополимеров фумаровой (ФК) и малениновой кислот (МК) с акриламидом (АА) и дизфира фумаровой кислоты (ДЭФК) с акриловой (АК) в водных растворах термическим и фотокаталитическим методами инициирования радикальной полимеризации в присутствии персульфата и метабисульфата калия. Варьированием соотношения мономеров, pH и добавлением мочевины выяснены оптимальные условия сополимеризации.

Сополимеризация ФК и МК с АА при термическом методе инициирования идет неполностью. Установлено, что выход сополимеров и их состав зависят от pH среды. Наибольший выход сополимеров при pH 8. Это, видимо, связано с тем, что при данном pH комплексы, образующиеся в кислой среде между мономерами, разрушаются и процесс сополимеризации несколько облегчается.

Еще более высокий выход сополимеров (до 94%) при оптимальных соотношениях мономеров — ФК:АА и МК:АА, 1:4 и 1:5 — наблюдается соответственно, если в систему введена мочевина, роль которой сводится, согласно Каргину, к образованию комплексов мочевины с

мономером, что способствует радикальной сополимеризации. Фотокаталитический метод инициирования радикальной полимеризации этих сополимеров повышает выход их до 99—100%.

При сополимеризации ДЭФК с АК выход и состав сополимеров также зависят от соотношения мономеров и условий проведения реакции. Аминирование сополимеров ДЭФК с АК, полученное при установленных оптимальных условиях, проводили в 25%-ном растворе аммиака при температуре 60° в течение 6 ч.

Реакция аминирования в этих условиях проходит вполне удовлетворительно, на что указывают содержание азота, кислотных и щелочных чисел сополимеров. Образцы полимеров, полученных термическим методом в оптимальных условиях сополимеризации, — ФК с АА (1:4) и МК с АА (1:5), — условно называны ФААТ и МААТ, а полимеры, полученные при тех же соотношениях фотокаталитическим методом, — ФАА и МАА. Сополимер ДЭФК с АК назван ДЭФАК, продукт аминирования последнего — АФАК. Ниже приведены характеристики этих полиэлектролитов (табл. 24).

Таблица 24
Некоторые физико-химические характеристики полиэлектролитов

Показатель характеристики	Образец						
	ФАА	ФААТ	МАА	МААТ	ДЭФК	АФАК	ПАА
Содержание азота, %	14,9	15,1	15,4	15,6	—	6,0	14,6
Кислотное число в Н-форме,							
мг KOH	268	238	230	222	521	523	204
г							
Плотность, г/см ³	1,38	1,37	1,36	1,36	1,40	1,39	—
Молекулярный вес,							
М-10 ⁻⁶	4,78	0,62	4,10	1,80	—	—	4,56
вес.							

Химическая природа функциональных групп, наличие внутри- и межмолекулярных въдородных связей в образцах синтезированных сополимеров установлены по поглощению ИК-спектров.

ИК-спектры для образцов ФАА, МАА, ФААТ, МААТ мало отличаются от спектра промышленного образца

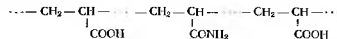
ПАА. Они показывают интенсивное поглощение при 1670 cm^{-1} с небольшим сателлитом при 1620 cm^{-1} , характерное для валентных колебаний CO-групп в амидах, связанных водородными с карбоксильными группами, что приводит к поглощению в широкой области 3000 — 3450 cm^{-1} и небольшому поглощению в области 1230 cm^{-1} . Имеются полосы поглощения средней интенсивности в области 2940 cm^{-1} , характерные для валентных колебаний карбоксильных групп.

Сравнение ИК-спектров поглощения ДЭФАК с продуктами его амидирования АФАК показывает существенное изменение в спектре поглощения. В области 1180 — 1280 cm^{-1} интенсивность пика, характерного для поглощения сложноэфирных групп, значительно уменьшается в результате амидирования и появляется новая область в спектре поглощения 2820 — 2860 cm^{-1} , относящаяся к поглощению протонизированного амida.

Полиэлектролит на основе акриловой кислоты, углекислого и двузамещенного фосфорникислого аммония [290]. Для этой цели полимеризацию акриловой кислоты (АК) проводили при 78 — 80° в массе при $0,01$ — $0,5$ моль/л перекиси водорода с одновременным амидированием карбоксильных групп АК углекислым амmonием в одну стадию. Полимеризация начиналась через 5 — 20 мин с выделением углекислого газа, незначительного количества аммиака, паров воды; температура реакционной массы самопроизвольно поднималась до 110 — 125° . При этом образовывалась мягкая пористая масса, которая после затвердения легко измельчалась в порошок. Исследовано влияние соотношения количества акриловой кислоты и углекислого аммония на выход полученных порошкообразных ВРП, условно называемых ПАУ. Установлено, что выход полиэлектролита ПАУ зависит от соотношения акриловой кислоты и углекислого аммония в бишарной смеси компонентов и достигает максимального значения при молярном соотношении АК к углекислому аммонию 2:1.

ИК-спектроскопические исследования показали наличие полос 3345 — 3420 , 3210 cm^{-1} , характерных для амидных групп, 2950 cm^{-1} — валентных колебаний — СН-групп; 1720 , 1620 , 1460 cm^{-1} — валентных и деформационных колебаний — CO в — COOH-группах; 1670 , 1620 cm^{-1} — валентных колебаний — CO-групп в амидах и 1560 cm^{-1} колебаний — COO⁻ и NH₃-карбоксилат-

ной группы. На основании химических, потенциометрических, ИК-спектроскопических анализов, элементарное звено водорастворимого полиэлектролита ПАУ можно представить в виде

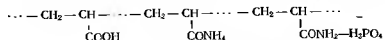


Полимеризацией акриловой кислоты в массе в присутствии двузамещенного фосфорникислого аммония получены также порошкообразные ВРП, условно названные ПАФ. Условия получения водорастворимого полиэлектролита ПАФ идентичны условиям получения ПАУ, описанным выше. В этом случае инициатором выбрана перекись водорода в количестве $0,06$ моль/л и температура 80° . Установлено, что с ростом температуры выход полиэлектролита увеличивается. Выход водорастворимых полиэлектролитов серии ПАФ с ростом содержания акриловой кислоты увеличивается и достигает максимального значения при молярном соотношении акриловой кислоты и двузамещенного фосфорникислого аммония как 2:1. При дальнейшем росте содержания акриловой кислоты выход снижается, так как реакция принимает все более выраженный экзотермический характер и усиливается процесс деструкции цепи при высоких концентрациях мономера. Процесс полимеризации идет с одновременным амидированием —COOH-групп двузамещенным фосфорникислым аммонием и образованием —COONH₄⁺—CONH₂-групп за счет взаимодействия NH₄⁺ с карбоксильными группами, а остающаяся H₃PO₄ образует водородную связь с амидной группой.

Присутствие фосфоросодержащей группы в составе полиэлектролита ПАФ установлено элементным химическим, ИК-спектроскопическим анализами, а функциональный состав рассчитан по выведенным нами уравнениям на основе данных потенциометрического титрования. ИК-спектроскопические исследования указывают на наличие полос поглощения 3345 — 3220 cm^{-1} , характерных для амидных групп, 2950 cm^{-1} — валентных колебаний — СН-групп, 1720 , 1620 , 1460 cm^{-1} — валентных и деформационных колебаний — CO в — COOH-группах, 1670 , 1620 — валентных колебаний — CO в амидах, 1560 — колебаний — COO⁻ и —NH₃⁺-карбоксилатной группы и

980 cm^{-1} относится к колебаниям связи $\text{P}-\text{N}$ в группе $-\text{CONH}_2\text{--H}_3\text{PO}_4$.

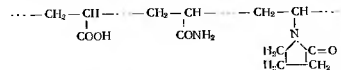
Формула элементарного звена этого полиэлектролита



Полиэлектролит на основе реакции сополимеризации акриловой кислоты и винилпирролидона в присутствии мочевины. Продукты сополимеризации, проведенной при $70-75^\circ$, набухают, но не растворяются в воде.

С целью амидирования карбоксильных групп и получения водорастворимых полиэлектролитов сополимеризация винилпирролидона (ВП) и акриловой кислоты (АК) проведена в присутствии мочевины (M). Водорастворимые полиэлектролиты на основе винилпирролидона, акриловой кислоты и мочевины (условно названные СВАМ) получены при различной концентрации воды и соотношении компонентов реакции. Максимальный выход наблюдается при концентрации воды $30-40\%$ и мольном соотношении мономеров ВП:АК:М=1:1:1. Сополимер СВАМ желтого цвета, растворяется в воде. Полиэлектролиты очищались от не вступивших в реакцию сополимеризации мономеров путем селективного подбора осадителя.

ИК-спектроскопическим исследованием установлены полосы поглощения, характерные для $3450, 3200\text{ cm}^{-1}$ — полосы поглощения, характерные для $3450, 3200\text{ cm}^{-1}$ — полосы поглощения, характерные для $2950, 2050\text{ cm}^{-1}$ — колебания CH -групп, $1725, 1460$ — валентные и деформационные колебания $-\text{C=O}$ в ионизированных $-\text{COOH}$ -группах, 1660 — колебания $-\text{CO}$ в кольце, связанном с азотом, 1660 — колебания $-\text{CO}$ в кольце, связанном с азотом, характеристики для лактамного кольца. Строение элементарного звена водорастворимого полиэлектролита СВАМ можно представить в виде



Получению водорастворимого полиэлектролита из очищенной акриловой кислоты и метасиликата натрия посвящена работа [291]. Опыты проводились при различных

соотношениях реагирующих компонентов и количестве инициатора, варьировалась температура и время реакции. Выяснено, что реакция полимеризации акриловой кислоты в присутствии метасиликата натрия и инициатора — перекиси водорода — протекает как в кислой, так и щелочной средах, и получаемые продукты реакции отличаются физико-химическими свойствами. Это позволило проводить реакцию полимеризации акриловой кислоты целенаправленно, получая полиэлектролиты, обладающие определенными химическими свойствами. Навеска метасиликата натрия (C) и количество акриловой кислоты (АК) взяты в весовых соотношениях $C:\text{AK}=8:1, 4:1, 2:1$. Опыты, проведенные без введения инициатора, показали, что до 100° и более полимеризация акриловой кислоты при метасиликате натрия не идет.

Поэтому ввели инициатор — перекись водорода. Одну серию опытов провели при различных концентрациях инициатора, а другую — с 1%-ной перекисью водорода (от веса АК). Температура внутри реакционной колбы во всех случаях поддерживалась в пределах $78-80^\circ$. Смесь исходных реагентов нагревали в иззамкнутой системе в течение 25–30 мин. Во всех вариантах опытов через 20 мин образовался густой гомогенный расплав с исчезновением запаха акриловой кислоты, а затем через 5–10 мин мгновенно вскипевшая расплавленная масса, при этом температура внутри реакционной колбы самопроизвольно поднималась до 120° .

При весовых соотношениях $C:\text{AK}=4:1, 2:1$ получена вспученная рыхлая масса белого цвета, легко истирающаяся в порошок, а при $8:1$ — клейкая тягучая масса. Полученные полиэлектролиты хорошо растворяются в воде. В случае проведения реакции полимеризации с возвратом выделяющейся воды в реакционную среду смесь акриловой кислоты и метасиликата натрия при весовых соотношениях $C:\text{AK}=8:1, 4:1, 2:1$ в присутствии 1% H_2O_2 (к весу АК) нагревалась в течение 120 мин. Изучена кинетика реакции в интервалах 30, 60 и 120 мин по изменению удельной вязкости водных растворов продуктов реакции. Результаты экспериментов показали, что реакция получения полиэлектролитов в основном заканчивается через 30 мин. Дальнейшее продолжение процесса полимеризации (до 120 мин) незначительно повышает вязкость водных растворов полиэлектролитов. Во всех опытах, проведенных в замкнутом цикле, получены вязкие, клей-

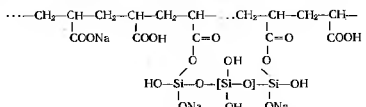
кие, прозрачные массы, хорошо растворимые в воде. Полученные полизэлектролиты условно названы препаратами серии «АКС-1». Выход препаратов по акриловой кислоте составляет 95–98% (табл. 25).

Таблица 25

Содержание основных компонентов в полизэлектролитах, %

Метасиликат натрия	Акриловая кислота	H_2O_2	Выход продукта	Потери в виде воды	SiO ₂		В полизэлектролите	C	H
					в исходной смеси	в полизэлектролите, синтезированного способом К-74			
66,7	33,0	0,30	83,8	16,0	14,0	13,7	—	0,6	12,04
79,8	20,0	0,20	85,4	14,0	16,9	16,8	8,2	1,70	11,8
88,9	11,0	0,10	95,1	6,0	18,77	18,7	6,1	13,32	0,22
								11,7	5,68

Предположительно элементарное звено полизэлектролита можно представить следующим образом:



Появление в полизэлектролите $(-\text{Si}-\text{O}-)$ -групп

$$\begin{array}{c} | \\ \text{OH} \\ | \\ \text{O} \end{array}$$

указывает на то, что этот полимер наряду со склеивающей способностью должен обладать и эффектом силиканизации при наличии солей, всегда имеющихся в песках.

Катионными полизэлектролитами являются четвертичные аммониевые соли на основе полистирола и поливинилтолуола [278]. Политетрафенил-N-бензилдиметиламмонийхлорид $[-\text{CH}_2-\text{CH}_2-\text{C}_6\text{H}_4-\text{CH}_2-\text{N}(\text{C}_6\text{Cl}_4)_2]$,

или ВА-2 с молекулярной массой $5 \cdot 10^4-10^5$. Есть и другие катионные полизэлектролиты—ВА-102, ВА-212—солнечетвертичных пиридиновых оснований на основе полиметилвинилпиридина и др.

Катионные водорастворимые полизэлектролиты получены на основе полистирола и полифениленнитрила хлорметилированием полимеров с последующим аминированием КВРП [292]. Хлорметилирование полимеров проводится в присутствииmonoхлордиметилового эфира, одновременно являющегося хорошим растворителем для использованных полимеров.

Во избежание структурирования исходных полимеров реакцию хлорметилирования осуществляют при большом избытке хлорметилирующего агента и в присутствии катализатора хлористого цинка. Синтезированный хлорметилированный полистирол и полифениленнитрил—белые порошкообразные продукты, растворимые в бензоле, диоксане, диметилформамиде и других органических растворителях. Поливинилбензилхлорид синтезирован блочной полимеризацией винилбензилхлорида, синтезированного хлорметилированием этилбензола, последующим бромированием этилбензилхлорида и дегидробромированием продукта бромирования.

Аминирование хлорметилированного полистирола, полифениленнитрила, поливинилбензилхлорида проведено в растворе диоксана. При синтезе КВРП в качестве аминирующих агентов применены триметиламин, триэтиламин, пиридин. Реакцию аминирования проводили при 40°. При использовании триметиламина процесс аминирования завершается быстрее по сравнению с аминированием триэтиламином. Это объясняется тем, что с увеличением количества и размера алкильных заместителей у азота в алифатических аминах скорость и степень аминирования постепенно поникаются. Реакция взаимодействия между хлорметилированным полимером и алифатическими аминами протекает быстрее и глубже, чем выше основность амина. Однако результаты аминирования хлорметилированного полистирола триметиламином и триэтиламином показывают обратную зависимость. Это объясняется более высокой основностью триэтиламина по сравнению с триметиламином, что значительно понижает скорость реакции и снижает степень замещения хлора.

Последнее обусловлено влиянием пространственного-

эффекта на реакцию нуклеофильного замещения хлорометилированного полимера аминосоединением. Ниже приведены свойства синтезированных водорастворимых полизелектролитов катионного типа на основе полистирола, полифениленэтила и поливинилбензилхлорида (табл. 26).

Таблица 26
Характерные свойства водорастворимых полизелектролитов катионного типа

Полимер	Молекулярный вес исходного полимера, ед. мол.	Содержание в хлорометил-полимере, %	Аминирующий агент	Степень превращения, %	Содержание в аммиаке, %	Емкость ионного обмена, мэкв/г	AgNO ₃ , мэкв/г	NaCl, г/л
Поливинил-бензилхлорид	55000	23,2	Пиридин-триметиламин	97,6	5,4	3,9	0,44	
Полистирол	44000	20,3	Пиридин-триметиламин	95,0	5,9	4,2	0,55	
	19000	20,3	Пиридин-триметиламин	92,4	4,9	3,5	0,58	
	15000	20,1	Триэтиламина	90,1	5,2	3,7	—	
Полифениленэтила	6000	15,5	Триметиламин	78,9	2,1	1,5	—	
			Пиридин	86,7	5,3	3,80	0,03	
			Триэтиламина	89,5	5,6	4,30	0,01	
				61,0	2,46	1,70	—	

Примечание. Продукты аминирования триэтиламином не растворяются в воде.

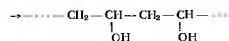
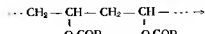
Поскольку молекула этих полизелектролитов в водном растворе заряжается положительно, то можно надеяться на использование их в качестве мелиоранта для дисперсии песка, частицы которого в водной среде из-за поверхностного растворения заряжаются отрицательно. Благодаря взаимному притяжению разноименно заряженных частиц оструктуривание песка осуществляется при незначительных количествах полимера [293]. Сле-

довательно, полизелектролиты этого типа являются хорошими мелиорантами для подвижных песков. Для получения связывающей системы песка использован поликарбамид [294—296] при концентрации раствора 0,25—1,0% и 50—200 г/м³ сухого вещества. Наблюдения велись в течение 3 лет. Прочность такой структуры достигала 800 г/см². При создании структуры в сочетании с фитомелиорацией получены положительные результаты.

Полизелектролиты на основе синтетических полимеров

Получение водорастворимых полимеров из синтетических связанных в основном с химическим изменением функциональных групп макромолекул при сохранении степени полимеризации исходного полимера. Эти реакции, названные Штадлером «полимераналогичными превращениями» [297], проводятся с природными (целлюлоза, крахмал, каучук, полистирол, полиметилметакрилат, поливинилацетат), а также с другими высокомолекулярными соединениями.

Применение реакций полимераналогичных превращений или, как ее часто называют химических превращений полимеров [298] — единственный способ получения полимеров, для которых отсутствуют мономеры. Например, получение поливинилового спирта полимеризацией невозможно, так как мономервиниловый спирт в момент его образования немедленно изомеризуется в ацетальдегид [299]. Поливиниловый спирт получают гидролизом сложных поливиниловых эфиров:



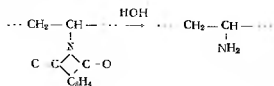
В большинстве случаев исходным веществом для синтеза поливинилового спирта служит поливинилацетат. Высокомолекулярный ПВС возможно получить инициированием триалкилбораном реакцией полимеризации поливинилацетата с последующим метанолизом [300].

Другой пример полимера, получаемого только методом полимераналогичных превращений, — поливинилмер-

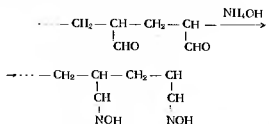
каптан [301], являющийся моделью для изучения окислительно-восстановительных свойств энзимов, содержащих тиольные группы.

Анализ литературных данных показывает, что реакцию химических превращений можно вести с полимерами, имеющими реакционно-активные функциональные группы. К таким можно отнести поликальгиды, поликетоны, поликаролеин, поликарилонитрил, поливинилсульфохлориды, поливинилсульфофториды и др.

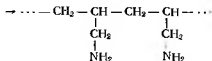
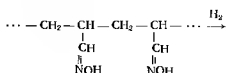
Водорастворимый поливиниламин, представляющий собой твердое аморфное вещество, не может быть получен полимеризацией мономера. Его получают на основе реакции полимераналогичного превращения поливинилфталимида, поливинилкарбонатов, поливинилсукцинидима [302]:



Исходным сырьем для получения поликароленоксина служит полимер поликаролеин [303]

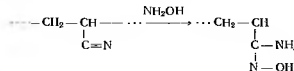


Если гидрировать полученные продукты, образуется полипропиленамин по схеме



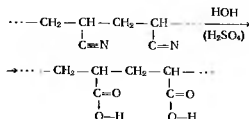
Другим продуктом для получения водорастворимых полимеров может служить поликариламид.

Поликарилонитрил (ПАН) также относится к полимерам, на которых осуществляется реакция полимераналогичных превращений. Ряд исследователей, используя эти реакции, подвергли кислотному и щелочному омылению поликарилонитрила, раствореному в диметилформальдегиде, растворах сульфата или хлорида гидроксиамина. В результате получили аминопроизводные по схеме



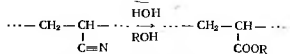
Эта реакция использована для улучшения механических свойств и окрашиваемости поликарилонитрильного волокна [285].

При нагревании поликарилонитрила в растворе серной кислоты (до 50% H_2SO_4) нитрильные группы полимера превращаются в карбоксильные [225, 299]:

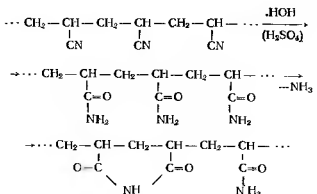


При этом ПАН утрачивает растворимость в диметилсульфамиде и становится растворимым в воде.

Гидролиз поликарилонитрила в растворе 75%-ной серной кислоты при непрерывном введении в раствор спирта сопровождается одновременно этерификацией образовавшихся карбоксильных групп.



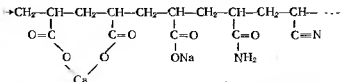
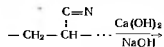
Гидролиз поликарилонитрила под действием концентрированной серной кислоты (80%-ная H_2SO_4) приводят к образованию более сложной структуры: содержание азота в нем уменьшается незначительно. При комнатной температуре образуется сополимер акриламида и циклического имида:



Число имидных звеньев в сополимере вырастает с повышением температуры реакции. При 80–95° образуется сополимер, содержащий большое количество глутаримидных звеньев [299]. Г. И. Кудрявцев и М. А. Жаркова [304], подвергнув щелочной и кислотной обработке волокна нитриона, пришли к выводу, что кислотный гидролиз поликарилонитрила образует амидные и карбоксильные группы.

В последнее время появились работы, касающиеся получения водорастворимых полимерных веществ из поликарилонитрила на основе реакции полимераналогичных превращений. Так, Б. Бренхарт [305] описывает способ получения коагулянтов (водорастворимых полимерных препаратов) путем омыления поликарилонитрила или полиметакрилонитрила примерно 90%-ной серной кислотой при температуре 90°. Автор указывает, что при таких условиях нитрильная группа, находящаяся в цепи макромолекул полимера, полностью переходит в амидную.

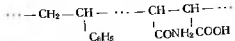
На основе поликарилонитрила в США осуществлен выпуск натриевой соли гидролизованного поликарилонитрила (HPAN-СКД-180), а также гидролизованного поликариламида (Separan) и кальциевой соли сополимера винилацетата и малениновой кислоты (VAMA-CRD-186). Эти препараты объединяются под названием «крилиумов» [225, 306, 307]. Продукты гидролиза поликарилонитрила производятся не только в США, но и в Италии, Англии, ГДР и др. В Советском Союзе за последнее время получены водорастворимые полимерные препараты на основе поликарилонитрила. Так, М. И. Савицкая, Ю. Р. Холодеева и Д. Ю. Беляевская [308] подвергли омылению поликарилонитрил растворами сдкого натра и гидроокиси кальция. В результате ПАН превратился в вязкую, трудно растворимую в воде массу. Ими предложена следующая схема реакции:



Продукты полимераналогичных превращений сополимера стирола с малениновым ангидридом и анвельдинформальдегидными полимерами представляют полизелектролиты [286].

Амидирование сополимера стирола с малениновым ангидридом (стиромала) проведено пропусканием газообразного аммиака через его раствор в безводном ацетоне при комнатной температуре. Установлено, что взаимодействие аммиака с ангидридовыми звеньями макромолекул зависит от концентрации стиромала в растворе. Это вызвано тем, что проникновение аммиака внутрь клубка макромолекул в концентрированных растворах затруднено из-за их плотной упаковки. В разбавленных растворах, где макромолекулы более развернуты, а следовательно ангидридные звенья более доступны, выход амидированного сополимера достигает 92% теоретичес-

кого. Амидированный стиромаль-порошок, хорошо растворяется в воде. Переосажденный продукт подвергался ИК-спектроскопическому анализу, при котором обнаружены амидные группы (3360 см^{-1}), —C=O в —COOH (1790 см^{-1}), и CONH_2 (1720 см^{-1}), а также валентные колебания ароматического кольца (1610 см^{-1}), деформационные колебания $\text{—CH}_2\text{—CH}$ (1500 см^{-1}), валентные колебания —C—N— (1230 см^{-1}). На основании этих данных элементарное звено амидированного стиромаля можно представить в виде

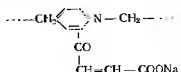


Модификация полимера, полученного поликонденсацией анилина с формальдегидом по общизвестной методике при присутствии кислого катализатора (HCl), осуществлена малеиновым ангидридом в среде хлороформа при 20 , 30 и 40° . Выход анилино-малионат-формальдегидного полимера увеличивается с ростом температуры и составляет 85% от теории. Полученный полимер растворяется в кетонах, спиртах, а его щелочные соли — в воде.

ИК-спектроскопическое исследование указывает на наличие полос 3300 , 1560 см^{-1} — валентные и деформационные колебания амила 3100 , 1720 см^{-1} — CH -группы, 1460 , 1420 см^{-1} — CH_2 , 1900 , 1330 см^{-1} — валентные и антисимметричные колебания —C=O в карбоксилатах,

1270 , 1220 см^{-1} — валентные колебания —C—N— , 760 , 700 см^{-1} — деформационные колебания ароматического ядра, 910 см^{-1} — —C=CH_2 .

Схема элементарного звена полимера:



Сополимер винилпирролидона и акрилонитрила нашел широкое применение при производстве искусственного волокна. Естественно, что при крупномасштабном производстве неизбежны отходы. Соответствующая обработка последних позволяет получить водорастворимый полизэлектролит.

Полимераналогичное превращение сополимера винилпирролидона и акрилонитрила гидроокисью лития, натрия и калия проведено Ф. Артыковым [290] при температуре омыления 95 — 100° в течение 30 — 60 мин.

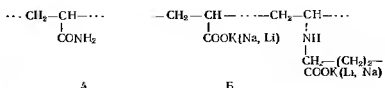
Определены значения степеней омыления по содержанию остаточного азота и установлено, что омыленные образцы со степенью гидролиза 25 — 30% лучше растворяются в воде, образуя вязкие, устойчивые растворы. Показано, что реакция полимераналогичного превращения сополимера винилпирролидона и акрилонитрила протекает с омылением — CN -групп и разрывом лактамных колец. ИК-спектроскопические исследования омыленных образцов сополимера СВАН указывают на присутствие полос поглощения 3400 , 3200 см^{-1} , соответствующих амидным группам, 2950 см^{-1} — валентным колебаниям CH -групп, 1680 см^{-1} — колебаниям —CO в амидах, 1575 — 1580 см^{-1} — валентным колебаниям —CO -ионизированной карбоксильной группы, возможно карбоксилатного иона и 1500 см^{-1} — деформационным колебаниям H -групп. Интересен факт присутствия в ИК-спектрах омыленного сополимера СВАН полосы 1500 , 1575 — 1580 см^{-1} ; поглощение в этой области ни у поливинилпирролидона, ни у сополимера не наблюдалось. Такая полоса поглощения обусловлена колебаниями C_2^2 -ионизированной карбоксильной группы, образующимися в результате разрыва лактамных колец при омылении. Элементарным анализом и потенциометрическим титрованием удалось подтвердить наличие карбоксилатных групп и определить функциональный состав звеньев полизэлектролитов. На основании этих исследований, а также элементных данных элементарное звено полизэлектролита пишется как показано в табл. 27.

Полакрилонитрил служит основным источником получения водорастворимых полизэлектролитов 13091. При проведении реакции полимераналогичных превращений получены полизэлектролиты серии К. В случае использования в качестве омыляющего агента NaOH по-

Таблица 27

Функциональный состав зерен полизелектролитов

Содержание, %			Содержание, вес. %				
N	C	H	K	-COOK	-CO-NH ₂	Звено А	Звено Б
12,3	47,5	6,8	9,3	20,7	19,2	30,9	69,0



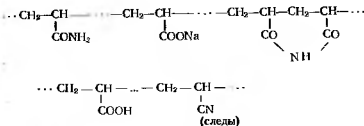
лучают K-4, Na_2SiO_3 — K-6, Na_2S — K-7; K_3PO_4 — K-7 и т. д. [310].

Таким образом, полизелектролит К-4 является продуктом неполного омыления ПАНа NaOH при соотношении реагентов 1:0,4 при 90—95° в течение 2 ч. Препарат выпускается на опытно-промышленной установке в виде 10%-ной густой пасты [311, 312].

При взаимодействии ПАНа с раствором моносиликата (соотношение реагентов 1:5) в тех же условиях получают препарат К-6 в виде 16%-ной густой массы, легко осаждаемой спиртами из водного раствора. Оба препарата хорошо растворяются в воде. По элементарному составу К-4 и К-6 существенно различаются содержанием азота и углерода.

Состав К-6 [313], высущенного при 100—150° и пересаженного, отличается от исходного только содержанием утлерода, что, возможно, связано с адсорбцией метанола препаратором во время его пересаждения. В основном оба образца К-6 почти не отличаются по своему элементарному составу.

Подробные исследования этих полимеров, в частности К-4, ИК-спектроскопическими [314] и другими методами, позволили отнести К-4 к амфотерным полизэлектролитам, в цепи макромолекул которых содержатся функциональные группы:



Сырьем для получения полизелектролитов серии К служат не только промышленный полиакрилонитрил, но и отходы нитронных волокон, кубовый остаток производства ПАН-волокна и др. На базе их получены полизелектролиты К-9 и серия КО [315, 316].

Для получения водорасторвимого полимера К-9 из отходов волокна нитрона в лабораторных условиях в трехгорлу круглодонную колбу с обратным холодильником помещают 100 г таких отходов, предварительно размельченных до 10—50 мм длины и омыляют 4%-ным раствором едкого натрия при 95—98° в течение 2,5—3,0 ч. Полученный продукт, условно названный препаратом К-9, представляет 10%-ную однородную пасту желтоватого цвета и является водорасторвимым полимераналогом; он обладает также свойствами полизелектродиолов.

Полимер К-9 хорошо растворяется в воде, это объясняется наличием в нем метоксильных, карбоксильных, амидных, имидных и пиритильных групп.

Физико-химические свойства водных растворов полимера показали, что повышение концентрации дисперсной фазы приводит к увеличению удельной электропроводности, связанной с наличием структурных связей между цепями полимера. Содержание азота с увеличением времени обработки уменьшается (табл. 28).

При изучении кинетики омыления ПАН установлено, что уже через 90 мин омыление проходит на 50,4%, однако препарат еще не полностью переходит в водорастворимое состояние, частицы полимера ОНВ набухают, вероятно, за счет адсорбции щелочи на поверхности и частичной внутренней циклизации в макромолекуле волокна (см. табл. 28).

При дальнейшем омылении (через 150, 180 мин) получается легкоподвижная густая масса кремового цвета.

Таблица 28

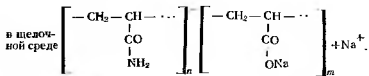
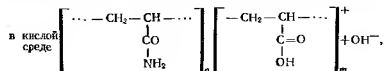
Содержание азота (определенного по Кильдаузу),
время и степень омыления полимера К-9

Время омыления, г	Содержание азота, %	Степень омыления, %	Цвет
0,00	24,2	0,00	
0,50	20,5	15,30	
1,00	15,2	37,20	Слабо-розовый в нерастворенном виде
1,50	12,0	50,40	Слабо-оранжевый в слаборастворенном виде
2,00	11,3	55,30	Темно-оранжевый в полурастворенном виде
2,50	10,1	59,00	Красно-оранжевый в растворенном виде
3,00	8,24	66,00	Оранжево-кремовый в растворенном виде
4,00	7,30	70,00	Желтоватый в растворенном виде
6,00	7,10	70,70	Бледно-желтоватый в растворенном виде
8,00	6,60	72,70	
10,00	6,20	74,40	
12,00	5,80	76,00	
24,00	4,2	32,00	
48,00	3,1	97,20	

та, хорошо растворимая в воде. Функциональные группы К-9 те же, что и у полимера К-4.

В настоящее время в промышленном масштабе освоен процесс гидролиза технического поликариламида. Гидролиз осуществляется при 50–80°. Соотношение ПАА и щелочи в растворе поддерживают равным 2,5–3,1. Содержание карбоксильных групп в гидролизованном поликариламиде (ГПАА) составляет 20–40% [226].

Являясь амфотерным полизелектролитом, ГПАА может диссоциировать в зависимости от pH-среды по основному и кислотному механизмам:



При значениях pH, соответствующих изоэлектрическому состоянию макромолекулы ГПАА, оставаясь в целом электронейтральными, сворачиваются в клубок. В кислой и щелочной среде макромолекулы вытягиваются в цепочку.

В практике химической мелиорации песков из выше-приведенных полизелектролитов, полученных на основе синтетических полимеров, широкую известность завоевали полимеры К-4 и К-9, выпуск которых освоен промышленностью. Работы по переводу свободнодисперсной системы песка в связнодисперсную проводятся с 1965 г. при защите от заносов автомобильных и железных дорог, а также при защите от выдувания песка у оснований опор ЛЭП [28, 45, 171, 187, 218, 317].

ГЛАВА III

ИССЛЕДОВАНИЕ МЕХАНИЗМА ХИМИЧЕСКОЙ МЕЛИОРАЦИИ ПЕСКОВ

Научные основы химического закрепления подвижных песков

Химическую мелиорацию подвижных песков, согласно [318], следует отнести к поверхностным способам закрепления. Сущность химической мелиорации подвижных песков состоит в напесении на поверхность песка расплавов или растворов мелиорантов-реагентов, в результате чего возникает многокомпонентная система типа песок—дисперсионная (жидкая) среда—химический мелиорант. Между компонентами этой системы могут действовать различные по природе силы отталкивания, обусловливающие стабилизацию системы, и силы притяжения, определяющие процессы агрегации на близких и далеких расстояниях. Преобладание силы притяжения над силами отталкивания приводят к тому, что песок из свободнодисперсного состояния,

в котором частицы дисперсной фазы не связаны друг с другом и способны независимо перемещаться, переходит в связнодисперсное, где между частицами твердой фазы действуют межмолекулярные силы, образуя своеобразные пространственные каркасы. Такие структуры песка являются носителями специфических механических свойств. Они изучаются разделом науки, возникшим на базе колloidной химии, механики и физики твердого тела и физико-химической механики, основоположником которой является П. А. Ребиндер [5, 6, 319—322].

Физико-химическая механика — наука о влиянии поверхностных явлений на сопротивление деформации и разрушение дисперсных структур, структурных тел и материалов, другими словами, — о вкладе поверхностных сил в эти процессы.

Она возникла в результате изучения поверхностных явлений, включая исследования свойств дисперсных систем и поверхностно-активных веществ, механизма диспергирования твердых тел, также их поверхностных слоев и влияние на эти поверхности адсорбционно-активной среды.

Физико-химическая механика выдвигает две основные задачи: первая — выяснение закономерностей и механизма физико-химических процессов получения твердых тел, структурированных дисперсных систем строительных и конструкционных материалов с заданными механическими свойствами и структурой; вторая — установление зависимости механических свойств твердых тел и структурированных систем, т. е. особенностей протекающих в них процессов деформации и разрушения от совокупности механических факторов, температуры, состава и структуры исследуемого тела и его физико-химического взаимодействия с окружающей средой. В конечном счете физико-химическая механика рассматривает вопросы, связанные с проблемой прочности и синтеза высокопрочных материалов и получения дисперсных структур с заданными свойствами.

Эта новая пограничная область науки охватывает широкий круг вопросов — исследование природы и прочности материалов механизмов деформации дисперсных систем, факторов, влияющих на твердость и другие механические свойства твердых тел, но в своей основе

она относится к физико-химическим наукам. Одна из центральных проблем — изучение и регулирование влияния адсорбционно-активной среды на механические свойства кристаллов аморфных и поликристаллических тел в дисперсных системах.

П. А. Ребиндер предложил и обосновал общепринятое в настоящее время классификацию дисперсных структур, основанную на природе связи частиц, что в свою очередь определяет реологические свойства оструктуренной системы. Согласно этой классификации, структуры делятся на коагуляционные, кристаллизационные и конденсационные. Кристаллизационные структуры образуются за счет химических связей главных валентностей. При этом между частицами возникают кристаллические «мостики». Последние могут состоять из вещества самих частиц, но часто возникают при кристаллизации других компонентов системы, в особенности нерастворимых продуктов реакции в дисперсионной среде, концентрирующихся в зазоре между частицами. Кристаллизационные структуры отличаются высокой прочностью, твердостью и хрупкостью.

Коагуляционные структуры представляют подвижные пространственные сетки, образованные за счет ван-дер-ваальсовских сил и разделенные в местах связи тонкими прослойками жидкой дисперсионной среды. Такой характер связи обуславливает невысокую прочность и одновременно тексотропность этих структур, т. е. при наложении внешней силы структура разрушается, а после снятия силы самопроизвольно восстанавливается под влиянием теплового движения.

Конденсационные структуры сходны с кристаллизационными, но отличаются природой связи частиц. Роль «мостиков» играют искристаллические продукты химических реакций, например, продукты поликонденсации. Соответственно конденсационные структуры более эластичны, чем кристаллизационные.

П. А. Ребиндер [6] отмечает, что этими типами структур исчерпываются все пространственные структуры грунтов, влягающих материалов в строительных растворах и бетонах, включая грунтовые и битумные материалы, в полимерах, керамике, стекло- и металло-керамике, металлах и сплавах. Таким образом, структура, возникающая при закреплении, а, следовательно, и химической мелиорации подвижных песков,

целиком охватывается этой классификацией структур.

Итак, научной основой получения из свободнодисперсной системы песка связнодисперсией является физико-химическая механика, а, следовательно, межмолекулярные взаимодействия между поверхностями частиц песка и структурно-кинетическими единицами (ионы, молекулы, их ассоциаты, надмолекулярные структуры) растворов (или расплавов) мелиорантов, вследствие чего в зависимости от вида мелиоранта образуются различающиеся по природе и прочности структуры.

Из предыдущего раздела ясно, что в дисперсиях мелиорантов подвижных песков относятся истинные растворы солей, кислот, оснований, поверхностно-активных веществ, полиэлектролитов, коллоидные растворы полимеров, поверхностно-активных веществ выше концентрации мицеллообразования, водные суспензии глини без и со стабилизаторами, водная эмульсия латекса, растворы битума в нефти и маслах, расплавы битума, мазута, цементные растворы и многие другие. Нанесением дисперсии мелиорантов на поверхность подвижных песков создается дисперсная система песок—дисперсионная среда—мелиорант. В ней между частицами дисперской фазы через прослойку дисперсионной среды, содержащей мелиорант, протекают процессы структурообразования; механическая прочность этой структуры возрастает с удалением (испарением) дисперсионной среды. Уплотнение благоприятствует увеличению прочности структур. Природа этой структуры зависит от вида химического мелиоранта. По этому поводу П. А. Ребиндер отмечает, что цементные растворы, бетоны на основе разнообразных вяжущих материалов дают типичные кристаллизационные структуры. Глинистые суспензии, сырье керамические массы способствуют образованию коагуляционной структуры, переходящей в конденсационную при подсушивании и уплотнении. Если происходит выкристаллизование новообразований (солей), то образующаяся кристаллизационная структура упрочняет коагуляционную (конденсационную) структуру. Битумы и материалы, изготовленные на их основе, при достаточно низкой температуре (ниже температуры плавления) являются конденсационными или конденсационно-кристаллизационными структурами за счет кристаллизации углево-

дорода, а при повышенных температурах — коагуляционными структурами, текучесть которых при достаточно высокой температуре переходит в ньютоновскую вязкость высоковязких жидкостей. Типично конденсационными являются структуры, образующиеся в водных студнях кремнекислоты, в полимерах. Конденсационными структурами являются и структуры отверженных смол. Связи в таких пространственных конденсационных структурах химические [6].

Естественно, при поверхностном закреплении подвижных песков с применением того или иного мелиоранта возникает одна из этих структур. Прочность контакта между зернами песка в связнодисперсной системе, а, следовательно, прочность поверхности песчаной корки определяются природой поверхности частиц твердой фазы, видом и степенью оструктуренности дисперсии мелиоранта. Кинетика образования структуры связана со скоростью процессов взаимодействия мелиорантов с субстратами, в частности адсорбией, адгезией и т. д. Отсюда следует, что эффективность проводимого мероприятия по мелиорации подвижных песков во многом зависит от размера и формы частиц мелиорантов в их дисперсиях, возможных изменений форм и размеров этих частиц, концентрации раствора, содержания присутствующих посторонних веществ, ионной силы раствора и т. д.

Современные теории неводных и водных растворов, растворов полимеров и поверхностно-активных веществ позволяют предопределить необходимые при мелиорации подвижных песков свойства растворов (дисперсии) мелиорантов. Так, для растворов электролитов — это возможность растворения поверхности песка в них, образование нерастворимых поверхностных соединений, обладающих свойством выкристаллизовываться и тем самым способствующих образованию кристаллизационных структур. В случае нефти или битума, надо полагать, эффект мелиорации максимален при адгезионном взаимодействии всей поверхности зерен песка с мелиорантом и когезионном взаимодействии между молекулами мелиоранта, находящегося в порах песка. Концентрация дисперсий мелиоранта или его текучесть должны обеспечить адгезионные и когезионные процессы и предохранить от растекания мелиоранта в глубь песка. Выкристаллизование твердых углеводородов —

парафинов, церезинов — способствует образованию конденсационно-кристаллизационных структур.

В случае полизелектролитов и поверхностно-активных веществ мелиорация успешно протекает при условии, когда вероятность столкновения молекул растворенных веществ в растворе доведена до минимума. Растекание дисперсий этих мелиорантов в песок уменьшается добавлением в них коллоидной глины. При этом происходит взаимодействие между частицами глины и мелиоранта, между мелиорантом и песком и т. д. В системе песок — глина — мелиорант возникают коагуляционные структуры, прочность которых возрастает с удалением (испарением) дисперсионной среды.

Наличие углеводородных радикалов в молекулах поверхностно-активных веществ, полизелектролитов ограничивает их растворимость в воде вследствие межмолекулярных взаимодействий между углеводородными радикалами в растворах поверхностно-активных веществ или между функциональными группами в дисперсиях полизелектролитов. Это усиливает возникновение мицелл в растворах поверхностно-активных веществ и глобуляцию макромолекул полизелектролитов. Нами установлено, что прочность связи между частицами твердой фазы в образовавшихся коагуляционных структурах меняется, если надмолекулярная структура полизелектролита нефибрillярная [16, 20, 214, 225].

Поверхностно-активные вещества и полизелектролиты в сочетании с солью, цементом можно применять в качестве закрепителя подвижных песков [323]. По-видимому, органические вещества являются добавками к минеральным вяжущим и играют существенную роль при модификации поверхности твердой фазы, реагируя прочность возникшей при этом структуры.

Изучение процессов, протекающих в дисперсиях химических мелиорантов, важно при определении рационального расхода и условий осуществления мероприятий, связанных с закреплением подвижных песков. В связи с этим необходимо исследовать физико-химические свойства химических мелиорантов, определить зависимости свойств от концентрации, температуры, содержания посторонних веществ и т. д. Так, для растворов полизелектролитов целесообразно определить

значение концентраций растворов, в которых протекают процессы, связанные с образованием ассоциатов макромолекул (образование фибрилл), ассоциированием фибрилл, образованием агрегатов из этих ассоциатов, возникновением объемной структуры.

Свойства растворов, суспензий и других дисперсий химических мелиорантов, а также процессов, протекающих в них и в дисперсных песках, изучаются самыми разнообразными методами исследований. Интерес представляют те из них, с помощью которых определяют макросвойства систем, являющихся чувствительными к изменениям, происходящим на молекулярном уровне. К ним относят методы электропроводности и вязкости [324].

Структурно-механические константы, необходимые для количественной оценки структурированных систем, нахождения оптимальных вариантов материалов различного состава определяются главным образом на приборах Вейлера-Ребиндера (для разбавленных суспензий) и Толстого (для концентрированных дисперсий). Результаты, полученные на этих приборах, а также данные по адсорбции, адгезии и др. позволяют исследовать процессы структурообразования в дисперсных системах.

Накопленный опыт по методам закрепления подвижных песков позволяет подразделить их на «жесткие» и «мягкие». К «жестким» методам относятся способы, сочетающие закрепление с уплотнением или другими методами, вследствие чего поверхность песка приобретает определенную прочность. Такие способы закрепления, по определению С. С. Морозова [318], должны базироваться на всестороннем и глубоком изучении поверхностных, химических и физико-химических явлений, возникающих и протекающих на границе раздела частиц грунта (песка) и мелиорантов. При «мягком» закреплении подвижных песков меры по химической мелиорации должны сопровождаться агромелиоративными приемами, как при закреплении подвижных песков водорасторвимыми полизелектролитами [28, 45, 187]. Отметим, что при таком способе закрепления поверхность песчаная корка, обладая достаточной устойчивостью против ветровой эрозии, имеет пористость, благоприятствующую появлению молодых побегов пуль

Таблица 29

Зависимость времени истечения (с) через капилляр вискозиметра 200 мл в смеси масло—битум от температуры

ТК	Соотношение масло—битум			
	масло	100:1	100:5	100:10
273	280	289	565	684
283	205	222	373	518
293	140	162	233	240
303	95	103	138	200
313	88	98	105	120
323	82	90	100	115
333	70	72	74	85
343	64	69	71	78
353	60	64	66	73
363	52	62	63	65
373	52	60	60	62

С ростом температуры в системе масло—битум протекает несколько процессов: ослабляются молекулярные силы взаимодействия между молекулами компонентов смеси, повышается интенсивность броуновского движения, увеличивается скорость проникновения молекул растворителя в межмолекулярное пространство битума. При повышении температуры до 40° вязкость смеси масло—битум в соотношении 100:10 уменьшается в 5—7 раз, а у смеси 100:1 — всего в 3 раза.

Зависимость логарифма вязкости изученных систем от обратных величин температуры по шкале Кельвина выражается прямыми линиями. Угол наклона их до температуры 40° более, чем такой выше этой температуры (рис. 10). По-видимому, 40° следует считать критической температурой, выше которой скорость изменения вязкости протекает медленнее, чем при температуре ниже 40°. Переход от быстрого изменения вязкости с температурой к медленной с ростом содержания битума в отработанном масле смещается в сторону повышения температуры (пунктирная линия на рис. 10).

Энергию активации вязкого течения (ΔE) определяли по формуле $\eta = A(t) \cdot e^{\Delta E / RT}$. Расчеты показали, что искомая величина до 40° равна 11,03; 13,23; 15,10 и 16,17 дж/г·моль для масла и масла, содержащего битум, — в 1,5 и 10 вес. частях соответственно. Энергия

стальных растений и их дальнейшему развитию, а это усиливает почвообразовательные процессы [325].

В литературе имеется ряд работ, объясняющих механизм химической мелиорации песков и грунтов с помощью силикатов, цементов, битума [46, 67, 141, 149, 151, 266, 267, 326, 327]. При дальнейшем изложении в центре внимания будут способы закрепления подвижных песков полиэлектролитами, их взаимодействие с песком, вопросы образования структур как в их растворах, так и в системах песок—полиэлектролит, песок—глина—полиэлектролит.

Структурообразование в дисперсиях некоторых химических мелиорантов

Влияние содержания битума и температуры на вязкость отработанного трансформаторного масла

При эксплуатации трансформаторных масел, как известно [168, 169], они окисляются, увеличивается содержание воды в них, повышается зольность. В процессе старения увеличиваются карбоксильные и другие кислородсодержащие группы в молекуле углеводорода; это вызвано повышением кислотного числа масла. Поэтому есть основание полагать, что между молекулами окисленного масла и поверхностью зерен песка протекает донорно-акцепторное взаимодействие, это свидетельствует об усилении склеивающей способности масла по сравнению с энергетическими маслами, между молекулами которых и частицами песка только дисперсионное взаимодействие.

С ростом температуры вязкость отработанного масла меняется: до 40° она снижается сильнее, а при дальнейшем повышении — незначительно. Вязкость при 100° в 4,5 раза меньше, чем при 0° [169].

Масло является растворителем для битума. Сравнительно небольшие молекулы отработанных масел, распределяясь между более крупными, связанными между собой силами межмолекулярных взаимодействий молекулами битума, способствуют свободному перемещению молекул битума относительно друг друга. Все это приводит к разрушению конденсационной структуры битума: битум из хрупкого состояния переходит в вязкое, а затем в текучее и, наконец, растворяется (табл. 29).

Таблица 30

Сорбция битума различными материалами
(время взаимодействия 15 суток)

Наименование материала	Содержание битума в % от веса сухого вещества при обработке					
	10%-ным р-ром		25%-ным р-ром		40%-ным р-ром	
	сорбц.	в т. ч. адсорбц.	сорбц.	в т. ч. адсорбц.	сорбц.	в т. ч. адсорбц.
Песок	—	—	—	—	7,9	1,7
Супесь	4,9	1,9	6,5	1,6	—	—
Глина	5,0	4,7	11,3	6,0	9,5	4,7
Известь	—	—	—	—	14,0	11,7
Портланд-Цемент	75	2,2	11,7	5,8	17,6	15,6

Приложение. Сорбционный битум определялся по разности потери при прокаливании обработанного битума и исходного материала. Адсорбционный битум — это разность потери при прокаливании битумизированного материала после обработки органическим растворителем и исходного материала.

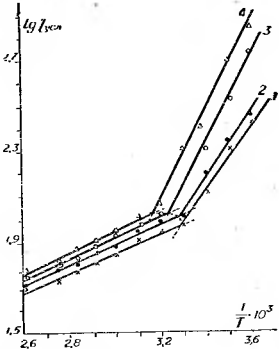


Рис. 10 Зависимость $\lg \eta_{visc} - 1/T$ от рабочего масла (1) и 100:1 (2), 100:5 (3), 100:10 (4)-ной смеси масло-битум.

активации этих жидкостей выше 40° составляет 3,21; 3,62; 3,74 и 3,84 дж/г·моль. Следовательно, работы по мелиорации подвижных песков с использованием отработанной смеси масло-битум — следует проводить при условиях, когда температура воздуха не превышает 40—45° (см. рис. 10).

При перемешивании смеси масло-битум в порах песка происходит взаимодействие не только между молекулами масла и поверхностью песка, но и между битумом и песком [327] (табл. 30).

Видно, что битум сорбируется не только глиной или глинистой фракцией грунтов, но и песком. С течением

126

времени разные виды сорбированного битума претерпевают изменения: адгезионный битум частично переходит в адгезионно-адсорбционный, а последний — в адсорбционный. В результате количество адсорбированного битума увеличивается, адгезионный битум соответственно уменьшается. В связи с этим возрастает степень эффективности мелиорации подвижных песков. Адсорбционно-адгезионный битум благоприятно воздействует на образование кристаллизационно-конденсационного типа структуры, прочность которой, как учит физико-химическая механика, гораздо больше, чем прочность конденсационной и коагуляционной структур. Этим и объясняется, по-видимому, получение эластично-песчаной корки [67, 141] с использованием битума или жижи, содержащей битум.

Структурообразование в водных растворах полиэлектролитов

К полиэлектролитам относятся такие полимеры, в молекулах которых имеются группы, обладающие кислот-

ными или основными свойствами: — COONH₃; — SO₃OH; — PO(OH)₂; — CONH₂; — NH₂; — OH и т. д. В зависимости от характера этих групп полизелектролиты представляют сильные или слабые кислоты и основания или их соли. Растворение полизелектролитов в воде, как растворение высокомолекулярных веществ в хорошем растворителе, протекает медленно. Вначале полимеры набухают, а затем в результате взаимной диффузии молекул воды и макромолекул полимера образуется однородный раствор. По современным представлениям [328, 333], водные растворы высокомолекулярных водорастворимых полимеров являются термодинамически устойчивыми системами [16, 214, 225, 334].

Макромолекулы полизелектролитов могут диссоциировать в той или иной степени на ионы. При этом образуются высокомолекулярные и простые низковалентные ионы. По знаку заряда высокомолекулярных ионов различают анионные, катионные полизелектролиты, макроионы которых заряжены соответственно отрицательно и положительно. Некоторые полизелектролиты имеют в макромолекуле чередующиеся кислые и основные группы (их называют полиямфолитами — амфотерными полизелектролитами). Полиямфолиты могут заряжаться в зависимости от pH положительно и отрицательно, а в некоторой области pH несут примерно равное количество зарядов обоих знаков.

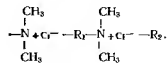
Макромолекулы полизелектролитов, как и молекулы всех высокомолекулярных веществ, обладают достаточной гибкостью и, находясь в воде, принимают различную форму в зависимости от химической структуры полимера, его молекулярной массы, наличия в цепочке тех или иных полярных групп, содержания в воде низковалентных катионов и анионов, а также от расстояния между отдельными макромолекулами и их взаимной ориентацией. Вследствие движения и вращения отдельных звеньев форма и размер макромолекул (конформация) непрерывно изменяются, поэтому говорят только об их наиболее вероятной статистической характеристике.

В растворах водорастворимых полизелектролитов около заряженных макроионов, вне макромолекул и внутри их концентрируются ионы противоположного знака. Таким образом, в водных растворах полизелектро-

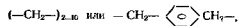
лита имеются ионы, макроионы, расположенные в углеводородной цепи макромолекул.

Сильно разбавленный раствор полизелектролитов с гибкими цепями состоит из небольших участков, в которых полиона с высокой плотностью зарядов создают высокие локальные электростатические потенциалы, где притяжение противоположных велико, а их концентрация в смежных участках низка. Отсюда вывод, что фиксированные заряды, несомые цепью полиона, размыты до сферически симметричных зарядов. Однако длина цепи возрастает быстрее, чем объем, занимаемый клубком полиона, поэтому плотность фиксированных зарядов должна увеличиваться вдоль цепи, а последняя выпрямляется из-за электростатического отталкивания одноименно заряженных ионов, хотя заряды их нейтрализованы противоположными. В последнем случае стремление к выпрямлению цепи макромолекул полизелектролита обусловлено увеличением объема, занимаемого ионами. Таким образом, область, занятая полионом, представляет не сферический объем, окружающий свернутый в клубок полион [330], а внутреннюю область, охватывающую молекулы [335].

В том случае, когда электростатические заряды находятся в главной цепи макромолекул полизелектролита, как, например, у полизелектролита 1-анилино-8-нафтилсульфонат натрия — ANS, элементарное звено которого



где R₁ и R₂ могут быть



то в водном растворе углеводородные радикалы стремятся друг к другу и свертываются в клубки, размер которых меняется в зависимости от длины радикала [336]. Надо полагать, что между контактирующимися радикалами будут находиться «клスター» воды, возникающие в результате гидрофобных взаимодействий углеводородов с молекулами воды [127, 130]. Другими

словами, полиэлектролиты, у которых есть гидрофобные и гидрофильные участки, проявляют не только гидрофильную (ионную) атмосферу, но и гидрофобное окружение.

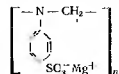
Введение обычных солей оказывает сравнительно малое влияние на атмосферу из противоионов в непосредственной близости от сильно заряженной полимерной цепи [127, 330, 332], концентрация противоионов увеличивается также с повышением содержания полиэлектролита в единице объема раствора. Это приводит к росту ионной силы раствора, в результате заряды вдоль цепи макромолекул экранируются противоионами. Все это снижает вязкость растворов полиэлектролитов с ростом концентрации [337] (разумеется до определенного предела роста концентрации) полиэлектролитов, имеющих сильно основные или кислотные свойства.

При рассмотрении свойств растворов наряду с электростатическими взаимодействиями необходимо принимать во внимание не только особенности структуры и строение воды, макромолекул полиэлектролита, а также взаимодействий между ними, которые описываются термодинамикой малых систем [338].

Раствор макромолекул полиэлектролитов можно рассматривать как ансамбль малых систем, каждой макромолекуле — как малую систему. Системы могут находиться в различных состояниях, между которыми совершаются переходы. Переходы можно рассматривать как внутримолекулярное плавление (или плавление малой системы). Наиболее известны переходы типа спираль-клубок для биополимеров [127] или фибрill-глобул в растворах полиэлектролитов [331, 332]. Одной из характерных черт фазовых переходов в малых системах является плавность переходов, отсутствие резкого скачка в термодинамических функциях. Если малые системы погружены в растворитель, то условия фазового перехода определяются не только температурой и давлением, как и все термодинамические функции, но и зависят существенно от состава и структуры растворителя, то есть от характера окружения. Если, в свою очередь, свойства растворителя зависят от состояния макромолекул, то могут возникнуть весьма большие флуктуации конформации макромолекул. Особенно легко такие ситуации должны возникать в водных растворах, так как растворенное

вещество влияет на структуру воды, причем это влияние захватывает большие объемы.

Поскольку функциональные группы полиэлектролитов строго через определенное число углеродных атомов чередуются, то образованная структура вокруг функциональных групп создает определенную рыхлость («частокол»), затормаживающую движение молекул в объеме раствора. Гидрофобные взаимодействия в радикалах от одной ионогенной группировки к другой способствуют оструктуриванию воды, создавая тем самым виды макромолекулы единую оструктуренную водную оболочку, которая при перемещении в объеме не испытывает большого сопротивления со стороны растворителя. Текущесть таких систем может стать даже меньше, чем текучесть самого растворителя. Так, относительная текучесть водного раствора полиэлектролита, элементарное звено которого состоит из



больше, чем текучесть растворителя до концентрации 0,50 мг/100 гр; при этом значение удельной электропроводности тем больше, чем больше концентрация раствора [339] до значений $C = 5 \times 10^{-2}$ г/100. Происходят два процесса: разрушение под влиянием макромолекул надмолекулярной структуры воды, интенсивно протекающее с ростом солероджания полиэлектролита в единице объема раствора; гидратация структурно-кинетических единиц раствора вследствие взаимодействия их с несвязанными между собой водородной связью молекулами воды.

С повышением в воде доли полиэлектролита увеличивается число гидратированных по функциональным группам и углеводородным частям макромолекул полимера, взаимодействие между которыми осуществляется через молекулы воды [340]. Образование ассоциатов типа полиэлектролит — вода — полиэлектролит для растворов щелочных солей карбоксил-содержащих полиэлектролитов начинается с концентрации для К-6 — $1,0 \cdot 10^{-3}$; Сунак-2 — $2,0 \cdot 10^{-2}$; ВРП-1 — Li, ВРП-1 —

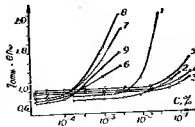


Рис. 11. Зависимости η_0 от C для растворов полизелектролитов K-6(1), сунак-2(2), ВРП-1-Li(3), ВРП-1-Na(4), ВРП-1-K(5), САВ-Li(6), САВ-Na(7), САВ-K(8) и САВ-АБ(9).

Na, ВРП-1 — K $4.25 \cdot 10^{-2}$; $4.0 \cdot 10^{-2}$, $3.75 \cdot 10^{-2}$; САВ-Li, САВ — Na, САВ — K — $8.25 \cdot 10^{-4}$, $8.0 \cdot 10^{-4}$; $7.75 \cdot 10^{-4}$, для САВ — K — $8.25 \cdot 10^{-4}$ г полимера в 100 воды; при этом кривая η_0 — С пересекает линию вязкости растворителя [341] (рис. 11).

Эти эффекты характерны для разбавленных растворов, когда молекулы (или макрононы) полизелектролитов самостоятельны и вероятность их столкновений чрезвычайно мала. С ростом концентрации раствора силы внутримолекулярного взаимодействия уступают силам межмолекулярного взаимодействия; образуются ассоциаты, вторичные надмолекулярные структуры. Эти структуры возникают за счет дополнительных связей (подородных, электростатических сил), полярными группами различных молекуллярных цепочек, а также за счет ван-дер-ваальсовых сил взаимодействия между неполярными группами. Та концентрация, с которой начинается ассоцирование, называется критической концентрацией структурообразования, введенной Штадингером в 1935 г. [297].

Известны два типа надмолекулярных структур для полизелектролитов (обзор в [16, 331]): фибриллы (пачки молекуллярных цепочек), длина которых может превосходить длину отдельных макромолекул, и глобулы, состоящие из нескольких свернутых макромолекул. В растворах полизелектролитов возможно несколько значений

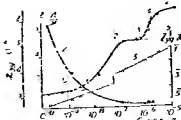


Рис. 12. Зависимость $\chi(1)$, λ/M (2) и $\chi \cdot \eta(3)$ от концентрации растворов полизелектролита K-4.

критических концентраций структурообразования. Так, в [334] установлены четыре таких значения (рис. 12, кривые 1): C_1 — соответствующая началу фибриллообразования; C_2 — ассоцирование фибрилл; агрегирование этих ассоциатов начинается с C_3 , а образование объемной структуры — с C_4 (табл. 31).

Таблица 31

Значение критических концентраций (%) для растворов ряда полизелектролитов

Полизелектролит	C_1	C_2	C_3	C_4	Литера
K-4	$0,7 \cdot 10^{-4}$	$9,2 \cdot 10^{-2}$	$5,2 \cdot 10^{-2}$	$1,2 \cdot 10^{-1}$	342
Сополимер акриламида с акрилоной кислотой	$3,0 \cdot 10^{-4}$	—	$1,0 \cdot 10^{-2}$	$4,2 \cdot 10^{-1}$	286
Амидированный стирол	—	$4,0 \cdot 10^{-2}$	$1,0 \cdot 10^{-1}$	$1,0 \cdot 10^0$	286
Анили-малонитон форталдегидный	$5,0 \cdot 10^{-4}$	$3,2 \cdot 10^{-3}$	—	$3,0 \cdot 10^0$	286
Ангидрид фенол-форто-мальдегидный	—	$4,0 \cdot 10^{-2}$	$3,0 \cdot 10^{-1}$	$2,0 \cdot 10^0$	286
K-9	$1,0 \cdot 10^{-3}$	$1,0 \cdot 10^{-2}$	$8,0 \cdot 10^{-2}$	$1,2 \cdot 10^{-1}$	325
K-6	$1,2 \cdot 10^{-3}$	$1,1 \cdot 10^{-2}$	$6,5 \cdot 10^{-2}$	$1,0 \cdot 10^{-1}$	325
Сунак-2	$1,1 \cdot 10^{-3}$	$1,0 \cdot 10^{-2}$	$7,4 \cdot 10^{-2}$	$1,2 \cdot 10^{-1}$	325
ВРП-1	$1,0 \cdot 10^{-2}$	$1,1 \cdot 10^{-2}$	$7,3 \cdot 10^{-2}$	$1,1 \cdot 10^{-1}$	325
САВ-K	$0,2 \cdot 10^{-4}$	$5,0 \cdot 10^{-4}$	—	$7,5 \cdot 10^{-2}$	343
САВ-АБ	$0,2 \cdot 10^{-4}$	$5,0 \cdot 10^{-4}$	—	$7,5 \cdot 10^{-2}$	343

Как видно из табл. 31, уменьшение величины критической концентрации структурообразования более ярко выражено для раствора полизелектролита с ароматическим ядром в главной цепи макромолекул по сравнению с раствором полизелектролита, в макромолекуле которого ароматические ядра находятся в боковой цепи [343]. Замена бокового гидрофильной функциональной группы на углеводородный радикал, естественно, приводит к повышению роли гидрофобных взаимодействий в растворах полизелектролита, что выражается в изменении компактности структуры⁶ макромолекул полизелектролитов в водном растворе. Это показано на примере сополимера стирола и малениновой кислоты, его метилового и монопропилялового эфиров [344]. Увеличение молекуллярной массы привело к увеличению вероятности взаимодействия между углеводородными частями и

функциональными группами макромолекул (макроионов) полиэлектролитов, что благоприятно сказывалось на снижении экспериментально определенных значений концентрации растворов, в которых протекают те или иные процессы, связанные со структурообразованием. Переход от одной формы надмолекулярной структуры к другой является непрерывным [334, 342], о чем свидетельствует отсутствие экстремальных точек на кривой зависимости $\frac{\lambda}{M} - C$ (рис. 12, кривая 2).

Электропроводность растворов полиэлектролитов определяется числом, удельным зарядом и подвижностью макроионов и их ассоциатов, а также противоионов (мицеллярная проводимость [345]) и проводимостью объемной жидкости с имеющимися в ней ионами (интермицеллярная проводимость).

Проводимость электрического тока растворами, содержащими обычный (надмолекулярный) электролит, следует рассматривать как сумму вкладов, вносимых малыми ионами и макроионами. Согласно Г. Фудзиниту и Дж. Германсу [346], которые показали аналогичность электрофоретического поведения полиона поведению свободно передвигающегося клубка, можно допустить, что подвижность малых ионов в растворах полиэлектролитов и в растворе с другой ионной силой одинакова. Однако для этого необходимо, чтобы экранирующая длина полиона была меньше по сравнению с гидродинамической экранирующей длиной. Это условие, по сообщениям Г. Моравица [332], соблюдается даже при средних концентрациях растворов соли.

Переход интермицеллярной проводимости в мицеллярную является резким, так как подвижность переносчиков электрического тока, разбавленных растворов полиэлектролитов резко отличается от подвижности переносчиков электричества концентрированных растворов полиэлектролитов. Этот переход, по [214, 347], определяется на основании предположения о том, что внутренняя вязкость системы полиэлектролит — вода благодаря процессу структурообразования в растворах полимера не будет соответствовать макроскопически экспериментально определяемой вязкости. Была вычислена зависимость произведения удельной электропроводности растворов полиэлектролита на их удельную вязкость от

концентрации растворов полимеров (рис. 12, кривая 3). Установлено, что угловой коэффициент зависимости ($y_3 - x$) — С в области разбавленных растворов отличается от такового в более концентрированных. Значения концентрации этого перехода для раствора К-9 составляют $1,0 \cdot 10^{-2}$; для К-6-5 — $0 \cdot 10^{-2}$; Сунак-2 — $4,5 \cdot 10^{-2}$ и ВРП-1 — $5,5 \cdot 10^{-2}$ грамм полимера в 100 мл воды [325]; К-4 — $7,5 \cdot 10^{-8}$ моль/л [334].

В связи с этим растворы меньшей концентрации предложено [214, 334, 342, 348] называть разбавленными, а большей — концентрированными. Переход от разбавленного состояния к концентрированному происходит при той же концентрации, что и агрегирование элементов надмолекулярной структуры. Фибриллы или глобулы полиэлектролитов, по-видимому, можно рассматривать как жидкие иониты [349]. Для них характерно наличие участков, плотность электрического заряда которых отличается от составных частей системы. Вследствие этого происходит несимметричное связывание ионов, например, катионов щелочных металлов с сульфогруппой в полимерных жидких сульфонитах [89]. Воду в концентрированном растворе полиэлектролита можно рассматривать как систему с очень развитой поверхностью, а из термодинамики малых систем известно, что если вклад поверхностной энергии в общую энергию системы достаточно велик, резкий фазовый переход первого рода, как отмечается в [350], исчезает (отсутствие фазового перехода первого рода для систем, состоящих из конечного числа частиц, описано в [351]) и выражается растянутым переходом типа порядок — беспорядок.

На рис. 13 представлено схематическое изображение в воде части надмолекулярной структуры фибрillлярного типа полифункционального полиэлектролита [130]. При этом принимались во внимание линейность макромолекул, наличие в ней некоторой эластичности, возможности образования водородной связи между функциональными группами (1), гидратация ионов (2), электростатические взаимодействия между ионами противоположного знака (3) и, наконец, гидрофобные взаимодействия (4) между углеводородными частями макромолекул.

Стрелками, согласно [352], обозначены диполи воды, кольца — это оструктуренная вода, стрелки в кольце —

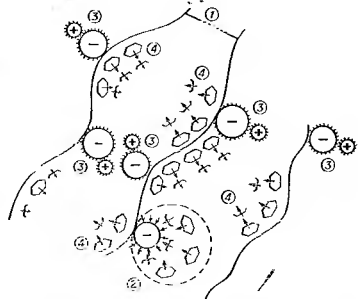


Рис. 13. Схематическое изображение части фибрillярной структуры полиэлектролита.

направление движения оструктуренной воды; в положении (3) черточки — это гипотетический ионный слой.

Если надмолекулярную структуру полиэлектролитов принять за жидкий ионит, то неравномерность зарядов вне и внутри этих структурных единиц обуславливается теми же факторами, что и неравномерности обменных мест ионитов. Ими могут быть химические, связанные с некоторым различием функциональных групп, физические, обусловленные различной доступностью функциональных групп к ионам объемной фазы [3]. Наряду с этим немаловажную роль играет специфическое взаимодействие функциональных групп друг с другом и неспецифическое взаимодействие между углеводородными частями молекул полиэлектролитов. Отсутствием возможности трансмиссионного движения молекулы воды внутри жидких ионитов вся вода оструктурена не только под влиянием ионогенных групп (гидрофобные взаимодействия в электролитах), но и под влиянием углеводородной части макромолекул полиэлектролита (гид-

рофобные взаимодействия в неэлектролитах). Поэтому в таких системах движение ионов будет замедленным.

В настоящее время в литературе накоплено огромное число работ по изучению влияния температуры на систему полиэлектролит — вода. Эти работы частично обобщены в [16, 130, 225]. Температурные зависимости удельной вязкости растворов полиэлектролитов имеют общую закономерность: с ростом температуры до 298°К удельная вязкость растворов повышается, а с дальнейшим ростом температуры эта вязкость падает. Падение вязкости растворов с температурой — явление общее, связанное с повышением кинетических энергий структурно-кинетических единиц раствора; снижение текучести растворов полиэлектролитов до определенной температуры связано с интенсификацией гидрофобных взаимодействий. И в самом деле, с повышением температуры из-за разрушения надмолекулярной структуры воды повышается доля несвязанных между собой Н-связей молекул воды, а последние оструктуриваются в цепочки макромолекул таким образом, что вся система приобретает определенную структурную прочность — вязкость повышается.

Изменение удельной вязкости растворов полиэлектролитов с температурой не может быть связано с изменениями градиента скоростей сдвига при уменьшении абсолютной вязкости растворов за счет повышения температуры, так как в этом случае изменение вязкости растворов должно быть велико, а в эксперименте, начиная с определенных значений (298 ± 2 °К) температуры, наблюдается уменьшение вязкости растворов полиэлектролитов серии «ПЛА», «К» [16, 130, 214, 325, 334, 353, 355] и других, а также полиметакриловых кислот, поливинилпиридина, сополимера-2, винилпиридина и метакриловой кислоты [356—358]. Оно объясняется довольно резким в очень узком температурном интервале изменением гидродинамических свойств макромолекул, наступающим вследствие колективного перехода воды от более агрегированного состояния в менее упорядоченное и усилившим взаимодействия макромолекул полиэлектролита с молекулами воды, что способствует коллективному переходу макромолекул из более свернутой формы в менее свернутую. Надо полагать, что в данном случае наряду с электростатическими силами отталкивания функциональных групп определенную

роль играют и возникающие у углеводородной части макромолекул полиэлектролита «кластеры» воды. Благодаря этим эффектам глобулярный тип надмолекулярной структуры может переходить в фибриллярную форму и, наоборот, если вышеупомянутые эффекты действуют в обратном направлении.

Под влиянием молекул (ионов) полиэлектролита происходят некоторые упрочнения в структурах воды, поэтому с ростом содержания полиэлектролита в воде значения температур, при которых происходит колективный переход [125] от одной модификации структуры воды в другую, смещаются в сторону высоких температур. Это отмечено в случае растворов К-4, К-9, К-6, Сулак-2, ВРП-1 (рис. 14).

Энергия активации вязкого течения для концентрированных растворов полиэлектролитов на 15—30% большие, чем таковая для разбавленных растворов. Ее величина в низкотемпературной области на $1/2+1/3$ меньше, чем в высокотемпературной. Следовательно, с ростом температуры прочность образовавшейся в объеме раствора структуры полимера повышается. Это предположение подтверждается еще и тем, что величина энергии активации вязкого течения при 50—75° на 20—30% большие, чем при 25—40°.

Усиление взаимодействия функциональных групп с водой небезразлично для старения полиэлектролита или его раствора, выражаящегося в ускорении процесса гидролиза функциональных групп. Например, получасовое нагревание при температуре 333°К 10⁻⁴%-ного свежеприготовленного раствора поликариламида-1 сильно ускоряет процесс фибрilloобразования [284]. Это связано с омылением амидной группы и возникновением новых функциональных групп (аммониевой соли COOH), электростатическая диссоциация которых во много раз больше диссоциации амидных групп полиэлектролита ПАА-1 и подтверждается увеличением рН-растворов при хранении (табл. 32).

Таким образом, роль температуры во взаимодействиях растворов полиэлектролитов сводится к изменению структуры воды. Понижение температуры действует в направлении стабилизации структуры воды. Следовательно, действие полиэлектролита, если наблюдается стабилизация структуры воды высокомолеку-

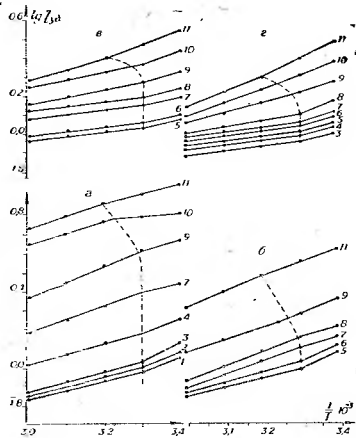


Рис. 14. Зависимость $\lg \tau_{\eta} - 1/T$ для растворов полиэлектролитов К-9 (а), К-6 (б), Сулак-2 (в), ВРП-1 (г), 1—9,7·10⁻⁴; 2—1,0·10⁻⁵; 3—3,9·10⁻⁵; 4—7,5·10⁻⁵; 5—1,5·10⁻⁵; 6—3·10⁻⁵; 7—6,2·10⁻⁵; 8—12·10⁻⁵; 9—25·10⁻⁵; 10—5·10⁻⁵; 11—1,0·10⁻⁵.

лярным поверхности-активным веществом, как и в случае сополимеров винилового спирта и винилацетатных эфиров целлюлозы [359], усиливается; магнитное поле оказало такое же действие, как и понижение температуры [117, 360]. Исследованиями влияния рН-среды на форму структурно-кинетических единиц поли-

Таблица 32

Изменение величины pH в зависимости от хранения полизелектролита ПЛА-1

Концентрация, г/100 мл	pH раствора ПЛА-1 после хранения, сутки			
	свежий	4	7	14
10 ⁻⁶	4,65	4,99	4,90	5,10
10 ⁻⁵	5,50	6,52	6,40	6,70
10 ⁻⁴	5,87	6,52	6,85	7,89

электролета в растворе установлено, что полифункциональные полизелектролиты (например, серия ПЛА-1, К) являются слабощелочными, и величина pH увеличивается с ростом содержания полимера в единице объема раствора, например, от 7,05 для раствора К-4 с концентрацией 10⁻³ г/100 мл воды до 8,20 для того же раствора с концентрацией 5·10⁻³ г/100 мл раствора [16, 214, 225, 334, 343, 353, 354]. Изоэлектрическая точка находится в области pH 3±4 (рис. 15). Отношение величин pH и η_{sp} при первом и втором максимумах на кривой η_{sp} —pH составляет примерно 1:10. Другими словами, степень ионизации функциональных групп полимеров серии К в кислой среде в 10 раз меньше, чем в щелочной.

В кислой среде силы внутримолекулярного притяжения преобладают над силами электростатического отталкивания из-за низкой величины константы диссоциации функциональных групп, в результате макромолекулы сворачиваются в статический клубок [16, 334, 361].

Повышение значений pH, соответствующих первому максимуму на кривой η_{sp} —pH, усиливает кислотные свойства функциональных

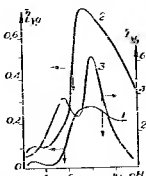


Рис. 15. Зависимость удельной вязкости растворов К-4(1), ПЛА-1(2) и сополимера криптоцидина с акриловой кислотой от pH среды.

групп, и в результате донорно-акцепторных процессов образуются соли амидов, которые легко диссоциируют в водном растворе. Таким образом, водорастворимые полизелектролиты в щелочной среде представляют соли слабых кислот и сильных оснований. Это приводит к увеличению числа заряженных функциональных групп в цепи макромолекул за счет электростатических сил отталкивания. Процесс продолжается до второго максимума на кривой η_{sp} — pH. Дальнейшее повышение значений pH способствует увеличению концентраций низкомолекулярных ионов, способных экранировать заряды цепи макромолекул полимера. При этом макромолекулы частично сворачиваются и следовательно удельная вязкость растворов полизелектролитов снижается.

Как уже отмечалось, в подвижных песках присутствуют соли. Разумеется, их наличие в момент химической мелиорации подвижных песков растворами полизелектролитов небезразлично для эффективности проводимого мероприятия по борьбе с ветровой эрозией песков [16].

Действие электролитов на водные растворы полизелектролитов рассматривается со следующих позиций.

Подавление ионизации функциональных групп с целью определения значений приведенной вязкости и вычисления молекулярных весов полимеров. На примере полизелектролита К-4 и К-6 [362] установлено, что при низких концентрациях полизелектролита (0,001—0,005%) содержание хлористого натрия (0,001—10,0%) не влияет на приведенную вязкость, так как число ионизированных групп полимера намного меньше числа ионов добавленного электролита. В данном случае вязкость раствора полизелектролита практически не зависит от содержания в нем электролита. С возрастанием концентрации полизелектролита число ионизированных групп в нем оказывается одного порядка с числом ионов низкомолекулярного электролита; в этом случае вязкость раствора полизелектролитов становится очень чувствительной к изменениям концентрации полимера и электролита.

Выяснение механизма взаимодействий полизелектролитов с электролитами. При внесении электролита в раствор полизелектролита или, наоборот, происходит сложные взаимодействия между катионами (анионами)

солей и функциональными группами полизеялдролита. На примере полизеялдролита К-4 (продукта омыления поликарбонитрила щелочным натром в мягких условиях [314]) установлено, что при взаимодействии этого полизеялдролита с катионами происходят ионный обмен [16, 214, 225, 363, 364] и коагуляция [311, 313-365], наряду с этим возможно образование ассоциатов К-4 с гидратами окислов металлов [366], а также комплексных соединений [366-368].

Исследования зависимости свойств растворов К-4, концентрация которых не превышает $2 \text{ г}/100 \text{ см}^3$, от дозы добавленных хлоридов цинка, никеля, кобальта, меди с помощью методов нефелометрии, УФ- и ИК-спектроскопии [368, 369] показали, что между ионами цинка и функциональными группами цепи макромолекул К-4 происходит солеобразование с присоединением иона цинка к двум карбоксильным группам; меди, кобальта, никель с азотом группы COONH_2 , $-\text{CO}-\text{NH}-\text{CO}$, $-\text{CN}$, находящихся в цепи макромолекул К-4, образуют комплексные соединения.

Из рис. 16 видно, что на УФ-спектрах смеси, содержащей 0,012 мг-ион меди на 1 мг полимера и 38 мг-ион никеля и кобальта на 1 мг К-4, появляются максимумы поглощения, соответствующие максимумам поглощения добавленных электролитов. Наблюдается заметное bathромическое смещение максимумов в сторону коротких волн. Для смеси К-4+ CuCl_2 оно составляет 10 нм, для К-4+ NiCl_2 =10 и К-4+ CoCl_2 =45 нм. Можно предположить, что эти смещения указывают на возможность образования соединений типа комплексов между К-4 и ионами меди, никеля, кобальта. По величине этого смещения можно судить о комплексообразующей силе этих ионов. Она наибольшая в случае Cu^{2+} , наименьшая—у Co^{2+} и Ni^{2+} . Этот метод хорошо согласуется с их комплексообразующими эффектами и низкомолекулярными соединениями [370].

Сияя ИК-спектры водных растворов К-4 с электролитами NaCl , Na_2SO_4 , Na_3PO_4 в тяжелой воде [371]. В ИК-спектрах тройной системы $\text{D}_2\text{O}+\text{соль}+\text{K-4}$ увеличиваются интенсивность полосы поглощения $\text{D}\text{D}\text{O}\nu_{1480}$ и деформационные колебания воды $\nu_{1650} \text{ см}^{-1}$. Так, $\nu_{1480} \text{ см}^{-1}$ стала 7,6 для D_2O — К-4 — NaCl , 9,0 — для D_2O — Na_2SO_4 — К-4 и 7,5 — для D_2O — Na_3PO_4 — К-4 против 4,4 для тяжелой воды; интенсивность ν

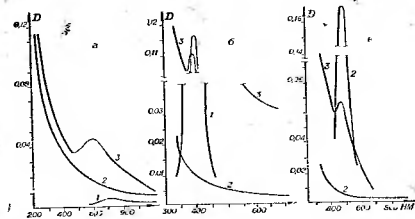


Рис. 16. УФ-спектры поглощения растворов электролитов (1), К-4 (2) и их смесей (3): а—С + Cl_2 ; б—NiCl₂+CoCl₂

1650 см^{-1} , которая равна для $\text{D}_2\text{O}-\text{K-4}$ 1,6 стала 3,0; 5,5 и 2,8 соответственно для вышеприведенных систем (рис. 17).

С увеличением количества воды в изучаемых системах, содержащих одинаковое количество катионов, интенсивность полос поглощения ионизированных карбонильных групп увеличивается с 3,5 для раствора К-4 в D_2O до 5,6; 7,5; 4,0 для растворов К-4, содержащих соответственно NaCl , Na_2SO_4 , Na_3PO_4 . Поскольку увеличение интенсивности полосы поглощения ионизированной группы — COO^- связано с ростом степени диссоциации соли, а содержание катионов в системе одинаково, то наблюдаемые изменения в интенсивности полос поглощения в 1585 см^{-1} следует отнести к влиянию анионов солей на функциональные группы макромолекул полизеялдролита. По влиянию на ионизацию карбоксильных групп К-4 анионы располагаются



В ИК-спектрах изученных тройных систем наблюдается смещение полосы поглощения с максимумом при 1480 см^{-1} частотах в области коротких волн на 5 см^{-1} для системы D_2O — К-4, 20 см^{-1} — для К-4 — NaCl —

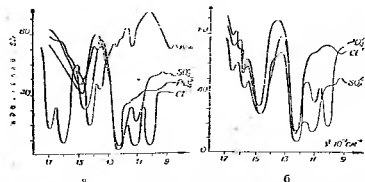


Рис. 17. ИК-спектры а) — $\text{NaCl} + \text{D}_2\text{O}$, $\text{Na}_2\text{SO}_4 + \text{D}_2\text{O}$, $\text{Na}_3\text{PO}_4 + \text{D}_2\text{O}$, К-4 + D_2O , б) К-4 + D_2O , NaCl , Na_2SO_4 , Na_3PO_4 .

D_2O 10 cm^{-1} для D_2O — К-4 — Na_2SO_4 и на 20 cm^{-1} для D_2O — К-4 — Na_3PO_4 , полосы насыщения при 1585 cm^{-1} , характерные для $—\text{COO}^-$ группы у сухого К-4 в этих системах смешаются в сторону коротких волн соответственно на $5,5$ и 10 cm^{-1} . Изменение свидетельствует об образовании водородной связи между растворителем и растворенным веществом. Наблюдаемые смещения в тройной системе объясняются теми же образованиями связей между функциональной группой макромолекулы полизелектролита с анионами взятых солей посредством молекул воды.

Таким образом, в растворе К-4, содержащем различные анионы, имеются взаимодействия между анионами минеральных кислот и активными функциональными группами полизелектролита через молекулы воды, при которой образуется комплекс типа ПЭ—вода—анион. Причина образования соединений подобного типа обусловлена тем, что кислородсодержащие анионы образуют водородную связь с протонами воды посредством неподеленной пары электронов атома кислорода [372]. Величина энергии водородной связи с водой аниона PO_4^{3-} больше по сравнению с SO_4^{2-} , что вытекает из различия степени смещения электронной плотности связи от середины атомного расстояния в сторону одного из партнеров связи Э-О. Этим объясняется большая степень смещения в сторону коротких волн (увеличение энергии связи) полос поглощения с максимумом

1480 cm^{-1} под влиянием Na_3PO_4 в системе D_2O —ПЭ—соль по сравнению с сульфатом натрия. Итак, с созданием искусственной структуры в почве подвижность микроэлементов меняется (табл. 33).

Таблица 33

Подвижность микроэлементов в зависимости от содержания К-4 в образце

Содержание К-4 в оструктуренном образце, %	Элемент		
	Cu	Zn	Mn
Контроль	1,49	1,60	130,3
0,003	1,14	2,20	159,5
0,030	1,66	2,00	121,5
0,300	0,79	2,50	Не опр.
1,000	0,59	1,40	111,4

Бегетационными опытами без и с выращиванием растений (хлопчатник) установлены лучшая усвоимость почвенных фосфатов, регулировка подвижности почвенных микроэлементов [20, 371].

Адсорбция полизелектролитов из их водных растворов подвижными песками

Адсорбция полимеров, в том числе и полизелектролитов, твердыми сорбентами рассмотрена в многочисленных работах, которые частично обобщены в [16, 217, 373, 376], где исследованы основные закономерности влияния на величину адсорбции природы полимера, растворителя и сорбента.

Адсорбция из водных растворов полизелектролитов природными минеральными сорбентами (бентонит, почва, опоки и др.) начинается через определенный индукционный период, зависящий от концентрации раствора полимера. Динамическое равновесие устанавливается в течение месяца [16, 377–379], хотя взаимодействие частиц полизелектролита с частицами сорбента в присутствии воды наступает довольно быстро [380, 381]. При этом на три четверти адсорбция заканчивается через 24 ч, а поддающиеся оценке количества адсорбированного полизелектролита появляются через

5 ч. Время установления адсорбционного равновесия неодинаково у различных минеральных сорбентов. Так, поглощение полизеялдролита К-4 каолином, алюитом, гипсом, углекислым кальцием равно 48 ч, кварцевым песком — 72, а полевым шпатом — 120 ч. При поглощении полизеялдролита типичным сероземом и щелочно-земельным бентонитом время равновесия периодически возрастает и динамическое равновесие не наступает в течение 240 ч. Сопоставлением этих результатов со степенью дисперсности и его гидрофильтрностью установлено, что адсорбционное равновесие в системе наступает тем быстрее, чем ниже степень дисперсности и меньше набухаемость в воде сорбента [213]. Скорость адсорбции в воде полизеялдролитов в присутствии электролитов увеличивалась. Это связано с уменьшением ионного облака функциональных групп макромолекул полимера, в связи с чем облегчается приближение макромолекулы сорбата к поверхности сорбента [382].

Адсорбция полизеялдролитов минеральными сорбентами имеет необратимый характер [16]: неполная десорбция указывает на наличие химического взаимодействия между структурно-кинетическими единицами полимера и активными центрами частиц сорбента. Обнаружен ионный обмен между катионами полизеялдролита и сорбента в случае полизеялдролитов катионного типа [383—385]. Полизеялдролиты при этом адсорбируются по первому или второму типу в зависимости от pH среды [16, 213, 225]. Величина адсорбции полизеялдролитов серии К в соответствии с конформационным превращением в формах структурно-кинетических единиц больше из щелочной среды, чем из кислой, то есть глубины хуже поглащаются, чем фибрillы [16, 225, 386—388]. На отрицательно заряженных гелях сильнее адсорбируются полизеялдролиты серии поликаринаамида, хуже — поликариловые и др. кислоты; полифункциональные полизеялдролиты при этом занимают промежуточное положение, приближаясь к ПАА или ПАК в зависимости от соотношения функциональных групп в цепи макромолекул. В случае положительно заряженных гелей — обратная картина [389].

На величину адсорбции водорастворимых полизеялдролитов влияет и пористая структура сорбента. Если поры сорбента велики, то диффузия структурно-кинетических единиц в адсорбционный раствор очень



Рис. 18 Схематическое изображение макромолекулы, адсорбированной на плоской поверхности

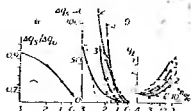


Рис. 19 Зависимость Δq_s , $Aq_s/\Delta C$ (а), q_e (в) от концентрации К-4 для глауковецкого каолина (1), алжармарского серого (2), келесского (3) и Н-формы алжармарского серого бентонита (4)

велика ($d > 75$ нм), что говорит об адсорбции полимера. Так, когда поры малы, диффузия протекает медленно, есть указания, что в этом случае адсорбируется растворитель [390].

Исследования адсорбции полизеялдролитов из растворов в широком интервале концентраций показали ее различие для разбавленных и концентрированных растворов. Изучение адсорбции из разбавленных растворов позволяет выяснить механизм этого процесса. При этом макромолекулы рассматриваются как свободно сочлененная линейная цепочка с сегментами, имеющими молекулы растворителя. Поверхность сорбента предполагается плоской с равномерным распределением на ней адсорбционных центров, каждый, из которых может адсорбировать либо один сегмент полимера, либо одну молекулу растворителя. Адсорбционное взаимодействие считается короткодействующим, а возможные конформации макромолекулы описываются с помощью решеточной модели в условиях термодинамического равновесия [391]. При этом распределение в пространстве сегментов адсорбированной макромолекулы представляют в виде одного или двух «хвостов» и чередующихся «петель» и «шлейфов» (рис. 18). Под «хвостом» понимают непрерывную последовательность сферических сегментов макромолекулы, находящихся в растворе и «прикрепленных» к адсорбционной поверхности одним из своих концов (одним сегментом).

«Пегли» — такие же последовательности, по «прикрепленные» к поверхности обоними своими концами (у них сорбированы два концевых сегмента). «Шлейфы» — это последовательность сегментов, целиком лежащих на адсорбционной поверхности; у них адсорбированы все сегменты.

Чтобы найти статистическую сумму для адсорбированной макромолекулы следует подсчитать полное число ее конформаций в адсорбированном состоянии. Это можно сделать различными способами, в частности методом множителей логарифмов, обобщенных, производящих функций, методом цепей Маркова, Монте-Карло и др. [376]. Результаты, полученные математическими методами, в большинстве случаев совпадают с данными эксперимента по изучению адсорбции из разбавленных растворов. При этом толщина адсорбционного слоя, плотность содержащихся в нем сегментов, доли адсорбированных сегментов зависят от длительности эксперимента, качества растворителя, энергии взаимодействия сегментов с поверхностью, концентрации полимерного раствора и связанных с ней степенью заполнения адсорбционной поверхности и скоростью диффузии макромолекул к поверхности адсорбента.

Для уточнения вопроса о структуре адсорбционных слоев линейных полимеров на непористых адсорбентах в [392] изучена адсорбция полиоксистилена ($M=300$, 3000 и 15000), полистирола ($M=40000$, 300000), поливинилакрилата ($M=180000$), полидиметилсилоксана ($M=350000$), поликариламида ($M=30000$) и полиметилметакрилата ($M=30000$, 330000) на пигментном рутине ($S=4 \text{ м}^2/\text{г}$), аэросиле ($S=170 \text{ м}^2/\text{г}$) канальной саже, обработанной при 3000° ($S=85 \text{ м}^2/\text{г}$).

Установлено, что максимальные величины адсорбции из разбавленных растворов в H_2O , CCl_4 , C_6H_6 , CHCl_3 , $\text{CH}_3\text{COC}_2\text{H}_5$ оказались заключенными в узком интервале $0,3$ — $0,9 \text{ мг}/\text{м}^2$. Причем более одной трети карбонильных групп макромолекул непосредственно взаимодействуют с гидрофильными группами поверхности аэросила. На этом основании автор делает вывод, что клубки полимеров в поле адсорбента значительно деформируются и вытягиваются вдоль поверхности, имея преимущественно параллельную ориентацию макромолекул в адсорбционном слое.

Решающее влияние на структуру адсорбционного слоя оказывает энергия взаимодействия структурно-кинетических единиц раствора полимера с адсорбционной поверхностью. Наблюдаются два типа структур адсорбционного слоя: при сильных и слабых взаимодействиях. При сильных адсорбционных взаимодействиях, например в случае адсорбции полистилентетрафталата на SiO_2 , адсорбционное равновесие устанавливается быстро, толщина адсорбционной пленки относительно невелика. При относительно слабых взаимодействиях, например, при адсорбции полистирола на окисной поверхности металлов, адсорбционное равновесие устанавливается медленно. Отмечено, чем больше молекулярная масса полистирола тем больше толщина адсорбционного раствора.

Энергия адсорбционного взаимодействия глин с полизлектролитами в их водных растворах вычисляют либо на основе термодинамических уравнений, либо из отношения разности теплоты смачивания сорбента в растворе полизлектролита к приращению концентрации сорбата [393—395], а также на основе ИК-спектроскопических исследований по смещению полосы поглощения гидроокислов минералов с максимумом при 3660 cm^{-1} [378] (табл. 34).

Таблица 34

Теплота раствора сорбата образцов сорбента ($q_s, \text{дж}/\text{г}$) в зависимости от концентрации К-4

Концентрация К-4, г на 100	Глухоменский каолин	Азкамарский серый бентонит	Кедесский бентонит	Азкамарский серый бентонит в И-форме
0,0	8,7	27,1	33,0	48,4
0,005	—	—	—	47,6
0,01	10,7	23,2	32,6	47,2
0,005	—	28,4	30,5	—
0,01	6,2	25,9	28,2	40,9
0,10	3,7	25,0	24,2	37,6
0,5	2,5	—	—	—
1,0	1,6	22,1 ⁺	22,9	34,7

Теплота, выделяемая при внесении в раствор сорбата образцов сорбента ($q_s, \text{дж}/\text{г}$), увеличивается с ростом теплоты смачивания образца водой (q_0) [396]. Другими словами, чем гидрофильнее сорбент, тем боль-

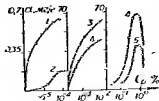
шее и теплота адсорбции $q_0 - q_s - q_0$. На графике (рис. 19) наклон линии $q_s/q_0 = C(\Delta q_s/\Delta q_0 - C)$ уменьшается с повышением концентрации раствора К-4, причем при малых концентрациях сорбата это уменьшение незначительно, а при высоких — более заметное.

Зависимость отношения $\Delta q_s/\Delta C$ от концентрации сорбата (рис. 19) сложная: при низких концентрациях полизелектролита $\Delta q_s/\Delta q$ уменьшается быстрее, чем при относительно высоких концентрациях (свыше $5 \cdot 10^{-3}$ г/л). Различие в изменениях кривых $\Delta q_s/\Delta q_0 - C$ и $\Delta q_s/\Delta C - C$ объясняется тем, что при внесении сорбента в раствор полизелектролита в первую очередь происходит смачивание образца водой, а затем адсорбция элементов надмолекулярной структуры полизелектролита К-4 на уже смоченной водой поверхности частиц твердой фазы. Этим и обусловлено низкое значение теплоты адсорбции полизелектролитов (0,5—1,5 дж. на 1 г сухого полимера) природными минеральными сорбентами [16, 396]. При этом часть выделяемой энергии ($q_s = q_a + q_0$) расходуется для отпирания воды из гидратированных структурных единиц полимера гидрофильным глинистым минералом. Надо полагать, что с повышением концентрации раствора сорбата расход энергии должен увеличиваться.

Действительно, если разность теплоты смачивания образцов в воде и в растворе полимера К-4 ($q_0 - q_s$) принять за ту энергию (q_s), которая необходима для удаления растворителя — воды — у гидрофильного полимера (теплота дегидрофилизации), то при концентрации сорбата К-4 менее 0,001% расход энергии практически отсутствует, а затем с ростом содержания полимера в объеме раствора расход энергии непрерывно увеличивается. Таким образом, уменьшение теплоты смачивания образцов глинистых минералов в растворах полизелектролитов с повышением концентрации полимера нельзя рассматривать как гидрофобизацию поверхности их частиц, которая является следствием гидрофобизации надмолекулярных структур полизелектролитов в растворе гидрофильными частицами.

Адсорбция глинистыми полифункциональными полизелектролитами из их разбавленных растворов зависит от гидрофильности образца [214]. При теплоте смачивания сорбента водой больше 25—60 дж/г (например, палыгорскит) наблюдается L-тип изотермы адсорб-

Рис. 20. Изотермы адсорбции полизелектролита К-4 на камышбашинском палыгорските (1), агрепинском каслице (2), азакамарском сером бентоните (3), ашмуской (4) и небитдагской (5) глине.



ции (по [397]) полифункциональных полизелектролитов (рис. 20, кр. 1). На поверхности плохо смачиваемых образцов (каолин, кварц), для которых теплота смачивания меньше 18—16 дж/г, адсорбируются ассоциаты структурно-кинетических единиц (макромолекулы, макропоны) полимера, и изотерма адсорбции в начальной области концентрации раствора сорбата вогнута к оси равновесной концентрации (рис. 20, кр. 2), которая относится к S-типу по [397]. Изотермы адсорбции катионных полизелектролитов на кварце, по данным [398], сходны с изотермами H-группы по [397].

В разбавленных водных растворах макромолекулы полизелектролитов более развернуты. Это и создает благоприятные условия их взаимодействия с поверхностью адсорбента. В случае катионных полизелектролитов в области концентрации адсорбция макромолекул на кварце имеет необратимый характер.

Процессы, протекающие в растворах полизелектролитов в зависимости от концентрации, будут влиять и на адсорбцию их сорбентами. Форма изотермы адсорбции полизелектролитов природными и синтетическими алюмосиликатами из растворов, концентрация которых образует вторичные полимерные структуры, не зависит от типа сорбента, хотя есть количественное различие в величинах адсорбции полимера (рис. 20, кр. 3, 4). Так, получены предельные значения адсорбции на бентонитовой глине: поликарболовой и полиметакарболовой кислот — 11,8 и 7,8 мг/г, кальциевой соли полиметакарболовой кислоты — 17,5, поликарбила и полиметакарбамида 17,4 и 17,8 мг/г, их кальциевых производных 12,4 и 16,8 мг/г. В поверхностный раствор из объемного переходят надмолекулярные структуры полизелектролитов. В этом случае коагуляционные силы изменяются незначительно. В растворах с содержанием

растворенного вещества, достаточного для образования пространственной структуры в системе вода — полизеэлектролит (выше точки C_4 на рис. 12), с ростом концентрации адсорбция резко падает, происходит адсорбция полизеэлектролитом частиц твердой фазы — адсорбентов (рис. 20, кр. 4, 5). В данном случае отрицательная адсорбция — это процесс образования пространственной структуры в объеме раствора полимера, поэтому затруднен переход на поверхность не только макромолекул, но и элементов надмолекулярной структуры (табл. 35).

Таблица 35

Значение равновесной концентрации ($c \cdot 10^{-10}$ %) растворов полизеэлектролитов, при которых осуществляется переход от одного типа адсорбции к другому

Полиэлектролит	Глина			Песок		
	котурденпин-ская	барсакельмес-ская	анкауская	котурденпин-ский	барсакельмес-кий	анкауский
K-4	—	8,9	8,7	8,8	—	8,3
K-9	0,4	5,8	5,9	5,2	5,4	5,3
K-6	2,8	3,4	3,6	4,7	3,8	3,5
Сунак-2	3,3	3,0	3,2	2,9	3,4	3,2
ВРП-1	5,0	3,1	2,9	4,8	4,7	4,4
ПАА	—	9,2	9,7	10,8	—	10,5

Переход от одного типа адсорбции к другому зависит от видов сорбента и полизеэлектролита.

На рис. 21 приведены изотермы адсорбции при $25 \pm 2^\circ$ полизеэлектролитов на песках и глинах. Следует отметить, что значение концентрации растворов полизеэлектролитов, к которым добавлялся сорбент, было больше, чем величина концентрации растворов, начиная с которой в системе вода — полизеэлектролит происходит образование агрегатов из ассоциатов надмолекулярных структур. Общность форм изотерм адсорбции указывает на то, что адсорбция предшествует смачивание поверхности частиц сорбента водой, и на смоченную водой поверхность частиц твердой фазы диффундируют из объемного раствора структурно-кинетические единицы растворов полизеэлектролитов в виде надмолекулярных структур. В этих условиях природа сорбентов

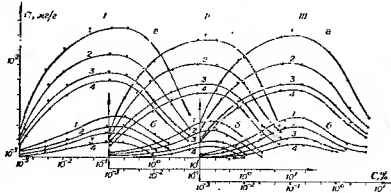


Рис. 21. Изотермы адсорбции полизеэлектролитов К-9(1), К-6(2), Сунак-2(3), ВРП-1(4) глинами (а) и песками (б) из Котурденек (I), Барсакельмес (II) и Аныев (III).

влияет только на величину адсорбции. Действительно, полизеэлектролиты лучше поглощаются на глинах, отличающихся от песка большей гидрофильтруемостью. При одинаковых значениях концентрации раствора полизеэлектролиты больше поглощаются, если их растворы лучше оструктурены [28]. Этот механизм вытекает из общего механизма адсорбции из растворов [42]. В случае адсорбции из разбавленных растворов диффундируемыми элементами из объемного раствора в поверхностный слой являются макромолекулы (макрополисы).

С удалением дисперсионной среды (выпаривание, сушка) из смеси вода + сорбент + полизеэлектролит, что является неотъемлемой частью модифицирования поверхности порошка полизеэлектролитами, структурно-кинетические единицы полимера сближаются на поверхности частиц сорбента на такое короткое расстояние, что создаются благоприятные условия для межмолекулярного взаимодействия на коротких расстояниях с образованием водородных связей между функциональными группами полимера и сорбционными центрами (углы, ребра, гидроксиль и др.) частиц твердой фазы. В результате получаются глинополимерные комплексы [16, 213, 215, 217]. О возможности Н-связи свидетельствует изменение интенсивности полосы поглощения с

максимумом 3600 см^{-1} (свободные гидроксильные), а увеличение интенсивности полосы поглощения — 3440 см^{-1} — связанные водородной связью гидроксильные группы твердой фазы. Установлено, что интенсивность образования водородной связи (вычисленная по

$$\frac{K_1}{K_2} = \frac{\ln(T_0/T) \cdot v3440}{\ln(T_0/T) \cdot v3600},$$
 где T_0 и T — опти-

ческая плотность с 100%-ным пропусканием и при максимумах пропускания) с ростом содержания полизелектролита в модифицировании сорбента увеличивается [399] и проходит через максимум при концентрации, когда в местах контакта и на поверхности частиц сорбента выделяется полимерная фаза; с ростом коэффициента поляризуемости катионов в поглощении сорбента интенсивность Н-связей повышается [400]. Изменение интенсивности образования П-связи с pH исходного раствора сорбента симбатно с изменением pH-среды и зависит от величины адсорбции полизелектролита природными минеральными сорбентами [213, 214].

Изотермы сорбции паров воды на модифицированных полифункциональными полизелектролитами сорбентах, когда количество полимера достаточно для полного покрытия монослоем поверхности частиц, имеют S-образную форму, то есть относятся ко второму типу изотерм по классификации Брунауэра; при концентрации полизелектролитов, с которой начинается выделение полимерной фазы, форма изотерм меняется и они относятся к III типу.

Модифицирование полизелектролитами природных минеральных сорбентов способствовало увеличению статической активности по парам воды на 20—25%; изменению характера адсорбции паров воды на сорбентах (при низких давлениях паров сорбата его сорбируемость меньше, чем на исходном сорбенте, а в области капиллярной конденсации адсорбционная активность сорбента тем больше, чем больше степень его модифицированности); увеличению гидрофильности и набухаемости в воде; возрастанию механической прочности гранул в 25 раз [215].

Анализ данных по сорбции паров воды на модифицированных природных минеральных сорбентах, включая почвенную дисперсию, а также на сорбентах,

приготовленных из самих полизелектролитов, позволил заключить, что одной из причин повышения устойчивости гранул модифицированных сорбентов против разрушающего действия воды является переход полимера из растворимой формы в нерастворимую вследствие превращения его двухмерной структуры в трехмерную [215, 217].

Модифицирование существенным образом меняет различные формы кислотности природных минеральных сорбентов [16], а это небезразлично для мелиорации песка полизелектролитами, так как при этом создаются благоприятные условия для регулирования подвижности микроэлементов почвы [371], избирательности адсорбции анионов минеральных кислот. В частности, чем больше содержание полизелектролита К-4 в сероземной почве, тем меньше адсорбция фосфатов ионов в ней [401]. Агротехническими исследованиями установлена возможность регулирования фосфатного режима почвы путем создания искусственной структуры в бесструктурных почвах, к которым относится основной почвенный покров Республики Средней Азии [402].

Модифицированием поверхности частиц почвы создается искусственная структура [225, 287, 307, 403—406]. При этом улучшается не только механический состав и связанные с ним воздухо-, тепло- и влагообмен, но и интенсифицируются биологические процессы в почве [407], усвоемость почвенных микроэлементов растениями [371] и многие другие, которые в конечном счете благоприятно действуют на плодородие почвы. Разработан способ создания поверхностной песчаной корки на дне поливной борозды, который позволяет экономить расход полизелектролита [408].

Увеличение влагоемкости песчаной корки, созданной на поверхности подвижных песков с использованием растворов полизелектролитов [28, 45], — важное свойство новообразования песчано-полимерного комплекса. Таким образом, перевод свободнодисперской системы песка в связнодисперсную — одна из форм мероприятий, проводимых по мелиорации подвижных песков, осуществляемых через процессы модифицирования — изменения природы поверхности частиц песка полизелектролитами.

Коллоидно-химические исследования системы песок — вода — полиэлектролит

В процессе химической мелиорации подвижных песков водными растворами химических закрепителей возникает система песок—вода—мелиорант, представляющая в зависимости от количества жидкой фазы пасту или суспензию. Между компонентами системы протекают сложные взаимодействия. При этом надо принимать во внимание сложность строения и состава песка. В первую очередь происходит взаимодействие частиц песка с водой с образованием гидратного слоя, через который осуществляется контактное взаимодействие между частицами твердой фазы системы. Наличие полиэлектролита или других водорастворимых веществ в системе песок—вода оказывает влияние на частицы твердой фазы через гидратный слой.

В первой главе говорилось о наличии «оболочек» или «рубашек» на поверхности зерен песка, которые состоят из окислов металлов и, в первую очередь, — железа и глинистых образований. Смачивание поверхности песка сопровождается частичным растворением этих оболочек. В настоящее время трудно описать строение такого гидратированного слоя.

На основании явления растворимости кварцевого песка в дистиллированной воде [409], увеличения растворимости песка с ростом его степени дисперсности [410], увеличения числа ионов водорода (уменьшения pH системы глина—вода) в жидкой фазе суспензий кислых глин с ростом степени разведения [411, 412], повышения растворимости глинистых минералов в щелочах (кислотах) с ростом степени несовершенства их кристаллических структур [39], а также в связи с возможностью появления протона в результате действия поверхностных гидроокислов на молекулу воды и образования ионов H_3O^+ , $H_2O_2^+$, $H_2O_3^-$ [89] можно допустить следующее. При смачивании частиц песка водой происходит их поверхностное растворение и образуется адсорбционный раствор, в котором имеются полиняноны типа поликаломокремниевых кислот и катионы солей, всегда присутствующих в песке. Такой состав гидратного слоя поверхностного раствора предопределяет его свойства. Причем последний зависит от минералогического, химического составов твердой фазы, от

наличия в ней примесей и т. д. Так, проводимость электрического тока, приходящаяся на единицу удельной поверхности образца, в случае сероземных почв увеличивается по мере перехода от целинной к старошароватой [20]. Для глинистых минералов и глин эта величина тем больше, чем больше величина их теплоты смачивания водой [118]. Установлена зависимость величины электропроводности и электроемкости гидратного слоя монтмориллонита от степени его дегидратированности и изменения кристаллической структуры [413, 414].

Поверхность зерен песка, как и твердого тела, неоднородна, ей свойственна макромозаичность. Сформированный на «шершавотай» и неоднородной поверхности песка адсорбционный слой также неоднороден. Толщина этого слоя определяется пределом распространения силовых линий поверхностной энергии. Состав этого слоя определяется растворимостью песка в воде.

Ф. В. Чухров [34] отмечает, что лиофильные коллоиды, например гидрозоли металлов, гидрозоли сульфидов, сольватируются только в том случае, если имеют электрические заряды. В случае песка заряд па поверхности его частиц возникает вследствие растворения, ибо «основной» характеристикой системы кремнезем—вода является тенденция этого окисла образовывать коллоидные растворы или гидратированные массы» [415]. Образование коллоидного кремнезема в процессе растворения кварцевого песка определено электронно-микроскопическими исследованиями [416].

Влияние полиэлектролитов на электрокинетический потенциал поверхности кварцевого песка

В литературе пока нет работ, посвященных изучению влияния полиэлектролита на электрокинетический потенциал водной суспензии природных подвижных песков. В работах [417—419] исследовано изменение величины электрокинетического потенциала частиц кварца от значений pH-среды, от дозы и вида полиэлектролита. В водной суспензии частицы кварца на поверхности имеют отрицательный заряд, величина которого меняется с величиной pH. На примере кварца (SiO_2 99,3%) показано, что наибольшая электро-

отрицательность его поверхности в среде, близкой к нейтральной и слабощелочной, в кислой среде с уменьшением pH потенциал снижается; изоэлектрическая точка находится в интервале pH 1,0—1,3. Эта величина соответствует изоэлектрическим точкам силикателей [14] и кремнезема [415].

Установлено, что неионогенные полизелектролиты практически не изменяют заряда поверхности кварца, а под влиянием анионных (рост их содержания) непрерывно повышается электроотрицательность поверхности минерала. Катионактивные полизелектролиты не только снижают электроотрицательность поверхности, но и вследствие адсорбционных процессов перезаряжают ее. Исследованием влияния полизелектролитов серии K на электрокинетический потенциал отличающихся по природе поверхности минералов определены перезарядка высокого положительного заряда коруида и флюорита, увеличение плотности отрицательного заряда кварца, микроклина, барита и кальцита (рис. 22). При больших дозах полизелектролита поверхность всех минералов отрицательна. Такой характер изменения электрокинетического потенциала обусловлен видами структурно-кинетических единиц полимера, переходящих из объемной фазы в поверхностный слой в том случае, когда адсорбированными элементами являются макроионы или макромолекулы, наблюдается изменение заряда слоя; адсорбция надмолекулярных образований способствует увеличению плотности того заряда, который несет коллоидная частица полизелектролита. Наличие полизелектролитов в адсорбционном слое небезразлично для осуществления контактных взаимодействий между частицами твердой фазы: системы песок—вода—полизелектролит.

Изменение силы коагуляционного взаимодействия частиц глины и песка в присутствии полизелектролитов

Исследование прочности контактов между частицами кварца в водной среде, содержащей различные количества низко- и высокомолекулярных электролитов или других примесей, позволило выяснить возможность направленного регулирования контактных взаимодействий между частицами твердой фазы в жидкой среде,

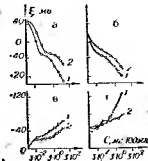


Рис. 22. Изменение электрического потенциала частиц коруида (а), флюорита (б), кальцита (в) и микроклина (2) в растворах полизелектролитов К-4 (1) и К-6 (2).

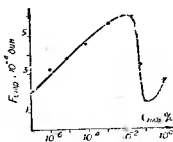


Рис. 23. Зависимость силы притяжения сферических частиц к положению в растворах электролита.

определяющих устойчивость и структуру дисперсных систем [420]. Исследованиями зависимости взаимодействия (прочности контактов в виде величины $F_{\text{согр}}$) от времени формирования, концентрации полимера, температуры системы, природы минеральных частиц и полимера, состава растворителя установлено, что значения $F_{\text{согр}}$ для стеклянных шариков, кальцитов, баритов, окиси алюминия, окиси железа, рутила в растворах полимеров (каучук, полигамид) значительно меньше, чем в чистом растворителе (циклогексане, диметилформамиде). Факторы, вызывающие увеличение пересыщения полимерного раствора, способствуют увеличению прочности контакта взаимодействия вследствие выделения полимера в виде фаз в местах контакта [421].

В работах [418, 421—423] отмечалось уменьшение прочности коагуляционной структуры и контактов между зернами кварца, обусловленное утолщением гидратных оболочек на наиболее активных участках поверхности (по П. А. Ребиндеру, в местах наименьшей толщины), на которых первоначально адсорбировались катионы. Причем с увеличением гидратации катиона прочность контакта снижается. Увеличение прочности контактов частиц суспензии наступает в результате сжатия диффузной части двойного электрического слоя вследствие повышения ионной силы раствора.

Изменение pH-среды влияет на растворимость поверхности пленки зерен кварца [415], с изменением pH будет меняться гидратируемость катионов. Следовательно, влияние катионов на прочность контактов с изменением pH-среды сложное (рис. 23) [422].

В области разбавленных растворов ПАВ взаимодействуют с ионами адсорбционного слоя поверхности кварца и тем самым способствуют увеличению сил притяжения: кривая, характеризующая силу отрыва половины частиц F_{off} от концентрации ПАВ, поднимается вверх. В области адсорбционного насыщения прочность контакта уменьшается; выделение добавки в виде отдельной фазы на границе раздела способствует повторному упрочнению. Действие электролитов на контактное взаимодействие между частицами глины разделяется на области упрочнения, ослабления и повторное упрочнение.

На примере гидрослюдистых, каолинитовых и монтмориллонитовых глин показано, что в их водной суспензии минимальной прочности связи F_{min} соответствует прочность коагуляционной связи при максимальной толщине дисперсионной среды, разделяющей контактирующую поверхность [424]. По возрастанию показателя F_{min} катионзамещенные формы глины располагаются в ряд: $\text{Ca} > \text{Mg} > \text{H} > \text{Na}$ [425], что аналогично расположению их по значениям теплоты смачивания водой [16, 426, 427]. Следовательно, чем гидрофильнее глина, тем выше и показатели прилипания.

Наличие полизэлектролита в системе вода — глина несомненно влияет и на состав поверхностного раствора. С изменением содержания полизэлектролита в объемном растворе меняется и содержание полимера в поверхностном растворе. В силу зависимости гидратируемости структурно-кинетических единиц полимера от концентрации толщина сольватной оболочки вокруг частиц твердой фазы, а следовательно и сила коагуляционного взаимодействия между частицами изменяются [217]. Действительно, в зависимости от концентрации в смеси глина—вода—полизэлектролит силы F_{min} и F_{max} , характеризующие прочность коагуляционной связи при максимальной и минимальной толщине гидратного слоя [424], меняются симметрично (рис. 24). До концентрации полизэлектролита К-4 10^{-4} г/л значения F_{min} и F_{max} примерно постоянны, затем они воз-

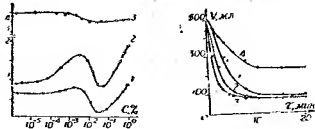


Рис. 24. Зависимость сил прилипания частиц каолинитовой глины размером 7 мк от концентрации полизэлектролита К-4: 1 — $F_{\text{min}} \cdot 10^{-3}$ дин, 2 — $F_{\text{max}} \cdot 10^{-3}$ дин, 3 — $F_{\text{min}} \cdot 10^{-3}$ дин.

Рис. 25. Влияние К-4 на кинетику седиментационного осаждения флюоритового концентрата: 1 — исходная суспензия, 2 — при расходе 1 г/см³ К-4, 3 — 4.0; 4 — 20.0.

растают, достигая максимума при концентрации полизэлектролита $(5 \pm 2) \cdot 10^{-1}$ г/л; дальнейшее повышение содержания полимера уменьшает значение F_{min} вплоть до концентрации полизэлектролитов $(5 \pm 2) \cdot 10^{-2}$ г/л, а затем оно вновь увеличивается. Значение F_{max} до концентрации полизэлектролита 10^{-4} г/л тоже постоянно, затем снижается и, начиная с $(5 \pm 2) \cdot 10^{-2}$ г/л, вновь становится независимым от содержания полимера в единице объема раствора. Близение полизэлектролита на изменение величин сил прилипания в процессе структурообразования в полидисперсных суспензиях глини обусловлено, по-видимому, зависящей от концентрации раствора полимера формой структурно-кинетических единиц полимера в местах контакта поверхности частиц твердой фазы.

Наличие макромолекулы полизэлектролита в адсорбционном (поверхностном) растворе, по-видимому, почти не влияет на толщину гидратного слоя частиц, в результате чего силы прилипания их в суспензии глин в присутствии полизэлектролита практически постоянны до концентрации, с которой в растворе начинается процесс формирования субмолекулярной структуры полизэлектролита.

В области адсорбционного насыщения глин полизэлектролитами F_{min} и F_{max} начинают увеличиваться, и F_{max} падает. Это связано с тем, что при повышенении

содержания полизлектролита в поверхностном растворе под влиянием адсорбционного поля твердой фазы образуются надмолекулярные структуры, которые из-за усиления связей между функциональными группами макромолекул обладают меньшей гидрофильностью по сравнению с одиночными макромолекулами. Вследствие этого уменьшается гидратная оболочка на поверхности частиц, что приводит к возрастанию $F_{\text{пр}}$ и $F_{\text{от}}$.

Поглощение ассоциатов фибрilla (гидрофильные полимерные агрегаты) глинами способствует увеличению толщины адсорбционного слоя, что проявляется в снижении наименьшей и средней сил отрыва. При более высокой концентрации раствора полизлектролита сила прилипания ($F_{\text{пр}}$) не зависит от содержания полизлектролита в единице объема раствора.

Таким образом, силы прилипания в системе глина—вода—К-4 постоянны, если в местах контакта находятся макромолекулы (макропоны) полизлектролита; увеличиваются с образованием в поверхностном растворе фибрilla, состоящих из пучков выпрямленных макромолекул, и уменьшаются с агрегированием фибрilla в местах контакта.

Полимерная фаза, выделившаяся на поверхности частиц глины или в местах контакта в случае мелиорации подвижных песков, не только склеивает частицы твердой фазы системы глина—вода—полимер, но и способствует увеличению взаимодействия полимера с полимером, что приводит к переходу адгезионного взаимодействия в когезионное. Другими словами, этот переход возможен, если коагуляционные скелеты частиц происходят в растворе с концентрацией, достаточной для пространственного структурообразования. Этим и объясняется наблюдаемая отрицательная адсорбция глинами полизлектролитов (см. рис. 21).

Влияние кристаллической структуры глинистых минералов, валентности поглощенных глинами катионов на силы прилипания частиц твердой фазы системы глина—вода—К-4 заметно только при тех значениях концентрации раствора полизлектролита, начиная с которых изменяются величины сил коагуляционного взаимодействия; значения этих величин на графической зависимости F - C смещаются (хотя и незначительно) в сторону больших концентраций с ростом гидрофильности глин и количества в глине поливалентных катионов,

вступающих в обменную реакцию с ионами натрия полизлектролита К-4, в результате чего образуются нерастворимые в воде соединения полимера К-4 [428].

Силы прилипания одинаковых по природе частиц зависят и от вида полизлектролитов. Определение работы отрыва склеенных субстратов (силикатное стекло, оргстекло — плексиглас, нержавеющая сталь) через 5 мин после склеивания с помощью растворов полизлектролитов образцов показало, что существует прямая связь между смачиваемостью субстратом и склеивающей способностью полизлектролита — чем больше смачивается водой субстрат, тем сильнее он склеивается полизлектролитом; вязкостью раствора полизлектролита и его склеивающей способностью — чем больше остаточных растворов полизлектролита, тем прочнее образуется связь между частицами песка и поверхностью субстрата через прослойки полизлектролита [429, 430]. Сила склеивания между контактирующими частицами песка через полизлектролит определена с помощью числа адгезии, вычисленного через отношение числа оставшихся на поверхности стеклянной пластинки частиц песка после воздействия центробежной силы, к числу первоначально находившихся на испытываемой поверхности частиц [16, 28, 45, 431].

Сила отрыва F-склеенных частиц от поверхности частиц субстрата под воздействием центробежных сил в случае воздушной среды вычисляется [34] по уравнению $F = V \cdot \rho \cdot X \cdot W^2$, где V — объем частицы; ρ — плот-

ность частицы; W — угловая скорость; $W = \frac{2\pi n}{60}$; n — чи-

ло оборотов за единицу времени; X — расстояние между запыленной поверхностью и осью вращения.

Для случая, когда между контактирующим субстратом находится раствор, в приведенное уравнение нами [16] введен дополнительный множитель, после чего формула для вычисления силы отрыва склеенных частиц приобретает вид

$$F = V \cdot \rho \cdot X \cdot W^2 \cdot l \cdot \exp(nC) = K l^{nC},$$

где l — основание натурального логарифма; C — концентрация раствора; n — коэффициент, характеризующий адгезионную способность склеивающего агента.

Последний определяется графически из прямолинейной зависимости логарифма среднестатистической величины числа адгезий ($\lg y$) от логарифма концентрации ($\lg C$) раствора полиэлектролита.

Искомая величина F , как и y , зависит от формы и размера частиц. Расчетным путем установлено, что сила склеивания шарообразных частиц пропорциональна дисперсности, и склеивание возможно лишь с диаметром частиц менее 0,1 мм [407]. Авторами [432] установлена зависимость прочности связи между частицами почвенных дисперсий от удельной поверхности образца и расходом полимера.

Среднестатистическое число адгезии находится в обратной зависимости от размера песчаных частиц [28]. Это объясняется уменьшением поверхности контакта и возрастанием собственного веса частицы, что ощущимо при увеличении воздействующей на контакт центробежной силы.

Число n целиком зависит от природы склеивающего агента и является его средством к поверхности стекла и песчаных частиц. Средство склеивающих частиц n равно 5,2; 4,0; 2,7 для полимера К-4; ПАА, дивинилстирольного латекса [43] и 0,2; 2,3; 2,4 и 2,6 — для К-9, К-6, Сунак-2, ВРП-1 [28] соответственно.

Согласно проведенным расчетам, сила отрыва склеенных частиц (обратная величина ее представляет силу склеивания между контактирующими частицами), как и число адгезии, растет с концентрацией склеивающих веществ — растворов полиэлектролитов (табл. 21). Экспериментально найденные величины хорошо согласуются со значениями зависимости $\lg F = \lg K + 2,7nC$. Разумеется, это положение справедливо в том случае, когда адгезия не переходит в когезию.

Из приведенных на рис. 5 зависимостей $\lg y - \lg C$ видно, что для полиэлектролитов К-9 и К-6 величина $\lg y$, начиная с определенного значения концентрации склеивающего агента, становится независимой от дальнейшего повышения значения $\lg C$. По-видимому, это связано с выделением полиэлектролита в виде отдельной фазы в местах контакта, что соответствует появлению когезионных сил взаимодействия.

Предложен ряд способов установления границы перехода адгезионных сил взаимодействий в когезион-

ные в процессе склеивания твердых частиц с помощью полиэлектролитов [433, 435]. Они основаны на нахождении отклонения от линейной зависимости свойств, обработанных полиэлектролитами дисперсных систем от содержания в них полимера. Например, в области адгезии теплота набухания связнодисперсных систем практически не зависит от концентрации полиэлектролита, а в области когезии растет с увеличением дозы полимера. Значение концентрации раствора полиэлектролита, когда адгезионные взаимодействия переходят в когезионные, является оптимальным для создания связнодисперсных систем.

Влияние полиэлектролитов на устойчивость полидисперсной сuspензии песка

Суспензии песка в воде могут возникнуть при достаточном содержании влаги или образовываться локально в процессе мелиорации подвижного песка водными растворами химических закрепителей. Для суспензий песка характерны процессы колматации — «смывание» мельчайших глинистых или иллистых частиц в поры песка для уменьшения водопроницаемости; седimentация — самопроизвольное осаждение частиц твердой фазы с формированием осадка определенной плотности; флотация, являющаяся сложным физико-химическим процессом, на который влияют все факторы, управляющие агрегированием частиц и развитием коагуляционных структур. Полиэлектролиты или другие примеси в системе вода—песок, входя в адсорбционные слои, оказывают существенное влияние на процессы структурообразования.

Изучая действие поверхностно-активных веществ на агрегативную устойчивость гидросуспензии кварца в зависимости от pH-среды авторы [435] установили, что под действием поверхностно-активных веществ различной концентрации гидродисперсия кварца либо флокулирует (нарушение агрегативной устойчивости), либо стабилизируется. Анионактивные или поверхностно-активные вещества независимо от рода оказывают стабилизирующую действие. Изменением pH водной суспензии кварца можно регулировать устойчивость и эффективность действия поверхностно-активных веществ.

На рис. 25 представлены данные по изменению устойчивости флюоритовых пульп под действием полимера К-4 [436]. Видно, что при расходе полизиэлектролита 1 и 4 г/м³ твердая фаза осаждается быстрее, чем исходная, что обусловлено связыванием частиц твердой фазы с помощью структурно-кинетических единиц полизиэлектролита в агрегаты, разно нарушаются устойчивость суспензий. При больших дозах полизиэлектролита вследствие процесса стабилизации суспензии приобретают некоторую устойчивость.

Представляет интерес результаты исследования совместного действия полизиэлектролитов серии К и силиката натрия на агрегативную устойчивость гидросуспензии монокоминералов: эффективность действия полизиэлектролитов снижается в присутствии силиката натрия на устойчивость суспензии коруида, флюорита, кальциита и берита. Предварительное модифицирование поверхности частиц минералов моносиликатом еще сильнее снижает эффект действия полизиэлектролитов [419]. В этой же работе отмечено влияние электролитов и pH-среды на устойчивость системы минерал—вода—полизиэлектролит. Действие отдельных добавок рассматривается в порядке их добавления в систему с учетом взаимодействия между электролитами и полизиэлектролитами.

Исследования устойчивости суспензии песка в воде или в растворах полизиэлектролитов по скорости осаждения частиц и по объему сформированного при этом осадка показали, что приготовленные методом пластинирования водные суспензии образцов являются полидисперсными системами, не обладающими седиментационной (кинетической) устойчивостью. Величина объема осадка, скорость его формирования зависят от вида образца песка и полизиэлектролита. Как и следовало ожидать, пески оседают быстро. Наличие глин в песке приводит к некоторому замедлению этого процесса. Скорость осаждения частиц глины тем меньше, чем ближе их состав к составу бентонитовой глины, богатой минералами монтмориллонитовой группы.

В связи с этим наряду с изучением системы песок—полизиэлектролит—вода изучена и система глина—вода—полизиэлектролит. Причем для проб глины Южно-Туркменского экономического района преимущественно гидрослюдисто-монтмориллонитового состава было отмечено

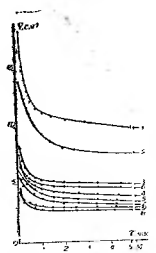


Рис. 26. Кривые $V-t$ кинетики формирования осадка в 10%-ной суспензии барсакельмесской глины в воде (1) и в $9.7 \cdot 10^{-4}$ (2); $1.9 \cdot 10^{-3}$ (3); $7.8 \cdot 10^{-3}$ (4); $1.5 \cdot 10^{-2}$ (5); $6.2 \cdot 10^{-2}$ (6); $1.2 \cdot 10^{-1}$ (7); $5.0 \cdot 10^{-1}$ (8) и $8.1 \cdot 10^{-1}$ (9)-процентных растворах полизиэлектролита К-9.

очень незначительное набухание. Механический состав в основном совпадает с глинистой фракцией песка. Водные суспензии глины Туркменистана, которыми мы располагали в противоположность водной суспензии монтмориллонитовых (бентонитовых) глин, отличались отсутствием кинетики. В качестве примера (рис. 26) приведено кинетическое формирование осадка в полидисперсных суспензиях барсакельмесской глины в воде и в растворе полизиэлектролита К-9. Видно, что скорость формирования осадка сильно зависит от содержания полимера в единице объема раствора.

Нахождением точек пересечения оси абсцисс с перпендикуляром, опущенным из точки пересечения касательных, проведенных к начальным и конечным прямолинейным участкам кривых $V-t$, установлено время t_0 , за которое заканчивается в основном формирование осадка в суспензиях. Значение t_0 в основном имеет сложную зависимость от концентрации полизиэлектролита. С ростом содержания полимера значение t_0 сперва падает, затем имеет круглый подъем и, проходя через максимум, резко падает (рис. 27).

Причем для глин, обладающих большей

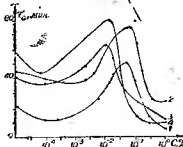


Рис. 27. Зависимость времени формирования осадка в суспензиях глины Котурдене (1), Барсакельмес (2), Оглыамы (3), Вынскай (4) от содержания в них полизиэлектролита К-9.

теплотой смачивания водой, значение концентрации раствора полимера, при котором имеет максимальное значение время формирования осадка, смещается в сторону больших концентраций раствора полиэлектролита, это является подтверждением того, что с ростом гидрофильности природных минеральных сорбентов увеличивается и расход полимера для максимального агрегирования частиц твердой фазы [16, 396].

Итак, независимо от вида образца и полиэлектролита последние при малых дозах увеличивают скорость формирования осадка, при средних—замедляют, а при больших — снова ускоряют. Если уменьшение то связано с процессом агрегирования, а увеличение — со стабилизацией, то повторное уменьшение значения то при больших дозах связано с выпадением относительно крупных, не удерживаемых объемной структурой полимера, частиц.

Другими словами, зависимость значения объема осадка суспензии песка, глин от концентрации раствора полиэлектролита следует разбить на область агрегирования, переходную область и область стабилизации [16, 225]. Значение концентрации растворов полиэлектролитов, при которой процесс агрегирования переходит в процесс стабилизации, зависит от механического состава образца: чем меньше размер частиц, тем больше расход полимера для полного агрегирования, что совпадает со значением концентрации раствора полиэлектролитов, где образуются ассоциаты из надмолекулярных структур полиэлектролита (для системы песок — полиэлектролит — вода) и агрегируются ассоциаты (для системы глина — полиэлектролит — вода) надмолекулярных образований.

Причем значение концентрации растворов полиэлектролитов в области стабилизации тем меньше, чем больше вероятность образования структуры в растворах полиэлектролитов.

Величина осадка песка изменяется меньше, чем глины. Это связано со свойствами поверхности их частиц по отношению к воде и степенью развитости рабочей поверхности: чем больше величины удельной поверхности образца по азоту (и даже по воде), тем больше и относительное изменение в значениях объема осадка. Эта искомая величина зависит и от вида полиэлектролита. Так, максимальное значение разности

объема осадка в воде и в растворах полиэлектролитов для барсакельмесских глин в растворе К-9 равно $10,5 \text{ см}^3$; К-6 — $5,5$; Сунак-2 — $2,0$, и ВРП-1 — $1,0 \text{ см}^3$ и для песка — $0,5$; $1,0$; $0,7$ и $0,5 \text{ см}^3$ соответственно.

Работы по изучению полидисперсной суспензии песка и корки в воде показали, что полиэлектролит в песке (корке) положительно влияет на величину объема осадка.

Так, величина объема осадка полидисперсной суспензии в воде песчаной корки с нанесением на поверхность песка 0,5%-ного раствора полиэлектролита К-9 при расходе $2 \text{ л}/\text{м}^2$ составляет $1,6 \text{ см}^3$, а необработанного песка — $1,3 \text{ см}^3$. Относительное увеличение объема осадка суспензии песка составляет примерно 15% после его обработки полиэлектролитами и связано с тем, что в данном случае, по-видимому, имеет место интермицеллярное набухание полимерной фазы, выделившейся на поверхности или в местах контакта частиц. Следовательно, структура (корка), созданная с помощью полимеров, имеет определенную прочность и не разрушается под расклинивающим действием среди (воды).

Итак, формирование осадка связано с образованием агрегатов вследствие связывания частиц твердой фазы друг с другом посредством полимерного мостика [16, 437]. Осевший осадок занимает большой объем. При этом частицы сохраняют то случайное взаимное расположение, в котором они оказались при соприкосновении. В случае суспензий песка образуется максимальная компактная укладка вследствие их агрегативной устойчивости. Роль полиэлектролитов в этих процессах сложна и в основном сводится к изменению природы поверхности (заряд) частиц твердой фазы в результате адсорбционных процессов. Более точные данные, выясняющие детали формирования осадка, изменение относительной доли частиц с оптимальным радиусом в суспензиях в присутствии полимера получены на основе метода седиментационного анализа.

Изменение степени дисперсности, под которой следует подразумевать отношение величин радиусов максимального больших частиц к величине радиуса предельно малых частиц полидисперсной суспензии глин и песка под влиянием полиэлектролитов, является следствием взаимодействия полимеров с частицами мине-

ральных дисперсных систем. При этом в зависимости от концентрации полиэлектролита происходит либо агрегатообразование в системе, вследствие чего система теряет кинетическую и агрегативную устойчивость, либо стабилизация, благодаря чему система приобретает как агрегативную, так и кинетическую устойчивость. Повышение агрегативной устойчивости обусловлено покрытием поверхности частиц полимерной прослойкой. Следовательно, взаимодействие между частицами твердой фазы осуществляется через полимерный слой. С этим связано и сильное снижение скорости формирования осадка.

Исследования показывают, что под влиянием полиэлектролитов происходят коренные изменения значений степени дисперсности и других величин, связанных с размером частиц суспензии.

Данные в табл. 36 вычислены по [60] и отражают влияние концентрации раствора полиэлектролита на степень дисперсности суспензий (δ), размеры максимальных (r_m), предельных минимальных (r_{np}), наиболее вероятных средних (r_n) частиц, половину времени седиментации τ_0 . Изменение седиментометрических характеристик в растворах полиэлектролитов сложно. Сначала они увеличиваются с ростом концентрации раствора полимера, а в растворах с большим содержанием полиэлектролита, наоборот, уменьшаются.

Если в области разбавленных растворов происходят процессы, связанные с агрегированием частиц суспензии, то в области больших концентраций растворов полимеров происходит распад ранее агрегированных частиц и стабилизация относительно мелких частиц. Эти изменения тем ощущимее, чем больше содержание полимера в единице объема раствора. Причем оно характерно для всех лам изученных дисперсных систем. Следовательно, независимо от вида глины, песка в их водной суспензии в присутствии полиэлектролита происходит агрегирование под влиянием полимера, не зависящее от вида частиц твердой фазы. Это указывает на общность механизма взаимодействия частиц твердой фазы с полиэлектролитами: взаимодействие между полиэлектролитами и частицами твердой фазы осуществляется через гидратный слой. При внесении навески порошка в раствор полиэлектролитов в первую очередь идет процесс смачивания частиц твердой фазы водой с

Таблица 36

Концентрация раствора полиэлектролита, г/100	Колурдинская глина						Вашингтонская глина						Органическая трепелевидная глина			
	V_m	V_n	τ_0	Q_m	σ	V_m	V_n	τ_0	Q_m	σ	V_m	V_n	τ_0	Q_m	σ	
Глина от концентрации раствора полиэлектролита К-9																
Вода	46,33	0,94	14,18	100,1	29,5	10,14	1,51	10,41	122,4	2,88	20,94	3,12	4,62	92,30	3,06	
4,8·10 ⁻⁴	7,17	1,03	12,50	125,0	2,63	9,36	1,39	11,25	150,0	2,70	16,20	2,41	6,00	120,0	2,92	
1,9·10 ⁻³	9,61	1,45	9,15	101,7	2,97	11,88	1,76	8,88	148,1	2,75	12,54	1,96	7,72	90,90	3,10	
7,8·10 ⁻³	2,61	0,38	34,28	171,4	2,63	19,35	2,85	5,48	186,4	2,76	4,53	0,67	21,4	142,8	2,53	
8,1·10 ⁻³	4,77	0,70	18,75	150,0	2,71	8,55	1,27	12,34	176,4	2,61	32,70	4,84	2,96	84,50	3,11	
1,2·10 ⁻¹	1,80	22,3	50,00	200,0	2,53	7,05	1,05	15,0	125,0	2,84	8,07	1,20	12,0	120,0	2,94	
5,0·10 ⁻¹	2,58	0,38	34,57	101,7	3,00	18,00	2,68	5,88	78,43	3,19	3,21	0,47	30,0	600,0	1,43	
1,0·10 ⁰	0,48	0,57	187,5	214,3	2,52	0,19	254,5	57,0	150,0	1,85	X	X	X	X	X	

Примечание. X — сущестование отрицательной глины в 1%-ном растворе К-9 едементационно устойчива.

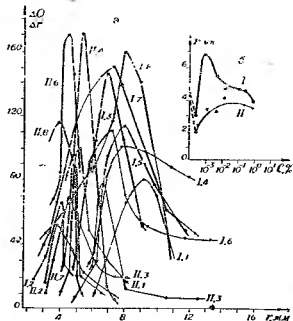


Рис. 28. Дифференциальные кривые распределения частиц суспензии (а) глины Котурдене (I), Барсакельмес (II) в воде (I) и в $4.8 \cdot 10^{-4}$ (2); $1.9 \cdot 10^{-3}$ (3); $7.8 \cdot 10^{-2}$ (4); $3.1 \cdot 10^{-2}$ (5); $1.2 \cdot 10^{-1}$ (6); $5.0 \cdot 10^{-1}$ (7) и $1.0 \cdot 10^0$ (8)-процентных растворах полиэлектролита К-9 и кривые (б), образующие зависимость изменения размеров наиболее вероятнейших частиц суспензии от концентрации раствора полимера К-9.

образованием сольватного (гидратного) слоя. Затем из объемной фазы в этот слой диффундируют структурно-кинетические единицы полиэлектролита и адсорбционно закрепляются на поверхности твердой фазы. Через них в дальнейшем осуществляется контакт между частицами твердой фазы, в результате из первичных частиц происходит образование вторичных агрегатов. Эти процессы в конечном счете небезразличны для кинетики формирования агрегатов и устойчивости суспензии.

На рис. 28 приведены кривые седиментации суспензии барсакельмской глины в воде и в растворах полиэлектролита К-9.

За единицу времени с ростом содержания полимера в единице объема раствора увеличивается количество

выпавших осадков (кривые 1, 2 и 3), а при больших — уменьшается (кривые 1 и 8).

Итак, процесс агрегирования продолжается до оптимальной дозы полиэлектролита, при которой наряду с ним происходит и процесс стабилизации частиц суспензий. Значение количества полиэлектролита в области оптимальной дозы колеблется от 0,1 до 0,6% в зависимости от вида глины, песка и полимера, веса воздушно-сухой навески образца.

Изменение степени дисперсности суспензии под влиянием полиэлектролитов К-9, К-6, Сунак-2 и ВРП-1 обусловлено преобладанием в области агрегирования доли частиц с наибольшим размером, а в области стабилизации — с наименьшим.

Расчеты на основе кривых седиментации глин из месторождений Барсакельмес в полиэлектролите К-9 показали, что максимальные значения радиусов наиболее вероятнейших частиц на дифференциальных кривых распределения по мере роста концентрации сначала смещаются в сторону увеличения размера частиц, а затем в сторону уменьшения.

Высота положения максимума больше и ширина распределения уже в растворах К-9 средней концентрации. Другими словами, согласно теории седиментации, происходит стремление перехода суспензии из полидисперсного состояния в монодисперсное. Если построить зависимость значения радиуса, соответст-

вующую максимуму из кривых $\frac{\Delta Q}{\Delta t}$ — R от кон-

центрации полиэлектролита, то получатся кривые, подобные рис. 27, зависимости величины объема осадка от концентрации полиэлектролита (рис. 28б). Сопоставив значения концентрации растворов полиэлектролитов, при которых имеются экстремальные точки на кривых R — C с гидрофильностью твердой фазы, можно заключить, что чем больше величина теплоты смачивания образца водой, тем больше и расход полимера для максимального агрегирования частиц суспензии.

Корреляция между теплотой смачивания водой образца и расходом полиэлектролита для оптимального агрегирования в [217] объясняется тем, что когда величина теплоты смачивания наибольшая, на поверхности частиц твердой фазы образуется достаточно толстая гид-

ратная оболочка, куда из объемного раствора диффундируют структурно-кинетические единицы полиэлектролита. По-видимому, объединяющей величиной в этом процессе для различающихся по природе образцов является величина теплоты смачивания, следовательно и не гидрофильность, а величина удельной поверхности образца, так как гидрофильность прямо связана с величиной удельной поверхности образца. Это является дополнением к объяснению корреляции между расходом полимера для максимального агрегирования частиц и физико-химическими свойствами подвергающихся агрегированию образцов, и объясняет имеющуюся разницу в один порядок в величинах расхода полимера для оптимального агрегирования песка и глины.

Структурообразование в концентрированных суспензиях песка в присутствии полиэлектролитов

Концентрированная водная суспензия песка, как и дисперсии подвижного песка, является неоструктурированной, но в отличие от последней — слабосвязанной, в которой частицы дисперской фазы связаны друг с другом через оболочки, а также капиллярными силами, возникающими у мениска воды в стыках контакта смачивающей поверхности. Наличие растворимого в воде полиэлектролита в концентрированной суспензии песка способствует переходу слабосвязанной системы в такую, где связи между частицами твердой фазы зависят от концентрации в системе полиэлектролита, полимерных макромолекул (макрономами) или полимерных цепей-тигей. Такая система является оструктуриванной, обладает в той или иной степени упругоэластичными и другими механическими свойствами.

Среди множества свойств оструктуренных систем наиболее простой, но практической важной механической характеристикой является пластическая прочность структуры P_m . Для этой цели П. А. Ребиндером предложен метод конического пластометра [438, 439]. Сущность этого метода состоит в измерении кинетики погружения конуса в данную систему под действием постоянной нагрузки при не очень малых скоростях деформации [319]. Устройство использованного нами

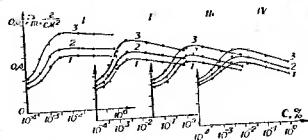


Рис. 29 Зависимость P_m от концентраций полиэлектролитов К-9 (I), К-6 (II), Сунак-2 (III) и ВРП-1 (IV) через 1(1), 2(2) и 30(3) дней после приготовления концентрированных суспензий песка из Котурдепе

прибора подробно описано в [440]. Концентрированная суспензия для определения P_m готовилась всегда в одинаковых условиях методом пластицификации. Содержание меллоранта колебалось от $5 \cdot 10^{-4}$ до 10^{-1} г в 100 г сухой навески образца. Исследование подвергали и концентрированные водные суспензии глин, взятые из того же района, что и пески.

Работы показали, что значения P_m возрастают во времени (рис. 29). Причем прирост прочности структуры концентрированной суспензии глин и песка под влиянием полиэлектролитов в начальный период контакта частиц твердой фазы со структурно-кинетическими единицами полиэлектролитов К-4, К-6, К-9, Сунак-2, ВРП, ПЛА и др. происходит значительно быстрее, чем в последующие 30 дней.

Переход от быстрого темпа нарастания пластической прочности к медленному найден по графику путем опускания перпендикуляра на ось абсцисс из точки пересечения касательных кривых P_m — t . При этом установлено, что этот переход в основном заканчивается за 24–36 мин в случае пасты песка и 54–62 мин для пасты глин. Причем переход от быстрого темпа нарастания пластической прочности песка и глины из Барсакельмеса быстрее, чем песка и глины из Котурдепе. Это связано с механическим и солевым составом этих образцов. В суспензиях, приготовленных в растворах К-9, этот переход осуществляется быстрее, чем в пастах, растворах, приготовленных с помощью полиэлектролита ВРП-1.

Таблица 37

Данные времени (мин), по истечении которого имеет место переход от быстрого темпа нарастания P_m к медленному

Полиэлектролит	Котурлесе		Барсакельмес	
	глина	песок	глина	песок
К-9	56	36	54	24
К-6	60	36	62	36
Сулак-2	58	39	60	30
ВРП-1	60	30	58	32

Независимо от природы полимеров, времени контакта частиц твердой фазы со структурно-кинетическими единицами растворов полимеров в начальной области концентрации добавки значение P_m супензии глины и песка практически постоянно или увеличивается незначительно. Начиная с концентрации $3,9 \cdot 10^{-3}$ г/100 и выше сильно увеличивается P_m супензии, что обусловлено лавинным структурообразованием в исследуемых системах. Дальнейший рост содержания полиэлектролитов уменьшает значения пластической прочности изученных систем. Это связано с усилившимся связи между функциональными группами макромолекул полиэлектролитов, вследствие чего, как отмечено в [428], сила прилипания, осуществляемая через наибольший гидратный слой [424] частиц твердой фазы, уменьшается. В данном случае происходит полная стабилизация частиц твердой фазы полимером. Максимальное значение P_m глинистой и песчаной супензии зависит от вида добавки. Так, в случае К-9 максимальное значение P_m соответствует содержанию 0,062 г полимера в 100 мл, в случае К-6 — 0,061 г. Максимальное значение P_m песчаной супензии в 3-4 раза меньше, чем P_m системы глина—вода—полиэлектролит. P_m для песчаной супензии, содержащей $9,7 \cdot 10^{-4}$ г/100 мл полимера К-9, равно 0,30 г/см²; при увеличении концентрации полимера до $1,5 \cdot 10^{-2}$ % пластическая прочность супензии увеличивается до 0,70 г/см². Для К-6, ВРП-1 при этой же концентрации P_m меняется в пределах 0,28—0,58, 0,25—0,55 и 0,22—0,50 г/см² соответственно. Другими словами, полимеры, обладающие хорошей адсорбируемостью, больше способствуют увеличению

пластической прочности концентрированной супензии глины и песка.

Таким образом, изменение пластической прочности супензии глины и песка в присутствии органических добавок имеет сложный вид и его можно разбить на область агрегирования, где P_m супензии увеличивается с ростом концентрации добавок; переходная область, в которой паряду с максимальным агрегированием частицы твердой фазы адсорбционно насыщаются и, наконец, область стабилизации, где P_m уменьшается с увеличением содержания полимера в системе.

Степень влияния полиэлектролитов на структурообразование в супензии глины и песка определена [216, 421, 441] на основе экспоненциальной зависимости процесса агрегирования от концентрации полиэлектролита, а именно: $P_m = alxP(nC) = al^nC$, где a и n — коэффициенты, зависящие от природы твердой фазы и полиэлектролита; l — основание натурального логарифма, C — концентрация раствора полимера. Определение n на основе графической зависимости $\lg P_m — C$, показало, что величина n в начале контакта растет быстро, а затем медленно. Поскольку n определяется как тангенс наклона линейной зависимости $\lg P_m — C$ можно допустить, что n характеризует и степень взаимодействия частиц твердой фазы друг с другом через полимерные прослойки или показывает на средство частиц твердой фазы концентрированной супензии с полимером. В случае водных дисперсий глины и песка n тем больше, чем большее гидрофильность твердой фазы, а в случае дисперсии в водных растворах полиэлектролитов численное значение n пропорционально увеличивается с ростом степени оструктуренности в растворе полиэлектролита.

Следовательно, чем больше взаимодействие между макромолекулами или другими структурно-кинетическими единицами полиэлектролита, тем больше вероятность взаимодействия между макромолекулами этого полимера и частицами твердой фазы, a , значит, тем больше и число контактов.

Связанодисперсные системы-пасты, дисперсии порошкообразных твердых тел обладают способностью влиять на воду. Этот процесс сопровождается ослаблением контактных взаимодействий между частицами твердой фазы в результате расклинивающего действия

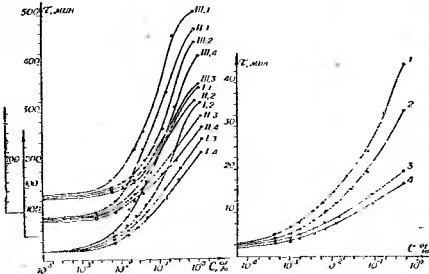


Рис. 30. Зависимость размокания котурдепинской (I), барзакельмесской (II), видянской (III) глины (A) и аланусского песка (Б) от концентрации растворов К-9 (1), К-6 (2), Сунак-3 (3), ВРП-1 (4).

воды на контакт, а следовательно снижением показателей механических свойств структуры концентрированной суспензии.

На рис. 30 приведена зависимость времени, необходимого для разрушения структуры глины и песка от концентрации полизеялтролитов. Структура создана добавлением пробы (образца) в раствор полимера до того значения соотношения Т:Ж, при котором образовавшееся тесто не прилипает к рукам при раскатывании [442]. Видно, что чем больше содержание полизеялтролита в растворе, тем больше нужно времени для размокания. Причем время размокания практически постоянно до концентрации растворов полизеялтролитов 0,05% и резко возрастает с концентрацией растворов 0,1%. То есть искомая величина начинает резко увеличиваться при образовании пространственной структуры в растворе полизеялтролита. Паста размокает труднее, если она приготовлена с помощью полизеял-

тролита К-9, и легче в растворах ВРП-1. Время разрушения структуры на основе песка на порядок меньше, чем глины.

Механизм размокания пасты в воде, по-видимому, сводится к следующему. При контакте пасты с водой, последняя диффундирует в структуру и, таким образом, находится в оструктуренной системе в виде интермиссии-полиэлектролитной жидкости. Жидкость оказывает расклинивающее действие в местах контакта частиц твердой фазы. Вследствие ослабления последнего связывания система переходит в псевдосвободнодисперсионную систему.

В случае связывания системы песка контакт между частицами осуществляется через гидратные оболочки или двойной электрический слой, образованный за счет диссоциации кремниевой кислоты, образовавшейся при взаимодействии SiO_2 и H_2O . Наличие полизеялтролита в местах контакта придает системе определенную прочность, о чем свидетельствует увеличение времени размокания. Последняя увеличивается и с ростом степени дисперсности системы и, значит, с ростом степени несовершенства кристаллической решетки. Именно этим и объясняется относительное увеличение времени размокания глины, богатых монтмориллонитом (глина из Барзакельмеса). Наличие полизеялтролита в этом случае придает контакту большую прочность, вследствие чего время размокания сильно возрастает. При этом надо учитывать возможность образования трехмерной структуры в самом полимере. Тот факт, что полизеялтролиты по их способности влиять на размокание паст, придавая прочность контактам частиц глины и песка располагаются в ряд К-9 > К-6 > Сунак-2 > ВРП-1, совпадающий с их молекулярной массой; то, что резкое увеличение значения времени полного размокания совпадает с концентрацией, с которой начинаяется выделение полимерной фазы в местах контакта частиц, позволяют заключить, что прочность структуры паст тем больше, чем больше способность полизеялтролита к оструктурению.

Таким образом, с помощью метода, позволяющего определить время размокания почвенной пробы неразрушенной структуры, можно оценить влияние полизеялтролитов на прочность коагуляционной структуры связывания системы глины и песка. Установлено,

что полиэлектролиты обеспечивают прочность контакта, если содержание их достаточно для покрытия поверхности частиц и заполнения пространства между ними. По способности обеспечивать прочность контакта между частицами твердой фазы в связнодисперсной системе они располагаются в такой же последовательности, что и по влиянию на седиментационную устойчивость системы глина—вода, песок—вода.

ГЛАВА IV

СОЗДАНИЕ СВЯЗНОДИСПЕРСНЫХ СИСТЕМ НА ПОВЕРХНОСТИ ПОДВИЖНЫХ ПЕСКОВ И ИЗУЧЕНИЕ ИХ СВОЙСТВ

В данной главе изложены в основном экспериментальные материалы, собранные при использовании дисперсий (растворов, суспензий, эмульсий) мелиорантов для перевода поверхности свободнодисперсной системы песка в связнодисперсную в лабораторных условиях и для создания песчаной корки на поверхности подвижных песков в полевых условиях. Сущность метода получения связнодисперсной системы песка, которая является частью мероприятия по мелиорации подвижных песков, заключается в опрыскивании предварительно выравненной поверхности песка дисперсиями мелиорантов. При этом опрыскивателями могут быть самые разнообразные приспособления и механизмы, обеспечивающие достаточную равномерность попадания мелиоранта на песчаную поверхность.

Состав рабочих дисперсий мелиорантов и способы их нанесения на поверхность подвижных песков

Составы и способы приготовления многокомпонентных мелиорантов на основе нефтепродуктов

Наиболее ценные фиксирующие вещества в нефтепродуктах — смолисто-асфальтеновые соединения. Особенно богаты этими соединениями битум, гудрон и мазут, клеящие свойства которых обусловлены популярностью смолисто-асфальтеновых соединений. В битуме, а осо-

бенно в мазуте и нефти, находится значительное количество легких и тяжелых масел, выполняющих роль пластификатора для смол и асфальтолов. Легкие и тяжелые масла, являясь неполярными веществами, со временем под действием кислорода воздуха и солнечных лучей окисляются, приобретая некоторую полярность, что приводит к появлению заметных когезионных сил.

По современным физико-химическим представлениям, такие нефтепродукты, как мазут, гудрон, битум и их смеси с нефтями, — это сложные коллоидные системы, в которых смолы представляют поверхности-активные вещества, асфальтены — дисперсную fazу, выполняющие роль пластификатора, а масла — дисперсную среду, основное значение которой — повышение пластичности без снижения вязкости всей смеси. Например, солярное масло, не являясь пластификатором для битума, является растворителем для масел, присутствующих в битуме, и одновременно понижает вязкость всей смеси [67]. Покрытие, полученное путем пропитки песка соляро-битумным раствором, не обладает достаточной пластичностью, быстро стареет и покрывается трещинами. Песок, обработанный раствором битума в автобензине [141], позволил получить твердую, прочную корку, но подверженную растрескиванию в результате неравномерной концентрации напряжений по глубине пропитанного песка.

Хорошие результаты дают следующие смеси: битум (дорожный) — 5—10%, мазут (M-40, M-60, M-80) — 30—40%, нефть — 55—60%; мазут (M-40, M-60, M-80) — 30—50%, нефть — 50—70%, гудрон — 20—40%; нефть — 60—80%; горячий мазут — (60—85°) [165].

Известно, что состав, вязкость и другие свойства отработанных нефтепродуктов изменяются в стадии их обработки.

Масла в процессе их работы в машинах и аппаратах под действием ряда факторов (кислород воздуха, температура нагрева, износ металлов и т. п.) окисляются, термически разлагаются, загрязняются продуктами износа, обводняются. В результате происходит изменение физико-химических свойств масел (увеличение кислотности, вязкости, попадание механических примесей в воды) и ухудшение их качества. Такой сложный процесс физико-химического изменения состава и

свойств называется старением масел. Старение масла приводит к тому, что при некотором предельном содержании в нем продуктов старения масло перестает удовлетворять техническим требованиям, предъявляемым к ним. Масла, утратившие в процессе эксплуатации свои качества, называются отработанными. Отработанное масло требует замены свежим, т. к. дальнейшее его применение в машинах и аппаратах нарушает нормальную работу последних, увеличивает потери энергии на трение, повышает износ деталей, вызывает коррозию и может явиться причиной аварии машин и аппаратов [443].

Отработанные нефтепродукты собираются предприятиями, организациями, учреждениями, колхозами и совхозами и сдаются нефтеснабжетовым организациям по ГОСТ 21046—75.

Отработанные нефтепродукты делятся на группы.

Масла моторные (автомобильные, дизельные и авиационные отработанные) (ММО), в том числе моторные, применяемые в трансмиссиях, и смеси их с индустриальными маслами.

Масла индустриальные, отработанные (МИО), в том числе выделенные из отработанных эмульсий, смеси индустриальных масел, турбинные, компрессорные, гидравлические, вакуумные, приборные, трансформаторные, конденсаторные, кабельные и смеси их с индустриальными.

Смеси нефтепродуктов обработанных (СНО), применяющиеся в качестве промывочных жидкостей — бензин, в том числе уайт-спирит, керосин, дизельное топливо, нефтяные масла, не отвечающие требованиям групп ММО и МИО, трансформаторные масла (типа нигрол, ТАП-15 и др.), смеси нефти и нефтепродуктов, собранные при зачистке резервуаров, трубопроводов, железнодорожных цистерн, нефтеналивных судов и другого оборудования.

Из отработанных нефтепродуктов для закрепления подвижных песков в опытно-производственных условиях (для защиты основания опор линии электропередач, а также для закрепления откосов вдоль автомобильной дороги) использованы отработанные трансформаторные масла (ММО) и смеси отработанных нефтепродуктов (СНО).

Отработанное трансформаторное масло является одновременно растворителем, разбавителем и пластификатором для битума. Растворяя битум в трансформаторном масле, можно получить гомогенный раствор необходимой консистенции и нанести его на песчаную поверхность путем разбрзгивания.

Отработанное трансформаторное масло, а также масла группы СНО могут быть использованы для приготовления фиксирующих растворов с битумом и топочным мазутом. Топочный мазут не нуждается в пластифицирующих добавках, так как содержит их в своем составе в виде средних и тяжелых масел. Поэтому отработанные масла в смесях с мазутом служат растворителем и разбавителем, понижая вязкость мазута и улучшая прокачку фиксирующей смеси насосом и равномерное разбрзгивание ее по поверхности песка.

В полевых условиях раствор масло-битум готовится в отдельных железных емкостях (цистернах, бочках) объемом до одной тонны. Сначала разогревается масло, а затем добавляется битум в виде небольших кусков с непрерывным перемешиванием до образования однородного раствора.

При использовании жидкого битума технология приготовления фиксирующего раствора упрощается. Незначительный подогрев смеси необходим лишь в зимнее время. Для перевозки готового фиксирующего раствора можно использовать гудронатор или установку ЛСД-2М. Отношение битума к маслу в фиксирующем растворе — 1:9—1:4.

Приготовление раствора масло-мазут в летнее время не требует нагрева, а в зимнее необходимо незначительный подогрев смеси. Соотношение раствора масло-мазут составляет 7:3 — 8:2 соответственно. Отношение мазута к маслу в фиксирующей смеси — 1:4—3:7.

Приготовление растворов полизлектролитов без ис добавкой глин

Выпускаемые заводом водорастворимые полимеры отличаются по концентрации, вязкости, способности растворяться в воде и другим свойствам. Так, например, полизлектролит К-4 выпускается на опытно-промышленной установке в виде 10%-ной густой пасты, а

полимер К-6 — в виде 16%-ной густой массы; промышленный поликариламид — это 8%-ная паста.

При приготовлении рабочего раствора в полевых условиях с водорасторимыми полимерами учитывают исходную концентрацию полимера. Рабочий раствор готовят 0,5; 1,0 или 1,5%-ной концентрации в зависимости от ветроэрозионного состояния района.

Технология приготовления раствора водорасторимых полиэлектролитов сравнительно несложная. В бак мотонасосной установки (или ЛСД-2М) заливают воду и туда же добавляют по порциям раствор полимера для получения необходимой концентрации. Затем включают двигатель и насосом прокачивают смесь до получения однородного раствора. Расход раствора полиэлектролитов на 1 м² песчаной поверхности варьирует от 1,5 до 3 л.

Опытно-производственные работы показали, что закрепление барханных песков глинами сводится к обравшению на песчаную поверхность корки, в которой песчаные частицы скреплены глинистыми частицами. Прочность такой корки зависит, с одной стороны, от степени сцепления между собой самих глинистых частиц и глинистых частиц с частицами песка — с другой. Следовательно, повышение прочности образовавшейся корки может быть достигнуто изменением свойств поверхности песчинки или изменением свойств частиц глины путем воздействия на них различных агентов.

Образующаяся на поверхности песка глинистая корка при высыхании растрескивается и легко разрушается ветром (рис. 31). Поэтому для предотвращения растрескивания в глинистую супспензию вводят водорасторимые полиэлектролиты. Глинистую супспензию готовят следующим образом. Сухую измельченную и очищенную от гравия глину засыпают в бетономешалку (или другую емкость с механической мешалкой). Затем порциями добавляют 0,25 или 0,5%-ный водный раствор полимера. Всю смесь перемешивают до однородного раствора. После этого готовую супспензию выливают или перекачивают в емкость, оборудованную разбрзгивающим устройством.

Наилучшие результаты дают растворы с концентрацией глины в супспензии 15—18%. При составлении композиций глины с полиэлектролитом необходимо учитывать структурообразующую способность полиме-

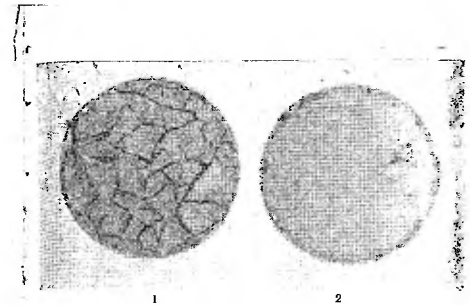


Рис. 31 Глинистые корки без (1) и с добавкой (2) полимера

ра. Чем больше структурообразующая способность последнего, тем меньше его расход. В связи с этим концентрация полимера в глинистой супспензии может изменяться от 0,125 до 0,5%. Расход фиксирующего раствора колеблется в пределах 2—3 л/м².

Дисперсия мелиорантов на основе изерозина и латекса

Препарат изерозин (сланцевая смола полукоксования — ССП) представляет смесь, как уже было отмечено, средней и тяжелой фракций генераторного сланцевого масла, полученного при термическом разложении горючих сланцев на мягком режиме. Вязкость изерозина зависит от температуры: с увеличением ее вязкость изерозина уменьшается.

Положительное качество изерозина в том, что его можно наносить на песчаную поверхность в том виде, в каком он изготовлен на заводе. При использовании изерозина для закрепления подвижных песков в зимнее время его необходимо подогревать до 25—30°. Для этого может быть использована емкость с устройством для подогрева (гудронатор, битумовоз, ЛСД-2М). В условиях песчаных пустынь Туркменистана расход изе-

розина составляет 1,5–3 л/м² и зависит от ветроэрозионного состояния района и расположения защищаемого объекта.

В полевых условиях испытан на закрепляющий эффект латекс АРМ-15 Сумгайтского завода синтетического каучука. По заводским данным, состав латекса характеризуется следующим образом (в процентах по весу): каучук 14–18; свободный стирол — не более 0,3; неозон-Д 1,7–2,5; некаль 2,0; лейканол 0,1; синтетическая жирная кислота 0,2 и остальное вода. Щелочность латекса 0,02. Некаль, лейканол и синтетическая жирная кислота (C_{10} — C_{16}) — стабилизаторы латекса, неозон-Д — антиокислитель. Концентрация раствора латекса АРМ-15 составляет 16–18%.

Вязкость латекса очень незначительна, благодаря чему он хорошо проникает в песок. Однако при больших концентрациях латекс прилипает к деталям разбрызгивающего устройства установки, что затрудняет дальнейшую работу. Поэтому рабочий раствор латекса разбавляют водой в соотношении 1:1, 1:3, 1:5 и т. д. Расход латекса АРМ-15 для закрепления песков — 2,5–3 л/м².

Технология нанесения мелиорантов на песчаную поверхность

Для получения песчаных корок на основе различных водорастворимых полимеров, нефтепродуктов, отработанных масел в лабораторных условиях целесообразно использовать распылитель «Дезинфаль». Он состоит из насоса, распылителя и резервуара, а последний — из 2 половинок, спаянных по окружности, в верхнюю часть которого впаяны 2 штуцера — один для заливки раствора, второй для соединения трубы с распылителем. В центр верхней части впаяна горловина, в которую ввинчивается насос.

При помощи двух стоек, шайб и шпильки к резервуару присоединена деревянная ручка, служащая для переноски распылителя. На выступающий конец шпильки навинчен запасной наконечник распылителя.

Внутри наконечника имеется клапан, обеспечивающий невозможность проникновения жидкости в цилиндр во время обратного хода поршня. На поршень одет ко-

жаный манжет. Поршень с помощью штока соединен с деревянной ручкой.

Распылитель состоит из изогнутой трубы, на конец которой навинчен наконечник. Внутри наконечника помещается червяк, сообщающий струе жидкости вращательное движение. Трубка сообщается с резервуарами посредством крана.

Резервуар «Дезинфаль» вмещает не более 1 л раствора. Для нанесения дисперсии мелиорантов на песчаную поверхность с помощью этого механизма количество заливаемого раствора должно составлять не менее 200–250 мл. Для нанесения мелиорантов на песчаную поверхность в резервуар «Дезинфаль» заливают необходимое количество фиксатора, затем 18–20 движениями вверх — вниз ручкой насоса создают внутреннее давление в цилиндре, предварительно проверив закрыты ли краны. Направляют ручку распылителя на поверхность уплотненного путем постукивания песка, насыпанного в ванночки из жести размером 21×14×10 см. Механическая прочность корок, полученных в лабораторных условиях с помощью «Дезинфалия» и в полевых условиях с помощью специальных агрегатов, почти одинаковая.

Для нанесения мелиоранта в полевых условиях в настоящее время используют различные машины и агрегаты. Так, например, во ВНИИАЛМИ для нанесения изюминки на песчаную поверхность применяют опрыскиватели типа ОВТ-1 на тракторной тяге ДТ-75. Разбрызгивающее устройство ОВТ-1 регулируется на 6–8 м ширину обрабатываемой полосы. Наряду с указанными устройствами используется агрегат, состоящий из колесного прицепного битумовоза (БКП-1) с переоборудованным распыливающим устройством. Битумовоз имеет бак емкостью 4 м³, автономный двигатель Д-21 (обеспечивающий работу шестеренного насоса), производительностью 1500 л/мин, создающий рабочее давление до 17 атмосфер. БКП-1 может трансформироваться в автомашиной ЗИЛ-157 или трактором ДТ-75 (на относительно ровной местности) и тягачом С-100 (в условиях бугристо-барханных рельефа).

Распыливающее устройство на БКП-1 выполнено в виде дугообразной трубы прямоугольного сечения. Максимальная ширина обрабатываемой полосы — 15–17 м (рис. 32).



Рис. 32. Нанесение мелиорантов с помощью пристенного битумовоза БКП-1, оборудованного штанговым и дугообразным распылителями.

Агрегаты конструкции ВНИИЛМИ в основном предназначены для закрепления линейных объектов (трубопроводы, железные и шоссейные дороги), воздвигаемых в системе не очень сложного песчаного рельефа.

Туркменской ЛЮС СредАЗНИИЛХ и Чарджоуским лесхозом Госкомитета СМ ТССР разработан насечной пескоукрепительный агрегат НПА, предназначенный для закрепления барханных песков.

Агрегат обеспечивает закрепление наветренных склонов барханных песков, достаточное для стабилизации рельефа и борьбы с дефляцией. Вяжущее вещество наносится на закрепляемую поверхность сплошь, полосами.

НПА агрегируется с гусеничными тракторами класса ЗТС ботвойной модификации, имеющими гидронавеску и вал отбора мощности.

Привод в действие — от ВОМ трактора через цепную передачу.

Тип рабочего органа — штанговый.

Частота вращения насоса, об/мин — 250.

Потребляемая мощность, л. с. — 25—30.

Емкость бака для вяжущего вещества, м³ — 1,0.

Габаритные размеры — длина 1400 мм, ширина

2000 мм, высота 1000 мм. Масса 370 кг. Транспортный просвет 580 мм. Ширина закрепляемой полосы при однократном проходе агрегата 1, 2, 6 м.

Производительность в час при полосном закреплении 3000 м², при сплошном — 15000 м².

Обслуживается трактористом.

Основные части машины: рама, емкость для вяжущего вещества, механизм привода, нагнетательный насос шестеренного типа, разбрзгиватель.

Агрегат на склонах барханных целей движется параллельно гребню, придерживаясь определенной горизонтальной линии. Наветренные склоны отрабатываются последовательно от понижений до вершин или наоборот. При сплошном закреплении наветренных склонов вяжущее вещество наносится с учетом перекрытия периферии обрабатываемой поверхности. При полосном закреплении поверхности осевая линия последующего прохода трактора должна отстоять от предыдущей на 4—6 м.

В зависимости от типа используемого разбрзгивателя однократным проходом агрегат закрепляется поверхность полосами шириной 1—6 м.

В работе агрегат обслуживается трактористом. Пескоукрепительный агрегат повышает производительность труда в 25—30 раз и снижает себестоимость пескоукрепительных работ по сравнению с установкой клеточных защел в 3—4 раза.

Закрепление точечных объектов, таких как опоры линий электропередач (ЛЭП) и связи, сооружаемых среди барханно-грядовых песков, или же крупных песчаных берегов каналов и водохранилищ, возможно с помощью переносных аппаратов (ручной насос, агрегат ЛСД-2М и мотонасосная установка на базе АЦП-0,9) (рис. 33).

Использование ручного насоса в полевых условиях для нанесения вяжущего вещества на песчаную поверхность показало, что работа с ним трудоемка и малоэффективна. Более того, при использовании ручным насосом невозможно создать постоянное устойчивое давление и равномерную подачу вяжущего на единицу площади, что приводит к формированию покрытий разной толщины.

Результаты работ с ЛСД-2 показали, что она удобна в использовании и легко управляема. Эта установка

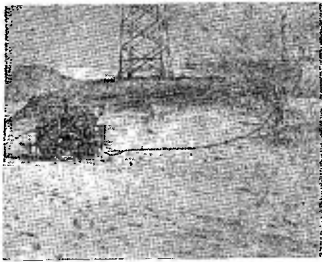


Рис. 33. Использование установки ЛСД-2М для закрепления оснований опор линий электропередачи.

равномерно разбрызгивает мелиорант на песчаную поверхность.

Силовой частью ЛСД-2 является бензиновый четырехтактный одноцилиндровый двигатель ЗИД-4,5 мощностью 4,5 л. с. с номинальным числом оборотов 2000 об/мин. Двигатель соединен муфтой с вихревым насосом. Емкость резервуара ЛСД-2 — 330 л, два напорных рукава и всасывающий рукав длиной 4,5 м. Согласно инструкции по использованию этого агрегата, производительность аппарата за 7-часовой рабочий день — 2500—4000 м².

Эксплуатация ЛСД-2М показала, что ее можно применять только для выполнения опытно-экспериментальных работ, а для закрепления больших площадей требуются агрегаты с более высокой производительностью.

Достоинством агрегата ЛСД-2М является возможность осуществления подогрева жидкости в зимний период.

Следует также отметить, что для нанесения фиксаторов на песчаную поверхность в различных производ-



Рис. 34. Общий вид пневмососной установки.

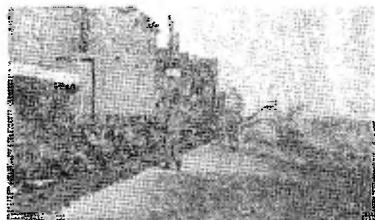


Рис. 35. Использование поливочного поезда для закрепления подвижных песков вдоль железной дороги.

ственных организациях используются и другие виды установок (рис. 34, 35). В частности Институтом пустынь предложена мотонасосная установка (на базе одноосного прицепа-цистерны АЦП-0,9).

Достоинства этого агрегата — значительная производительность и возможность разбрызгивания фиксирующих веществ большой вязкости.

Для закрепления подвижных песков вблизи железнодорожного полотна Ташкентский институт железноз-

дорожного транспорта разработаны (авторское свидетельство № 348672 и № 340064) два типа поливочного поезда. С их помощью закрепляется полоса песков в придорожной полосе шириной 50—70 м.

Можно констатировать, что в СССР технология нанесения дисперсии мелиорантов на песчаную поверхность базируется на полной механизации трудоемких работ. В качестве пескоукрепительных агрегатов используются специальные машины, а также установки, обеспечивающие разбрызгивание жидкостей.

При осуществлении мелиоративных мероприятий, в частности при работе с мотонасосными установками, должны соблюдаться правила техники безопасности и правила охраны окружающей среды от загрязнения. Последнее особенно важно при использовании закрепляющих веществ, обладающих заметной токсичностью к животным и растениям.

Контроль за качеством проводимых мелиоративных мероприятий

Контроль за качеством осуществляется в первую очередь визуально (табл. 38). В лабораторных условиях проводимые мелиоративные мероприятия контролируются на стадии приготовления корок, соблюдением методом определения механической прочности, ветро-эррозионной устойчивости, толщины корок и учета влияния мелиорантов на рост растений-пескоукрепителей.

В полевых условиях определение механической прочности и замеры толщины корки проводятся на различных участках поверхности с трехкратным повторением.

Перед посевом семян растений-пескоукрепителей в полевых условиях необходимо провести посев в лабораторных условиях с целью выявления их процента всхожести, без которого трудно оценить влияние токсичности применяемых химических мелиорантов на всхожесть и дальнейший рост растений-пескоукрепителей.

Песчаные корки, полученные на основе водорасторовимых полимеров и глинистой суспензии, в основном предназначены для временной защиты высеванных семян или сеянцев растений-пескоукрепителей от выдувания. Поэтому необходим контроль за своевременным

Таблица 38
Состояние поверхности покрытий в зависимости от расхода мелиоранта и его смягчающей способности

Мелиорант	Расход, л/м ²			Примечание
	0,25	0,50	1,0	
1%-ный раствор полимера К-9	Корка очень тонкая, несплошная (покрыто 50%)	Корка с небольшими пропусканиями (покрыто 75%)	Корка сплошная	Смягчение хорошие, распределение равномерное.
Нерафин	Корка несплошная, на поверхности песка очень тонкая (покрыто 30%)	Корка сеччатая, тонкая (покрыто 50%)	Корка сплошная, эластичная, прочная	Смягчение сравнимо с первым, но толщина покрытия избыточна.
Раствор яглека АРМ-15	Корка несплошная, сеччатая (40%)	Корка с небольшими пропусканиями (покрыто 65%)	Корка сплошная, эластичная, прочная	Смягчение хорошие, по толщине покрытия избыточно.

проводением пескоукрепительных работ с приемами фитомелиорации.

Для получения точных данных о механической прочности, ветроэрозионной устойчивости и других свойствах необходимо опытные участки оградить. Чаще контролировать состояние корок и покрытий, проводить своевременное определение температурного режима и влажности под корками и покрытиями за каждый весенний период, при этом важно, чтобы контрольный участок находился по возможности в одинаковых условиях с опытными.

После пескоукрепительных работ необходимо периодически проводить наблюдения за состоянием растений, корок и покрытий на опытных участках.

Корки, полученные на основе изозина отработанных трансформаторных масел с битумом или сырой нефти, сохраняют свои властические свойства в течение долгого времени (масло с битумом до 6—7 лет, изозин — 3—4 года, при расходе 3 л/м²). В дальнейшем в результате химической деструкции под действием кислорода воздуха корки теряют свои летучие вещества, и на их поверхности образуются тонкие пленки, механическая прочность которых довольно высокая. При механических повреждениях эти пленки растрескиваются, а механическая прочность, ветроэрозионная устойчивость песчаной корки снижаются.

На опытных участках, обработанных водорастворимыми полимерами с глинистой суспензией, кроме всходов выселяемых семян и саженцев передко появляются всходы растений, семена которых попадают в песок путем самосева. Эти растения в дальнейшем защищают закрепляемую поверхность от выдувания.

Прорастание семян, попавших путем самосева, наблюдается довольно редко на покрытиях, полученных на основе отработанных масел с битумом или на основе изозина. Черенки, посаженные под такие покрытия, обычно хорошо приживаются.

Корки, полученные на основе латекса СКС-30 Арм-15, обладают удовлетворительной механической прочностью и ветроэрозионной устойчивостью при отношении 16%-ного латекса к воде 1:3; 1:2 и более. Свежеприготовленная корка эластична в течение 2—2,5 лет. Затем она высыхает, становится крупкой и теряет свои эластичные свойства. Следует отметить, что семена

и саженцы растений-пескоукрепителей хорошо приживаются под корками на основе латекса, поэтому латекс, как и водорастворимые полимеры, создает благоприятные условия для прорастания растений и закрепления песков. Срок службы корок (на основе латекса) небольшой, и их основное назначение — создать условия для роста растений-пескоукрепителей.

Определение глубины и времени проникновения в песок растворов мелиорантов

Опыты по определению времени и глубины проникновения в песок растворов мелиорантов, проведенные в лабораторных условиях, показали, что время, необходимое для полного проникновения растворов, нанесенных на поверхность песка, увеличивается с ростом концентрации полимера, латекса и глины в системе латекс—вода и глина—полимер—вода. Скорость передвижения фронта раствора латекса примерно в 3 раза больше, чем скорость передвижения полизэлектролитов серии К. Сопоставив данные табл. 40—44 с данными по структурообразованию в растворах полизэлектролитов, можно заключить, что скорость передвижения жидкости по глубине песка для растворов с одинаковой концентрацией уменьшается пропорционально росту молекулярной массы полизэлектролита с ростом вероятности структурообразования в растворах полимеров.

Наличие глины в растворах полизэлектролитов приводит к уменьшению глубины проникновения фронта жидкости в слой песка. Наблюдаемое изменение скорости передвижения жидкости симбатично с изменением структурообразования в системе глина—вода—полизэлектролит. Глубина проникновения 10%-ной глинистой суспензии с латексом (содержание латекса от веса глины 8%) составляет 16,3 мм за 90 с.

Время проникновения в песок дисперсий мелиорантов, приготовленных на основе нефти и нефтепродуктов (битум, мазут, отработанные масла, смолы), а также изозина, фенол-формальдегидных смол значительно больше времени просачивания растворов полимеров.

Таблица 40

Глубина (мм) проникновения в песок растворов полизелектролитов в зависимости от концентрации

Концентрация раствора полизелектролитов	Время просачивания фиксатора в песок, с							
	5	30	60	90	120	150	180	
0,25% Сунак-2 ВРП-1 Э-1 Э-4	K-4	8,5	12	15	17	18,0	19,0	21,0
	K-9	9,5	12,0	14,0	16,5	18,3	20,5	21,5
	K-6	11,0	13,5	14,7	17,0	19,5	22,6	23,5
	0,25% Сунак-2	14,0	16,6	17,5	20,8	24,6	26,5	28,0
	ВРП-1	15,2	17,0	18,2	21,4	25,3	26,8	28,8
	Э-1	15,4	17,2	18,4	21,7	25,6	27,0	29,0
	Э-4	10,7	13,0	15,3	18,2	25,0	25,8	26,4
	K-4	7,0	14	16	16,5	17,0	18,0	19
	K-6	9,5	11,5	13,5	15,8	18,0	21,4	22,5
	K-9	7,5	8,5	11,0	14,0	16,5	18,6	19,0
0,5% Сунак-2 ВРП-1 Э-1 Э-4	0,5% Сунак-2	11,3	13,6	15,9	19,6	22,3	24,8	25,7
	ВРП-1	13,0	14,4	16,5	20,3	23,0	25,4	27,2
	Э-1	13,3	14,7	16,9	20,9	23,8	25,9	27,0
	Э-4	13,5	14,9	17,2	21,2	24,2	26,3	27,4
	K-6	6	10,0	12,0	16,5	19	19	19
	K-6	7,0	9,5	12,0	15,5	17,0	19,0	19,0
	0,5% Сунак-2	9,8	11,8	13,9	16,7	19,0	23,2	24,1
	ВРП-1	10,2	12,4	14,3	17,2	20,1	24,2	25,0
	Э-1	10,3	12,6	14,6	17,7	24,0	24,7	25,5
	Э-4	10,5	12,8	14,8	17,9	24,2	25,0	25,8

Таблица 41

Глубина (мм) проникновения фиксатора в песок в зависимости от содержания полизелектролитов в 10%-ной суспензии глины (Котурдепе, Зап. Туркменстан)

Содержание полизелектролитов в глинистой суспензии	Время просачивания фиксатора в песок, с							
	5	30	60	90	120	150	180	
1	2	3	4	5	6	7	8	
0,25% Сунак-2 ВРП-1 Э-1 Э-4	K-4	7,0	9,5	11,0	13,5	15,5	16,0	16,0
	K-6	9,4	11,3	14,4	16,8	18,1	20,2	20,2
	K-9	7,6	10,8	12,3	15,2	17,0	18,9	18,9
	0,25% Сунак-2	11,6	14,3	15,7	17,9	21,8	22,9	23,5
	ВРП-1	12,0	14,6	15,9	18,3	22,4	23,5	24,9
	Э-1	13,6	15,6	16,3	19,0	23,1	24,2	25,8
	Э-4	13,0	15,6	16,8	19,7	23,8	25,2	26,4

Продолжение табл. 41

1	2	3	4	5	6	7	8
K-4	6,0	6,5	8,9	12,0	14,0	16,5	16,5
K-6	8,3	10,2	11,6	13,9	15,9	20,0	20,0
K-9	6,4	7,3	9,6	12,8	14,5	17,5	17,5
0,5% Сунак-2	11,0	12,4	13,9	16,2	20,1	22,6	23,6
ВРП-1	11,2	12,7	14,3	17,2	21,3	23,4	24,8
Э-1	11,6	13,0	15,0	18,0	21,6	24,0	25,4
Э-4	11,9	13,7	15,6	18,2	22,1	24,8	25,9
K-4	5,0	6,5	8,9	11,0	11,5	12,5	12,5
K-6	6,1	8,2	11,3	13,7	14,5	17,0	17,0
K-9	5,2	7,3	9,6	11,4	12,8	14,2	14,2
1,0% Сунак-2	8,6	10,6	19,0	15,0	26,9	20,6	21,0
ВРП-1	8,8	10,9	12,8	15,2	18,4	21,2	21,8
Э-1	9,0	11,2	13,1	16,3	19,2	21,8	22,4
Э-4	9,2	11,4	13,4	15,8	19,8	21,9	22,8

Таблица 42

Время просачивания нефтенпродуктов в зависимости от их расхода при температуре 22°

Расход мебиоранта, л/м²	Время просачивания, с		
	сырой нефть Котурдепе	парозин	отработанное трансформаторное масло
0,3	3	3	1
0,5	8	7	2,5
1,0	17	18	6,5
1,5	46	47	16,5
2,0	88	45	30,5
3,0	115	120	40,0

Таблица 43

Время просачивания отработанного трансформаторного масла в зависимости от соотношений в нем масла и битума при температуре 22° и расходе 2 л/м²

Соотношение масла	Битум	Соотношение масла		Время просачивания, с
		2	5	
10	0,1	40	10	0,1
10	0,5	75	10	0,5
10	1,0	120	10	1,0
10	1,5	150	10	1,50
10	2,0	180	10	2,0
10	3,0	210	10	3,0

Таблица 44

Глубина (мм) проникновения водного раствора латекса и раствора битума и мазута в отработанном трансформаторном масле в зависимости от концентрации и расхода

Мелиоранты	Расход, л/м²		
	1,5	2,0	3,0
Масло	4—8	9—10	15—17
Масло+битум 10:1,0	5—6	8—9	15—16
Масло+мазут 10:1,0	5—7	9—10	16—18
Латекс с водой 1:1	7—9	11—13	14—16
1:2	7—9	10—12	15—16
1:3	7—9	12—13	17—18
1:5	8—10	12—14	19—21

Прочность созданной с помощью дисперсий химических мелиорантов связнодисперсной системы подвижных песков

Толщина связнодисперсной системы песка в зависимости от вида мелиорантов, их концентрации и расхода

При оценке механической прочности и ветроэрозионной устойчивости связнодисперсной системы песка и песчаных корок большое значение имеет толщина корки. Корки, полученные на основе водорастворимых полизелектролитов и нефтепродуктов, при одинаковых расходах имеют разную толщину (табл. 45—47).

При нанесении глинистых супензий на песчаную поверхность сравнительно более крупные частицы глины проникают в песчаный слой на незначительную глубину, образуя песчано-глинистую корку различной толщины. Вода с глинистыми частицами более тонкой фракции проникает в песок глубже. Таким образом, образующаяся корка имеет сложное строение: первый слой состоит из песка, скрепленного глинистыми частицами, второй — увлажненный песок с глинистыми частицами более тонкой фракции. С ростом концентрации глинистой супензии толщина первого слоя увеличивается, а второго уменьшается, при этом связь между первым и вторым слоями уменьшается. Опыты

Таблица 45

Толщина корки (мм), приготовленной на основе 10%-ной супензии, от вида, содержания и расхода полизелектролитов

Содержание ме- лиорантов в гли- нистой супензии	Расход, л/м²			
	1,5	2,0	3,0	
0,25% Сунак-2 БРП-1 Э-1 Э-4	K-4	5—7	10—12	16—18
	K-6	5—6	9—10	15—16
	K-9	5—7	9—11	15—17
	БРП-1	5—6	9—10	13—15
	Э-1	4—5	8—9	12—14
	Э-4	4—5	8—9	11—12
	K-4	8—10	12—14	17—19
	K-6	7—9	11—13	16—18
	K-9	8—10	12—14	17—18
	БРП-1	8—9	10—11	15—17
0,5% Сунак-2 БРП-1 Э-1 Э-4	БРП-1	7—9	9—10	15—16
	Э-1	7—9	8—9	13—15
	Э-4	7—9	8—9	13—15
	K-4	10—12	14—16	19—21
	K-6	9—11	13—15	18—20
1,0% Сунак-2 БРП-1 Э-1 Э-4	K-9	10—11	15—17	19—20
	Сунак-2	9—10	13—14	17—19
	БРП-1	9—10	12—14	16—17
	Э-1	8—9	11—13	16—17
	Э-4	8—9	11—13	15—16

Таблица 46

Зависимость толщины корки (мм) от вида, концентрации и расхода мелиорантов

Концентрация мели- орантов	Расход, л/м²			
	1,5	2	3	4
1	2	3	4	5
K-4	9—10	13—15	15—17	17—19
K-6	8—9	12—13	12—14	14—16
K-9	8—10	12—14	14—16	16—18
0,25% Сунак-2 БРП-1 Э-1 Э-4	7—9	10—12	12—14	14—16
БРП-1	6—8	9—11	10—12	12—14
Э-1	6—8	9—10	10—11	12—14
Э-4	6—7	9—10	10—11	12—14

Продолжение табл. 46

	1	2	3	4
0,5% Сунак-2	K-4	12—13	14—16	19—21
	K-6	11—12	13—15	15—19
	K-9	11—14	14—16	18—20
	BРП-1	10—12	12—14	15—18
	9-1	9—11	11—13	13—15
	9-4	8—9	10—12	13—15
	K-4	12—15	15—17	19—22
	K-6	11—14	14—16	18—20
1,0% Сунак-2	K-9	12—14	14—16	19—21
	BРП-1	11—13	13—15	15—17
	9-1	9—11	12—13	13—15
	9-4	9—10	11—12	12—14
	9-4	9—10	11—12	12—14

Таблица 47

Толщина корки (мм), приготовленной на основе водного раствора латекса и раствором битума, мазута в отработанном трансформаторном масле в зависимости от концентрации и расхода

Мелиоранты	Расход, л/м ²		
	1,5	2,0	3,0
Масло	3—5	8—9	15—17
Масло+битум	5—7	7—8	17—19
Масло+мазут	6—7	8—9	17—19
Латекс с водой 1:1	5—7	9—10	15—17
" 1:2	5—6	9—10	13—15
" 1:3	4—5	8—9	12—14
" 1:5	4—5	8—9	12—14

показали, что глинистая суспензия с концентрацией более 40% образует корки, не связанные с песком.

При добавлении к глинистой суспензии полизелектролитов возникает третий слой — слой песчинок, связанных полимером. При создании глино-песчано-полимерной корки идет перераспределение концентрации полимера по толщине слоя. Основная часть полимера расходуется на образование глинистой корки на поверх-

ности песка. Для водных растворов латекса характерно равномерное распределение препарата в пропитанном слое.

Механическая прочность песчаных корок и покрытий

Механическая прочность песков, закрепляемых различными фиксаторами

В настоящее время существует множество приборов и устройств для определения связнодисперсных систем почв, песка грунтов путем пропадывания их различной формой наконечника: конической, клиновидной, цилиндрической и т. д. Все эти устройства предназначены для определения сопротивления путем погружения штока с наконечником на определенную глубину.

Среди приборов, применяемых для определения прочности песчаных корок, лучшими считаются приборы В. И. Васина и В. М. Недригайлова [44]. Однако из-за сложности конструкции они не нашли широкого применения на практике. А. С. Подгорнов (ВНИАЛМИ) предложил для определения механической прочности прибор, смонтированный на базе обычных бытовых весов [45].

Сотрудники лаборатории ветровой эрозии песков Института пустынь АН ТССР [263] создали прибор для определения прочности песчаных корок, состоящий из корпуса бытовых весов, выпускаемых отечественной промышленностью, и набора сменных наконечников-штамповиков цилиндрической формы площадью 1—10 см². Набор наконечников с разной площадью необходим для измерения удельной прочности корок, которая изменяется не в прямой зависимости от площади наконечника. Последние ввинчиваются в гаечку, припаянную ко дну корпуса весов (рис. 36).

Прибор снабжен стрелкой-фиксатором, вмонтированной во втулку и укрепленной на средней части диска. Действует он по принципу динамометра. Усилие, приложенное к подвижной рукоятке 1, передается на корпус 2, а, следовательно, и на наконечник 9, ввернутый в дно корпуса посредством двух пружин, расположенных внутри его. Рукоятка свободно входит в корпус и под действием нагрузки перемещается только в вертикальном положении. В результате приложенного

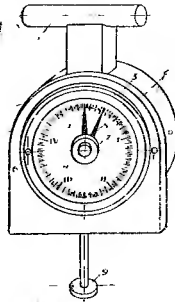


Рис. 36 Прибор для определения прочности корок на продавливание.

необходимое для фиксации стрелки, не превышает 10—20 г. Диск циферблата отградуирован в килограммах (до 5 кг) с ценой деления 20 г. Таким образом, имея набор наконечников, прибором можно замерять закрепленный песок прочностью 600 г—6 кг/см² (с учетом веса самого прибора). На каждый замер уходит не более 5—7 с. Согласно данным [446], для точного определения прочности почв большое значение имеет размер применяемого штампика. Это связано с тем, что деформация почвы при внедрении в нее плоского круглого штампика происходит не по боковой поверхности цилиндра, а по боковой поверхности усеченного конуса. Размер верхнего основания зависит от силы сцепления частиц почвы, то есть от ее прочности. При малых площадях штампов и большой прочности почв расхождение в размерах деформирующих поверхностей воображаемого цилиндра и усеченного конуса будет незначительным.

202

К рукоятке усилия пружины сжимаются, отклоняя стрелку 4, которая одновременно увлекает за собой и стрелку-фиксатор 5, жестко связанную с винтом 8. Винт 8 свободно вращается по резьбе во втулке 7, вставленной в диск 3, который, в свою очередь, прикрепляется двумя винтами 6 к корпусу прибора. Усилие, прилагаемое к рукоятке, увеличивается постепенно до определенной величины, соответствующей прочности корки, после чего стрелка 4 в результате меньшей прочности незакрепленного песка (под коркой) резко отскакивает назад, а стрелка-фиксатор 5 остается на месте. По ней и берется отчет момента разрушения корки. Тормозное усилие, необходимое для фиксации стрелки, не превышает 10—20 г. Диск циферблата отградуирован в килограммах (до 5 кг) с ценой деления 20 г. Таким образом, имея набор наконечников, прибором можно замерять закрепленный песок прочностью 600 г—6 кг/см² (с учетом веса самого прибора). На каждый замер уходит не более 5—7 с. Согласно данным [446], для точного определения прочности почв большое значение имеет размер применяемого штампика. Это связано с тем, что деформация почвы при внедрении в нее плоского круглого штампика происходит не по боковой поверхности цилиндра, а по боковой поверхности усеченного конуса. Размер верхнего основания зависит от силы сцепления частиц почвы, то есть от ее прочности. При малых площадях штампов и большой прочности почв расхождение в размерах деформирующих поверхностей воображаемого цилиндра и усеченного конуса будет незначительным.

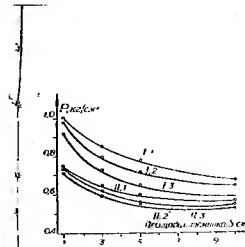


Рис. 37. Изменение предельной прочности песчаной корки при продавливании в зависимости от площади штампика 1 — при температуре воздуха 36 (1), 39 (2) и 42° (3). Корки получены путем опрыскивания песчаной поверхности отработанным маслом с добавкой битума (4) и изорозина (5).

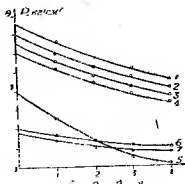


Рис. 38. Изменение с возрастом механической прочности корок, полученных на основе водной суспензии глины с К-4 (1), растворов К-9(2), К-6(3), К-6(4), эмульсии АРМ-15(6), раствора битума в отработанном трансформаторном масле (6) и изорозина (7).

На рис. 37 приведена зависимость прочности корки от величины площади штампика при различных температурах воздуха. Наиболее стабильные значения предела прочности получаются при замерах штампиками с площадью основания 5 и 16 см². В тех случаях, когда прочность корки превышала 5 кг/см², использовали штампи с теми же штампиками и площадкой, которая нагружалась до момента продавливания корки. При десятикратной повторности замеров коэффициент вариации не превышал 12%. Аналогичные результаты получены В. И. Васиным и В. И. Недригайловым [444] на корках, приготовленных на основе раствора полимера К-4. Корки испытывали на прочность прочицмером, работающим по принципу, описанному выше. Механическая прочность песчано-полимерных корок зависит от концентрации, расхода и природы мелорантов (табл. 48, 49) и, по-видимому, характеризует степень структурообразования в системе песок—полимер—вода. Мелоранты, полизелектролиты и поверхностно-активные вещества по способности образовывать прочные

Таблица 48

Зависимость прочности корки ($\text{кг}/\text{см}^2$) от содержания полизеялролитов в 100 г воды (I), 10 (II), 15 и 20%-ной (III) супензии глины Котурделе

Полизеялролиты	Содержание полимера в 100 мл фиксатора, г						
	0,016	0,032	0,062	0,125	0,250	0,5	1,0
К-9	I	1,1	1,8	2,5	3,6	4,4	5,8
	II	1,4	2,1	2,8	3,9	4,8	6,2
	III	1,7	2,6	3,3	4,2	5,2	6,8
К-6	I	0,8	1,2	2,1	3,3	3,9	5,2
	II	1,1	1,8	2,3	3,5	4,4	5,7
	III	1,4	2,1	2,7	3,9	4,8	6,5
Суна-2	I	0,7	1,0	1,6	2,4	3,0	4,2
	II	0,9	1,4	2,0	2,8	3,6	4,7
	III	1,2	1,9	2,4	3,7	4,5	5,6
ВРП-1	I	0,6	0,7	1,3	1,9	2,6	3,9
	II	0,7	1,2	1,7	2,3	3,2	4,1
	III	1,0	1,4	2,0	3,2	4,1	5,8
Э-1	I	0,4	0,6	0,9	1,4	1,9	2,8
	II	0,6	0,9	1,3	2,0	2,8	3,6
	III	0,8	1,1	1,7	3,0	3,8	4,4
Э-4	I	0,5	0,6	0,8	1,2	1,8	2,4
	II	0,8	0,9	1,0	1,8	2,6	3,2
	III	0,9	1,0	1,5	2,8	3,4	4,0

песчаные корки располагаются в следующей последовательности: К-4>К-6>К-9>Суна-2>ВРП-1>Э-1>Э-4

На рис. 38 приводится значение механической прочности различных корок и покрытий в зависимости от их возраста. Как показали многолетние полевые наблюдения, корки разрушаются в основном за счет механических повреждений в результате передвижения человека, животных и движения транспорта. Истирание корок встремечанным потоком (при расходе фиксатора 2–2,5 л/м²) незначительно. Поэтому механическая прочность их за 3–4 года существенно не меняется, кроме корок, полученных на основе латекса Арм-15.

Под воздействием различных факторов (действие влаги, солнечных лучей, засоленности песков и окис-

Таблица 49

Механическая прочность корок ($\text{кг}/\text{см}^2$) в зависимости от содержания битума в отработанном автоболе, трансформаторном и турбинном маслах

Фиксирующие растворы	$\text{кг}/\text{см}^2$
Раствор битума в отработанном трансформаторном масле с отношением масла к битуму	
10:0,1	0,5
10:0,5	0,75
10:1,0	2,0
10:1,5	1,5
10:2,0	2,0
Раствор битума в отработанном автоболе с отношением масла к битуму	
10:0,1	0,75
10:0,5	0,90
10:1,0	1,50
10:1,5	1,80
10:2,0	2,50
Раствор битума в отработанном турбинном масле с отношением масла к битуму	
10:0,1	0,60
10:0,5	0,80
10:1,0	1,30
10:1,5	1,70
10:2,0	2,30
Раствор мазута в отработанном трансформаторном масле с отношением масла к мазуту	
10:0,1	0,7
10:0,5	1,2
10:1,0	1,5
10:1,5	1,0
10:2,0	2,7

ляющего действия кислорода воздуха) латексная пленка в течение трех лет стареет, что приводит к уменьшению механической прочности песчаной корки.

Механическая прочность корок из песка с глинистой супензией 5, 10, 15 и 20%-ной концентраций равна соответственно 0,64; 0,86; 1,2 и 1,5 кг/см². Если к глинистым супензиям добавлять латекс Арм-15 до 4%, то прочность песчаной корки возрастает до 4,5 кг/см², при добавлении до 1% полимера ПАА — до 7,6, К-4 — до 8,5 кг/см². Если прочность корки, полученной на основе 20%-ной глинистой супензии, брать за основу, то вве-

дение 1%-ного полимера К-4 в суспензии приводит к возрастанию прочности примерно в 10 раз.

Данные эксперимента свидетельствуют о том, что композиции глины с водорастворимыми полимерами снижают расход полимера без снижения прочности корки.

В воздушно-сухом состоянии механическая прочность полимерных корок (2,5—3%-ные полимеры К-4, К-9 при расходе 3 л/м²) может достигать 15 кг/см², а механическая прочность корок, полученных на основе раствора битума в отработанном трансформаторном масле в соотношении масла к битуму 10:2 и при расходе 3 л/м² не превышает 3 кг/см².

Покрытия, полученные на основе отработанных нефтепродуктов с добавкой битума, обладают сравнительно низкой механической прочностью. Механическая прочность корок зависит от способа нанесения фиксирующих растворов на песчаную поверхность. Разбрзгивание раствора по сравнению с поливом несколько повышает механическую прочность корок, при этом песчаная поверхность становится мелкоребристой за счет ударов падающих капель раствора (табл. 50).

Таблица 50

Зависимость механической прочности (кг/см²) корки от способа нанесения раствора мелиоранта

Способ нанесения растворов на сухой песок	Концентрация раствора К-4, %			Отношение латекса к воде			
	1,0	0,5	0,25	без воды	1:1	1:2	1:3
Полив	6,2	6,4	3,9	3,6	3,4	2,4	2,1
	6,5	6,0	4,2	4,0	3,8	2,8	2,5
	5,3	5,6	4,6	4,1	3,6	3,0	2,8
Разбрзгивание	6,8	5,6	4,6	4,1	3,6	3,0	2,5

Для выяснения возможности использования минерализованных вод при приготовлении растворов полизлектролитов или суспензий глины без и с добавками в лабораторных условиях изучено влияние степени минерализации воды на некоторые физические свойства

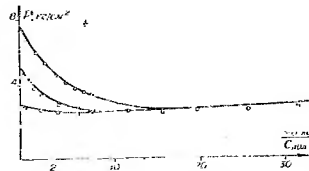


Рис. 39 Зависимость механической прочности полимерных корок от отношения $\frac{\text{Соль}}{\text{Сна}}$

1 — 1% K-4, 2 — 0,5% K-4, 3 — 0,05% K-4

корки. С этой целью готовили водные растворы NaCl с концентрацией 1, 5, 10, 20, 30, 40, 50, 60, 70 и 80 г/л, которые были использованы как дисперсионная среда для получения 0,25, 0,5 и 1,0%-ных растворов K-4, I,6, 2,2 и 8,0%-ных эмульсий латекса Арм-15. Приготовленные таким путем дисперсии мелиорантов наносили на поверхность песка путем разбрзгивания.

Выяснилось, что механическая прочность и толщина образовавшейся корки во всех случаях уменьшается с ростом степени минерализации (рис. 39) и снижения содержания структурообразователей в единице объема раствора (табл. 51, 52). Время просачивания растворов в песок также уменьшается только в случае водорастворимых полимеров; в случае латекса, наоборот, увеличивается с ростом содержания NaCl в растворе. Отмеченный эффект можно объяснить, если принять во внимание влияние солей на полизлектролиты и на эмульсии латекса. Величина механической прочности песчаной корки, полученной на основе раствора K-4, приготовленного на минерализованных водах, незначительно уступает механической прочности песчаных корок, полученных на основе раствора K-4, приготовленного на дистиллированной воде. Следовательно, можно готовить рабочие растворы K-4 на минерализованных водах, если последние имеют щелочно-хлоридный состав.

Таблица 51

Зависимость времени просачивания, механической прочности и толщины корки от концентрации полимера К-4 и NaCl в растворе

Свойства	Концентрация NaCl в растворе, г/л										
	0,5	1	2	5	10	20	30	40	50	60	70
Время просачивания, с	1,0	44	20	18	16	10	9	9	8	6	6
Механическая прочность, кг/см ²	1,0	7,5	7,5	7,0	6,2	5,6	4,8	4,3	4,0	3,8	3,8
Толщина корки, см	1,0	1,5	1,5	1,4	1,3—1,5	1,2	1,0—1,1	0,9—1,0	0,8—1,0	0,7—1,0	0,7—1,0
Время просачивания, с	0,5	15	8,4	8,1	8,1	7,9	6,5	6,5	6,3	5	4,5
Механическая прочность, кг/см ²	0,5	5	4,0	3,5	3	3	2,8	2,7	2,6	2,5	2,5
Толщина корки, см	0,5	1,4	1—1,2	1—1,1	0,9—1	0,8—1	0,7—0,9	0,6—0,7	0,5—0,7	0,5—0,7	0,5—0,6
Время просачивания, с	0,25	6,5	5,1	5	4,8	4,7	4,5	4	3,8	3,5	3,5
Механическая прочность, кг/см ²	0,25	2,8	2,8	2,6	2,6	2,4	2,3	2,2	2,0	2,0	1,9
Толщина корки, см	0,25	1,2	1—1,1	1—1,0	0,8—1,0	0,8—0,9	0,6—0,7	0,6—0,7	0,5—0,6	0,4—0,5	0,4—0,5

Таблица 52
Зависимость времени просачивания, механической прочности и толщины корки от концентрации латекса и NaCl в растворе

Свойства	Концентрация NaCl в растворе, г/л										
	0,5	1	5	10	20	30	40	50	60	70	80
Время просачивания, с	1,1	10	12	14	15	21	28	35	57	80	110
Механическая прочность, кг/см ²	1,1	4,59	3,5	2,5	2,4	2,2	2,1	1,8	1,5	1,2	1,2
Толщина корки, см	1,1	0,5—0,7	0,5	0,4—0,5	0,4—0,5	0,3—0,5	0,3—0,4	0,3	0,2	0,2	0,2
Время просачивания, с	1,5	7	10	13	14	17	24	31	33	37	41
Механическая прочность, кг/см ²	1,5	3,1	2,8	2,1	2,0	1,9	1,9	1,7	1,3	1,0	1,0
Толщина корки, см	1,5	0,5—0,7	0,4—0,5	0,4—0,5	0,3—0,5	0,3—0,4	0,2—0,5	0,2—0,5	0,2—0,2	0,2	0,2
Время просачивания, с	1,9	4	5	7	7	11	13	16	20	20	22
Механическая прочность, кг/см ²	1,9	2,5	2,1	1,8	1,6	1,4	1,2	1,2	1,0	1,0	0,9
Толщина корки, см	1,9	0,3—0,5	0,3—0,4	0,3—0,4	0,2—0,4	0,2—0,3	0,2—0,3	0,2	0,2	0,2	0,2

Таблица 54

Потеря в весе образцов покрытий, полученных на основе отработанного трансформаторного масла с добавкой битума, после продувки их в аэродинамической трубе

Компоненты раствора	Отношение масла к битуму	Расход раствора, л/м ²	Вес образца, г		Потери, %
			до продувки	после продувки	
Масло		1,0	1028	150	14,6
		1,5	1020	240	23,5
		2,0	1031	360	34,9
		2,5	1008	363	36,1
		3,0	1030	305	49,0
Масло с битумом	10,0, 1	1,5	1035	709	68,5
		2,0	1043	844	77,1
		2,5	1059	849	78,0
		1,0	989	540	54,6
		1,5	920	630	68,5
		2,0	986	783	79,4
		2,5	1075	895	63,26
	10,0, 5	1,0	1048	789	75,29
		1,5	1053	948	90,0
		2,0	935	933	99,0
		2,5	1010	1010	89,8
	10,1, 0	1,0	1048	789	75,29

Ветроэрозионная устойчивость связнодисперсных систем песка

Методы испытания корок и покрытий на ветроэрозионную устойчивость являются основными, поскольку выявляют пригодность того или иного фиксатора для закрепления подвижных песков. Ветроэрозионная устойчивость системы охватывает результаты всех испытаний (время просачивания, глубину проникания, толщину корки и механическую прочность) связнодисперсных систем песка.

Таблица 53

Потеря в весе корок после продувки в аэродинамической трубе в зависимости от концентрации и расхода полимеров

Концентрация вносимого раствора, %	Расход раствора полимера, л/м ²	Вес образца, г		Количество выпущенного песка, %
		до продувки	после продувки	
Полимер К-6				
0,5	2,0	1020,0	880,0	13,7
1,0	2,0	989,0	950,0	3,94
3,0	2,0	1025,0	1020,0	0,5
0,5	3,0	1004,8	980,9	2,4
1,0	3,0	960,9	957,1	0,4
3,0	3,0	1005,9	1004,3	0,16
Полимер К-9				
0,5	2,0	971,0	471,0	51,5
1,0	2,0	920,0	918,0	0,2
3,0	2,0	979,0	975,0	0,3
0,5	3,0	1048,0	1040,0	0,7
1,0	3,0	930,0	926,0	0,4
3,0	3,0	983,0	982,0	0,1

Ветроэрозионная устойчивость корок и покрытий определялась путем продувки в аэродинамической трубе. Образцы в аэродинамической трубе продували одновременно в горизонтальном и наклонном положениях к направлению ветропесчаного потока при скорости ветра 10 м/с (на оси трубы). До начала продувки у каждого образца замерялась толщина корки, фотографировалось состояние поверхности, а ванночка с образцом взвешивалась на технических весах. Ветропесчаный поток, искусственно создаваемый в аэродинамической трубе, имел строго определенное количество

песка в единице объема. В наших опытах расход песка составлял 11 и 15,4 г/см² с. Продолжительность каждой продувки — 10 ч. Истирание корки тем интенсивнее, чем больше угол наклона образцов к ветропесчаному потоку. В приведенных экспериментальных данных этот угол составляет 30°. Насыщенность ветропесчаного потока песком оказывает некоторое влияние на истираемость полученных корок. Самыми ветроустойчивыми оказались покрытия, полученные при расходе фиксирующей жидкости 2 л/м² с отношением отработанного трансформаторного масла к битуму 10:1.

При нанесении на песчаную поверхность отработанного трансформаторного масла без добавки битума образуется смоченный маслом слой песка. Этот слой, обладая слабой связностью между песчаными частицами, быстро раздувается под действием ветропесча-

ного потока. Поэтому в масло необходимо вводить высокосмолистые вещества, содержащиеся, например, в мазуте или битуме.

Устойчивость связнодисперской системы песка к действию воды

Прочность связнодисперской системы песка определяли методом оптической микроскопии, позволившим не только проследить изменение размера структурированных комочеков в результате пропитки их водой, но и фиксировать видимую картину в процессе навохания, комочками воды. На рис. 40, а показана связнодисперсная система (песчаная корка) до смачивания, полученная на основе 0,125%-ного раствора полимера К-4. Агрегат после вторичного увлажнения водой быстро разрушается, распадаясь на мелкие частицы (рис. 40, в).

Увеличение концентрации полимера в растворе приводит к замедлению процесса набухания песчаной частицы. После испарения воды набухшие песчаные корки (в зависимости от концентрации) принимают объем, незначительно отличающийся от первоначального. Аналогичная картина наблюдается и при повторном увлажнении. Связнодисперсные системы песка на основе латекса и в особенности отработанных масел с битумом набухают очень медленно. Увеличение объема начинается после 4-го (для латекса) и после 5—6-го циклов (для масла).

Число циклов (смачивание, высушивание), которое изменяется в зависимости от концентрации мелиорантов, косвенно характеризует водопрочность системы. В табл. 55 приведено среднестатистическое число циклов, необходимое для полного распадания связнодисперсной системы.

Видно, что количество их, необходимое для разрушения системы, возрастает с увеличением концентрации мелиорантов в растворе. Увеличение числа циклов указывает на увеличение водопрочности связнодисперсных систем.

При взаимодействии сухих полимерно-песчаных корок с водой в первую очередь набухает полимерная фаза, выделяемая в местах контакта или на поверхности песчаной частицы, а весь процесс набухания

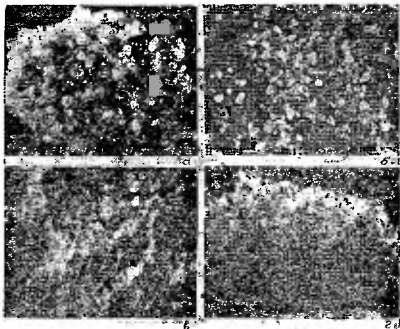


Рис. 40. Связнодисперсная система подвижного песка, созданная на основе 0,125%-ного раствора полимера К-4 (а) и эмульсии латекса (соотношение латекс — вода до (б) и после (в) разрушения водой). Увеличение 16х.

корки как связнодисперсной системы почвы [447] носит интермицелярный характер.

На рис. 40 а, показана стадия набухания связнодисперсной системы на основе латекса (при соотношении латекса с водой 1:3) в состоянии полного набухания и начала распада. При дальнейшем увлажнении (рис. 40, в) мостики полимера, связывающие песчинки между собой, расслабляются, разрушаются и система разрушается [448].

Благодаря большой водоотталкивающей способности отработанного трансформаторного масла с добавкой битума связь между песчаными частицами сохраняется при многократном повторении циклов (смачивание, высыхание).

Таблица 55

Водопрочность связнодисперсных систем (число циклов) в зависимости от концентрации химических мелиорантов

Концентрация растворов	Число циклов (мачивание, высыпывание)
0,25%-ный раствор К-4	3,0
0,5 " К-4	4,5
1 " К-4	6,0
0,25 " К-9	2,5
0,5 " К-9	4,0
1 " К-9	6,0
0,25%-ный раствор Сунак-2	2,5
0,5 " Сунак-2	4,0
1,0 " Сунак-2	5,5
0,25%-ный раствор ВРП-1	2,0
0,5 " ВРП-1	3,5
0,1 " ВРП-1	5,0
Латекс в соотношении с водой 1:10	5,5
1:5	7,5
1:3	11
1:2	14
1:1	16
Отработанное трансформаторное масло с битумом в соотношении к битуму	
10:0,5	5,0
10:1,0	8,0
10:1,5	14
10:2,0	17

Таким образом, водорастворимые полимеры, латекс и отработанное трансформаторное масло с битумом образуют связнодисперсную систему песка с удовлетворительной водопрочностью.

Прочность связнодисперсной системы песка против разрушающего действия воды оценивалась по изменению веса образца в результате размокания в воде и по времени ее полного разрушения. Для этой цели из песка готовили кубики, где связующими были вода (контроль), отработанное трансформаторное масло, битум-масло. При этом получены следующие результаты.

СВЯЗУЮЩЕЕ

ВРЕМЯ РАЗЛОЖЕНИЯ
(распада), мин

Вода	0,11
Масло	45
Масло-битум 10:0,1	80
10:0,5	130
10:1,0	540

Увеличение времени распада в 2 раза с добавками всего 10 г битума к 1 кг масла указывает на целесообразность повышения вязкости масла и использования такой дисперсии мелиоранта для закрепления подвижных песков.

Устойчивость связнодисперсных систем подвижных песков, созданных с использованием битума, увеличивается при добавке поверхностно-активных веществ [147]. Действительно, в [449] показано увеличение склонности частиц песка друг с другом посредством битума при добавлении к нему всего 0,03% катионного поверхностно-активного вещества Э-1. При этом поверхность песка становится гидрофобной, прочность связнодисперсной системы возрастает примерно на 20%.

Влияние корок и покрытий на температурный режим воздуха и песка

Температурный режим под коркой и на контроле. Значение температурного режима закрепленного барханного песка важно для создания необходимых условий произрастания растений. В [155] указывается, что на легкой песчаной почве ВНИИКХ в жаркий период мульча не только не повышала, а, наоборот, заметно снижала высокие дневные температуры. Как показали работы Н. Н. Банасевича и Н. Г. Захарова [154], битумная эмульсия выравнивает суточный ход температуры под коркой, несмотря на то, что он придает темному цвет песчаной поверхности, способствующий лучшему прогреву.

Измерение температуры проводили на опытном участке и на контроле с марта 1967 по январь 1968 гг. (ежемесячно), затем с 1970 по 1978 гг. периодически в летний и зимний периоды замеряли дневные температуры под коркой и над ней с 7 ч утра до 19 ч вечера на глубине 1, 10, 20, 30, 50 и 100 см.

Температура песка под коркой и на контроле, °С

Часы наблюдений	Температура, °С	На поверхности песка			На глубине, см																				
		1	2	3	1	2	3	1	2	3	1	2	3	1	2	3	1	2	3	10	20	30	50	70	100
27. 7. 1967																									
7	28.6	28.5	28.5	28	25	25	25	26	26	26	26	26	26	26	26	26	26	26	26	29	29	29	29	29	29
8	23	23	23	23	26	26	26	26	26	26	26	26	26	26	26	26	26	26	26	29	29	29	29	29	29
9	28	28	28	28	31	31	31	31	31	31	31	31	31	31	31	31	31	31	31	33	33	33	33	33	33
10	32	33	33	33	35.5	35.5	37.5	37	37	31	31	31	31	31	31	31	31	31	31	33	33	33	33	33	33
11	43	42	42	42	51	51	51	51	51	51	51	51	51	51	51	51	51	51	51	52	52	52	52	52	52
12	46.5	43.5	43.5	43.5	50	50	50	50	50	51	51	51	51	51	51	51	51	51	51	52	52	52	52	52	52
13	46.5	44.5	44.5	44.5	51	51	51	51	51	51	51	51	51	51	51	51	51	51	51	52	52	52	52	52	52
14	54.5	51.5	51.5	51.5	56	56	56	56	56	57	57	57	57	57	57	57	57	57	57	58	58	58	58	58	58
15	53.5	51.5	51.5	51.5	57	57	57	57	57	58	58	58	58	58	58	58	58	58	58	59	59	59	59	59	59
16	50.5	48	48	48	54	54	54	54	54	54	54	54	54	54	54	54	54	54	54	55	55	55	55	55	55
17	48	47	47	47	54	54	54	54	54	54	54	54	54	54	54	54	54	54	54	55	55	55	55	55	55
18	44	44	44	44	48	48	48	48	48	49	49	49	49	49	49	49	49	49	49	50	50	50	50	50	50
19	38	38	38	38	42.5	42.5	42.5	42.5	42.5	43	43	43	43	43	43	43	43	43	43	44	44	44	44	44	44
20	38	38	38	38	43	43	43	43	43	37	37	37	37	37	37	37	37	37	37	38	38	38	38	38	38
27. 12. 1967																									
9	-2	-2	-2	-2	-4	-4	-4	-4	-4	-1	-1	-1	-1	-1	-1	-1	-1	-1	-2	-2	-2	-2	-2	-2	
10	-2	-2	-2	-2	-1	-1	-1	-1	-1	0	0	0	0	0	0	0	0	0	1	1	1	1	1	1	
11	-4	-4	-4	-4	-4	-2	-2	-2	-2	-4.5	-4.5	-4.5	-4.5	-4.5	-4.5	-4.5	-4.5	-4.5	-3	-3	-3	-3	-3	-3	
12	6	6	6	6	6	6	6	6	6	9	9	9	9	9	9	9	9	9	7.5	7.5	7.5	7.5	7.5	7.5	
13	6	6	6	6	6	6	6	6	6	10.5	10.5	10.5	10.5	10.5	10.5	10.5	10.5	10.5	9	9	9	9	9	9	
14	6	6	6	6	6	6	6	6	6	12	11	11	11	11	11	11	11	11	10.5	10.5	10.5	10.5	10.5	10.5	
15	6	6	6	6	6	6	6	6	6	8	8	8	8	8	8	8	8	8	7.5	7.5	7.5	7.5	7.5	7.5	
16	5	5	5	5	5	5	5	5	5	8.5	8.5	8.5	8.5	8.5	8.5	8.5	8.5	8.5	7	7	7	7	7	7	
17	4	4	4	4	4	4	4	4	4	4	4	4	4	4	4	4	4	4	4	4	4	4	4	4	4
18	2.9	2.9	2.9	2.9	2.9	2.9	2.9	2.9	2.9	3	3	3	3	3	3	3	3	3	3	3	3	3	3	3	

Примечание. Цифрами обозначены: 1 — корка; 2 — контроле; 3 — температура в основе 1° К; 4 — 3—0.5° К.

(3—0.5° К).

Кроме того, определяли температуру воздуха в 3 см от поверхности песка.

Измерения показали, что температуры под коркой и на контроле различны. Так, над поверхностью корки и на глубинах 10, 20, 30, 50 см в летний период температура ниже, чем на контроле. В зимний период под корками температура несколько повышается.

Корка влияет на ход температуры в песке на глубине до 50 см, с 50 до 100 см разница в температурах песка под коркой и на контроле очень незначительна (табл. 56, 57 и рис. 41).

Существует мнение [155], что битумная эмульсия в различных зонах пустыни по-разному влияет на прогрев лежащего под ней слоя песка. Так, например, на песках степной зоны под покрытием на основе битумной эмульсии в течение всего вегетационного периода температура повышается.

Сглаживание колебаний температуры песка под битумной эмульсией для пустынных условий авторы [154, 155] объясняют тем, что, во-первых, вследствие меньшей шероховатости поверхности битумного покрытия над ним беспрепятственно действует ветер, отнимающий часть тепла от покрытия, на открытой песчаной поверхности этот фактор играет меньшую роль и, во-вторых, в связи с большей влажностью верхние горизонты песка под битумным покрытием обладают лучшей теплопроводностью. Вследствие этого на участках, закрепленных битумной эмульсией, происходит более энергичное охлаждение поверхности и слоев, расположенных ближе к поверхности, и нагрев более глу-

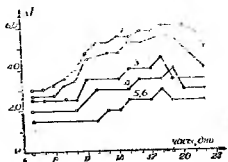


Таблица 57

Температура песка под коркой на основе 15%-ной глинистой

сuspension с добавкой полимера К-4, ПАА и латекса АРМ-15%.

Часы наблюдений	Температр. 3 см над песком и коркой				На поверхности песка				10			
	1	2	3	4	1	2	3	4	1	2	3	4
27.7. 1967	1	2	3	4	1	2	3	4	1	2	3	4
7	28,5	28,5	28	28	26	26	26	26	36	27	27	27
8	30	28	29	29	30	25	25	25,5	36	30	29	29,5
9	33	33	33	33	34	31,5	30,5	32	36,5	30	29	29
10	37	36	35	36	42	38	37	37	36,5	30	29	29
11	43	41,5	41	41,5	51,5	49	47	49,5	37	30	29	29,5
12	46,5	43	42,5	42,5	56,5	49	50,5	49	38	31,5	29,5	30
13	49,8	46,5	46,5	46,5	52,5	54	53	53	39	33	33	32,5
14	54,5	51	50	50,5	63	57	56	56	40,5	34,5	33	33
15	53,1	51,5	51	51	63	58	57	57,5	42,5	37	36	36,5
16	50,5	47,5	47	47	59	56,5	56	56,5	42,5	38,5	37,5	37
17	48	47	47	47	54	54,1	53,5	54	42,5	41	40	40
18	44	44	44	44	48	50	51,5	51	42,5	38	38	38
19	38	39	39	39	42,5	45,5	45,5	45	42,5	38	38	38
20	38	38	38	38	36	37	37,5	37	42	38	38	38
25.12. 1967	8	-2	-2	-2	-2	-10	-1	-1	-2	0	0	0
9	-2	-2	-2	-2	-8	0	0	0	-2	0	0	0
10	1	1	1	1	-2	0	1	1	0	1	1	0
11	4	4	4	4	2	4	3	2,5	0	1	1	1
12	6	6	6	6	7	6	6,5	5,5	0	1	1	1
13	8	8	8	8	10,5	10	9	8,5	1	1	1	1
14	8	8	8	8	12	12	12	12	1	1	1	1
15	8	8	8	8	11,5	12	12	12	0	1	0	0
16	5	5	5	5	8,5	10	10	10	0	1	0	0
17	4	4	4	4	4	8	8	8	0	1	0	0
18	2,9	2,9	2,9	2,9	2,5	4	4,5	4,5	0	1	0	0

Примечание. Цифрами обозначены: 1 — контроль; 2 —

На глубине, см															
20				30				50				100			
1	2	3	4	1	2	3	4	1	2	3	4	1	2	3	4
38	27	27	27	35	30	30	30	35	29	29	29	29	29	29	29
38	30	29,5	29,5	35	31	30	31	35	29	29	29,5	29	29	29	29
39	30	29,5	30	40	30,5	30	30	33	29	29	29,5	29	29	29	29
39	30,5	29,5	30	40	30,5	30	30,5	33	29	29	29,5	29	29	29	29
39	30,5	29	30	40	30,5	30	30	36	30	29	29,5	29	29	29	29
40,5	31	29	30,5	40	31	30	30	35	30	29	29,5	29	29	29	29
40	31,5	29	30	39	31	30	30	35	30	29	29,5	29	29	29	29
40,5	31,5	29	30	39	31	30	30	35	30	29	29,5	29	29	29	29
40	32	29	30	39	31	30	30	34,5	30	29	29,5	29	29	29	29
39	32	29,5	30	39	31	30	30	34,5	30	29	29,5	29	29	29	29
39	32	29,5	30	39	31	30	30	34,5	30	29	29,5	29	29	29	29
39	31	30	30	39	31	30	30	34	30	29	29,5	29	29	29	29
39	31	30	30	39	31	30	30	32	30	29	29,5	29	29	29	29
1	2	2	1,5	2,5	2,5	2,5	2,5	6	6,5	6,5	6,5	13	13	13	13
1	2	2	1,5	2,5	2,5	2,5	2,5	6	6,5	6,5	6,5	13	13	13	13
1	2	2	1,5	2,5	2,5	2,5	2,5	6	6,5	6,5	6	13	13	13	13
1	2	2	1,5	2,5	2,5	2,5	2,5	2	6	6,5	6,5	6	13	13	13
1	2	2	1,5	2,5	2,5	2,5	2,5	2	6,5	6,5	6,5	6	13	13	13
1	2	2	1,5	2,5	2,5	2,5	2,5	2	6,5	6,5	6,5	6	13	13	13
1	2	2	1,5	2,5	2,5	2,5	2,5	2	6,5	6,5	6,5	6	13	13	13
1	2	2	1,5	2,5	2,5	2,5	2,5	2	6,5	6,5	6,5	6	13	13	13
1	2	2	1,5	2,5	2,5	2,5	2,5	2	6,5	6,5	6,5	6	13	13	13
1	1,5	1,5	1,5	2,5	2	2	2	6	6	6,5	6,5	6	13	13	13
1	1,5	1,5	1,5	2,5	2	2	2	6	6	6,5	6,5	6	13	13	13
1	1,5	1,5	1,5	2,5	2	2	2	6	6	6,5	6,5	6	13	13	13

корка на основе латексов; 3 — К-4; 4 — ПАА

боких слоев песка, хотя по данным самих же авторов влажность песка в верхнем 20-санитметровом слое песка в жаркие летние месяцы в пустынях как под битумной эмульсией, так и на контроле бывает очень незначительной.

Наблюдения за температурой под покрытием, полученным на основе отработанного трансформаторного масла с битумом, проводили с 1976 по 1979 гг. на приозинских песках около Ашхабада, на площадках вокруг оснований опор линий электропередачи Ашхабад — Мары. После нанесения на песок масло-битумной смеси песчаная поверхность приобретала темно-коричневую окраску. Расход фиксирующей смеси составлял 2,5 л/м². Толщина слоя покрытия при таком расходе примерно 2—2,5 см.

Отмечено, что температура песка в слое до 30 см под таким покрытием выше, чем на контроле в течение всего года (табл. 58). Максимальная разница температуры зарегистрирована на глубине 3 см в наиболее жаркое время года (25.7.1977). Разница температуры песка под покрытием и на контроле наблюдается до глубины 30 см, на глубине 50 см и более ее нет.

Таблица 58

Температура песка под корками на основе раствора битума в масле, °С

Часы наблюдения 25.7.1977	Температура воздуха, 3 см над песком	Под покрытием					На контроле				
		Глубина, см					Глубина, см				
		3	10	20	30	50	3	10	20	30	50
10	34	35	33	30	25	25	39	39	34	30	25
11	43	43	34,5	31	26	26	45	39	35	32	26
12	49	49	35	34	29	25	49	42	36	34	27
13	52	53	41	37	30	26	56	42	36	35	27
14	52	52	41	37	30	26	56	42	36	35	27
15	48	50	40	37	30	26	54	3	39	35	27
16	42	49	39	37	28	26	48	41	38	33	26
17	38	48	39	35	26	25	48	39	36	32	26

Наблюдения за температурой под изоризиновым покрытием проводились с 1973 по 1974 гг. в Западном Туркменистане в районе Барсакельмес. После нанесения изоризина песчаная поверхность приобретала темно-

коричневую окраску. Температурный режим песка под изоризиновым покрытием изучался на площади около 400 м², разделенной на 4 части при различных расходах изоризина.

На первой части участка расход изоризина составлял 0,3 л/м², на второй — 1,0, на третьей — 2,0 и на четвертой — 3 л/м². Для контроля выбран участок площадью около 100 м² (табл. 59).

Таблица 59
Температура песка под изоризиновым покрытием в зависимости от расхода изоризина, °С

Часы наблюдений	Температура воздуха, 3 см над покрытием	Температура, °С, под покрытием при расходе, л/м ²																	Контроль			
		0,3					1,0					2,0					3,0					
		3	10	20	3	10	20	3	10	20	3	10	20	3	10	20	3	10	20			
15.7.1974																						
	9	30	30	28	26	30	28	25	28	26	24	28	25	24	30	29	28					
	10	33	34	29	26	34	29	26	34	28	26	34	27	26	35	30	29					
	11	39	36	33	29	38	36	35,5	29	34	30	41	36	30	39	35	30					
	12	46	46	35	33	46	35	33	47	36	34	48	37	34	46	36	34					
	13	51	53	42	39	54	42	39	53	43	39	55	43	40	53	42	39					
	14	53	55	42	39	56	42	39	58	43	40	58	44	41	55	42	46					
	15	53	55	42	39	56	42	39	58	43	40	58	44	41	55	42	40					
	16	50	53	41	38	54	41	40	54	43	41	55	44	41	53	40	38					
	17	44	45	40	36	46	40	40	47	41	40	47	41	40	45	40	39					
	18	36	39	37	36	39	37	36	40	39	37	40	39	37	39	37	36					

Выявлено, что температура песка в слое до 20 см под изоризиновым покрытием выше, чем на контроле в течение всего года. Максимальная разница температур в 4° наблюдается на глубине 3 см в наиболее жаркое время года. На глубинах 10, 20 см разница температур песка уменьшается и составляет 2—3°.

С увеличением расхода изоризина увеличивается толщина корки, которая вместе со слоем песка под ней в ночное время охлаждается больше, чем открытый песок на контроле. С повышением температуры в летнее время в середине дня поверхность с изоризиновым покрытием (с расходом 3 л/м²) нагревается значительно сильнее, чем песок на контроле.

Таким образом, изоризиновое покрытие по сравнению с покрытиями на основе полимеров и глины и с покры-

Таблица 60

Запас влаги (мм) под полимерно-песчаной коркой и на контроле

Концентрация растворов	Дата измерения										
	1967 г.					1968 г.					
	25,3	25,4	25,5	25,6	25,7	15,8	25,9	25,11	25,7	25,1	25,2
K-4 1%	77,0	81,0	49,7	29,8	17,0	12,8	15,3	23,8	29,0	40,1	49,8
K-4 0,5%	77,0	81,2	47,0	27,8	16,2	12,6	15,0	24,0	20,0	41,7	50,6
Латекс с подой											
1:1	76,0	80,1	49,0	28,7	16,0	12,8	15,2	22,4	26,8	38,6	48,9
1:2	76,5	80,0	49,0	26,5	15,4	12,6	15,0	22,0	27,2	39,7	49,5
1:3	76,8	80,9	49,8	26,0	15,0	12,4	15,5	23,6	27,8	39,7	49,8
1:5	77,2	81,5	48,3	—*	—	—	—	—	—	—	—
1:9	77,6	82,5	46,0	—	—	—	—	—	—	—	—
Контроль	77,5	81,2	41,9	27,1	12,5	11,0	14,0	24,3	29,3	39,2	51,0

* Данные отсутствуют, так как поверхность занесена песком.

и песчаными частицами, по-видимому, увеличивается; в результате образуется более плотная и прочная корка, снижающая испарение влаги.

Замеры влажности песков (район Котурдепе, Западный Туркменистан) под покрытием на основе отработанного трансформаторного масла показали, что в течение всего вегетационного периода в слое песка 0—

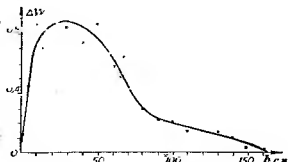


Рис. 42 Изменение влажности ($\Delta W = W_2 - W_1$) на опытном с K-9 ($W_2, \%$) и контролем ($W_1, \%$) участках в зависимости от глубины (h, см) разреза.

тиями на основе отработанных масел с битумом не выравнивает резкие колебания температуры в летний жаркий период года, что может привести к ожогам и гибели растений-пескоукрепителей.

Перечисленные химические мелкоранты по своей способности выравнивать резкие колебания температуры песка можно расположить в ряд: глина с полимером, полимеры, латекс, отработанные масла с битумом, нэроизин.

Режим влажности под коркой и на контроле. В водных барханных песках грунтовые воды обычно залегают глубоко. Капиллярное поднятие в песке, как известно, невелико. По данным Темирского опытного поля (120 км северо-западнее Челекаре), годовая сумма испарения в 1909 г. в 8 раз превышала годовое количество осадков [450]. Поэтому агротехнические приемы, в том числе химическая мелиорация, направлены на уменьшение испарения влаги из песка с целью создания запаса влаги для нормального роста растений.

В динамике влажности песка за весенне-летний вегетационный период можно отметить следующее. В течение марта—апреля 1967 г. влажность под коркой и на контроле была почти одинаковой. Это говорит о том, что песчаные корки, полученные с использованием раствора полимера K-4, латекса Арм-15 и суспензии глин, хорошо пропускают весенние осадки. В летний период влажность под полимерной коркой несколько повышена по сравнению с контролем. Влияние корки оказывается до глубины 50 см. Это объясняется уменьшением испарения с поверхности корки (табл. 50).

Влажность под полимерно-песчаной коркой всегда выше, чем на контролльном участке (рис. 62). В 1976 г. заложен опытный участок в районе поселка Аннау с целью изучения влагонакопления после нанесения на песчаную поверхность раствора полизелектролита K-9.

Опыты показали резкое увеличение содержания влаги в песке под коркой до глубины 50 см.

Связнодисперсионные системы (корки) на основе водо-расторвимых полизелектролитов и корки на основе глинистых суспензий с полимерами в зимне-весенний период года пропускают осадки также хорошо, как и на контроле (табл. 61). С повышением температуры воздуха в летний период связь между полимерными

Таблица 61

Запас влаги (мм) под глино-полимерно-песчаной коркой на контроле в горизонте 0–100 см

Концентрация СПС-пленки, %	Содержание погибшей почвы, см/г почвы	Дата измерения											
		1967 г.					1968 г.						
		25.3	24.5	25.5	25.6	25.7	25.8	25.9	25.11	25.12	25.12.2		
15	1,3—К-4	75,0	77,9	48,4	30,1	17,2	13,1	14,2	20,8	24,9	40,0	49,7	
5	4—К-4	76,5	78,5	54,6	23,7	9,9	14,4	12,2	14,6	21,8	26,6	40,6	50,6
15	5,3 латекса	75,0	76,8	48,7	29,6	16,8	12,8	14,0	20,4	25,2	33,0	48,3	
5	16 латекс	75,8	77,7	44,6	29,0	16,0	12,2	14,8	21,0	25,0	40,0	45,0	
15	1,3 ПЛА	74,2	77,0	48,3	29,8	16,9	12,7	17,3	18,0	20,0	25,6	39,4	45,4
Контроль	0	75,5	81,2	24,1	8,2	12,5	11,0	14,0	24,3	29,3	38,9	257,0	

Таблица 62

Влажность песка (%) на контроле и под покрытием на основе отработанного трансформаторного масла с добавкой битума (1974 г.)

Глубина горизонта, см		Масло с битумом					Контроль							
		Дата измерения, мес.												
		4	5	7	8	9	10	11	6	7	8	9	10	
Котурдене														
0–5	1,8	1,1	0,5	0,6	0,5	0,9	0,3	1,0	0,3	0,7	0,6	—	—	—
5–25	5,0	4,3	1,1	3,0	2,5	1,8	2,2	1,0	0,4	1,0	0,9	2,8	—	—
25–50	4,0	5,3	1,2	3,1	2,8	3,2	1,4	3,6	1,1	2,3	2,0	3,2	—	—
50–75	3,3	7,4	2,2	2,6	3,7	2,8	1,5	4,5	0,5	2,2	2,7	3,0	—	—
75–100	3,5	4,5	2,3	2,6	3,7	4,4	2,3	2,0	5,2	1,2	3,1	3,0	3,9	—
100–125	3,6	4,5	3,7	2,8	4,8	2,7	3,1	7,5	3,5	3,8	6,0	4,1	—	—
125–150	5,2	4,5	3,1	3,0	4,3	2,4	5,0	—	3,9	4,2	4,5	4,6	—	—
0–150	3,7	4,5	1,9	2,5	3,3	2,3	2,2	3,2	1,5	2,4	2,8	3,6	—	—

Джебел

0–5	2,1	1,2	0,7	0,7	1,0	0,8	0,5	0,7	0,4	1,2	0,7	0,2	—	—
5–25	4,9	4,2	3,5	2,6	3,2	1,8	1,1	3,4	3,1	3,2	0,9	0,6	—	—
25–50	3,2	3,4	3,8	3,1	4,7	4,7	1,2	5,1	4,0	3,7	1,9	2,0	—	—
50–75	2,4	2,9	3,5	3,6	5,3	4,1	1,1	5,8	4,6	3,0	3,4	2,5	—	—
75–100	1,8	3,9	6,3	4,0	5,7	6,1	1,2	5,4	1,5	2,9	2,1	1,1	—	—
100–125	4,1	5,3	3,8	7,3	4,5	3,7	2,7	1,2	2,5	2,7	3,4	1,2	—	—
125–150	4,2	4,8	5,2	—	4,3	4,9	4,1	1,0	2,0	3,3	4,3	2,6	—	—
0–150	3,2	3,5	3,7	4,7	4,1	3,8	1,7	3,2	2,2	2,8	2,3	1,6	—	—

Таблица 63

Влажность песка (%) под изразиновым покрытием у оснований опор ЛЭП (1971 г.)

Глубина горизонта, см	Дата измерения, мес.						
	4	5	6	8	9	10	11
3–5	3,0	1,2	1,3	0,7	0,5	1,3	1,02
5–25	8,3	3,7	2,3	1,6	0,9	2,4	2,29
25–50	6,0	4,5	3,0	2,9	1,8	1,8	3,63
50–75	5,6	4,1	3,3	3,5	1,9	3,9	3,93
75–100	5,8	4,1	3,4	3,6	2,0	3,9	4,36
100–125	6,3	3,6	3,5	3,8	—	3,8	4,26
125–150	7,1	4,7	4,0	4,0	—	3,9	—

Опора 65 (мелкобарханные пески)

3–5	2,7	0,6	0,6	0,6	0,4	0,6	0,94
5–25	3,9	3,5	2,6	1,1	1,7	0,9	1,46
25–50	4,4	4,4	3,4	2,3	2,4	1,9	2,36
50–75	7,2	5,5	3,2	3,3	2,5	1,7	2,37
75–100	18,0	10,8	4,8	6,1	6,03	5,0	9,91
100–125	19,6	22,5	7,3	17,0	10,8	8,0	13,7
125–150	Плыун	12,03	Плыун	—	13,9	—	—

Опора 67 (среднебарханные пески)

3–5	4,8	2,0	0,7	0,7	0,6	0,9	2,32
5–25	5,1	4,5	2,6	2,2	0,9	1,9	2,33
25–50	2,3	3,8	3,9	3,5	1,8	3,3	3,35
50–75	2,3	3,1	3,2	3,2	2,5	3,3	2,66
75–100	2,0	3,3	3,6	2,8	2,8	3,3	2,56
100–125	0,5	3,7	3,7	2,5	2,8	3,3	2,72
125–150	4,2	3,5	4,0	2,5	3,4	3,6	2,72

Опора 68 (крупнобарханные пески)

3–5	3,3	1,3	1,0	0,7	0,5	1,1	2,56
5–25	4,2	3,1	2,9	1,3	0,9	1,6	1,72
25–50	4,3	3,2	2,9	1,6	2,0	2,0	2,40
50–75	5,8	3,9	2,0	3,1	2,4	2,8	3,41
75–100	4,1	4,0	2,0	3,0	2,6	3,0	3,28
100–125	5,0	4,0	2,9	4,3	2,8	3,6	3,63
125–150	3,3	4,2	1,9	4,3	3,4	3,1	—

150 см влажность выше, чем на контроле (табл. 62). Например, весной под коркой процент влажности составил 3,7, на контроле — 2,2, а летом, в июле, — соответственно 1,9 и 1,5%. В районе поселка Джебел аналогичная картина: за вегетационный период влажность песков по тем же горизонтам под коркой — 3,7, а

на контроле — 2,7%, в августе — соответственно 4,7 и 2,8%.

На шире Келькор в районе Барсакельмес (Западный Туркменистан) сделаны замеры влажности песка под эрозионным покрытием (табл. 64). В апреле на глубине 0—150 см она в пределах 3,0—7,1%, а в мае — 1,2—4,7%. Летом процент влажности резко снижался до 0,7—1,0, в декабре повышался с 1,02 до 4,36, а на контроле (пески с мелкобарханным рельефом) в апреле — мае в горизонте 0—150 см влажность колебалась от 2,7 до 22,5%. В летние месяцы верхний слой песка (3—50 см) иссыпался настолько, что его влажность составляла 0,6—1,1%.

У основания опоры ЛЭП 67, находящейся на песках со среднебарханным рельефом, горизонте 3—150 см влажность песка под эрозионным покрытием в течение года в пределах 0,7—4,0%. На контроле процент влажности песка гораздо ниже, что особенно заметно в летние месяцы, и составляет 1,1—1,7. У основания опоры ЛЭП 58, расположенной на песках с крупнобарханным рельефом, влажность песка под эрозионным покрытием в апреле — мае в горизонте 0—150 см колеблется в пределах 1,3—5,0%, а в летние месяцы (июль—август) — от 0,7 до 2,9%. На контроле влажность песка зимой 1,7—2,6, а летом — 0,2—0,4% (см. табл. 63).

Изменение процента всхожести и приживаемости растений-пескоукрепителей в зависимости от вида применяемых мелиорантов

Фиксация песчаной поверхности дисперсиями химических мелиорантов, как показали опыты, положительно сказывается на сохранении семян пустынных растений от выдувания ветром, на их всхожести и приживаемости.

Первые полевые опыты по влиянию песчано-полимерных и песчано-глинистых корок на рост растений проведены в начале марта 1967 г. по берегам Каракумского канала вблизи г. Ашхабада. Опытный участок засеян семенами черкеза Палецкого. Затем на песчаную поверхность разбрзгивали водные растворы К-4; латекса и суспензии глины с полимерами.

Опыты показали, что полученные таким путем корки создают благоприятные условия для сохранения и



Рис. 43. Одногодичный черкез из опытного участка, закрепленном глинистой суспензией с добавкой полимера К-4.

прорастания семян пустынных растений (рис. 43). Кроме всходов семян черкеза здесь появились всходы семян местных растений (самосев). Наблюдения, проведенные во втором вегетационном периоде, показали, что растения, а также растения, семена которых попали путем самосева, служат как бы механической защитой, благодаря чему песок не подвергается выдуванию, и на всем опытном участке наблюдается процесс само-зарастания (рис. 44).



Рис. 44. Естественное зарастание растительностью опытного участка, закрепленного водным раствором полимера К-4.

Таблица 64

Всходость и приживаемость черкеза Палецкого на песках, обработанных различными химическими мелоранитами, %

Мелораниты	Всходость		Приживаемость	
	Котурдепе	Анау	Котурдепе	Анау
Контроль	30	35	15	15
Водный раствор К-9 0,25%	60	65	40	50
0,5	50	50	40	45
1,0	45	55	40	50
0,05	35	40	30	40
Раствор К-6 0,5 %	40	40	30	35
1,0	35	40	30	40
20%-ная глинистая суспензия с полимером К-9 (0,5%)	65	70	50	55
с полимером К-6 (0,5%)	60	65	45	55
без "полимера"	45	50	30	36
Отработанное турбинное масло (2 л/м ²)	20	15	5	5
Отработанный автол с битумом (9,1, 2 л/м ²)	15	20	5	5
Отработанное трансформаторное масло с битумом (9,1, 2 л/м ²)	15	15	5	5
Котурденинская нефть (2 л/м ²)	10	5	—	—
Нэроцин	2	—	—	—
ВРП-1 0,5%	50	55	45	45
Сунак-2 0,5%	50	55	45	55
Э-1 0,5%	50	55	40	45
Э-4 0,5%	60	55	45	45

В марте 1974 г. проведены опыты в вегетационных сосудах высотой 50 см и площадью основания 128 см². Для имитирования полевых условий сосуды закапывали в землю на 45 см и оставляли на открытом воздухе. Сосуды заполняли анаусским и котурденинским песками. Эти пески отличаются механическим, химическим и минералогическим составами. Котурденинские пески более засолены, чем анауские. В каждый сосуд посыпали по 20 семян черкеза Палецкого. Всходы появились 12 мая (через 56 дней после посева), а прижи-

ваемость — через 190 дней. Самый высокий процент всхожести отмечен при использовании глинистой суспензии, содержащей полимер К-9 (табл. 65). Если при использовании ВРП-1, Сунак-2 эта всхожесть была высокая, то приживаемость больше при использовании полиэлектролитов К-9 и К-6. Самые низкие всхожесть и приживаемость черкеза на покрытиях, полученных на основе нэроцина. Под нэроциновым покрытием почти все высевенные семена погибли. Отмечена незначительная приживаемость саженцев (табл. 65). Очень низкий процент приживаемости растений наблюдается на покрытиях на основе отработанных масел с битумом. Приживаемость саженцев на анаусских песках больше, чем на котурденинских.

Таблица 65

Результаты наблюдений роста растений (см) (нэроциновое покрытие)

Название растения	Опора 65, икор Келькор						Опора 66, мелкобарханные пески						Опора 67, среднебарханные пески					
	Дата замера роста																	
	3	4	5	6	3	4	5	6	3	4	5	6	3	4	5	6	3	4
Черкез Рыхтера	9	23	52	70	7	16	27	32	6	19	34	42	—	—	—	—	—	—
Кашлаш	3	12	24	35	3	12	21	27	8	19	41	55	—	—	—	—	—	—
Саксай белый	2	10	27	35	—	—	—	—	—	—	—	—	—	—	—	—	—	—

Весной 1973 г. песчаные основания вокруг опор ЛЭП Котурдепе—Белек закрепили раствором битума в отработанном трансформаторном масле. На закрепленных площадках выселяли семена черкеза Палецкого, а также посадили сеянцы и черенки кандыма и черкеза при норме высева на каждую опору 1 кг семян черкеза и 50 шт. саженцев и черенков кандыма и черкеза. Учет всхожести семян и приживаемость саженцев и черенков проводили в конце мая. Установлено, что приживаемость черкеза составила 26%, а сохранность к концу вегетации — 19%, у кандыма — соответственно 68 и 47% (опора № 193).

Таблица 66

Изменение во времени ветроэрозионной устойчивости
ных расходах

Норма расхода фиксаторов, м ²	Срок наблюдения			
	через 2,5 месяца	через 4-5 месяцев	через 7,5 месяца	
1	2	3	4	
1%-ный полимер К-4 2,0 л	Следов ветровой эрозии нет	На западной стороне опоры имеются механические повреждения. Следов ветровой эрозии нет	Около 30% поверхности опоры засыпано песком. Имеются механические повреждения. Незначительные следы ветровой эрозии	
3,0 л	Северо-западная сторона опоры засыпана песком, хотя механических следов ветровой эрозии нет	Следов ветровой эрозии нет. Имеются механические повреждения	На поверхности покрытия следы механических повреждений	
Латекс АРМ-15,4 % 3,0 л	Следов ветровой эрозии и механических повреждений нет	Имеются механические повреждения	Имеются механические повреждения. Следов ветровой эрозии нет	
Полимер К-9 3,6 л	Следов ветровой эрозии нет	Северо-восточная часть опоры засыпана песком	В результате прогона скота имеются механические повреждения на площади около 20% поверхности опоры	
Отработанное трансформаторное масло с битумом 2,0 л	Следов ветровой эрозии нет	Замок по всему периметру опоры засыпан песком	Незначительные механические повреждения	
3,0 л	Следов ветровой эрозии нет	Северо-западная сторона опоры засыпана песком	Механические повреждения	

различных покрытий в полевых условиях при различ-
факторов

через 1 год	через 2 года	через 3 года	различий			
			5	6	7	
Механические повреждения на 50% площади опоры. Следы ветровой эрозии	70% площади опоры с механическими повреждениями. Значительное выдувание песка в местах с поврежденным покрытием	Около 90% площади опоры выдуплено в результате механических повреждений покрытия				
Около 40% покрытия опоры разрушено в результате механических повреждений	Около 60% покрытий разрушено	В результате ветровой эрозии и механических повреждений выдуплено около 60% поверхности опоры				
Следы ветровой эрозии. Около 40% площади опоры с механическими повреждениями	В результате механических повреждений выдуплено 30% песка на площади опоры	Выдуплено около 30% поверхности опоры				
Следы механических повреждений	Около 40% поверхности покрытия разрушено	Около 60% поверхности покрытия разрушено				
Следы ветровой эрозии	Около 20% поверхности покрытий разрушено	Около 50% поверхности покрытия выдуплено				
Следы ветровой эрозии	Около 20% поверхности покрытия разрушено и выдуплено	Около 30% поверхности покрытия выдуплено				

Продолжение табл. 66

1	2	3	4	5	6	7
Латекс АРМ-15 3,0 л	Северо-восточная сторона опоры занесена песком	Следов ветровой эрозии нет	Около 20% поверхности покрытия имеют механические повреждения	Около 40% поверхности покрытия разрушено в результате ветровой эрозии.	Около 50% поверхности покрытия разрушено.	Около 60% поверхности покрытия разрушено и выдуто
Глинистая суспензия с полимером К-4 2,0 л	Следов ветровой эрозии нет	Механические повреждения. Следов ветровой эрозии нет	Следы механических повреждений	Около 45% поверхности покрытия разрушено.	В результате механических повреждений покрытие выдуто около 50% площади опоры	Около 60% поверхности опоры выдуто
Глинистые суспензии с полимером К-4 2,0 ПолимерК-9 2,0 л	Следов ветровой эрозии нет. Внутренняя сторона замка засыпана песком.	Следов ветровой эрозии нет	Механические повреждения	Следы механических повреждений	Около 40% площади опоры выдуто	Около 60% поверхности покрытия выдуто
Нэроцин 0,3 л 1,0 л	Замок и незначительная часть покрытия засыпаны песком	Около 50% поверхности покрытия разрушено ветром	Почти 90% поверхности опоры выдуто. Колка осталась только по краям замка	Следы ветровой эрозии. Около 40% поверхности покрытия разрушено.	Вся поверхность покрытия разрушена и выдута	Около 75% поверхности опоры выдуто
2,0 л 3,0 л	Следы ветровой эрозии Замок и часть покрытия засыпаны песком. Следы ветровой эрозии. Механических повреждений нет Внутренняя сторона замка засыпана песком. Следы ветровой эрозии и разрушений нет Северо-восточная сторона опоры занесена песком	Около 20% поверхности покрытия разрушено. Следы ветровой эрозии Следы разрушающей	Около 50% поверхности покрытия разрушено Следы разрушений	90% всей площади опоры выдуто	Около 90% всей площади опоры выдуто	Вся поверхность покрытия разрушена и выдута
Контрольный участок	Следы выдувания глубиной до 20 см	Следов ветровой эрозии нет	Около 10% поверхности покрытия разрушено	Около 40% покрытия разрушено	Около 50% поверхности покрытия разрушено	Около 70% поверхности покрытия разрушено
	Отмечено выдувание глубиной до 35 см	Вся поверхность опоры выдута, образовалась яма глубиной склад 60 см	Около 30% покрытия разрушено!	Около 40% поверхности покрытия разрушено	Около 60% поверхности покрытия разрушено	Около 60% поверхности покрытия разрушено
			По краям замка образовалась бархан высотой 1,5 м. В центре — яма глубиной до 1 м	По краям замка образовалась бархан высотой 1,5 м. В центре — яма глубиной до 1,3 м	Вся поверхность опоры выдута, образовалась яма глубиной до 1,5 м	

Наблюдения за динамикой роста и развития растений-пескоукрепителей показали следующее: за вегетационный период высота у черкеза составила 125 см, кандыма — 76, а в конце третьей вегетации высота черкеза — 226 см, кандыма — 140 (корка на основе отработанных масел с битумом). Отработанное масло с битумом создает в слое песка под коркой благоприятные условия для развития корневой системы растений. Под коркой накапливается достаточное количество влаги, доступное для растений.

Семена, высеваемые в лабораторных условиях под изразиновое покрытие, не дали всходов. В конце марта и начале апреля 1971 г. в Западном Туркменистане в районе Барсакельмес у основания четырех опор ЛЭП высевены семена саксаула, кандыма и черкеза под изразиновое покрытие, посадки черенков этих растений. Под каждую опору ЛЭП посажено по 50 черенков и высевено по 1 кг семян черкеза, кандыма и саксаула (площадь основания опоры ЛЭП около 350 м²). Эксперименты показали, что на опорах ЛЭП не прижилось ни одно растение-пескоукрепитель.

Видно, что рост растений-псаммофитов на различных типах песков района Барсакельмес неодинаков, что объясняется неравномерной обеспеченностью каждого куста влагой, различным содержанием солей в песках. Общее число кустов, растущих у оснований трех опор ЛЭП, — 77.

Связнодисперсионные системы песка (корки), полученные на основе водорастворимых полимеров, глинистых суспензий в сочетании с полимерами серии К, а также водные растворы эмульсии латекса Арм-15 создают благоприятные условия для прорастания высевенных семян и роста черенков растений-пескоукрепителей! Черкез, высеванный под корку на основе полимера К-4, через год достиг высоты 1 м. После развития корневой системы растения начинают выполнять свою роль, защищая песчаную поверхность от выдувания. К этому времени песчано-полимерные корки перестают выполнять защитную роль.

Покрытия на основе отработанных масел с битумом истоксичны к растениям и животным. Однако следует отметить, что эти масла обладают определенной токсичностью к семенам пустынных растений. Наиболее удовлетворительные результаты получаются при

посадках растений-пескоукрепителей в виде черенков или саженцев до нанесения фиксирующих растворов или под готовое покрытие.

Для определения прочности и ветроэрозионной устойчивости связнодисперсионных систем одних лабораторных испытаний недостаточно. Необходимо проведение испытаний непосредственно в полевых условиях в течение 2–3 лет.

Опытные работы проводили с различными фиксаторами весной и осенью 1971–1973 гг. в Западном Туркменистане при защите оснований опор линий электропередач в районе Вышка—Барсакельмес, Челекен — Котурдепе, а в Гяурском районе Ашхабадской области — весной 1975 — 1977 гг. (табл. 66).

Изменение механического состава песка после хемо- и фитомелиорации

После проведения пескоукрепительных работ в полевых условиях замечено некоторое изменение механического состава песка, что можно объяснить протеканием почвообразовательных процессов в результате жизнедеятельности корневой системы растений. Проанализировали пробы песка из-под корки у черкеза в возрасте одного года, а затем двух лет. Анализы показали, что в песке, где рос черкез, увеличилась доля глинистой фракции (табл. 67). Так, если содержание фракции размером менее 0,001 мм в песке до фитомелиорации составляло 12%, то после прорастания и развития черкеза на первый и второй год содержание этой фракции увеличивалось до 16 и 18% соответственно.

Таблица 67

Механический состав песка (%), на котором рос черкез (песок обработан 0,5%-ным раствором К-9 при расходе 2 л/м²)

Песок	Удельный вес, г/см ³	Размеры частиц, мм					
		Более 0,25	0,25	0,05	0,01	0,005	Менее 0,001
Без растений	2,50	1,2	68,8	—	—	—	12
С черкезом	2,55	—	84,0	—	—	—	16
1 год	—	—	—	—	—	—	—
2 год	2,55	—	84,0	—	—	—	18

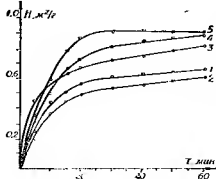


Рис. 45. Поглощение воды песком (1); песком под коркой на основе К-9 (2); песком под коркой К-9 в местах прорастания черкеза (3); песком под коркой К-9 с глинистой суспензией 10% (4) и 20% (5).

К-9 — 20% и песка с растением — 50%. Эти же величины для 16%-ной бензольной суспензии составляют 7,7:13,3 и 31,3%. Гидрофильность, определяемая как отношение значения объема осадка образца в воде и в бензоле, соответственно равна 1,43, 1,50 и 1,60. Следовательно, с ростом глинистой фракции в песке увеличивается гидрофильность, а это играет немаловажную роль при определении свойств почвенных дисперсий.

На рис. 45 представлена кинетика поглощения воды песком и коркой, полученной с использованием 0,5%-ного раствора полизелектролита К-9 и песком под этой коркой после прорастания черкеза в один вегетационный период. При этом пропорционально увеличивается количество поглощенной воды с увеличением степени оглинивания песка.

Величина n_1 , связанная со скоростью передвижения влаги по порам, уменьшается с ростом плотности образца и соответственно равна 9,0:8,3 и 4,7. Значение n_2 , характеризующее процесс поглощения, сопровождающийся набуханием, наоборот, увеличивается: 0,19:0,21 и 0,43.

Эти результаты указывают на существенные изменения коллоидно-химических свойств песка под влиянием корневой системы черкеза. Следовательно, осуществление фитомелиоративных мероприятий с химич-

ским закреплением подвижных песков благоприятствует ускорению почвообразовательных процессов и тем самым способствует освоению пустынь.

ЛИТЕРАТУРА

1. Брежнев Л. И. Ленинским курсом, т. 2. М.: Политиздат, 1970.
2. Костиков Л. И. Основы мелиорации. М., 1960.
3. Бабаев А. Г. Фрейкин З. Г. Пустыническая, сегодня, завтра. М.: Мысль, 1977.
4. Вуюцкий С. С. Курс коллоидной химии. М.: Химия, 1975.
5. Ребинднер П. А. Физико-химическая механика — новая область науки. М.: Энергия, 1958.
6. Ребинднер П. А. Физико-химическая механика как основа закрепления грунтов в дорожном строительстве и производстве строительных материалов. — В кн.: Труды совещания по теоретическим основам технической иллюстрации грунтов. М.: МГУ, 1961.
7. Карагин В. А. Избранные труды, т. 1. М.: Наука, 1972.
8. Кельдыш М. В. Методологические проблемы науки. М.: Мысль, 1969.
9. Маркс К., Энгельс Ф. Соч., т. 25, ч. 2.
10. Маркс К., Энгельс Ф. Соч., т. 1, 1970.
11. Новое в исследовании поверхности твердого тела, вып. I—2. М.: Мир, 1977.
12. Строение и свойства адсорбентов и катализаторов. М.: Мир, 1973.
13. Бреек Д. Цеолитовые молекулярные сита. М.: Мир, 1976.
14. Ласкорин Б. А., Стрелко В. В., Стражеско Д. Н., Денисов В. И. Сорбенты на основе силикагеля в радиохимии. М.: Атомиздат, 1977.
15. Киселев В. Ф., Крылов О. В. Адсорбционные процессы на поверхности полупроводников и диэлектриков. М.: Наука, 1978.
16. Арипов Э. А. Природные минеральные сорбенты, их активирование и модифицирование. Ташкент: Фан, 1970.
17. Тарасевич Ю. И., Ончаренко Ф. Д. Адсорбция на глинистых минералах. Киев: Наукова думка, 1975.
18. Клиントопилит. Тбилиси: Мечникова, 1977.
19. Мединский Илья О. М. Кристаллохимия поверхности глинистых минералов. Тбилиси: Мечникова, 1978.
20. Арипов Э. А., Смолина Л. Б. Физико-химические свойства сероземов Узбекистана и их регулирование. Ташкент: Фан, 1980.
21. Фадеев П. И. Пески ССР, ч. 1. М.: МГУ, 1951.
22. Витенский Д. Г. Почвоведение. М.: МирПрес, 1954.
23. Басаев А. Г., Федорович Б. А. Основные этапы формирования рельефа Каракумов. — Пробл. освоения пустынь, 1970, № 5.
24. Леонтьев А. Песчаные пустыни Средней Азии и их мелиоративное освоение. Ташкент: Госиздат, 1962.
25. Синников И. П. Размещение, защита и озеленение хозяйственных объектов в Низменных Каракумах. Ашхабад: Туркменистан, 1974.

26. Прохорова Г. А. Влияние водной и зерновой транспортировки на минералогический состав и формузерен Каракумских песков. — Материалы по геоморфологии и палеогеографии СССР. М.: Географлитиздат, 1950.
27. Левандюк А. Т., Чередиценко В. П. Состав зерновых песков в зоне газопровода Средняя Азия—Центр. — Проблемы пустынь, 1969, № 1.
28. Аразумаров М. Исследование влияния глины и поливариантов на процессы образования связнодисперсной системы в подвижных песках. — Автореф. дис. на соиск. учен. степени канд. хим. наук. Ташкент, 1979.
29. Петров М. П. Пустыни земного шара. Л.: Наука, 1973.
30. Сергеев Е. М. Гранулометрическая классификация песков.—Бест. Моск. ун-та. Сер. физ.-мат. и естеств. наук, 1953, № 12.
31. Сидоренко А. В. Об изменениях песков золовыми процесами.—ДАН СССР, 1948, т. 62, № 5.
32. Яковлев С. А. Тихвинские пески.—ДАН СССР, 1928, № 16, 17, сер. А.
33. Преображенский И. А. О подсчетах минералогического состава обломочных пород. Сб., посвящ. 70-летию со дня рождея акад. Беллинсгена.—Изв. АН СССР, 1941.
34. Чухров Ф. В. Коллоиды в земной коре. М.: Изд-во АН СССР, 1955.
35. Горбунов Н. Н., Цюрупа И. Г., Шурыгин Е. А. Рентгенограммы, термограммы и кривые обезвоживания минералов, встречающихся в почвах и глинах. М.: Изд-во АН СССР, 1952.
36. Грим Р. Минералогия глины. М.: ИЛ, 1956.
37. Рентгеновские методы изучения и структуры глинистых материалов. М.: Мир, 1965.
38. Рекинская Л. Г. Атлас электронных микрофотографий глинистых минералов и их природных ассоциаций в осадочных породах. М.: Наука, 1966.
39. Грим Р. Э. Минералогия и практическое использование глины. М.: Мир, 1967.
40. Дубинин М. М. Физико-технические основы сорбционной технологии. М.: ОНТИ, 1935.
41. Бруниэр Х. С. Адсорбция паров и газов. М.: ИЛ, 1948.
42. Киселев А. В. Поверхностные явления. Адсорбция. — В кн.: Курс физической химии, т. I. М.: МГУ, 1969.
43. Трэгг С., Сингх К. Адсорбция. Удельная поверхность и пористость. М.: Мир, 1970.
44. Карнаухов А. П. Геометрия и пористая структура дисперсных тел. — В кн.: Исследование адсорбционных процессов и адсорбентов. Ташкент: Фан, 1979.
45. Нурыев Б. Н. Структурообразование в дисперсных песках и мере борьбы с ветровой эрозией. — Автореф. дис. на соиск. учен. степени канд. хим. наук. Ташкент, 1969.
46. Морозов С., Федоров В. М. Цементация песков для придания им прочности и снижения водонапорности. — Материалы VI Всесоюз. совещ. по закреплению и уплотнению грунтов. М.: МГУ, 1969.
47. Петров М. П. Подвижные пески пустынь и полупустынь Союза и борьба с ними. М.: Географлитиздат, 1950.
48. Лобова Е. В. Почвы пустынной зоны СССР. М.—Л., 1960.
49. Подгорою А. С. Применение изорезина при закреплении облесенныи песков на трассах газопроводов (на примере газопровода Бухара—Урал и Средняя Азия—Центр). — Автореф. дис. на соиск. учен. степени канд. с.-х. наук. Ашхабад, 1972.
50. Овеизиев А. О., Романов Ю. А. Об облесенном задернованных песков Среднеамударинского оазиса. — В кн.: Природные условия и подвижные пески пустынь. Ашхабад: Быль, 1971.
51. Бабаев А. Г. Оазисные пески Туркменистана и пути их освоения. Ашхабад: Быль, 1973.
52. Об устройстве газоконденсатного месторождения Гогарында, Камызыльда и Котурдепе. Небит-Даг; ТуркменНИПинфть, 1977.
53. Дубянский В. А. Песчаные пустыни Юго-Восточных Каракумов. — Труды по прикладной ботанике. Ашхабад: Изд-во АН ТССР, 1928, т. 19, вып. 4.
54. Гасель А. Г. О роли растений в почвообразовании в пустынях Каракумов, с песчаными почвами и их плодородии. — Изв. ГГО, 1939, т. 71, вып. 8.
55. Левандюк А. Г. Песчаные массивы северной части Западно-Туркменской низменности. Ашхабад: Быль, 1963.
56. Кривенков А. М. и др. О вещественном составе золовых и непереваренных песков Карабогазских лесов. — Изв. АН ТССР. Сер. физ.-тех. и геол. наук, 1961, № 2.
57. Сидоренко А. В. Эоловая дифференциация вещества в пустынях. — Изв. АН ТССР. Сер. географ., 1956, № 3.
58. Зиаменский А. И. Ветровая зона песчаных пустынь. М.: Наук. М., 1950.
59. Фигуровский И. А. Седиментационный анализ. М.: Изд-во АН СССР, 1948.
60. Цюрупа И. Ю. Практикум по коллоидной химии. М.: Высшая школа, 1963.
61. Киркашвили В. Л., Цуриков А. И. — Рабочий нефтишник, 1940, № 9.
62. Заварцкий А. Н. Описательная петрография. Ч. 2. Осадочные породы. М., 1926.
63. Твенхороль У. Х. Окатывание песчаных зерен. М.—Л.: Изд-во АН СССР, 1947.
64. Батурина В. П. Питографический анализ геологического профиля по терригенным компонентам. М.—Л.: Изд-во АН СССР, 1947.
65. Яковлев С. А. О классификации и номенклатуре рыхлых осадочных пород по механическому составу. — Изв. Глав. геол.-развед. упр., 1931, т. 30, вып. 34.
66. Фукс Н. А. Механика аэрозолей. М.: Изд-во АН СССР, 1955.
67. Иванов А. П. Физические основы деформации песков пустыни. Ашхабад: Быль, 1972.
68. Арипов Э. А. Формирование вторичной структуры преродных минеральных сорбентов. — В кн.: Физико-химические свойства искристых природных минеральных сорбентов Узбекистана. Ташкент: Фан, 1973.

69. Польшин Д. Е. О средних значениях удельного веса частиц основных видов грунтов. — Основные и фундаментальные вопросы механики грунтов. 1914, № 11.
70. Охотин В. В. Физические и механические свойства грунтов в зависимости от их минералогического состава и степени дисперсности. М.: Гуриодор, 1959.
71. Преображенский И. А. Определение пористости сплошных пород. — Труды АЗНИИ, 1932, вып. 5.
72. Прозорович Э. А. Пористость и механический состав песчаников продуктивной толщи промышленных площадей Ашхоронского полуострова. — Труды АЗНИИ, 1935, вып. 28.
73. Терягина К. Строительная механика грунта на основе его физических свойств. Госстройиздат, 1933.
74. Стрынекеев А. А., Деревицкая В. А., Слонимский Г. Л. Основы химии высокомолекулярных соединений. М.: Химия, 1967.
75. Роговин З. А. Основы химии и технологии производства химических волокон. М., 1957.
76. Роде А. А. Поверхностная влага. М.: Изд во АН ССР, 1952
77. Адам Н. К. Физика и химия поверхностей М.—Л.: ИЛ, 1947.
78. Глестон С. Теоретическая химия М.: ИЛ, 1950.
79. Самойлов О. Я. Структура водных растворов электролитов и гидратации ионов. М.: Изд во АН ССР, 1957.
80. Bergual J. D., Fother R. H. A theory of water and ionic solution with particular reference to hydrogen and hydroxyl ions. *J. Chem. Phys.*, 1, 515, 1933.
81. Narten A. N., Levy H. A. Liquid Water: Scattering on X-Rays. «Water a Comprehensive Treatise». New York—London. Plenum Press 1972, v. 1, p. 36!
82. Danford M. D., Levy H. A. The structure of water at room temperature. *J. Amer. Chem. Soc.* 84, 3965, 1962.
83. Davis C. M., Litovitz T. A. Two-state theory of the structure of water. *J. Chem. Phys.* 42, 2563, 1965.
84. Duncan A. B. F., Popple J. A. The structure of some simple molecules with lone electrons. *Trans Faraday Soc.* 49, 217, 1953.
85. Kern C. W., Karplus M. The Water Molecule. Water a Comprehensive Treatise. New York—London. Plenum Press 1972, v. 1, p. 21.
86. Дерягин Б. В., Чураев Н. В. Новые свойства жидкостей. М.: Наука, 1971.
87. Franks F. Introduction—Water. The Unique Chemical Water a Comprehensive Treatise New York—London. Plenum Press 1972, v. 1, p. 1.
88. Rao C. N. R. Theory of Hydrogen Bonding in Water a Comprehensive Treatise. New York—London. Plenum Press. v 1, 1972, p. 93.
89. Цундель Г. Гидратация и межмолекулярное взаимодействие. М.: Мир, 1972.
90. Dyke T. R. Group theoretical classification of the tunnelling rotational energy levels of water dimer. — *J. Chem. Phys.* 1977, 66, № 2, 492.
91. Dyke T. R., Mack, K. M., Muenter J. S. The structure of water dimer from molecular beam electric resonance spectroscopy. *J. Chem. Phys.* 66, 498, 1977.
92. Синюков В. В. Структура однотонных жидкостей, воды и водных растворов электролитов. М.: Наука, 1976.
93. Заденина Г. Н. Свойства и структура воды. М.: МГУ, 1974.
94. Glasel J. A. Nuclear Magnetic Resonance Studies on Water and Ice. Water. Comprehensive Treatise. New York—London. Plenum Press. 1972, v. 1.
95. Bellamy L. J., Osborn A. R., Lippincott E. R., Bandy A. R. Studies of the molecular structure and spectra of anomalous water. *Chem. Ind. (London)*, (21), 686, 1969.
96. Bolander R. W., Richard W., Kassner J. L., Lan, Joseph. Cluster Structure of anomalous liquid water. *Nature*, 221, (5187), 1233, 1969.
97. Frank H. S. Structural models. Water a Comprehensive Treatise New York—London. Plenum Press. 1972, v. 1.
98. Самойлов О. Я., Носова Т. А. Структурные особенности воды.—Журн. структ. химии, 1965, т. 5, 6.
99. Гуриков В. Ю. Структура и термодинамические свойства воды. I. Применение модели Самойлова к расчету свободной энергии воды.—Журн. структ. химии, 1965, т. 6, 2. О структуре воды в тройной точке.—Журн. структ. химии, 1966, т. 7.
100. Гуриков В. Ю. О молекулярных структурах воды.—В кн.: Исследования в области «поверхностных слоев». М.: Наука, 1967.
101. Гуриков В. Ю. Строение льдообразного каркаса воды. I. Растигнутый каркас.—Журн. структ. химии, 1968, т. 9. 2 Растворимо расширенный каркас.—Журн. структ. химии, 1968, т. 9.
102. Гуриков В. Ю. Сжимаемость воды в соответствии с моделью Самойлова. — Журн. структ. химии, 1968, 9.
103. Вдовенко В. И., Гуриков Ю. В., Легин Е. К. Диффузия ионов и структура воды.—Радиохимия, 1966, т. 8.
104. Pauling L. Hydrogen Bonding. London, 1959.
105. Маленков Г. Г. Геометрический аспект явления стабилизации структуры воды молекулами незелектролитов.—Журн. структ. химии, 1966, т. 7.
106. Rontgen W. C. Über die Constitution des flüssigen Wassers. *Ann. Phys. und Chem.* 45, № 1, 91, 1892.
107. Frank H. S., Wen N. Y. Structural aspects of ion-solvence interaction in aqueous solutions: a suggested picture of water structure. *Disc. Faraday Soc.*, 24, 133, 1957.
108. Чекалин Н. В., Шахпаронов М. И. К вопросу о механизме диэлектрической релаксации в воде.—Журн. структ. химии, 1968, № 9.
109. Nemethy G., Scheraga H. A. Structure of Water and Hydrophobic Bonding in Proteins. I) A Model for the Thermodynamic Properties of Liquid Water. II) Model for the Thermodynamic Properties of Aqueous Solutions of Hydrocarbons. *J. Chem. Phys.* 36, 3382, 3401, 1962.
110. Вдовенко В. М., Гуриков В. Ю., Легин Е. К. Термодинамика двухструктурной модели воды.—Журн. структ. химии, 1966, т. 7.
111. Frank N. S., Quist A. S. Pauling's model and the thermodynamic properties of water. *J. Chem. Phys.* 34, № 2, 604, 1961.
112. Шахпаронов М. И. Введение в молекулярную теорию растворов. М.: Гостехиздат, 1956.

113. Nakamoto Kazuo. Infrared Spectra of Inorganic Coordination Compounds. Tokyo, 1965.
114. Епекин А. Ассоциации в жидкостях. Zeitschr. Electrochem., 52, 255, 1948.
115. Неметту Г. Hydrophobe Wechselwirkungen. Angew. Chem., 79, N. 5, 260, 1967.
116. Сырников Ю. П. Двухструктурная модель и тенденции воды. — В кн.: Структура и роль воды в живом организме. Л.: Изд-во МГУ, 1966.
117. Орел М. А., Арипов Э. А., Лапатухин И. В., Розенфельд С. Ш., Волошина Л. Б., Карагерецкая И. В., Габелько А. Б., Ахмедов К. С. Магнитная обработка водных дисперсий флуоресцентов. Ташкент: Фан, 1973.
118. Ageno M. On the nature of the hydrogen bond and the structure of water. Proc. Natl. Acad. Sci. USA, 67, N 3, 567, 1967.
119. Блох М. А. Структура воды и геологические процессы. М.: Недра, 1969.
120. Блох М. А. Модель структуры воды Марио Аджено в связи с вопросами геологии. — В кн.: Значение структурных особенностей воды и водных растворов для геологических интерпретаций, вып. 1. М.: ВИМС, 1968.
121. Орел М. А., Карагерецкая И. Ф., Розенфельд С. Ш., Арипов Э. А., Саруханов М. А. Изменение интенсивности полосы положения в ИК-спектрах омнитичной воды. — Уз. хим. журн., 1970, № 3.
122. Рудаков В. Е. Термодинамика межмолекулярных взаимодействий. Новосибирск: Наука, 1970.
123. Блох М. А. Модель структуры жидкой воды. — В кн.: Значение структуры особенностей воды и водных растворов для геологических интерпретаций, вып. 2. М.: Изд-во ВИМС, 1971.
124. Юхневич Г. В. Инфракрасная спектроскопия воды. М.: Наука, 1973.
125. Drost-Hansen W. Anomalies in the properties of water. Proc. Int. Symp. Water Desalination, Washington, October, 1965, I, 382—406.
126. Фролгасьев В. П., Шрайбер Л. С. Исследование изменения электронной поляризуемости молекул обычной и тяжелой воды под влиянием температуры. — Журн. струк. химии, 1965, № 6.
127. Tanford C. H. The hydrophobic effect: Formation of micelle and Biological membranes. A Will-Interscience publ New-York-London-Sydney-Toronto, 1973.
128. Арипов Э. А., Орел М. А., Аминов С. Н. Повышение эффективности поверхностью-активных веществ регулированием гидрофобных взаимодействий в их водных растворах. — В сб. Физико-химические основы применения поверхностью-активных веществ. Ташкент, ФАН, 1977.
129. Пчелкин В. А. Гидрофобные взаимодействия в дисперсных системах. М.: Знание, 1976.
130. Арипов Э. А., Орел М. А., Аминов С. Н. Гидрофобные взаимодействия в бинарных растворах поверхностью-активных веществ. Ташкент: Фан, 1980.
131. Возная Н. Ф. Химия воды и микробиология. М.: Высшая школа, 1979.
132. Проскуряков В. А., Шмидт Л. Н. Очистка сточных вод в химической промышленности. Л.: Химия, 1977.

133. Кульский Л. А., Даль В. В. Проблемы чистой воды. Киев: Наукова думка, 1974.
134. Нурыев Б. Н., Арипов Э. А., Ахмедов К. С. Пескозащитные корки на основе водорастворимых полимеров с использованием минерализованной воды. — Пробл. освоения пустынь, 1973, № 3.
135. Иниктин С. С. Химия нефти. М.: Химия, 1955.
136. Карцев А. А. Основы геохимии нефти и газа. М.: Недра, 1969.
137. En libuc esso entreprend un important programme de stabilisation des dunes—Cahiers Ing. Agron., 1968, № 204.
138. Letey J., Halzey D. E., Van-Maren A. J., Richardson W. J. Wind erosion control with chemical sprays. Colif. Agr., 1963, v. 17, N 10.
139. Lamrie I. Britain receives the world's deserts. Planters J. Agriculturist, 1966, v. 43, № 10.
140. Шапкин В. А. Способ закрепления подвижных песков. Авт. свид. № 471102. Бюл. изобр. 1974, № 8.
141. Иванов А. П. О механизме фиксации подвижной песчаной поверхности нефтепродуктами. — Пробл. освоения пустынь, 1967, № 2.
142. Шаманин В. А., Атаев Н., Ширинамедов М. Остановленные пески. — Нефтехим., 1975, № 1.
143. Крейсер Г. Д. Асфальты, битумы и пески. М.: Промстройиздат, 1952.
144. Сергиенко С. Р. Высокомолекулярные соединения нефти. М.: Химия, 1964.
145. Михайлов В. В. Нефтяные дорожные битумы. М.: Дориздат, 1949.
146. Иванов К. Т. К теории битумизации грунтов. М.: Дориздат, 1949.
147. Lamathe J., Zummer M., Ramond G. Formation d'animé-amines au sein du bitume: mise en évidence de la réaction. Труды Международного конгресса по ПАВ. М.: Внешторгиздат, 1977, т. 3.
148. Бернштейн А. В. Самопроизвольное эмульгирование битумов. Кнен: Наукова думка, 1969.
149. Глебов П. Д. Битумизация песчаных грунтов. — Материалы совещания по гидроусиливанию на слабых основаниях, 1941.
150. Коржуев А. С., Грицичина В. Б., Чегалкова В. А. Подбор битумных эмульсий для закрепления песчаных грунтов. — Советский метрополитен, 1940, № 2.
151. Аскаканов В. В. Классификация способов закрепления грунтов. — Труды совещания по теоретическим основам технической мелиорации грунтов. М.: Изд-во МГУ, 1961.
152. Arnibret D. V. A review of mulches to control wind erosion. Trans. ASAE, 1977, v. 20, N 5.
153. Bielfeldat H., Taepnies K. Werkschaffliche verfahren zum Befestigung von Bodenschichten. «Bitumen», 1976, v. 28, N 4.
154. Бавасеинч Н. Н., Захаров Н. Г. Новый способ закрепления подвижных песков. М.: Сельхозлит, 1935.
155. Бавасеинч Н. Н., Захаров Н. Г. Закрепление песков битумной эмульсией. — Сб. работ по аэрофизике, вып. 5. М.: 1941.
156. Захаров Н. Г. и Бавасеинч Н. Н. Новый способ закрепления подвижных песков. М.—Л.: Сельхозлит, 1954.

157. Захаров Н. Г. Ревут И. Б. Закрепление подвижных песков битумной эмульсией.—Лес и степь, 1951, № 4.
158. Знаменский А. И. О защите Захметского участка Каракумского канала от песчаных заносов. — Изв. АН ТССР Сер. Biol. наук, 1956, № 2.
159. Знаменский А. И. Экспериментальные исследования процессов ветровой эрозии песков и вопросы защиты песчаных заносов. Материалы исследований в помощь проектированию и строительству Каракумского канала. Ашхабад: Изд-во АН ТССР, 1958.
160. Фазилов Т. И. Защита железных дорог от искала вяжущими веществами. — Пробл. освоения пустынь, 1972, № 3.
161. Фазилов Т. И. Защита железнодорожной линии Маяк-Мангышлак—Узень от песчаных заносов.—Пробл. освоения пустынь, 1977, № 2.
162. Фазилов Т. И Опыт закрепления песков вяжущими веществами.—В кн.: Борьба с песчаными заносами на железных дорогах, вып. 139. Ташкент, 1977.
163. Москвин Э. И. Опыт создания защитных лесных насаждений с применением битумной эмульсии в восточном Прикаспии.—Пробл. освоения пустынь, 1976, № 1.
164. Гуревич И. Л. Технология нефти. М.—Л.: Гостехиздат, 1952.
165. Иванов А. П. Пескозаполненные покрытия на основе нефти и нефтепродуктов.—Пробл. освоения пустынь, 1968, № 6.
166. Сенкевич Б. Н., Иванов А. П., Рябихин Э. Л., Байрамов С. Б. Защита Небит-Даского нефтяного завода от песчаных заносов. — Пробл. освоения пустынь, 1971, № 5.
167. Черновицуков Н. И. Очистка нефтепродуктов и производство специальных продуктов (Технология нефти). М.—Л., 1952.
168. Шашкин П. И. Регенерация отработанных нефтяных масел. М.: Гостехиздат, 1960.
169. Брайт В. Регенерация трансформаторных масел. М.: Химия, 1966.
170. Нуриев Б. Авт. син. № 631576. Бюл. 1978, № 41.
171. Араамурадов М., Ширмамедов А. Защита оснований опор ВЛ полимерными материалами.—Электрические станции, 1978, № 7.
172. Райс Г. Глины, значение, свойства и применение. Л.: Изд-во ОНТИ, 1972.
173. Земятчинский П. А. Глины СССР. М.: Изд-во АН СССР, 1958.
174. Материалы и классификация глинистых материалов. М.: Изд-во ИГЕМ, 1961.
175. Эгембердиев М. Литология верхнемеловых осадочных формаций Кзылкума. Ташкент: Фан, 1963.
176. Закиров М. З. Полезные ископаемые зоценовых отложений Приташкентского района Ташкент. Фан, 1966.
177. Арипов Э. А. и др. Природные сорбенты цеолитовой структуры. Ташкент: Фан, 1977.
178. Арипов Э. А., Закиров М. З., Ахмедов К. С., Монтморилонит-гидрослюдистые глины Узбекистана. Ташкент: Фан, 1976.
179. Закиров М. З. Гипергенез глинистых отложений Узбекистана и его минеральные индикаторы. Ташкент: Фан, 1977.
180. Туинов К. В. Геологическое строение Огланлинского месторождения бентонитовых глин и его перспективы.—Труды V Пленума комиссии по исследованию и использованию глин. Ашхабад: Туркменистан, 1971.
181. Мерабишвили М. С. Бентонитовые глины. Природные особенности, физико-химические свойства, области применения основных месторождений СССР. М.: Госгеотехиздат, 1962.
182. Машриков К. К., Кулиев К. Б. Юрские глины Туркмении и перспективы их использования.—Труды V Пленума комиссии по использованию и исследованию глин. Ашхабад: Туркменистан, 1971.
183. Гендерлер С. Л. Петрографическая характеристика глинистых пород верхнемеловых отложений центральной части Каракумов.—Труды V Пленума комиссии по исследованию и использованию глин. Ашхабад: Туркменистан, 1971.
184. Бутузов П. М. Литолого-фациальная характеристика глинистых отложений палеогена Туркмении.—Труды V Пленума по исследованию и использованию глин. Ашхабад: Туркменистан, 1973.
185. Бессмертный В. Е. Изменение свойств глинистых тальков методом пескования в целях повышения их плодородия.—Труды V Пленума комиссии по исследованию и использованию глин. Ашхабад: Туркменистан, 1973.
186. Ротко М. А. Об исследовании глин в Туркменской ССР.—Труды V Пленума комиссии по исследованию и использованию глин Ашхабад: Туркменистан, 1971.
187. Ахмедов К. С., Арипов Э. А., Байрамов С. Б., Нуриев Б. Закрепление подвижных песков водными растворами полимеров. Ташкент: УзНИТИ, 1970.
188. Арипов Э. А. Набухание глин Кермени.—В кн.: Опоковидные глины Кермени. Ташкент: Фан, 1970.
189. Демидов Н. Н., Арипов Э. А. Влияние полизелектролита К—4 на теплоту смачивания и наглощания растворов электролита серозема.—В кн.: Регулирование свойств дисперсных систем. Ташкент: Фан, 1974.
190. Очварченко Ф. Д., Ничепоренко С. П., Валинка В. М. Об определении величины набухания глин.—Колонды, журн., 1962, т. 24.
191. Рождественский Е. Д. Физико-химические свойства лессосуговых грунтов Узбекистана. Ташкент: Изд-во АН УзССР, 1961.
192. Очварченко Ф. Д. Гидрофильтрность глины и глинистых мицеллов. Киев: Изд-во АН УССР, 1961.
193. Абдуллаев Н. Ф. Гидрофильтрность естественных активированных и модифицированных природных минеральных сорбентов.—В кн.: Физико-химические свойства некоторых природных минеральных сорбентов Узбекистана. Ташкент: Фан, 1973.
194. Муминов С. З. Абордация ионов воды на природных минеральных сорбентах.—В кн.: Физико-химические свойства некоторых природных минеральных сорбентов Узбекистана. Ташкент: Фан, 1973.
195. Араамурадов М., Муминов С. З., Нуриев Б. Н., Арипов Э. А. Абордация ионов воды глинами месторождений Западного Туркменистана.—Изв. АН ТССР. Сер. физ.-техн., хим. и геол. наук, 1979, № 5.
196. Беринг Б. П., Дервинг В. П., Киселев А. В., Сер-

пинский В. В., Сурова М. Д., Щербаков К. Д. Адсорбционные свойства монтмориллонитовых глин.—Коллония. Журн., 1952, т. 14.

197. Киселев А. В. Основные структурные типы адсорбентов и их влияние на адсорбционные свойства.—Журн. физ. хим., 1949, т. 23.

198. Овчаренко Ф. Д., Тарасевич Ю. И. Новое в исследовании адсорбции на глинистых минералах.—В кн.: Исследование адсорбционных процессов и адсорбентов. Ташкент: Фан, 1979.

199. Комаров В. С. Адсорбционно-структурные и катализические свойства глин Белоруссии. Минск: Наука и техника, 1976.

200. Дубинин М. М. Физико-химические основы сорбционной технологии. М.: ОНТИ, 1935.

201. Муминов С. З., Бернг Б. П., Серпинский В. В. Исследования в области термодинамики капиллярной конденсации.—Изв. АН ССР. Сер. хим. наук, 1965, № 1.

202. Мурадов Н. М., Лукьянов В. А. Исследование структурно-механических свойств глинистых паст поверхностных и глинистых глин месторождений Западной Туркмении.—Труды V Пленума комиссии по исследованию и использованию глины Ашхабад: Туркменистан, 1971.

203. Жуковицкий С. Ю. Глинистые растворы в бурении. М.: Гостехиздат, 1955.

204. Баранов В. С. Глинистые растворы для бурения скважин в осложненных условиях. М.: Гостехиздат, 1955.

205. Мискария А. К. Коллоидная химия промывочных глинистых суспензий. Баку: Госиздат, 1963.

206. Паус К. Ф. Буровые промывочные жидкости. М.: Недра, 1967.

207. Круглицкий Н. Н. Физико-химические основы регулирования свойств дисперсий глинистых минералов. Киев: Наукова думка, 1968.

208. Круглицкий Н. Н., Ничепоренко С. П., Самуров В. В., Минченко В. В. Ультразвуковая обработка дисперсий глинистых минералов. Киев: Наукова думка, 1971.

209. Городнов В. Д., Тесленко В. Н., Тимохин И. М. и др. Исследование глины и новые рецептуры глинистых растворов. М.: Недра, 1975.

210. Городнов В. Д., Тимохин И. М., Тесленко В. Н., Семенов А. И., Хашимов М. Х. Химические реагенты и термо-солестойчивые буровые растворы. Ташкент: Фан, 1972.

211. Ахмедов К. С., Сатаев Н. К., Фролов С. В. и др. Стабилизация глинистых суспензий водорастворимыми поликарбоксилатными полизеэлектролитами.—В кн.: Устойчивость и структурообразование в дисперсных системах. Ташкент: Фан, 1976.

212. Ахмедов К. С., Сатаев И. К., Монтрова С. В., Тихонова Л. В. Регулирование глинистых суспензий водорастворимыми полизеэлектролитами на основе производных гуминовых кислот в дисперсиях линзина.—В кн.: Структурообразование в минеральных дисперсиях. Ташкент: Фан, 1979.

213. Арипов Э. А. Модифицирование природных минеральных сорбентов с помощью водорастворимых полимеров.—Уз. хим. журн., 1969, № 5.

214. Арипов Э. А. Изучение процессов модификации природных минеральных сорбентов. Автореф. дис. на соиск. уч. степ. канд. докт. хим. наук. Ташкент, 1971.

246

215. Арипов Э. А. Свойства модифицированных водорастворимыми полимерами природных минеральных сорбентов.—В кн.: Физико-химические свойства некоторых природных минеральных сорбентов Узбекистана. Ташкент: Фан, 1973.

216. Нуриев Б. Н., Арипов Э. А., Ахмедов К. С. Структурообразование в дисперсиях глины и песка в присутствии водорастворимых полимеров.—Пробл. освоения пустынь, 1974, № 6.

217. Арипов Э. А. К адсорбции полизеэлектролитов природными минеральными сорбентами и свойства продуктов модификации.—В кн.: Изучение адсорбционных процессов и адсорбентов. Ташкент: Фан, 1979.

218. Нуриев Б. Н., Арипов Э. А., Ахмедов К. С. Закрепление подвижных песков глинистой суспензии.—Пробл. освоения пустынь, 1969, № 5.

219. Санотинский С. А. Гидролизная промышленность ССР, 1949, № 6.

220. Баранов В. С., Букс З. П.—Нефтяное хозяйство, 1959, № 7.

221. Беллер Н. Н., Куршанова З. И., Чернышева И. М. Новости газовой и нефтяной техники.—Нефтепромысловое дело, 1961, № 5.

222. Коршак В. В. Химия высокомолекулярных соединений М.—Л.: Изд-во АН ССР, 1960.

223. Роговин З. А., Шорыгин Н. Н. Химия целлюлозы М.—Л., 1953.

224. Роговин З. А., Мирлос Д. Л. Химическая наука и промышленность, 1958, т. 3, № 6.

225. Ахмедов К. С., Арипов Э. А., Вирская Г. М. и др. Водорастворимые полимеры и их взаимодействие с дисперсными системами. Ташкент: Фан, 1969.

226. Николаев А. Ф., Охряменко Г. И. Водорастворимые полимеры. Л.: Химия, 1979.

227. Жигач К. Ф. и др. Карбоксиметиловые эфиры целлюлозы и их применение в народном хозяйстве.—Труды МИНХ и ГП, вып. 20. Гостехиздат, 1957.

228. Абиджанов А. А. Получение и исследование свойств карбоксиметицеллюлозы из делента хлопковых семян. Автореф. дис. на соиск. уч. степени канд. хим. наук. Ташкент, 1968.

229. Трианда Фалес С. Х. Изучение возможности применения целлюлозы из багассы для получения эфиров целлюлозы. Автореф. дис. на соиск. уч. степени канд. техн. наук. Л., 1979.

230. Даминова М. И., Кадыров Н. К., Ахмедов К. С. Влияние состояния компонентов на процесс получения КМЦ-5.—Уз. хим. журн., 1972, № 4.

231. Сатаев И. К., Абдурасулов М., Ахмедов К. С. Получение и исследование сополимера карбоксиметицеллюлозы для обработки глинистых соединений.—ДАН УзССР, 1971, № 11.

232. Даминова М. И., Кадыров Н. К., Зайнутдинов С. А., Ахмедов К. С. Получение и изучение свойства водорастворимого полимера КМЦ-5.—ДАН УзССР, 1969, № 16.

233. Сатаев И. К., Даминова М. И., Абдурасулов М.

и др. Способ обработки высокоминерализованных буровых жидкостей. Авт. свид. сер. № 42. Бюлл. изобр., 1974, № 14.

234. Абдурасулов М., Сатаев И. К., Ахмедов К. С. Способ получения полимерного реагента для обработки глинистых растворов. Авт. свид. серии № 362903. Бюлл. изобр., 1973, № 3.

235. Баранов В. С., Букс З. П. Нефть, 1938, № 1.

236. Гуревич М. М. Исследование суспензий чистого реагента, применяемого в нефтяном бурении. Баку, 1960.

237. Забрамный Д. Т. Исследование по химии угля в Узбекистане за 35 лет — В кн.: Химия в Узбекистане, т. I. Ташкент. Физ., 1965.

238. Забрамный Д. Т., Таджиев А. Т., Сафаев И. С., Черный В. В. Применение углей и гидролитического лизина для производства продуктов, имеющих взаимно сильные фосфаты при бурении.—В кн.: Гуминовые и полимерные препараты в сельском хозяйстве. Ташкент: Изд-во АН УзССР, 1961.

239. Таджиев А. Т. Исследование химической структуры углей методом окислительно-гидролитического расщепления и пути их комплексного использования. Автореф. дис. на соиск. уч. степеня докт. техн. наук. Ташкент, 1972.

240. Забрамный Д. Т., Победоносцева Н. И., Победоносцева О. И., Зараров Т. Ж. О получении фосфорно-аминичного гуминового удобрения. — Уз. хим. журн., 1979, № 1.

241. Сафаров С. А. Физико-химические исследования структурообразователей из гуминовых веществ для дисперсных систем. Автореф. дис. на соиск. уч. степени канд. хим. наук. Ташкент, 1967.

242. Сафаров С. А., Аринов Э. А., Ахмедов К. С. Исследование гуминовых препаратов методами инфракрасной спектроскопии и потенциометрического титрования.—В кн.: Минеральные и органические удобрения, структурообразователи почв и гербициды. Ташкент: Физ., 1967.

243. Монтрова С. В. Стабилизация глинистых суспензий полизлектролитами на основе гуминовых кислот. Автореф. дис. на соиск. уч. степени канд. наук. Ташкент, 1975.

244. Сатаев И. К., Монтрова С. В., Тихонова Л. Е. и др. Получение водорастворимых полизлектролитов на основе угля и лизина для применения в буровой технике.—Информ. сообщение АН УзССР, № 138. Ташкент: Физ., 1975.

245. Габай В. С. и др. Авт. свид. № 12671 (СССР). — Способ закрепления песков. Бюлл. изобр., 1973, № 24.

246. Подгорнов А. С. и др. Предварительные результаты испытаний гуминовой смолы и водорастворимых полимеров для борьбы с дефляцией почв. Бюлл. ВНИИ агролесомелиорации, вып. 1(23). Волгоград, 1977.

247. Шамшина В. А., Подгорнов А. С., Катаев В. И. Лизинговые препараты для закрепления песчаных земель. Использование лизина и его производных в сельском хозяйстве. Тезисы докладов 1-й Всесоюзной конференции Рига, Зицплатне.

248. Кущева Л. Е. Некораварование свойств суспензий нальчикской глины Камышбаши водорастворимыми полизлектролитами на основе нитролизина. Автореф. дис. на соиск. уч. степени канд. хим. наук. Ташкент, 1979.

249. Городнов В. Д., Адель И. Б. Набухание глин в раст-

ворах гипса, бихромата калия, сунила и других реагентов.—Нефть и газ, 1965, № 7.

250. Нобль Р. Д. Латекс в технике. Л.: ИЛ, 1962.

251. Нейман Р. Э. Конкуренция синтетических латексов. Воронеж: Изд-во Воронеж. ун-та, 1967.

252. Нерпин С. В., Ревут И. Б. Использование полимеров для борьбы с зерновой почвой.—В кн.: Защита почв от эрозии. М.: Колл. 1971.

253. Нурыев Б. Исследование корок, полученных при обратке песчаной поверхности динопласт-стирольным латексом АРМ-15.—Пробл. освоения пустынь, 1968, № 5.

254. Ревут И. Б. и др. Применение латексов и их смесей для борьбы с ветровой эрозией.—В кн.: Физика и биофизика почв, вып. 19 (труды АФИ) Л., 1969.

255. Награгаз V., Shanan L., Tadmor N. H. Effect of a Synthetic rubber crust much on the emergence and early growth on three grasses on sand dunes. Israel Agr. Pres. 1966, v. 15, N 3.

256. Алиев В. С. и др. Способ поверхностного закрепления барханного песка. Бюлл. изобр., 1966, № 20.

257. Бейнисович Б. С., Мизгирева А. Н., Смолина Л. П. Укрепление барханного песка и песчаной почвы фуруфоро-аминидной смолой. —ДАН УзССР, 1968, № 2.

258. Руководство по технологии получения и переработки растительных масел и жиров, т. 4. Л.: Изд-во АН ТССР, 1975.

259. Фомина А. С. Нерозин — химическое средство для борьбы с зерновой почвой.—В кн.: Защита почв от эрозии. М.: Колл., 1971.

260. Временная инструкция Всесоюз. науч.-исслед. ин-та полимерных и пластических масс Минздрава СССР и Министерства сельского хозяйства СССР о мерах предосторожности при опытно-производственном применении в сельском хозяйстве препарата изрорина и методические указания по закладке полевых опыта по влиянию изрорина для борьбы с ветровой эрозией, и выявление его влияния на урожайность сельскохозяйственных культур. Л., 1969.

261. Раги Х. А. Применение сланцевых смол в борьбе с ветровой эрозией.—В кн.: Проблемы сельского хозяйства Северного Кавказа и степных районов западной Сибири. М., 1967.

262. Аявлонов Ф. С., Габай В. С., Попорнов А. С. Опыт применения изрорина для закрепления и зарастания песков на трассе газопровода Бухара—Урал. Волгоград: ВНИИЛМИ, 1970.

263. Байдаров С. Б. и др. Защита оснований опор линий электропередач от выдувания с помощью изрорина.—Пробл. освоения пустынь, 1976, № 6.

264. Байденко Л. Экспериментальные данные о южнокитайских свойствах гидратированной смолы.—Горючие сланцы, 1969, № 4.

265. Габай В. С., Подгорнов А. С., Шамшина В. А. Применение изрорина для борьбы с дефляцией на подвижных песках.—Пробл. освоения пустынь, 1971, № 4.

266. Ржаницын Б. А. Силикатизация песчаных грунтов. М.: Минстройздат, 1949.

267. Ржаницын Б. А. Некоторые вопросы силикатизации — Труды совещания по геотехническим основам технической мелиорации грунтов. М.: МГУ, 1961.

- 268 Каггин В. Л. Избранные труды. Коллоидные системы из растворов полимеров. М.: Наука, 1978.
- 269 Нефтяные и синтетические нефтеновые кислоты, их свойства и производные. Техн. обр № 33. Баку, 1978.
- 270 Неволин Ф. В. Химия и технология синтетических моющих средств М.: Пищевая пром-сть, 1964.
- 271 Шварц Д., Перри Д. Поверхностно активные вещества М.: ИЛ, 1954.
- 272 Штюпель С. Г. Синтетические моющие и очищающие средства. М.: Госхимиздат, 1960.
- 273 Шелфиер Н. Неноногенные моющие средства. М.: Химия, 1965.
- 274 Кагановский А. М., Клименко Н. Д. Физико-химические методы очистки промышленных сточных вод от поверхностно-активных веществ. Киев: Наукова думка, 1974.
- 275 Пушкарев В. В., Трофимов Д. И. Физико-химические особенности очистки сточных вод от ПАВ. М.: Химия, 1975.
- 276 Кунинцев Д., Аминов С. Н., Ахмедов К. С. Получение и очистка алкилбензосульфонилогалогенов с короткой целью из газоконденсата — Нефтепереработка и нефтхимия, 1973, № 12.
- 277 Ходжаханов Н. А., Махмудов Т. М., Ахмедов К. С. Получение катионноактивных четырехвалентных алюминиевых соединений на основе алкиларomaticских углеводородов — ДАН УзССР, 1970, № 5.
- 278 Савицкая М. Н. Получение полизелектролитов на основе производных метакриловой кислоты — Журн. прикл. химии, 1959, т. 32.
- 279 Вейцер Ю. И., Минц Д. М. Высокомолекулярные флокулянты в процессах очистки воды. М.: Стройиздат, 1975.
- 280 Ахмедов К. С., Погорельский К. В. К получению новых полимерных препаратов для искусственного структурирования дисперсных систем — Уз. хим. журн., 1962, № 2.
- 281 Арипов Э. А., Даминова М., Кадыров Н. К., Ахмедов К. С. Влияние водорастворимых полимеров на кислотность серозной почвы — Уз. хим. журн., 1969, № 2.
- 282 Вест Б. и др. Применение спектроскопии в химии М.: ИЛ, 1959.
- 283 Michaels A. S. Aggregation of suspensions by Poly-electrolytes. Ind and Eng. Chem., 1954, 46, 1485.
- 284 Хамраев С. С., Арипов Э. А., Ахмедов К. С. Структурообразование в растворах полимерного препарата ПАА I — Уз. хим. журн., 1965, № 1.
- 285 Погорельский К. В. Получение и физико-химические исследования полизелектролитов на основе акриловой и метакриловой кислот и их влияние на дисперсные системы. Автореф. дис. на соиск. уч. степени канд. хим. наук. Ташкент: Издво ТашГУ им. В. И. Ленина, 1970.
- 286 Ахмедов М. К. Получение и исследование свойств алкиларomaticальных полизелектролитов и их влияние на дисперсные системы. Дис. на соиск. уч. степени канд. хим. наук [Рукопись]. Ташкент, 1973.
- 287 Батюк В. Г. Применение полимеров и поверхностно-активных веществ в почвах М.: Наука, 1978.
- 288 Махкамов А. К., Зайнутдинов С. А., Ахмедов К. С. Водорастворимые сополимеры на основе акриловой кислоты и винилацетата. — ДАН УзССР, 1970, № 12.
- 289 Асанов А. Влияние на устойчивость суспензий и гидролиз бентонита и лесса полизелектролитов, полученных сополимеризацией фумаровой и малеиновой кислот с акриламидом. Автореф. дис. на соиск. уч. степени канд. хим. наук. Ташкент: ТашГУ им. В. И. Ленина, 1975.
- 290 Артыков Ф. А. Получение коллоидно химическое исследование новых водорастворимых полизелектролитов для регулирования свойств дисперсных систем. Автореф. дис. на соиск. уч. степени канд. хим. наук. Ташкент, 1976.
- 291 Муксинов А. С., Зайнутдинов С. А., Ахмедов К. С. Получение водорастворимого полимера на основе акриловой кислоты и силиката натрия — В кн: Взаимодействие полизелектролитов с дисперсными системами. Ташкент: Физ. ТашГИИ им. А. Р. Беруши, 1975.
- 292 Каримова А. Катионные водорастворимые полизелектролиты на основе полимеров, содержащих ароматические группы. Автореф. дис. на соиск. уч. степени канд. хим. наук. Ташкент: ТашГИИ им. А. Р. Беруши, 1975.
- 293 Аскarov М. А., Джалаев А. Т., Умарова И. К. Физико-химические свойства и применение водорастворимых полизелектролитов на основе полимеров и сополимеров винилбензилхлорида — В кн: Физико-химические основы применения поверхностно-активных веществ. Ташкент: Физ., 1977.
- 294 Грабчева Б. Ф. Закрепление барханных песков, 1964, № 2.
- 295 Габай В. С. Поликризалинд и закрепление подвижных песков — Вестн. с.-х. науки, 1965, № 7.
- 296 Агафонов О. А., Шуготов А. А. К вопросу о применении поликризалинда для застывания песков — В кн: Гидродинамика и структура почв. Л.: Колos, 1965.
- 297 Штаудингер Г. Высокомолекулярные органические соединения. Л.: ОНТИ, 1935.
- 298 Лосеев И. П., Тростянская Е. Б. Химия синтетических полимеров. М.: Химия, 1964.
- 299 Шумаков С. Н. Поливиниловый спирт и его производные. М.: Изд-во АН СССР, 1960.
- 300 Шумный Л. В., Коноваленко В. В., Иванчев С. Г. Синтез высокомолекулярного поливинилового спирта. Тезисы I конференции «Водорастворимые полимеры и их применение». Иркутск, 1979.
- 301 Ringsdorf H., Overberger C. Darstellung und Polymerisation von Dithiokohlensäure — S, S' — divinylester. Makromol. Chem., 1961, v. 44—46, s. 418.
- XVII. Some new Methylated Poly (vinylhydroquinone). J. Polymer Sci., 56, N 16, 1962, p. 83.
- 303 Schulz R. C., Faith H., Kern W. Acrolein polymers. III. Oximation and determination of aldehyde groups. Makromol. Chem., 1956, 20, p. 161.
- 304 Кудрявцев Г. И., Жаркова М. А. Полимеризационные превращения поливинилпиримида. — Труды ВНИИВ. 1955, № 103.

305. Brenhardt K. Verfahren zur Herstellung von Flockungsmitteln pat DDR, 21244, 9, 45, 61.
306. Krilium, Bibliography, Soil Africans, 1955, v. 3, N 2.
307. Ревут И. Б., Масленкова Г. Л., Романов Б. И. Химические способы воздействия на испарение и зрюю почв. Л.: Гидрометиздат, 1973.
308. Савинская М. Н., Холодова Ю. Д., Белецкая Е. Я. Синтез полимерных структурообразователей почвы — Труды УзИИИ физик. растений, 1962, вып. 23.
309. Ахмедов К. С. Новые водорасторвимые полиэлектролиты, поверхности активные вещества и их значение в регулировании коллоидно-химических свойств дисперсных систем — Уз. хим. журн., 1972, № 6.
310. Achmedow K. S. Neue wasserlösliche Polyelectrolyte. Faserforschung und Textiltechnik Akademie-Verlag Berlin, 24, 2, 1973.
311. Зайнутдинов С. З., Ахмедов К. С. Получение искусственного структурообразователя К-4 для почв Средней Азии — В кн.: Гуминовые и полимерные препараты в сельском хозяйстве. Ташкент: Фан, 1961.
312. Ахмедов К. С., Арипов Э. А., Зайнутдинов С. З. Водорасторвимый полимер К-4. Ташкент: УзИИИ, 1968.
313. Зайнутдинов С. З., Ахмедов К. С. Получение искусственного структурообразователя водорасторвимого полимера К-6 — В кн.: Исследование минерального и растительного сырья Узбекистана. Ташкент: Фан, 1962.
314. Арипов Э. А., Саруханов М. А., Зайнутдинов С. З., Ахмедов К. С. Омыление поликарбонитрила расторвами щелочей в мягких условиях. — Уз.-хим. журн., 1966, № 2.
315. Рахимов У. Исследование влияния водорасторвимого полиэлектролита К-9 на коллоидно-химические свойства почвенных и глиннистых суглинков. Автореф. дис. на соиск. учен. степени канд. хим. наук. Ташкент, 1974.
316. Ахмедов К. С., Зайнутдинов С. З., Сатаев И. К., Рахимов У. Получение водорасторвимых полимеров на основе отходов акционного волокна и их применение в бурьевой технике — Информ. сообщ., № 69. Ташкент: Фан, 1972.
317. Нурыев Б. Н., Аразмурадов М., Арипов Э. А., Зайнутдинов С. З. Опыт применения полимеров К-6 и К-9 для закрепления песка — Пробл. орошения пустынь, 1976, № 1.
318. Морозов С. С. Современное состояние технической мелораций грунтов и стоящие перед ней задачи — Труды совещания по теоретическим основам технической мелорации грунтов. М.: МГУ, 1961.
319. Ребиндер П. А. Конспект общего курса коллоидной химии. М.: МГУ, 1950.
320. Ребиндер П. А. Физико-химическая механика дисперсных структур. — В кн.: Физико-химическая механика дисперсных структур. М.: Наука, 1966.
321. Ребиндер П. А. Процессы структурообразования в дисперсных системах. — В кн.: Физико-химическая механика почв, грунтов, глин и строительных материалов. Ташкент: Фан, 1966.
322. Ребиндер П. А. Проблема образования дисперсных систем и структур в этих системах: физико-химическая механика дисперсных структур и твердых тел. — В кн.: Современные проблемы физической химии, т. 3. М.: МГУ, 1968.
323. Беэрку Б. М. Теоретические принципы комплексных методов укрепления грунтов с введением добавок цемента или частицы и поверхностью-активных веществ или хлористых солей — Труды совещания по теоретическим основам технической мелорации грунтов. М.: МГУ, 1961.
324. Фишер И. З. Физика жидкостей. — В кн.: Развитие физики в ССР, кн. 1. М.: Наука, 1967.
325. Аразмурадов М., Арипов Э. А., Нурыев Б. Н. Структурообразование в дисперсиях песка при их химической мелорации водорасторвимыми полиэлектролитами. — Уз. хим. журн., 1980, № 3.
326. Бирюля А. К. Теоретические основы укрепления грунтов битумами и дегтями — Труды совещания по теоретическим основам технической мелорации грунтов. М.: МГУ, 1961.
327. Коржуев А. С., Козловская А. А. К теории битумизации грунтов. — Труды совещания по теоретическим основам технической мелорации грунтов. М.: МГУ, 1961.
328. Вуюцкий С. С. Растворы высокомолекулярных соединений. М.: Госхимиздат, 1960.
329. Цветков В. Н., Эскин В. Е., Фрейслер С. Я. Структура макромолекул в растворах. М.: Наука, 1964.
330. Тенфорд Ч. Физическая химия полимеров. М.: Химия, 1965.
331. Каргин В. А., Слонимский Г. Л. Краткий очерк по физико-химии полимеров. М.: Химия, 1967.
332. Моравец Г. М. Макромолекулы в растворах. М.: Мир, 1967.
333. Тагер А. А. Физико-химия полимеров. М.: Химия, 1968.
334. Арипов Э. А. Strukturbildung in wa rigen Losungen des Polyelectrolyten K-4. Faserforschung und Textiltechnik, Akademie-Verlag Berlin, 1973, v. 24, N 1, s. 9.
335. Strauss U. P., Buder P. A simple interpretation of Donnan equilibria obtained with long chain J. Amer. Chem Soc, 1958, 80, N 24.
336. Koji Abe, Mikio Koide, Eishun Tsuchida. Hydrophobiciles in the domains of polyelectrolytes J. Polymer Sci, 1977, v. 15, N 10, 2469.
337. Бреслер С. Е. Полимерные электролиты. — В кн.: Успехи химии и технологии полимеров. М.: Госхимиздат, 1957.
338. Hill T. Thermodynamics of small systems New York, 1963.
339. Мадаминов А. С., Абдуллаев Ш. А., Арипов Э. А. Структурообразование в растворах литьевой соли сополимера сульфонированной кислоты и формальдегида. — Уз. хим. журн., 1979, № 2.
340. Арипов Э. А. Гидрофобные взаимодействия в бинарных системах поверхностью-активных веществ. — Труды VII Международного конгресса по поверхностью-активным веществам, 1978, т. 2.
341. Арипов Э. А., Абдуллаев Ш. А., Аразмурадов М. и др. Гидрофобные взаимодействия в растворах ше-

лочных солей карбонатсодержащих полиэлектролитов. — ДАН УзССР, 1979, № 2.

342. Сайдов Х. С., Арипов Э. А. Структурообразование в растворах водорасстворимого полиэлектролита К-4 — В кн: Регулирование свойств дисперсных систем. Ташкент: Фац, 1974.

343. Арипов Э. А., Махмадов И. К., Ахмедов К. С. Структурообразование в водных растворах плиновой соли полиэлектролита винилцетата с акриловой кислотой и акриламидом — Уз. хим. журн., 1980, № 4.

344. Ахмедов К. С. Низко и высокомолекулярные поверхности-активные вещества для регулирования свойств дисперсных систем. — В кн: Физико-химические основы применения поверхностно-активных веществ. Ташкент: Фац, 1977.

345. Бойко В. П. Гидрофобные взаимодействия в моноэфире соединения стирола и малениновой кислоты. — Укр. хим. журн., 1976, № 42.

346. Кройт Г. Наука о коллоидах. М.: ИЛ, 1955.

347. Fujita H., Hermans J. J. Conductivity of polyelectrolyte solutions when extraneous salt is present. Koninkl. Ned Akad. Wetenschap, Proc. 58—B, 1955.

348. Арипов Е. А. Structure formation of the water-soluble polyelectrolyts. International symposium on macromolecular chemistry. Abstracts of short communications. М., Nauka, 1978, № 7.

349. Солдатов В. С. Иониты как концентрированные растворы электролитов — В: межвуз. сб: Термодинамика и строение растворов, вып. 4. Иваново, 1976.

350. Мербишвили Г. М., Бокрадзе И. Г., Монаседидзе Д. Р., Джапаридзе Г. Гидратация блокполимеров в растворах. М.: Наука, 1973.

351. Фишер М. Природа кристаллического состояния. М.: Наука, 1968.

352. Drost-Hansen W. Structure of water near solid interfaces. J. Industrial and engineering chemistry, 1969, v. 61, N 11, p. 10—42.

353. Кадыров Н. К., Мирзалимов А. М., Арипов Э. А., Ахмедов К. С. Влияние pH-среды и температуры на структурообразование в растворах водорасстворимых полимеров. — Уз. хим. журн., 1964, № 6.

354. Сайдов Х. С., Арипов Э. А., Ахмедов К. С. Влияние температуры на структурообразование в суспензиях глины в присутствии водорасстворимого полимера К-4 — Уз. хим. журн., 1972, № 1.

355. Арипов Э. А., Латыпов Х. Л., Шукуров В. Р. Влияние температуры на структурообразование в концентрированных растворах полимера К-4 — Уз. хим. журн., 1972, № 3.

356. Слюсаров И. Т., Уразовский С. С. Исследование конформационных превращений макромолекул в растворах. — Высокомолекулярные соединения, 1962, № 4.

357. Слюсаров И. Т. К вопросу о конформационных превращениях полипирамидной кислоты. — Высокомолекулярные соединения, 1962, № 4.

358. Уразовский С. С., Слюсаров И. Т. Исследование конформационных превращений макромолекул в растворах. — Высокомолекулярные соединения, 1961, № 3.

359. Гитрюк Н. В., Мерсон С. И., Шахова Е. М. Гидрофобные взаимодействия в водных растворах высокомолекулярных поверхностно-активных веществ. Тезисы докт. и сообр. Всесоюз. съезда по физико-химическим основам применения и направлениям синтеза поверхностно-активных веществ. Ташкент: Фац, 1974.

360. Байдарова Р., Арипов Э. А., Ахмедов К. С. Влияние магнитного поля на структурообразование в растворах водорасстворимого полимера К-4 — В кн: Взаимодействие полиэлектролитов К-4 и К-6. — Уз. хим. журн., 1967, № 4.

361. Арипов Э. А., Кадыров Н. К., Ахмедов К. С. Электрономикроскопическое исследование структурообразования в растворах водорасстворимых полимеров К-4 и ПАД-1 в зависимости от pH-среды. — ДАН УзССР, 1966, № 3.

362. Зайтудинов С. А., Аюпова В., Ахмедов К. С. Влияние хлористого натрия на вязкость водных растворов полиэлектролитов К-4 и К-6. — Уз. хим. журн., 1967, № 4.

363. Мирзалимов А. М., Арипов Э. А., Ахмедов К. С. Влияние электролитов на водные растворы препарата К-4. — ДАН УзССР, 1965, № 6.

364. Арипов Э. А., Казанов Г. Я., Ахмедов К. С. Особенности взаимодействия водорасстворимого полимера К-4 с полиэлектролитами. — Уз. хим. журн., 1970, № 4.

365. Зайтудинов С. А. Получение и физико-химическое исследование водорасстворимых полимеров (К-4 и К-6) и их влияние на дисперсные системы. Автореф. дис. на соиск. уч. степени канд. техн. наук. Ташкент, 1965.

366. Арефьевна М. М., Ахмедов К. С., Вирская Г. М. Влияние pH-среды на взаимодействие полимерного препарата К-4 с растворами электролитов — В кн: Физико-химическая механика геля, почек и стробилематиков. Ташкент: Фац, 1966.

367. Цай Е. П., Зайтудинов С. А., Ахмедов К. С. Получение медных солей полиэлектролитов К-4, К-6 и изучение реологических свойств их концентрированных растворов. Дел. ВИНИТИ № 3018-75.

368. Дусмухамедов А., Арипов Э. А. Влияние водорасстворимого полиэлектролита К-4 на подвижность микрорельефов в почвах. Дел. ВИНИТИ № 33—73.

369. Дусмухамедов А. Влияние водорасстворимого полиэлектролита К-4 на структурно-сорбиционные свойства и подвижность микрорельефов в сероземных почвах и лесах. Автореф. дис. на соиск. уч. степ. канд. хим. наук, 1976.

370. Гринберг А. А. Введение в химию комплексных соединений. М.:Л.:Химия, 1966.

371. Арипов Э. А., Демидова Н. Н., Дусмухамедов А. Влияние подостраторимых полиэлектролитов на адсорбционные свойства сероземных почв — В кн: Структурообразование в минеральных дисперсиях. Ташкент: Фац, 1979.

372. Каракиль А. В., Кривенкова Г. А. Состояние воды в органических соединениях. М.: Наука, 1973.

373. Ляйтлов Ю. С. Физико-химия наполненных полимеров. Киев: Наукова думка, 1967.

374. Липатов Ю. С., Сергеева А. М. Адсорбция полимеров. Киев: Наукова думка, 1972.

375. Svarczen Allen L., Matijevic E. Colloid and sur-

face properties of clay suspensions. II. Electrophoresis and cation adsorption of montmorillonite. *Chem. Rev.*, 1974, 74, N 3, 385

376. Боленский Б. Г., Виленичук Л. З. Хроматография полимеров. М: Химия, 1978

377. Montgomery R. S., Hibbard B. B. Theoretical aspect of the selfconditioning activity of polymers. *Soil Sci.*, 1955, 79, 283.

378. Таймуразова Л.Х., Игнатьева Л. А.—*Вестн. МГУ. Биол.* и почвовед., 1965, № 2.

379. Мирсалимов А.М., Арипов Э. А., Ахмедов К. С. Кинетика поглощения полимера К-4 частицами минеральных дисперсных систем. — В кн.: Адсорбционные свойства некоторых природных и синтетических сорбентов. Ташкент: Физа, 1969

380. Арипов Э. А., Саруханов М. А., Ахмедов К. С. Влияние pH-среды на взаимодействие искусственных структурообразователей с монтмориллонитовой глиной. — Уз. хим. журн., 1964, № 2.

381. Остапец А. Г., Арипов Э. А., Ахмедов К. С. Изучение взаимодействия водорастворимого полимерного препарата К-4 с минеральными дисперсными системами методом седиментационного анализа. — В кн.: Минеральные органико-минеральные удобрения, структурообразователи почв и гербициды. Ташкент: Физа, 1967

382. Frisch H. L., Lundberg J. L. A viscometric criterion of Polymer polydispersity. *J. Polymer Sci.*, 1959, 37, 123.

383. Black A. P., Birkner F. B., Morgan J. J. Destabilization of dilute clay suspensions with labeled polymers. *J. Am. Water Works Assoc.*, 1965, 57, 1547.

384. Насырова Н. Ю., Арипов Э. А., Ахмедов К. С. Влияние катионов поглощенного основания азотомаркового серо-зеленого бентонита на адсорбцию из растворов. — Изв. АН БССР. Сер. хим., 1966, № 2.

385. Насырова Н. Ю. Влияние поглощенных оснований на физико-химические свойства азотомаркового бентонита. Автореф. дис. на соиск. уч. степени канд. хим. наук. Ташкент, 1967.

386. Мирсалимов А. М., Арипов Э. А., Ахмедов К. С. Адсорбция полимерных препаратов К-4 и ПАА-1 на минеральных дисперсных системах. — ДАН УзССР, 1965, № 10.

387. Арипов Э. А., Сайдов Х. С., Нурыев Б. Н., Ахмедов К. С. Адсорбция водорастворимого полимера на природных сорбентах. — Уз. хим. журн., 1968, № 6.

388. Арипов Э. А., Ахмедов К. С., Нурыев Б. Н., Сайдов Х. С. Адгезия и адсорбция водорастворимого полимера К-4 глинями. — В кн.: Макромолекулы на границе раздела фаз. Киев: Наукова думка, 1971.

389. Курочкина Г. Н., Вирская Г. М., Ахмедов К. С. Об адсорбции полиэлектролитов на силикагеле и алюмо- и алюмосиликагеле. — ДАН УзССР, № 9, 1969, сб. Взаимодействие водорастворимых полиэлектролитов с дисперсными системами. Ташкент: ФАИ, 1970.

390. Богачева Е. К., Киселев А. В., Никитина Ю. С., Эльтеков Ю. А. Влияние размеров пор силикагеля на адсорбцию полистирола. 1965.

391. Flory P. Principles of Polymer Chemistry. Ithaca, N-Y Cornell unit press, 1953, p. 672.

392. Эльтеков Ю. А. Адсорбция полимеров и строение их адсорбционных слоев. — В кн.: Исследование адсорбционных процессов в адсорбентах. Ташкент: Физа, 1979.

393. Галинская В. И., Артух Л. В., Усков И. Л. Определение темпера взаимодействия полиметилакрилата с каолином. Тезисы докл. на III конф. по калориметрии. М: МГУ, 1966.

394. Арипов Э. А., Петрова М. В., Ахмедов К. С. Определение темпера взаимодействия дисперсных систем с водорастворимым полимером К-4. Тезисы докл. на III конф. по калориметрии. М: МГУ, 1966.

395. Арипов Э. А., Хамраев А. Д., Мирсалимов А. М. и др. Адсорбция полимерного препарата К-4 на сероземной почве. — Уз. хим. журн., 1965, № 6.

396. Арипов Э. А. Технология смачивания глины в водных растворах полимера К-4. — Коллоид. журн., 1969, № 31.

397. Giles G., MacLean D., Nakawa S., Smith D. Studies in adsorption. Part XI. A system of classification of solution adsorption isotherms and its use in diagnosis of adsorption mechanism and in measurement of specific surface areas of solids. *J. Chem. Soc.*, 1960, N 10, 3973.

398. Ахмедов К. С., Асанов А., Арефьев А. Т. и др. — В кн.: Устойчивость и структурообразование в дисперсных системах. Ташкент: Физа, 1976.

399. Арипов Э. А., Хамраев С. С., Ахмедов К. С. Повышение структурообразования в глинах под влиянием препарата К-4. — Повышение, 1963, № 7.

400. Хамраев С. С., Ягудзев М. Р., Арипов Э. А. Изучение структурообразования в бентонитовых глинах методом инфракрасной спектроскопии. — Коллоид. журн., 1965 № 27.

401. Арипов Э. А., Демидова Н. Н. Влияние водорастворимых полимеров-структураторов на адсорбцию анионов минеральных кислот сероземом. Тезисы докл. XII Международного съезда по прикладной химии. Химия в сельском хозяйстве. М: Наука, 1975.

402. Арипов Э. А., Таджиддинов Д. Б. Влияние полимеров-структураторов на адсорбцию фосфора хлопчатником. — ДАН УзССР, № 8.

403. Гуссак В. Б. Влияние гуминовых и подгуминовых препаратов на физические свойства почвы. — В кн.: Гуминовые полимерные препараты в сельском хозяйстве Ташкент: Изд-во АН УзССР, 1961.

404. Вершинин П. В. Повышенная структура и условия ее формирования. М — Л: Изд-во АН СССР, 1958.

405. Качинский Н. А. Структура почвы. М: МГУ, 1963.

406. Kühn A. Synthetische Bodenverbesserungsmittel. Berlin, VEB Deutscher Landwirtschaftsverlag — Verlag, 1972.

407. Мосолова А. И. Влияние полимеров на структуру дерново-подзолистых почв и урожайность сельскохозяйственных культур. — Почвоведение, 1970, № 9.

408. Арипов Э. А., Паганик К. П. Прочность оструктуренного, почвенно-полимерного слоя почвенных борозд при отрывании: поверхности растворами К-4 или К-9. — В кн.: Био-физические и агрономические свойства органических почв УзССР. Ташкент: МСХ УзССР, 1978.

409. Шаров В. С. Поверхностная растворимость глинистых частиц. — Коллоид. журн., 1939, № 5.

410. Лемина Н. М., Лукьянова Л. Г., Гусев Г. М. Удельная поверхность тонкодисперсного механически активированного кварца. — В кн.: Физико-химические исследования механически активированных минеральных веществ. Новосибирск, 1975.

411. Raithmann H. Die Wasserstoffaktivität in Dispersionen und Kolloiddispersionen Systemen. *Kolloid. Beih.*, 30, 334, 1930.

412. Арипов Э. А., Имбнова Е. Ш., Насырова Н. Ю. Значение активной формы кислотности бенгитовой глины при различных разведениях. — Труды ТашГИ, 1976, вып. 167.

413. Арипов Э. А., Сандов Х. С., Абдурахманова Ф. А. Изучение структурообразования в системе глина—песок методом электропроводности. — Труды ТашГИ и ФерГИ Сер. Химия, 1973, вып. 5.

414. Абдурахманова Ф. А., Соколова В. П., Азамходжаев А. В. и др. Изменение электрических свойств поверхности частиц глины при их кислотной и термической активации. — *Уз. хим. журн.*, 1990, № 5.

415. Айлер Р. К. Коллоидная химия кремнеземов и силикатов. М.: Изд-во литературы по строит., архит. и строит. материалам, 1959.

416. Берестнева З. Я., Константиносольская М. Б., Карагин В. А. Об образовании кристаллических алюмосиликатов. — *Коллоид. журн.*, 1957, т. 19, № 2.

417. Зияев Т. З., Волков С. Ф., Хамраев С. С., Ахмедов К. С. Электрические свойства водных суспензий кварца в присутствии поверхностью-активных веществ и полиэлектролитов различной природы. — *Уз. хим. журн.*, 1973, № 6.

418. Хамраев С. С., Зияев Т. З. Исследование процессов структурообразования в водных дисперсиях кварца в присутствии поверхностью-активных веществ. — В кн.: Регулирование свойств дисперсных систем. Ташкент: Фан, 1974.

419. Хамраев С. С. Влияние полиэлектролитов на агрегативную устойчивость и структурообразование в водных суспензиях индивидуальных минералов. — В кн.: Структурообразование в минеральных дисперсиях. Ташкент: Фан, 1979.

420. Фукс Г. И. О связях контактных взаимодействий твердых частиц в жидкой фазе. Успехи коллоидной химии. М.: Наука, 1970.

421. Яхнин Е. Д. Контактное взаимодействие между твердыми частицами в растворах полимеров. — В кн.: Исследования по физико-химии контактных взаимодействий. Уфа: Башкирское книж. изд-во, 1971.

422. Зияев Т. З., Хамраев С. С., Ахмедов К. С. Влияние РН на прочность контактов между частицами кварца в присутствии различным катионов. — ДАН УзССР, 1971, № 7.

423. Хамраев С. С., Салому Ф. А. Контактные взаимодействия кварца в растворах поверхностью-активных веществ различной природы. — *Уз. хим. журн.*, 1976, № 2.

424. Фукс Г. И. Исследование влияния состава гравийных слоев на функциональные и контактные взаимодействия. М.: Изд-во ИФХ АН СССР, 1965.

425. Фукс Г. И., Бурибаев Я. О факторах, определяющих прочность коагуляционной связи частиц глины. — В кн.: Ис-

следования по физико-химии контактных взаимодействий. Уфа: Башкирское книж. изд-во, 1971.

426. Арипов Э. А. Исследование Алкамарского белого бентонита и его катионзамещенных форм. — В кн.: Бентониты Узбекистана. Ташкент: Изд-во АН УзССР, 1963.

427. Арипов Э. А., Насырова Н. Ю., Ахмедов К. С. Свойства Алкамарского серо-зеленого бентонита в зависимости от природы положительных катионов. — В кн.: Адорбционные свойства некоторых природных и синтетических сорбентов. Ташкент: Фан, 1969.

428. Арипов Э. А., Бурибаев Я. Влияние адсорбированного водорастворимого полиэлектролита К-4 на силу коагуляционного взаимодействия частиц глины. — *Уз. хим. журн.*, 1978, № 2.

429. Таджинева Д. А., Арипов Э. А., Ахмедов К. С. Исследование склоняющей способности водорастворимых полимерных препаратов. — В кн.: Минеральные, органико-минеральные удобрения, структурообразователи почв и гербициды. Ташкент: Фан, 1967.

430. Арипов Э. А., Норметов Л., Мадаминов А. С. Оструктуренность и склоняющая способность расщеплен липидов сополимера сульфатированной кислоты и формальдегида. — ДАН УзССР, 1960, № 11.

431. Арипов Э. А., Нуриев Б. Н., Ахмедов К. С. Влияние водорастворимых полимеров на силу склонения контактирующих каустических частиц. — ДАН УзССР, 1969, № 9.

432. Масленкова П. Л., Русакова Г. Н. О роли удельной поверхности в процессы склонения С6 трудов по агрономической физике. М., 1969, вып. 19.

433. Арипов Э. А. Связь взаимодействия в дисперсиях песка при их химической модификации. Тезисы докл. Всесоюз. науч.-конф. по комплексному изучению и освоению пустынных территорий СССР. Ашхабад, 1977.

434. Арипов Э. А. Влияние водорастворимых полиэлектролитов на прочность контакта почвенных частиц. Тезисы Республ. конф «Актуальные проблемы охраны окружающей среды и радиационного использования природных ресурсов», 25–28 мая 1977 г. Ташкент: 1977.

435. Хамраев С. С., Зияев Т. З., Ахмедов К. С. Действие поверхностью-активных веществ на агрегативную устойчивость гидросупензий кварца в зависимости от РН. — *Уз. хим. журн.*, 1976, № 3.

436. Хамраев С. С., Юсупов А. И. Устойчивость флуоритовых водных суспензий и процессы структурообразования в них в присутствии полиэлектролитов. — В кн.: Регулирование свойств дисперсных систем. Ташкент: Фан, 1974.

437. Хамраев С. С., Арипов Э. А., Ахмедов К. С. Изучение механизма искусственного структурообразования в дисперсиях почв, закрепленных добавками препаратов серии К-В сб.: Полимерные и гуминовые препараты в народном хозяйстве. Ташкент: Наука, 1964.

438. Ребиндер П. А. Структуро-механические свойства глинистых пород в современные представления физико-химических поллюндов. — Труды совещания по инж.-геолог. свойствам горных пород и методам их изучения, 1958, т. I.

439. Ребиндер П. А., Семенченко Н. А. О методах по-

гружения конуса для характеристики структурно-механических свойств пластично-вязких тел. — ДАН СССР, 1948, № 6.

440. Арипов Э. А., Муминов С. З., Сандов Х. С. и др. Исследование физико-химических и сорбционных свойств глины Кермени. — В ин.: Опоковидные глины Кермени. Ташкент: Физ. и хим. изд-во УзССР, 1970.

441. Аразмуратов М., Нурыев Б. Н., Арипов Э. А. Влияние полизелектролита на пластическую прочность глины и песка. — Изв. АН ТССР. Сер. физ.-техн. хим. и геол. наук, 1980, № 3.

442. Аразмуратов М., Нурыев Б. Н., Арипов Э. А. Изучение прочности структуры глины и песка методом размокания. — Пробл. освоения пустынь, 1980, № 3.

443. Кумсков В. Т. и др. Топливно в маслах электрических станций. М.: Энергия, 1969.

444. Васин В. И., Недригайлов В. И. Индикаторный проницемер. — Пробл. освоения пустынь, 1967, № 3.

445. Подгорнов А. С. Закрепление подвижных песков вязкими веществами. — ВНИИ и ТЭИ по сельскому хозяйству М., 1980.

446. Бахтия П. У. Динамика физико-механических свойств почв в связи с вопросами их обработки. — Труды почвенного Института им. Докучаева, 1954, т. 14.

447. Хамраев С. С., Арипов Э. А., Ахмедов К. С. Микроскопическое исследование набухания оструктуренных почв. — ДАН УзССР, 1963, № 6.

448. Нурыев Б. И., Арипов Э. А., Ахмедов К. С. Микроскопическое исследование водопроницаемости песчаных корок. — Пробл. освоения пустынь, 1971, № 3.

449. Негуляева З. И. Исследование и разработка методов укрепления барханных песков различными вязкими для устройства конструктивных слоев дорожных одежд в условиях жаркого и сухого климата. Автореф. дис. на соиск. учен. степени канд. геол. наук. М.: СОЮЗДОРНИИ, 1980.

450. Дроздецкий П. А. Опыт оструктуривания почв при культуре картофеля. — Труды лаборатории почв, 1937, вып. 2.

СОДЕРЖАНИЕ

ОТ АВТОРОВ	:	:	:	3
ВВЕДЕНИЕ	:	:	:	4

ГЛАВА I.

ХИМИЯ ПОВЕРХНОСТИ И ПОРИСТОСТЬ ПЕСКА	:	10
Происхождение и распространение песков	:	11
Минералогический состав песка	:	12
Химический состав песка	:	18
Соловой состав песка	:	19
Гранулометрия песка	:	25
О характере поверхности зерен песка	:	31
О движении песка	:	33
Пористость песка	:	35

ГЛАВА II.

ХИМИЧЕСКИЕ МЕЛИОРАНТЫ ПОДВИЖНЫХ ПЕСКОВ

Классификация химических мелиорантов песка	:	40
Природные мелиоранты песков	:	44
Вода	:	44
Нефть	:	44
Битум	:	57
Мазут	:	58
Отработанные минеральные масла	:	61
Глины	:	62
Искусственные химические мелиоранты подвижных песков	:	62
Сульфит-спиртовая барда и продукты ее конденсации (ССБ, КССБ, ХКССБ, ФХЛС)	:	74
Сульфат цеолитозы (СЦ)	:	75
Карбоксиметилцеллюлоза (КМЦ) и продукты ее модификации (КМЦ-5, КМЦ-7, КМЦ-8, СФ-КМЦ)	:	76
Химические мелиоранты на основе гуминовых кислот (МГР, ТЦР, ГН, Сунек)	:	77
Химические мелиоранты на основе лигнина (ГН, ЛПС, СННЛ).	:	79
Латексы синтетические	:	81
Смолы насыщенные	:	84
Жидкое стекло, хлористый калий и другие химические соединения	:	85
Каменное уголь	:	87

Синтетические химические мелиоранты песка	88
Поверхностно-активные вещества	89
Полиэлектролиты на основе мономеров	92
Полиэлектролиты на основе синтетических полимеров	107

ГЛАВА III.

ИССЛЕДОВАНИЕ МЕХАНИЗМА ХИМИЧЕСКОЙ МЕЛИОРАЦИИ ПЕСКОВ

Научные основы химического закрепления подвижных песков	117
Структурообразование в дисперсиях некоторых химических мелиорантов	124
Влияние содержания битума и температуры на вязкость трансформаторного масла	124
Структурообразование в водных растворах полиэлектролитов	127
Адсорбция полиэлектролитов из их водных растворов подвижными песками	145
Коллоидно-химические исследования системы песок — вода — полиэлектролит	156
Влияние полиэлектролитов на электрокинетический потенциал поверхности кварцевого песка	157
Изменение силы коагуляционного взаимодействия частиц глины и песка в присутствии полиэлектролитов	158
Влияние полиэлектролитов на устойчивость полидисперной суспензии песка	165

ГЛАВА IV.

СОЗДАНИЕ СВЯЗНОДИСПЕРСНЫХ СИСТЕМ НА ПОВЕРХНОСТИ ПОДВИЖНЫХ ПЕСКОВ И ИЗУЧЕНИЕ ИХ СВОЙСТВ

Состав рабочих дисперсий мелиорантов и способы их нанесения на поверхность подвижных песков	160
Составы и способы приготовления многокомпонентных мелиорантов на основе нефтепродуктов	180
Приготовление растворов полиэлектролитов без и с добавками глины	180
Дисперсия мелиорантов на основе кирозина и латекса	183
Технология нанесения мелиорантов на песчаную поверхность	185
Контроль за качеством проводимых мелиоративных мероприятий	186
Определение глубины и времени проникновения в песок раствора мелиоранта	192
Прочность созданной с помощью дисперсий химических мелиорантов связнодисперсной системы подвижных песков	195
Толщина связнодисперсной системы песка (корки) в зависимости от вида мелиоранта, их концентрации и расхода	198
Механическая прочность песчаных корок и покрытий	201

Ветроизносная устойчивость связнодисперсных систем песка	210
Устойчивость связнодисперсной системы песка к действию воды	212
Влияние корок и покрытий на температурный режим воздуха и песка	215
Режим влажности под коркой и на контроле	222
Изменение процента влажности и приживаемости растений пескоукрепителей в зависимости от вида применяемых мелиорантов	226
Изменение механического состава песка после хемо- и фитомелиорации	235
ЛИТЕРАТУРА	237

Э. А. Арипов, Б. И. Нурыев, М. А. Аразмурадов
ХИМИЧЕСКАЯ МЕЛНИОРАЦИЯ ПОДВИЖНЫХ ПЕСКОВ

Печатается по постановлению
Редакционно-издательского совета АН ТССР

Редактор С. П. Карапинская
Технический редактор Г. А. Артыкова
Корректоры Б. Атиева, Р. Валигова, О. Дудонова

ИБ № 431

Сдано в набор 23.7.82 г. Подписано в печать
10.7.83 г. И-05029. Формат 84×108/32. Бумага
№ 3. Печать высокая. Уч.-изд. л. 14,76. Физ.печ.
л. 8,25. Усл.печ. л. 13,86. Заказ № 4533. Изд
№ 69. Тираж 1000 экз. Цена 2 р. 35 к.

Издательство «Фылым» АН ТССР, 744000 Ашха-
бад, Энгельса, 6. Типография АН ТССР 744012.
Ашхабад, ул. Советских пограничников, 92а